

(19)



Евразийское  
патентное  
ведомство

(21)

201990787

(13)

A1

## (12) ОПИСАНИЕ ИЗОБРЕТЕНИЯ К ЕВРАЗИЙСКОЙ ЗАЯВКЕ

(43) Дата публикации заявки  
2019.12.30

(51) Int. Cl. C07K 16/28 (2006.01)  
C07K 16/46 (2006.01)  
A61K 39/00 (2006.01)

(22) Дата подачи заявки  
2017.11.02

### (54) БИСПЕЦИФИЧНОЕ АНТИТЕЛО К ВСМА И СД3 И ИММУНОЛОГИЧЕСКОЕ ЛЕКАРСТВЕННОЕ СРЕДСТВО ДЛЯ КОМБИНИРОВАННОГО ПРИМЕНЕНИЯ В ЛЕЧЕНИИ МНОЖЕСТВЕННОЙ МИЕЛОМЫ

(31) 16196874.8

(32) 2016.11.02

(33) ЕР

(86) PCT/EP2017/078109

(87) WO 2018/083204 2018.05.11

(71) Заявитель:  
ЭНГМАБ САРЛ (CH)

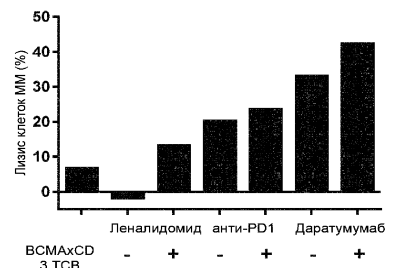
(72) Изобретатель:

By Минх Дием (CH), Штрайн Клаус (DE), Пайва Бруно Дэвид Лоуренсо, Сан Мигель Изкуэдро Хесус Фернандл (ES)

(74) Представитель:

Глухарёва А.О., Угрюмов В.М. (RU)

(57) Изобретение относится к биспецифичному антителу, специфически связывающемуся с В-клеточным антигеном созревания (BCMA) человека и с CD3ε человека (CD3) совместно с иммунотерапевтическим лекарственным средством, для комбинированного применения в лечении множественной миеломы.



201990787

A1

A1

201990787

# **БИСПЕЦИФИЧНОЕ АНТИТЕЛО К ВСМА И СДЗ, И ИММУНОЛОГИЧЕСКОЕ ЛЕКАРСТВЕННОЕ СРЕДСТВО ДЛЯ КОМБИНИРОВАННОГО ПРИМЕНЕНИЯ В ЛЕЧЕНИИ МНОЖЕСТВЕННОЙ МИЕЛОМЫ**

Данное изобретение относится к биспецифичному антителу, специфически связывающемуся с В-клеточным антигеном созревания человека (BCMA) и с CD3ε человека (CD3) совместно с иммунотерапевтическим лекарственным средством, для комбинированного применения в лечении множественной миеломы.

## **УРОВЕНЬ ТЕХНИКИ**

В-клеточный антиген созревания человека, также известный как BCMA; TR17\_HUMAN, TNFRSF17 (UniProt Q02223), является членом суперсемейства рецепторов некроза опухолей, который преимущественно экспрессируется в дифференцированных плазматических клетках (Laabi et al. 1992; Madry et al. 1998). BCMA является негликозилированным трансмембранным белком типа III, который участвует в созревании, росте и выживании В-лимфоцитов. BCMA является рецептором двух лигандов суперсемейства ФНО: APRIL (лиганд, индуцирующий пролиферацию), лиганда с высоким сродством к BCMA, и фактора активации В-лимфоцитов BAFF, лиганда с низким сродством к BCMA (THANK, BlyS, стимулятор В-лимфоцитов, TALL-1 и zTNF4). APRIL и BAFF демонстрируют структурное сходство и перекрывающуюся, но различную специфичность связывания с рецептором. Отрицательный регулятор TACI также связывается как с BAFF, так и с APRIL. Координированное связывание APRIL и BAFF с BCMA и/или TACI активирует фактор транскрипции NF-κB, и усиливает экспрессию способствующих выживанию членов семейства Bcl-2 (например, Bcl-2, Bcl-xL, Bcl-w, Mcl-1, A1) и отрицательную регуляцию способствующих апоптозу факторов (например, Bid, Bad, Bik, Bim и т. д.), таким образом ингибируя апоптоз и способствуя выживанию. Данное комбинированное действие способствует дифференциации В-лимфоцитов, пролиферации, выживанию и выработке антител (как описано в Rickert RC et al., Immunol Rev (2011) 244 (1): 115-133).

Описаны антитела к BCMA, например, в Gras M-P. et al. Int Immunol. 7 (1995) 1093-1106, WO200124811, WO200124812, WO2010104949 и WO2012163805. Упоминаемые антитела к BCMA и их применение для лечения лимфом и множественной миеломы, например, в WO2002066516 и WO2010104949. WO2013154760 и WO2015052538 относятся к химерным антигennым рецепторам

(CAR), содержащим фрагмент распознавания BCMA и фрагмент активации Т-лимфоцитов. Ryan, MC et al., Mol. Cancer Ther. 6 (2007) 3009-3018 относятся к анти-BCMA антителам с активностью блокирования лигандов, которые могут способствовать цитотоксичности клеточных линий множественной миеломы (ММ), в виде не конъюгированных антител или в виде конъюгатов антитело-лекарственное средство. Райан показал, что SG1, ингибирующее BCMA антитело, блокирует APRIL-зависимую активацию ядерного фактора κB дозозависимым образом *in vitro*. Райан также упомянул антитело SG2, которое незначительно ингибировало связывание APRIL с BCMA.

Не так давно было разработано большое разнообразие форм рекомбинантных биспецифичных антител, например путем слияния, например, форма антитела IgG и одноцепочечные домены (смотрите, например, Kontermann RE, mAbs 4:2, (2012) 1-16). Биспецифичные антитела, в которых вариабельные домены VL и VH, или константные домены CL и CH1, заменены друг на друга, описаны в WO2009080251 и WO2009080252.

Подход, позволяющий обойти проблему ошибочно спаренных побочных продуктов, который известен как «выступы в отверстия», направлен на то, чтобы вызвать спаривание двух различных тяжелых цепей антител путем внесения мутаций в домены CH3 для модификации интерфейса контакта. На одной цепи громоздкие аминокислоты замещают аминокислотами с короткими боковыми цепями, чтобы создать «отверстие». И наоборот, аминокислоты с большими боковыми цепями вносят в другой домен CH3, чтобы создать «выступ». Благодаря совместной экспрессии таких двух тяжелых цепей (и двух идентичных легких цепей, которые должны подходить к обеим тяжелым цепям), наблюдают большее количество гетеродимерной конструкции («выступ-отверстие») в сравнении с гомодимерными конструкциями («отверстие-отверстие» или «выступ-выступ») (Ridgway JB, Presta LG, Carter P. Protein Eng. 9, 617–621 (1996); и WO1996027011). Процент гетеродимера может быть дополнительно увеличен путем ремоделирования поверхностей взаимодействия двух доменов CH3 с использованием подхода фагового дисплея и введения дисульфидного мостика для стабилизации гетеродимеров (Merchant A.M, et al, Nature Biotech 16 (1998) 677-681; Atwell S, Ridgway JB, Wells JA, Carter P., J Mol. Biol 270 (1997) 26-35). Новые подходы в

технологии «выступы в отверстия» описаны, например, в EP 1870459A1. Хотя такой формат кажется очень привлекательным, в настоящее время нет данных, описывающих прогресс в направлении применения в лечебной практике. Одно из важных ограничений такой стратегии представляет собой то, что легкие цепи двух исходных антител должны быть идентичными, чтобы предотвратить образование неправильных пар и формирование неактивных молекул. Таким образом, данный метод не подходит для простой разработки рекомбинантных, биспецифичных антител к двум мишениям, начиная с двух антител к первой и второй мишени, поскольку должны быть оптимизированы тяжелые цепи таких антител и/или идентичные легкие цепи. Xie, Z., et al, J Immunol. Methods 286 (2005) 95-101 относится к форме биспецифичного антитела с применением scFv в сочетании с технологией «выступы в отверстия» для части FC.

Комплекс TCR/CD3 Т-лимфоцитов состоит из альфа ( $\alpha$ )/бета ( $\beta$ ) TCR или гамма ( $\gamma$ )/дельта ( $\delta$ ) TCR гетеродимера, совместно экспрессирующегося на поверхности клетки с инвариантными субъединицами CD3, обозначенными гамма ( $\gamma$ ), дельта ( $\delta$ ), эпсилон ( $\epsilon$ ), зета ( $\zeta$ ), и эта ( $\eta$ ). Человеческий CD3 $\epsilon$  описан как UniProt P07766 (CD3E\_HUMAN).

Анти-CD3 $\epsilon$  антитело, описанное в данной области техники, представляет собой SP34 (Yang SJ, The Journal of Immunology (1986) 137; 1097-1100). SP34 взаимодействует как с CD3 приматов, так и человека. SP34 доступен от Pharmingen. Другим анти-CD3 антителом, описанным в данной области техники, является UCHT-1 (смотрите WO2000041474). Другим анти-CD3 антителом, описанным в данной области техники, является BC-3 (Исследовательский институт рака Фреда Хатчинсона; используется в фазах I/II испытаний GvHD, Anasetti et al., Transplantation 54: 844 (1992)). SP34 отличается от UCHT-1 и BC-3 тем, что SP-34 распознает эпитоп, присутствующий только на  $\epsilon$ -цепи CD3 (смотрите Salmeron et al., (1991) J. Immunol. 147: 3047), тогда как UCHT-1 и BC-3 распознают эпитоп, формирующийся как  $\epsilon$ , так и  $\gamma$  цепями. Дополнительные анти-CD3 антитела описаны в WO2008119565, WO2008119566, WO2008119567, WO2010037836, WO2010037837, WO2010037838 и US8236308 (WO2007042261). Последовательности CDR, VH и VL дополнительного анти-CD3 антитела показаны в SEQ ID NO:7 и 8.

Биспецифичные антитела к CD3 и ВСМА упоминаются в WO2007117600, WO2009132058, WO2012066058 и WO2012143498. Соединения CAR антител к ВСМА упоминаются в WO 2013154760, WO2013154760 и WO2014140248.

Клеточно-опосредованные эффекторные функции моноклональных антител (такие как антитело-зависимая клеточная цитотоксичность (АЗКЦ)) могут быть улучшены путем конструирования их олигосахаридных вариантов по Asn297, как описано в Umaña, P., et al., *Nature Biotechnol.* 17 (1999) 176-180; и US6602684. WO1999054342, WO2004065540, WO2007031875, и WO2007039818, Hristodorov D, Fischer R, Linden L., *Mol Biotechnol.* 2012 Oct 25. (Epub) также относятся к гликозилирующему конструированию антител для усиления Fc-опосредованной клеточной цитотоксичности.

Также несколько аминокислотных остатков в шарнирной области и домене CH2 влияют на клеточно-опосредованные эффекторные функции моноклональных антител. (*Eur. J. Immunol.*, 23, 1098 (1993), *Immunology*, 86, 319 (1995), *Chemical Immunology*, 65, 88 (1997)] *Chemical Immunology*, 65, 88 (1997)]. Следовательно, модификация таких аминокислот может усиливать клеточно-опосредованные эффекторные функции. Такие модификации антител для усиления клеточно-опосредованных эффекторных функций упомянуты в EP1931709, WO200042072, и включают в себя замены в Fc-части в аминокислотных позициях 234, 235, 236, 239, 267, 268, 293, 295, 324, 327, 328, 330 и 332. Дополнительные модификации антител для усиления клеточно-опосредованных эффекторных функций упомянуты в EP1697415, и включают в себя аминокислотную замену по аминокислотным позициям 277, 289, 306, 344 или 378 согласно ЕС, на заряженную аминокислоту, полярную аминокислоту или неполярную аминокислоту.

Формы антител, и формы биспецифичных и мультиспецифичных антител также представляют собой пептела (WO200244215), Новый Рецептор Антигена («NAR») (WO2003014161), димеры диатело-диатело «TandAbs» (WO2003048209), модифицированный полиалкиленоксидом scFv (US7150872), гуманизированные антитела кролика (WO2005016950), домены синтетического иммуноглобулина (WO2006072620), ковалентные диатела (WO2006113665), флекситела (WO2003025018), доменные антитела, dAb (WO2004058822), вакцины (WO2004076489), антитела с каркасом приматов Нового Света (WO2007019620),

конъюгат антитело-лекарственное средство с расщепляемыми линкерами (WO2009117531), антитела IgG4 с удаленной областью шарнира (WO2010063785), биспецифичные антитела с IgG4-подобными доменами CH3 (WO2008119353), антитела верблюдовых (US6838254), нанотела (US7655759), диатела CAT (US5837242), биспецифичные ( $scFv$ )<sub>2</sub> направленные против антигена-мишени и CD3 (US7235641), sIgA плантитела (US6303341), минитела (US5837821), IgNAR (US2009148438), антитела с модифицированной шарнирной и Fc областями (US2008227958, US20080181890), трифункциональные антитела (US5273743), тритела (US6551592), тройтела (US6294654).

В WO2014122143 раскрыты антитела к BCMA человека, характеризующиеся тем, что связывание указанного антитела не снижается 100 нг/мл APRIL больше чем на 20%, как измерено в анализе ИФА в виде OD при 405 нм, по сравнению с связыванием указанного антитела с человеческим BCMA без APRIL, указанное антитело не изменяет APRIL-зависимую активацию NF-кВ больше чем на 20% по сравнению с только APRIL, и указанное антитело не изменяет активацию NF-кВ без APRIL больше чем на 20% по сравнению с случаем без указанного антитела. В WO2014122144 раскрыты биспецифичные антитела, специфически связывающиеся с двумя мишениями - CD3ε человека и BCMA человека, включающие в себя антитела к человеческому BCMA из WO2014122143. Анти-человеческий BCMA антитело с уникальными свойствами, особенно в отношении его терапевтического применения в качестве биспецифичного связывателя Т-лимфоцитов, представляет собой антитело 83A10, характеризующееся тем, что содержит в качестве областей CDR CDR1H SEQ ID NO:15, CDR2H SEQ ID NO:16, CDR3H SEQ ID NO:17, CDR1L SEQ ID NO:18, CDR3L SEQ ID NO:19 и CDR3L SEQ ID NO:20, также раскрытое в WO2014122143 и WO2014122144.

Соединения талидомида представляют собой 2-(2,6-диоксопиперидин-3-ил)-2,3-дигидро-1Н-изоиндол-1,3-дион и его, производные, подобные леналидомиду, помалидомиду, CC122 (регистрационный номер CAS 1398053-45-6) ил СС-220 (регистрационный номер CAS 1323403-33-3). Использование талидомидов для лечения множественной миеломы описано в Hideshima T. et al., Blood 96 (2000), 2943-2950.

Анти-CD38 антитела представляют собой, например, даратумумаб (US20150246123), изатаксимаб (US8877899), MOR202 (WO 2012041800), и AB19 и AB79 (US8362211). Анти-CD38 антитела также упоминаются в WO2006099875, WO2011154453, WO2014068114 и WO2007042309. Применение анти-CD38 моноклонального антитела в лечении множественной миеломы, например, обсуждено Lokhorst HM; N Engl J Med (2015) 373 1207-19.

Анти-PD-1 антитела представляют собой, например, пембролизумаб (Keytruda®, MK-3475), ниволумаб, пидилизумаб, ламбролизумаб, MEDI-0680, PDR001 и REGN2810. Анти-PD-1 антитела описаны, например, в WO200815671, WO2013173223, WO2015026634, US7521051, US8008449, US8354509, WO2009114335, WO2015026634, WO2008156712, WO2015026634, WO2003099196, WO2009101611, WO2010/027423, WO2010/027827, WO2010/027828, WO2008/156712, и WO2008/156712.

Анти-PD-L1 антитела представляют собой, например, атезолизумаб, MDX-1105, дурвалумаб и авелумаб. Анти-PD-L1 антитела описаны, например, в WO2015026634, WO2013/019906, WO2010077634, US8383796, WO2010077634, WO2007005874, и WO2016007235.

В WO2012066058 в общих чертах упоминается биспецифичный агент к BCMA и CD3 также в комбинации с одним или большим количеством дополнительных терапевтических агентов. Многие такие агенты перечислены и среди других упоминаются также производные талидомида, такие как леналидомид. В WO2012143498 также в общих чертах упоминается терапия анти-BCMA антителом для применения в лечении или устраниении множественной миеломы, и терапия анти-CD20 антителом и/или анти-CD38 антителом и/или анти-CS1 антителом. В WO2016087531 раскрывается применение биспецифичного антитела к BCMA и CD3 вместе с пролиферативной терапией Т-лимфоцитов, относящейся к терапевтическому лечению или биологическому лечению, которое вызывает пролиферацию или размножение Т-лимфоцитов, например, ингибиторами контрольной точки (например, анти-PD-1, анти-PD-L1). WO2016014565 относится к химерному рецептору антигена (CAR), специальному к BCMA, и в общих чертах к антителу или фрагменту антитела, что связывается с PD-1, PD-L1, PD-L2 или CTLA4.

Биспецифичные антитела и соответствующие анти-BCMA антитела согласно данному изобретению раскрыты в EP15179549.9 и PCT/EP2016/068549, сейчас ожидающие рассмотрения, которые включены в данный документ посредством ссылки в полном объеме.

## **СУЩНОСТЬ ИЗОБРЕТЕНИЯ**

Изобретение включает в себя биспецифичное антитело, специфически связывающееся с В-клеточным антигеном созревания человека (BCMA) и с CD3ε человека (CD3), совместно с иммунотерапевтическим лекарственным средством, выбранным из группы, состоящей из талидомида и его иммунотерапевтического производного, анти-CD38 антитела, анти-PD-1 антитела и анти-PD-L1 антитела, для комбинированного применения в лечении множественной миеломы.

Изобретение включает в себя в одном варианте осуществления

а) биспецифичное антитело, содержащее первую связывающую часть, специфически связывающуюся с В-клеточным антигеном созревания человека (BCMA), и вторую связывающую часть, специфически связывающуюся с CD3ε человека (CD3), и

б) иммунотерапевтическое лекарственное средство, выбранное из группы, состоящей из талидомида и его иммунотерапевтического производного, анти-CD38 антитела, анти-PD-1 антитела и анти-антитела и анти-PD-L1-антитела, для совместного применения в лечении множественной миеломы,

характеризующееся тем, что указанная первая связывающая часть содержит область VH, содержащую область CDR1H SEQ ID NO:21, область CDR2H SEQ ID NO:22 и область CDR3H SEQ ID NO:17, и область VL, содержащую область CDR3L SEQ ID NO:20 и комбинацию областей CDR1L и CDR2L, выбранную из группы

и) область CDR1L SEQ ID NO:23 и область CDR2L SEQ ID NO:24,

ii) область CDR1L SEQ ID NO:25 и область CDR2L SEQ ID NO:26, или

iii) область CDR1L SEQ ID NO:27 и область CDR2L SEQ ID NO:28.

Изобретение включает в себя в одном варианте осуществления способ лечения множественной миеломы, характеризующийся введением пациенту, нуждающемуся в таком лечении

а) биспецифичного антитела, содержащего первую связывающую часть, специфически связывающуюся с В-клеточным антигеном созревания человека

(BCMA), и вторую связывающую часть, специфически связывающуюся с CD3ε человека (CD3), и

b) иммунотерапевтического лекарственного средства, выбранного из группы, состоящей из талидомида и его иммунотерапевтического производного, анти-CD38 антитела, анти-PD-1 антитела и анти-PD-L1 антитела,

что характеризуется тем, что указанная первая связывающая часть содержит область VH, содержащую область CDR1H SEQ ID NO:21, область CDR2H SEQ ID NO:22 и область CDR3H SEQ ID NO:17, и область VL, содержащую область CDR3L SEQ ID NO:20 и комбинацию областей CDR1L и CDR2L, выбранную из группы

- i) область CDR1L SEQ ID NO:23 и область CDR2L SEQ ID NO:24,
- ii) область CDR1L SEQ ID NO:25 и область CDR2L SEQ ID NO:26, или
- iii) область CDR1L SEQ ID NO:27 и область CDR2L SEQ ID NO:28.

Биспецифичное антитело и иммунотерапевтическое лекарственное средство применяют в терапевтически эффективном количестве.

Изобретение включает в себя в одном варианте осуществления терапевтическую комбинацию для достижения лизиса клеток множественной миеломы у пациента, страдающего от заболевания множественной миеломы, характеризующуюся тем, что содержит

a) биспецифичное антитело, содержащее первую связывающую часть, специфически связывающуюся с В-клеточным антигеном созревания человека (BCMA), и вторую связывающую часть, специфически связывающуюся с CD3ε человека (CD3), и

b) иммунотерапевтическое лекарственное средство, выбранное из группы, состоящей из талидомида и его иммунотерапевтического производного, анти-CD38 антитела, анти-PD-1 антитела и анти-PD-L1 антитела,

что характеризуется тем, что указанная первая связывающая часть содержит область VH, содержащую область CDR1H SEQ ID NO:21, область CDR2H SEQ ID NO:22 и область CDR3H SEQ ID NO:17, и область VL, содержащую область CDR3L SEQ ID NO:20 и комбинацию областей CDR1L и CDR2L, выбранную из группы

- i) область CDR1L SEQ ID NO:23 и область CDR2L SEQ ID NO:24,
- ii) область CDR1L SEQ ID NO:25 и область CDR2L SEQ ID NO:26, или
- iii) область CDR1L SEQ ID NO:27 и область CDR2L SEQ ID NO:28.

Биспецифичное антитело и иммунотерапевтическое лекарственное средство применяют в терапевтически эффективном количестве.

Изобретение включает в себя в одном варианте осуществления изделие, характеризующееся тем, что оно содержит

- a) биспецифичное антитело, содержащее первую связывающую часть, специфически связывающуюся с В-клеточным антигеном созревания человека (BCMA), и вторую связывающую часть, специфически связывающуюся с CD3ε человека (CD3), характеризующееся тем, что указанная первая связывающая часть содержит область VH, содержащую область CDR1H SEQ ID NO:21, область CDR2H SEQ ID NO:22 и область CDR3H SEQ ID NO:17, и область VL, содержащую область CDR3L SEQ ID NO:20 и комбинацию областей CDR1L и CDR2L, выбранную из группы
  - i) область CDR1L SEQ ID NO:23 и область CDR2L SEQ ID NO:24,
  - ii) область CDR1L SEQ ID NO:25 и область CDR2L SEQ ID NO:26, или
  - iii) область CDR1L SEQ ID NO:27 и область CDR2L SEQ ID NO:28 в фармацевтически приемлемом носителе,
- b) иммунотерапевтическое лекарственное средство, выбранное из группы, состоящей из талидомида и его иммунотерапевтического производного, анти-CD38 антитела, анти-PD-1 антитела и анти-PD-L1 антитела,
- c) фармацевтически приемлемый носитель и инструкции для введения указанного биспецифичного антитела и указанного иммунотерапевтического лекарственного средства в комбинации субъекту, нуждающемуся в лечении множественной миеломы.

Биспецифичное антитело и иммунотерапевтическое лекарственное средство применяют в терапевтически эффективном количестве.

Изобретение включает в себя в одном варианте осуществления способ изготовления лекарственного средства, характеризующийся использованием

- a) биспецифичного антитела, содержащего первую связывающую часть, специфически связывающуюся с В-клеточным антигеном созревания человека (BCMA), и вторую связывающую часть, специфически связывающуюся с CD3ε человека (CD3), характеризующееся тем, что указанная первая связывающая часть содержит область VH, содержащую область CDR1H SEQ ID NO:21, область CDR2H

SEQ ID NO:22 и область CDR3H SEQ ID NO:17, и область VL, содержащую область CDR3L SEQ ID NO:20 и комбинацию областей CDR1L и CDR2L, выбранную из группы

- i) область CDR1L SEQ ID NO:23 и область CDR2L SEQ ID NO:24,
- ii) область CDR1L SEQ ID NO:25 и область CDR2L SEQ ID NO:26, или
- iii) область CDR1L SEQ ID NO:27 и область CDR2L SEQ ID NO:28,

b) иммунотерапевтического лекарственного средства, выбранного из группы, состоящей из талидомида и его иммунотерапевтического производного, анти-CD38 антитела, анти-PD-1 антитела и анти-PD-L1 антитела,

c) объединяя указанное биспецифичное антитело и указанное иммунотерапевтическое лекарственное средство в фармацевтически приемлемом носителе.

Биспецифичное антитело и иммунотерапевтическое лекарственное средство применяют в терапевтически эффективном количестве.

Биспецифичные антитела и иммунотерапевтические лекарственные средства, описанные в данном документе, предназначенные для использования

- a) в комбинированном применении в лечении множественной миеломы согласно изобретению,
- b) в способе лечения множественной миеломы согласно изобретению,
- c) в терапевтической комбинации для достижения лизиса клеток множественной миеломы у пациента, страдающего от заболевания множественной миеломы, согласно изобретению,
- d) в изделии согласно изобретению, и
- e) в способе изготовления лекарственного средства согласно изобретению.

Изобретение включает в себя в одном варианте осуществления то, что указанное иммунотерапевтическое лекарственное средство представляет собой анти-CD38 антитело, выбранное из группы, состоящей из даратумумаба, изатаксимаба (SAR650984), MOR202, Ab79 (Takeda) и Ab19 (Takeda).

Изобретение включает в себя в одном варианте осуществления то, что указанное иммунотерапевтическое лекарственное средство представляет собой соединение талидомида, выбранное из группы, состоящей из талидомида, леналидомида, СС-122, СС-220 и помалидомида.

Изобретение включает в себя в одном варианте осуществления то, что указанное иммунотерапевтическое лекарственное средство представляет собой анти-PD1 антитело, выбранное из группы, состоящей из пембролизумаба, пидилизумаба, ниволумаба, MEDI-0680, PDR001, REGN2810, ламбролизумаба, MDX-1106, BGB-108, h409A11, h409A16 и h409A17.

Изобретение включает в себя в одном варианте осуществления то, что указанное иммунотерапевтическое лекарственное средство представляет собой анти-PD-L1 антитело, выбранное из группы, состоящей из авелумаба, дурвалумаба, атезолизумаба и MDX-1105.

Изобретение включает в себя в одном варианте осуществления то, что указанное иммунотерапевтическое лекарственное средство представляет собой леналидомид, и указанная первая связывающая часть характеризуется тем, что содержит область VH, содержащую область CDR1H SEQ ID NO:21, область CDR2H SEQ ID NO:22 и область CDR3H SEQ ID NO:17, и область VL, содержащую область CDR3L SEQ ID NO:20 и комбинацию областей CDR1L и CDR2L, выбранную из группы  
a) область CDR1L SEQ ID NO:25 и область CDR2L SEQ ID NO:26, или  
b) область CDR1L SEQ ID NO:27 и область CDR2L SEQ ID NO:28.

Изобретение включает в себя в одном варианте осуществления то, что указанное иммунотерапевтическое лекарственное средство представляет собой CC-122 или CC-220, и указанная первая связывающая часть характеризуется тем, что содержит область VH, содержащую область CDR1H SEQ ID NO:21, область CDR2H SEQ ID NO:22 и область CDR3H SEQ ID NO:17, и область VL, содержащую область CDR3L SEQ ID NO:20 и комбинацию областей CDR1L и CDR2L, выбранную из группы

a) область CDR1L SEQ ID NO:25 и область CDR2L SEQ ID NO:26, или  
b) область CDR1L SEQ ID NO:27 и область CDR2L SEQ ID NO:28.

Изобретение включает в себя в одном варианте осуществления то, что указанное иммунотерапевтическое лекарственное средство представляет собой даратумумаб и указанная первая связывающая часть характеризуется тем, что содержит область VH, содержащую область CDR1H SEQ ID NO:21, область CDR2H SEQ ID NO:22 и область CDR3H SEQ ID NO:17, и область VL, содержащую область CDR3L SEQ ID NO:20 и комбинацию областей CDR1L и CDR2L, выбранную из группы

- a) область CDR1L SEQ ID NO:25 и область CDR2L SEQ ID NO:26, или
- b) область CDR1L SEQ ID NO:27 и область CDR2L SEQ ID NO:28.

Изобретение включает в себя в одном варианте осуществления то, что указанное иммунотерапевтическое лекарственное средство представляет собой пембролизумаб и указанная первая связывающая часть характеризуется тем, что содержит область VH, содержащую область CDR1H SEQ ID NO:21, область CDR2H SEQ ID NO:22 и область CDR3H SEQ ID NO:17, и область VL, содержащую область CDR3L SEQ ID NO:20 и комбинацию областей CDR1L и CDR2L, выбранную из группы

- a) область CDR1L SEQ ID NO:25 и область CDR2L SEQ ID NO:26, или
- b) область CDR1L SEQ ID NO:27 и область CDR2L SEQ ID NO:28.

Изобретение включает в себя в одном варианте осуществления то, что указанное иммунотерапевтическое лекарственное средство представляет собой леналидомид, и первая связывающая часть характеризуется тем, что содержит область VH SEQ ID NO:10 и область VL SEQ ID NO:13, или область VH SEQ ID NO:10 и область VL SEQ ID NO:14.

Изобретение включает в себя в одном варианте осуществления то, что указанное иммунотерапевтическое лекарственное средство представляет собой СС-122 или СС-220, и первая связывающая часть характеризуется тем, что содержит область VH SEQ ID NO:10 и область VL SEQ ID NO:13, или область VH SEQ ID NO:10 и область VL SEQ ID NO:14.

Изобретение включает в себя в одном варианте осуществления то, что указанное иммунотерапевтическое лекарственное средство представляет собой даратумумаб, и первая связывающая часть характеризуется тем, что содержит область VH SEQ ID NO:10 и область VL SEQ ID NO:13, или область VH SEQ ID NO:10 и область VL SEQ ID NO:14.

Изобретение включает в себя в одном варианте осуществления то, что указанное иммунотерапевтическое лекарственное средство представляет собой пембролизумаб, и первая связывающая часть характеризуется тем, что содержит область VH SEQ ID NO:10 и область VL SEQ ID NO:13, или область VH SEQ ID NO:10 и область VL SEQ ID NO:14.

Первая связывающая часть согласно данному изобретению содержит в качестве областей CDR3H и CDR3L те же области CDR, что и антитело 83A10 (по антителу 83A10 смотрите Таблицу 1А и В далее в тексте).

Первая связывающая часть согласно данному изобретению содержит, в одном варианте осуществления, в качестве областей CDR3H и CDR3L те же области CDR, что и антитело 83A10, но демонстрирует особенно действенные и целесообразные преимущества по сравнению с антителом 83A10, для уничтожения клеток ММ в аспиратах костного мозга пациента.

В одном варианте осуществления изобретения, первая связывающая часть характеризуется тем, что содержит область CDR3H SEQ ID NO:17 и область CDR3L SEQ ID NO:20, и комбинацию областей CDR1H, CDR2H, CDR1L и CDR2L, выбранную из группы

- a) область CDR1H SEQ ID NO:21 и область CDR2H SEQ ID NO:22, область CDR1L SEQ ID NO:23 и область CDR2L SEQ ID NO:24,
- b) область CDR1H SEQ ID NO:21 и область CDR2H SEQ ID NO:22, область CDR1L SEQ ID NO:25 и область CDR2L SEQ ID NO:26,
- c) область CDR1H SEQ ID NO:21 и область CDR2H SEQ ID NO:22, область CDR1L SEQ ID NO:27 и область CDR2L SEQ ID NO:28,
- d) область CDR1H SEQ ID NO:29 и область CDR2H SEQ ID NO:30, область CDR1L SEQ ID NO:31, и область CDR2L SEQ ID NO:32,
- e) область CDR1H SEQ ID NO:34 и область CDR2H SEQ ID NO:35, область CDR1L SEQ ID NO:31, и область CDR2L SEQ ID NO:32, и
- f) область CDR1H SEQ ID NO:36 и область CDR2H SEQ ID NO:37, область CDR1L SEQ ID NO:31, и область CDR2L SEQ ID NO:32.

В одном варианте осуществления изобретения, первая связывающая часть характеризуется тем, что содержит область VH, содержащую область CDR1H SEQ ID NO:21, область CDR2H SEQ ID NO:22 и область CDR3H SEQ ID NO:17, и область VL, содержащую область CDR3L SEQ ID NO:20 и комбинацию областей CDR1L и CDR2L, выбранную из группы

- a) область CDR1L SEQ ID NO:23 и область CDR2L SEQ ID NO:24,
- b) область CDR1L SEQ ID NO:25 и область CDR2L SEQ ID NO:26, или

c) область CDR1L SEQ ID NO:27 и область CDR2L SEQ ID NO:28. В одном варианте осуществления изобретения, первая связывающая часть характеризуется тем, что содержит область VL, выбранную из группы, состоящей из областей VL SEQ ID NO:12, 13 и 14, причем аминокислоту 49 выбирают из группы аминокислот: тирозин (Y), глутаминовая кислота (E), серин (S) и гистидин (H). В одном варианте осуществления, аминокислота 49 представляет собой E в SEQ ID NO:12, S в SEQ ID NO: 13 или H в SEQ ID NO:14.

В одном варианте осуществления изобретения, первая связывающая часть характеризуется тем, что содержит область VL, выбранную из группы, состоящей из областей VL SEQ ID NO:12, 13 и 14, причем аминокислота 74 представляет собой треонин (T) или аланин (A). В одном варианте осуществления, аминокислота 74 представляет собой A в SEQ ID NO:14.

В одном варианте осуществления изобретения, первая связывающая часть содержит в качестве областей CDR3H, CDR1L, CDR2L и CDR3L те же области CDR, что и антитело 83A10. Изобретение включает в себя моноклональное антитело, специфически связывающееся с BCMA, характеризующееся тем, что содержит область VH, содержащую область CDR3H SEQ ID NO:17, и область VL, содержащую область CDR1L SEQ ID NO:31, область CDR2L SEQ ID NO:32 и область CDR3L SEQ ID NO:20, и комбинацию областей CDR1L и CDR2L, выбранную из группы

- a) область CDR1H SEQ ID NO:29 и область CDR2H SEQ ID NO:30,
- b) область CDR1H SEQ ID NO:34 и область CDR2H SEQ ID NO:35, или
- c) область CDR1H SEQ ID NO:36 и область CDR2H SEQ ID NO:37.

В одном варианте осуществления изобретения, первая связывающая часть характеризуется тем, что содержит область VL SEQ ID NO:12 и область VH, выбранную из группы, что состоит из областей VH SEQ ID NO:38, 39 и 40. В одном варианте осуществления изобретения, первая связывающая часть характеризуется тем, что содержит область VL SEQ ID NO:12, причем аминокислоту 49 выбирают из группы аминокислот: тирозин (Y), глутаминовая кислота (E), серин (S) и гистидин (H). В одном варианте осуществления, аминокислота 49 представляет собой E.

В одном варианте осуществления изобретения, первая связывающая часть характеризуется тем, что содержит в качестве области VH область VH SEQ ID NO:10.

В одном варианте осуществления изобретения, первая связывающая часть

характеризуется тем, что содержит в качестве области VL область VL, выбранную из группы, состоящей из областей VL SEQ ID NO:12, 13 и 14. В одном варианте осуществления изобретения, первая связывающая часть характеризуется тем, что содержит в качестве области VH область VH SEQ ID NO:10, а в качестве области VL область VL SEQ ID NO:12. В одном варианте осуществления изобретения, первая связывающая часть характеризуется тем, что содержит в качестве области VH область VH SEQ ID NO:10, а в качестве области VL область VL SEQ ID NO:13. В одном варианте осуществления изобретения, первая связывающая часть характеризуется тем, что содержит в качестве области VH область VH SEQ ID NO:10, а в качестве области VL область VL SEQ ID NO:14.

В одном варианте осуществления изобретения, первая связывающая часть характеризуется тем, что содержит в качестве области VH область VH, выбранную из группы, состоящей из SEQ ID NO:38, 39 и 40. В одном варианте осуществления изобретения, первая связывающая часть характеризуется тем, что содержит в качестве области VH область VH SEQ ID NO:38, а в качестве области VL область VL SEQ ID NO:12. В одном варианте осуществления изобретения, первая связывающая часть характеризуется тем, что содержит в качестве области VH область VH SEQ ID NO:39, а в качестве области VL область VL SEQ ID NO:12. В одном варианте осуществления изобретения, первая связывающая часть характеризуется тем, что содержит в качестве области VH область VH SEQ ID NO:40, а в качестве области VL область VL SEQ ID NO:12.

В одном варианте осуществления изобретения, первая связывающая часть дополнительно характеризуется тем, что она также специфически связывается с BCMA яванского макака. В одном варианте осуществления, антитело согласно данному изобретению демонстрирует в отношении связывания с BCMA различие в аффинности для яванского макака/человека в интервале от 1,5 до 5, или от 1,5 до 10, или от 1,5 до 16 (таблица 5).

В одном варианте осуществления изобретения, биспецифичное антитело характеризуется тем, что оно также специфически связывается с CD3 яванского макака. В одном варианте осуществления, биспецифичное анти-BCMA/анти-CD3 антитело демонстрирует различие для яванского макака/человека для Mab CD3, в интервале от 1,25 до 5, или от 0,8 до 1,0.

В одном варианте осуществления изобретения, первая связывающая часть представляет собой антитело с частью Fc или без части Fc, включая мультиспецифическое антитело, биспецифичное антитело, одноцепочечный вариабельный фрагмент (scFv), такой как вовлекающий биспецифичный активатор Т-лимфоцитов, диатело, или tandemный scFv, миметик антитела, такой как DARPin, не конъюгированное моноспецифическое антитело, или коньюгат антитело-лекарственное средство. В одном варианте осуществления, мультиспецифическое антитело, биспецифичное антитело, вовлекающий биспецифичный активатор Т-лимфоцитов, диатело или tandemный scFv специфически связывается с BCMA и CD3.

На основе первой связывающей части можно создавать коньюгаты антитело-лекарственное средство к BCMA, и мультиспецифические или биспецифичные антитела к BCMA и CD3 в различных формах, с или без части Fc, известной в данной области техники (смотрите, например, выше «уровень техники»), одноцепочечные вариабельные фрагменты (scFv), такие как вовлекающие биспецифичные активаторы Т-лимфоцитов, диатела, tandemные scFv, и миметики антител, такие как DAR Pins, все они также являются вариантами осуществления изобретения. Формы биспецифичных антител хорошо известны в данной области техники и, например, также описаны в Kontermann RE, mAbs 4:2 1-16 (2012); Holliger P., Hudson PJ, Nature Biotech.23 (2005) 1126-1136, и Chan AC, Carter PJ Nature Reviews Immunology 10, 301-316 (2010), и Cuesta AM et al., Trends Biotech 28 (2011) 355-362.

В одном варианте осуществления изобретения, первая связывающая часть характеризуется тем, что содержит в качестве VH BCMA область VH SEQ ID NO:10. В одном варианте осуществления изобретения, первая связывающая часть характеризуется тем, что VL BCMA выбирают из группы, состоящей из областей VL SEQ ID NO:12, 13 и 14. В одном варианте осуществления изобретения, первая связывающая часть характеризуется тем, что содержит в качестве области VH BCMA область VH SEQ ID NO:10, а в качестве области VL область VL SEQ ID NO:12. В одном варианте осуществления изобретения, первая связывающая часть характеризуется тем, что содержит в качестве области VH BCMA область VH SEQ ID NO:10, а в качестве области VL область VL SEQ ID NO:13. В одном варианте осуществления изобретения, первая связывающая часть характеризуется тем, что

содержит в качестве области VH BCMA область VH SEQ ID NO:10, а в качестве области VL область VL SEQ ID NO:14.

В одном варианте осуществления изобретения, первая связывающая часть характеризуется тем, что содержит область VL, выбранную из группы, состоящей из областей VL SEQ ID NO:12, 13 и 14, причем аминокислоту 49 выбирают из группы аминокислот: тирозин (Y), глутаминовая кислота (E), серин (S) и гистидин (H). В одном варианте осуществления, аминокислота 49 представляет собой E (SEQ ID NO:12), S (SEQ ID NO:13) или H (SEQ ID NO:14). В одном варианте осуществления изобретения, первая связывающая часть характеризуется тем, что содержит область VL, выбранную из группы, состоящей из областей VL SEQ ID NO:12, 13 и 14, причем аминокислота 74 представляет собой треонин (T) или аланин (A). В одном варианте осуществления, аминокислота 74 представляет собой A в SEQ ID NO:14.

В одном варианте осуществления изобретения, первая связывающая часть характеризуется тем, что содержит VH BCMA, содержащую область CDR3H SEQ ID NO:17, и VL BCMA, содержащую область CDR1L SEQ ID NO:31, область CDR2L SEQ ID NO:32 и область CDR3L SEQ ID NO:20, и комбинацию областей CDR1L и CDR2L, выбранную из группы

- a) область CDR1H SEQ ID NO:29 и область CDR2H SEQ ID NO:30,
- b) область CDR1H SEQ ID NO:34 и область CDR2H SEQ ID NO:35, или
- c) область CDR1H SEQ ID NO:36 и область CDR2H SEQ ID NO:37.

Биспецифичное антитело к BCMA и CD3 характеризуется в одном варианте осуществления тем, что содержит

- a) легкую цепь и тяжелую цепь антитела, специфически связывающегося с одной из указанных мишеней: CD3 и BCMA; и
- b) легкую цепь и тяжелую цепь антитела, специфически связывающегося с другой из указанных мишеней, причем вариабельные домены VL и VH или константные домены CL и CH1 заменены друг другом.

В одном варианте осуществления, домен VH указанной части анти-CD3 антитела соединен с доменом CH1 или CL указанной части анти-BCMA антитела. В одном варианте осуществления, домен VL указанной части анти-CD3 антитела соединен с доменом CH1 или CL указанной части анти-BCMA антитела.

В одном варианте осуществления, биспецифичное антитело содержит не больше чем один фрагмент Fab части анти-CD3 антитела, не больше чем два фрагмента Fab части анти-BCMA антитела, и не больше чем одну часть Fc, в одном варианте осуществления части Fc человека. В одном варианте осуществления, не больше чем один фрагмент Fab части анти-CD3 антитела, и не больше чем один фрагмент Fab части анти-BCMA антитела соединяют с частью Fc, и соединение осуществляют посредством С-концевого связывания фрагмента(тов) Fab с шарнирной областью. В одном варианте осуществления, второй фрагмент Fab части анти-BCMA антитела соединяют через его С-конец либо с N-концом фрагмента Fab части анти-CD3 антитела, либо с шарнирной областью части Fc и, следовательно, между частью Fc и частью анти-CD3 антитела. Предпочтительные биспецифичные антитела показаны на Фиг. 1-3.

Особенно предпочтительными являются биспецифичные антитела, содержащие только фрагменты Fab и часть Fc, как указано, с или без «аминокислотной замены»:  
Fab BCMA-Fc-Fab CD3 (биспецифичная форма, Фиг. 1A или 1B),  
Fab BCMA-Fc-Fab CD3-Fab BCMA (биспецифичная форма, Фиг. 2A или 2B),  
Fab BCMA-Fc-Fab BCMA-Fab CD3 (биспецифичная форма, Фиг. 2C или 2D),  
Fc-Fab CD3-Fab BCMA (биспецифичная форма, Фиг. 3A или 3B),  
Fc-Fab BCMA-Fab CD3 (биспецифичная форма, Фиг. 3C или 3D).

Как показано на Фиг. 1-3, «Fab BCMA-Fc», «Fab BCMA-Fc-Fab CD3» и «Fab BCMA-Fc-Fab CD3» означает, что фрагмент(ы) Fab соединен(соединяют) через его(их) С-конец с N-концом фрагмента Fc. «Fab CD3-Fab BCMA» означает, что фрагмент Fab CD3 соединяют его N-концом с С-концом фрагмента Fab BCMA. «Fab BCMA - Fab CD3» означает, что фрагмент Fab BCMA соединяют его N-концом с С-концом фрагмента Fab CD3.

В одном варианте осуществления, биспецифичное антитело содержит второй фрагмент Fab указанного анти-BCMA антитела, соединенного его С-концом с N-концом части антитела к CD3 указанного биспецифичного антитела. В одном варианте осуществления, домен VL указанной первой части анти-CD3 антитела соединяют с доменом CH1 или CL указанного второго анти-BCMA антитела.

В одном варианте осуществления, биспецифичное антитело содержит второй фрагмент Fab указанного анти-BCMA антитела, соединенный его С-концом с частью

Fc (подобно первому фрагменту Fab указанного анти-BCMA антитела) и соединенный его N-концом с C-концом части антитела к CD3. В одном варианте осуществления, домен CH1 указанной части анти-CD3 антитела соединяют с доменом VH указанной второй части анти-BCMA антитела.

В одном варианте осуществления, биспецифичное антитело содержит часть Fc, соединенную ее N-концом с C-концом указанного фрагмента Fab антитела к CD3. В одном варианте осуществления, биспецифичное антитело содержит часть Fc, соединенную ее первым N-концом с C-концом указанного фрагмента Fab антитела к CD3, и второй фрагмент Fab указанного анти-BCMA антитела, соединенный его C-концом с вторым N-концом части Fc. В одном варианте осуществления, домен CL фрагмента Fab антитела к CD3 соединен с шарнирной областью части Fc. В одном варианте осуществления, домен CH1 фрагмента Fab антитела к BCMA соединен с шарнирной областью части Fc.

Фрагменты Fab соединены друг с другом с помощью подходящего линкера в соответствии с уровнем техники. В одном варианте осуществления, используется линкер (Gly4-Ser1)3 (Desplancq DK et al., Protein Eng. 1994 Aug;7(8):1027-33 и Mack M. et al., PNAS July 18, 1995 vol. 92 no. 15 7021-7025). Поскольку линкер представляет собой пептидный линкер, такое ковалентное соединение обычно осуществляют биохимическим рекомбинантным способом, используя нуклеиновую кислоту, кодирующую домены VL и/или VH соответствующих фрагментов Fab, линкер и, если необходимо, цепь части Fc.

В одном варианте осуществления изобретения, биспецифичное антитело к BCMA и CD3 характеризуется тем, что вариабельный домен VH части анти-CD3 антитела (далее называемый «VH CD3») содержит CDR тяжелой цепи - SEQ ID NO:1, 2 и 3 в виде соответствующих CDR1H, CDR2H и CDR3H тяжелой цепи, и вариабельный домен VL части анти-CD3 антитела (далее называемый «VL CD3») содержит CDR легкой цепи - SEQ ID NO:4, 5 и 6 в виде соответствующих CDR1L, CDR2L и CDR3L легкой цепи.

В одном варианте осуществления изобретения, биспецифичное антитело характеризуется тем, что вариабельные домены части анти-CD3 $\epsilon$ -антитела представляют собой SEQ ID NO:7 и 8.

В одном варианте осуществления изобретения, биспецифичное антитело характеризуется тем, что часть анти-CD3 антитела (вторая связывающая часть биспецифичного антитела) соединяют ее N-концом с С-концом части анти-BCMA антитела (первая связывающая часть биспецифичного антитела), и вариабельные домены VL и VH части анти-CD3 антитела или константные домены CL и CH1 заменяют друг другом.

В одном варианте осуществления, домен VH указанной части анти-CD3 антитела соединяют с доменом CH1 или CL указанной части анти-BCMA антитела. В одном варианте осуществления, домен VL указанной части анти-CD3 антитела соединен с доменом CH1 или CL указанной части анти-BCMA антитела.

Такая часть антитела в одном варианте осуществления представляет собой фрагмент Fab соответствующего антитела.

В дополнительном варианте осуществления изобретения, биспецифичное антитело, в котором вариабельные домены VL и VH в легкой цепи и соответствующей тяжелой цепи части анти-CD3 антитела или части анти-BCMA антитела заменяют друг другом, характеризуется тем, что содержит константный домен CL части анти-CD3 антитела или части анти-BCMA антитела, при этом аминокислоту в позиции 124 независимо замещают лизином (K), аргинином (R) или гистидином (H) (нумерация Кабата), и в соответствующем константном домене CH1 аминокислоту в позиции 147 и аминокислоту в позиции 213 независимо замещают глутаминовой кислотой (E) или аспарагиновой кислотой (D). В одном варианте осуществления, антитело является одновалентным для связывания CD3. В одном варианте осуществления, в дополнение к аминокислотной замене в позиции 124 в константном домене CL, аминокислоту в позиции 123 независимо замещают лизином (K), аргинином (R) или гистидином (H) (далее называемая «вариантом по заряду»). В одном варианте осуществления, антитело является моновалентным для связывания CD3, и аминокислота 124 представляет собой K, аминокислота 147 представляет собой E, аминокислота 213 представляет собой E и аминокислота 123 представляет собой R. В одном варианте осуществления, биспецифичное антитело дополнительно содержит ту же анти-BCMA связывающую часть в еще одном экземпляре (в одном варианте осуществления фрагмент Fab). Это также означает, что если первая анти-BCMA связывающая часть содержит вариант по заряду, то

вторая анти-BCMA связывающая часть содержит тот же вариант по заряду. (Все порядковые номера аминокислот представлены согласно Кабату).

В одном варианте осуществления изобретения, биспецифичное антитело характеризуется тем, что содержит

- a) первую легкую цепь и первую тяжелую цепь первого антитела, которое специфически связывается с BCMA; и
- b) вторую легкую цепь и вторую тяжелую цепь второго антитела, которое специфически связывается с CD3, и при этом вариабельные домены VL и VH во второй легкой цепи и второй тяжелой цепи второго антитела заменены друг другом; и
- c) причем в константном домене CL первой легкой цепи а) аминокислоту в позиции 124 независимо замещают лизином (K), аргинином (R) или гистидином (H) (нумерация Кабата), и при этом в константном домене CH1 первой тяжелой цепи а) аминокислоту в позиции 147 и аминокислоту в позиции 213 независимо замещают глутаминовой кислотой (E) или аспарагиновой кислотой (D) (нумерация Кабата) (смотрите, например, Фиг. 1А, 2А, 2С, 3А, 3С).

В одном варианте осуществления, указанное биспецифичное антитело, описанное в последнем предыдущем абзаце, дополнительно характеризуется тем, что указанное биспецифичное антитело дополнительно содержит фрагмент Fab указанного первого антитела (далее называемый также «BCMA-Fab») и в константном домене CL указанного BCMA-Fab аминокислоту в позиции 124 замещают независимо лизином (K), аргинином (R) или гистидином (H) (нумерация Кабата), и при этом в константном домене CH1 указанного BCMA-Fab аминокислоту в позиции 147 и аминокислоту в позиции 213 замещают независимо глутаминовой кислотой (E) или аспарагиновой кислотой (D) (нумерация Кабата) (смотрите, например, Фиг. 2А, 2С).

В одном варианте осуществления изобретения, биспецифичное антитело характеризуется тем, что содержит

- a) первую легкую цепь и первую тяжелую цепь первого антитела, которое специфически связывается с BCMA; и
- b) вторую легкую цепь и вторую тяжелую цепь второго антитела, которое специфически связывается с CD3, и при этом вариабельные домены VL и VH в

второй легкой цепи и второй тяжелой цепи второго антитела заменены друг другом; и при этом

c) в константном домене CL второй легкой цепи b) аминокислоту в позиции 124 независимо замещают лизином (K), аргинином (R) или гистидином (H) (нумерация Кабата), и при этом в константном домене CH1 второй тяжелой цепи b) аминокислоту в позиции 147 и аминокислоту в позиции 213 независимо замещают глутаминовой кислотой (E) или аспарагиновой кислотой (D) (нумерация Кабата).

В одном варианте осуществления, в дополнение к аминокислотной замене в позиции 124 в константном домене CL первой и второй легкой цепи, аминокислоту в позиции 123 независимо замещают лизином (K), аргинином (R) или гистидином (H).

В одном варианте осуществления, в константном домене CL аминокислоту в позиции 124 замещают лизином (K), в константном домене CH1 аминокислоту в позиции 147 и аминокислоту в позиции 213 замещают глутаминовой кислотой (E). В одном варианте осуществления, дополнительно в константном домене CL аминокислоту в позиции 123 замещают аргинином (R).

В одном варианте осуществления изобретения, биспецифичное антитело состоит из одного фрагмента Fab антитела, специфически связывающегося с CD3 (далее называемого также «CD3-Fab»), и одного фрагмента Fab анти-BCMA антитела (далее называемого также «BCMA-Fab»), и части Fc, причем CD3-Fab и BCMA-Fab соединены их С-концами с шарнирной областью указанной части Fc. Либо CD3-Fab, либо BCMA-Fab содержит замену, и CD3-Fab содержит кроссовер (Фиг. 1А и 1В).

В одном варианте осуществления изобретения, биспецифичное антитело состоит из одного CD3-Fab и одного BCMA-Fab и части Fc, причем CD3-Fab и BCMA-Fab соединяют их С-концами с шарнирной областью указанной части Fc, и второго BCMA-Fab, который соединяют его С-концом с N-концом CD3-Fab. CD3-Fab содержит кроссовер, и либо CD3-Fab, либо оба BCMA-Fab содержат аминокислотную замену (Фиг. 2А и 2В). Особенno предпочтительным является биспецифичное антитело, содержащее BCMA-Fab-Fc-CD3-Fab-BCMA-Fab, причем оба BCMA-Fab содержат аминокислотную замену, а CD3-Fab содержит кроссовер VL/VH (Фиг. 2А). Особенno предпочтительным является биспецифичное антитело, состоящее из BCMA-Fab-Fc-CD3-Fab-BCMA-Fab, причем оба BCMA-Fab содержат аминокислотную замену Q124K, E123R, K147E и K213E, а CD3-Fab содержит

кроссовер VL/VH. Особенno предпочтительным является то, что оба BCMA-Fab содержат в качестве CDR CDR антитела 21, 22 или 42, или в качестве VH/VL VH/VL антитела 21, 22 или 42 (антитела 21, 22 и 42 смотрите Таблицу 1А и В далее в тексте).

В одном варианте осуществления изобретения, биспецифичное антитело состоит из двух BCMA-Fab и части Fc, причем один BCMA-Fab и CD3-Fab соединены их С-концами с шарнирной областью указанной части Fc, и второй BCMA-Fab соединен его С-концом с N-концом CD3-Fab. CD3-Fab содержит кроссовер, и либо CD3-Fab, либо оба BCMA-Fab содержит аминокислотную замену (Фиг. 2A и 2B).

В одном варианте осуществления изобретения, биспецифичное антитело состоит из двух BCMA-Fab и части Fc, причем BCMA-Fab соединены их С-концами с шарнирной областью указанной части Fc и CD3-Fab, который соединен его С-концом с N-концом одного BCMA-Fab. CD3-Fab содержит кроссовер, и либо CD3-Fab, либо оба BCMA-Fab содержит аминокислотную замену (Фиг. 2C и 2D).

В одном варианте осуществления изобретения, биспецифичное антитело состоит из одного CD3-Fab, который соединен его С-концом с шарнирной областью указанной части Fc, и BCMA-Fab, который соединен его С-концом с N- концом CD3-Fab. CD3-Fab содержит кроссовер, и либо CD3-Fab, либо BCMA-Fab содержит аминокислотную замену (Фиг. 1A и 1B).

В одном варианте осуществления изобретения, биспецифичное антитело состоит из одного CD3-Fab, который соединен его С-концом с шарнирной областью указанной части Fc, и BCMA-Fab, который соединен его С-концом с N- концом CD3-Fab. CD3-Fab содержит кроссовер, и либо CD3-Fab, либо BCMA-Fab содержит аминокислотную замену (Фиг. 3A и 3B).

В одном варианте осуществления изобретения, биспецифичное антитело состоит из одного BCMA-Fab, который соединен его С-концом с шарнирной областью указанной части Fc, и CD3-Fab, который соединен его С-концом с N- концом BCMA-Fab. CD3-Fab содержит кроссовер, и либо CD3-Fab, либо BCMA-Fab содержит аминокислотную замену (Фиг. 3C и 3D).

Фрагменты Fab химически соединены друг с другом с использованием подходящего линкера согласно уровню техники. В одном варианте осуществления, используется линкер (Gly4-Ser1)3 (Desplancq DK et al., Protein Eng. 1994 Aug;7(8):1027-33 и Mack

M. et al., PNAS July 18, 1995 vol. 92 no. 15 7021-7025). Соединение двух фрагментов Fab осуществляют между тяжелыми цепями. Следовательно, С-конец CH1 первого фрагмента Fab соединен с N-концом VH второго фрагмента Fab (без кроссовера) или с VL (кроссовер). Соединение фрагмента Fab и части Fc осуществляют в виде соединения CH1 и CH2.

Первый и второй фрагмент Fab антитела, специфически связывающегося с BCMA, в одном варианте осуществления, получены из одного и того же антитела, и в одном варианте осуществления идентичны по последовательностям CDR, последовательностям вариабельного домена VH и VL и/или последовательностям константного домена CH1 и CL. В одном варианте осуществления, аминокислотные последовательности первого и второго фрагмента Fab антитела, специфически связывающегося с BCMA, являются идентичными. В одном варианте осуществления, антитело к BCMA представляет собой антитело, содержащее последовательности CDR антитела 21, 22 или 42, антитело, содержащее последовательности VH и VL антитела 21, 22 или 42, или антитело, содержащее последовательности VH, VL, CH1, и CL антитела 21, 22 или 42.

В одном варианте осуществления, биспецифичное антитело содержит в качестве фрагментов Fab и части Fc не больше чем один фрагмент Fab анти-CD3 антитела, не больше чем два фрагмента Fab анти-BCMA антитела, и не больше чем одну часть Fc, в одном варианте осуществления часть Fc человека. В одном варианте осуществления, второй фрагмент Fab анти-BCMA антитела соединен его С-концом либо с N-концом фрагмента Fab анти-CD3 антитела, либо с шарнирной областью части Fc. В одном варианте осуществления, соединение выполняют между CH1 BCMA-Fab и VL CD3-Fab (кроссовер VL/VH).

В одном варианте осуществления, часть антитела, специфически связывающаяся с CD3 человека, в одном варианте осуществления фрагмента Fab, характеризуется тем, что содержит вариабельный домен VH, содержащий CDR SEQ ID NO:1, 2 и 3 тяжелой цепи в качестве соответствующих CDR1, CDR2 и CDR3 тяжелой цепи, и вариабельный домен VL, содержащий CDR SEQ ID NO:4, 5 и 6 легкой цепи, в качестве соответствующих CDR1, CDR2 и CDR3 легкой цепи анти-CD3 $\epsilon$  антитела (CDR MAB CD3). В одном варианте осуществления, часть антитела, специфически

связывающаяся с CD3 человека, характеризуется тем, что вариабельные домены имеют SEQ ID NO:7 и 8 (VHVL MAB CD3).

В одном варианте осуществления изобретения, биспецифичное антитело специфически связывается с внеклеточным доменом ВСМА человека и с CD3ε человека, характеризуется тем, что содержит набор тяжелой и легкой цепи, выбранный из группы, состоящей из полипептидов

- i) SEQ ID NO:48, SEQ ID NO:49, SEQ ID NO:50, и SEQ ID NO:51(2x); (набор 1 TCB антитела 21),
- ii) SEQ ID NO:48, SEQ ID NO:52, SEQ ID NO:53, и SEQ ID NO:54 (2x) (набор 2 TCB антитела 22), и
- iii) SEQ ID NO:48, SEQ ID NO:55, SEQ ID NO:56, и SEQ ID NO:57(2x) (набор 3 TCB антитела 42).

В одном варианте осуществления изобретения, биспецифичное антитело характеризуется тем, что домен CH3 одной тяжелой цепи и домен CH3 другой тяжелой цепи пересекаются в интерфейсе, который содержит исходный интерфейс между доменами CH3 антитела; причем указанный интерфейс изменяют, чтобы способствовать формированию биспецифичного антитела, при этом изменение характеризуется тем, что:

- a) домен CH3 одной тяжелой цепи изменяют так, что в пределах исходного интерфейса домен CH3 одной тяжелой цепи, который пересекается с исходным интерфейсом домена CH3 другой тяжелой цепи в биспецифичном антителе, аминокислотный остаток замещают аминокислотным остатком, имеющим больший объем боковой цепи, в результате чего образуется выпуклость в пределах интерфейса домена CH3 одной тяжелой цепи, которая позиционируется в углублении в пределах интерфейса домена CH3 другой тяжелой цепи, и
- b) домен CH3 другой тяжелой цепи изменяют так, что в пределах исходного интерфейса второго домена CH3, который пересекается с исходным интерфейсом первого домена CH3 в биспецифичном антителе, аминокислотный остаток замещают аминокислотным остатком, имеющим меньший объем боковой цепи, в результате чего образуется углубление в пределах интерфейса второго домена CH3, в пределах которого позиционируется выпуклость в интерфейсе первого домена CH3.

В одном варианте осуществления изобретения, биспецифичное антитело характеризуется тем, что указанный аминокислотный остаток, имеющий больший объем боковой цепи, выбирают из группы, состоящей из аргинина (R), фенилаланина (F), тирозина (Y), триптофана (W).

В одном варианте осуществления изобретения, биспецифичное антитело характеризуется тем, что указанный аминокислотный остаток, имеющий меньший объем боковой цепи, выбирают из группы, состоящей из аланина (A), серина (S), треонина (T), валина (V).

В одном варианте осуществления, такое биспецифичное антитело характеризуется тем, что оба домена СН3 дополнительно изменяют путем внесения цистеина (C) в виде аминокислоты в соответствующие позиции каждого домена СН3.

В одном варианте осуществления, такое биспецифичное антитело характеризуется тем, что один из константных доменов СН3 тяжелой цепи обеих тяжелых цепей заменяют константным доменом СН1 тяжелой цепи; и другой константный домен СН3 тяжелой цепи заменяют константным доменом СL легкой цепи.

В одном варианте осуществления изобретения, биспецифичное антитело содержит модифицированную часть Fc, индуцирующую клеточную гибель 20% или большего количества клеток, препарата клеток, экспрессирующих ВСМА, через 24 часа, при концентрации указанного антитела 100 нМ по АЗКЦ относительно контроля в идентичных условиях с использованием того же антитела с исходной частью Fc в качестве контроля. Такое антитело в одном варианте осуществления представляет собой не конъюгированное антитело.

В одном варианте осуществления изобретения, биспецифичное антитело представляет собой антитело с количеством фукозы 60% или меньше от общего количества олигосахаридов (сахаров) по Asn297 (смотрите, например, US20120315268).

В одном варианте осуществления, часть Fc содержит аминокислотные замены, которые внесены в часть Fc человека и раскрыты в SEQ ID NO:55 и 56.

Дополнительным вариантом осуществления изобретения является химерный антигенный рецептор (CAR) или соответствующий CAR Т-лимфоцита анти-ВСМА антитела совместно с иммунотерапевтическим лекарственным средством, выбранным из группы, состоящей из талидомида и его иммунотерапевтического

производного, анти-CD38 антитела, анти-PD-1 антитела и анти-PD-L1 антитела, для комбинированного применения в лечении множественной миеломы. В таком варианте осуществления, анти-BCMA антитело состоит из одноцепочечного домена VH и VL первой связывающей части, и трансмембранного дзета CD3 и эндодомена. Предпочтительно дзета-домен CD3 соединен через спейсер с C-концом указанного домена VL, а N-конец домена VL соединен через спейсер с C-концом указанного домена VH. Химерные антигенные рецепторы антител BCMA, полезные трансмембранные домены и эндодомены, и способы их получения описаны, например, в Ramadoss NS. et al., J. Am. Chem. Soc. J., DOI: 10.1021/jacs.5b01876 (2015), Carpenter RO et al., Clin. Cancer. Res. DOI: 10.1158/1078-0432.CCR-12-2422 (2013), WO2015052538 и WO2013154760.

В одном варианте осуществления изобретения, первая связывающая часть представляет собой Mab21, Mab22, Mab42, Mab27, Mab33 и Mab39 (для антител Mab 21, 22, 42, 27, 33, 39смотрите Таблицы 1А и В далее в тексте), описанные в данном документе в виде их последовательностей CDR и/или последовательностей VH/VL вместе с описанными последовательностями CL и CH1 в качестве антиген-связывающих фрагментов, особенно фрагментов Fab. В одном варианте осуществления, биспецифичное антитело содержит или не содержит часть Fc, в частности форму 2 + 1, и тяжелая и легкая цепи биспецифичного антитела в частности такие, как описано в Таблице 1А.

Анти-BCMA антитело уменьшает количество, в биспецифичной форме, в частности в форме 2 + 1, злокачественных плазматических клеток человека в аспираатах костного мозга с множественной миеломой (ММ) по меньшей мере на 80% после 48-часовой обработки в концентрации от 10 нМ до 1 фМ включительно. Анти-BCMA антитела были охарактеризованы в пэннинге библиотеки фагового дисплея вариабельной тяжелой цепи (VH) и вариабельной легкой цепи (VL) антитела 83A10 (библиотека VH, библиотека VL) с помощью 1-50 нМ BCMA яванского макака за 1-3 раунда, и отборе вариабельной легкой цепи и вариабельной тяжелой цепи, которые обладают такими свойствами, как такой биспецифичный связыватель Т-лимфоцитов. Предпочтительно, пэннинг проводят в 3 раунда, используя 50 нМ BCMA яванского макака (суBCMA) для раунда 1, 25 нМ BCMA яванского макака для раунда 2, и 10 нМ BCMA яванского макака для раунда 3. Предпочтительно

библиотеки рандомизированы либо по CDR1 и CDR2 легкой цепи, либо по CDR1 и CDR2 тяжелой цепи. Предпочтительно идентифицируют легкую и тяжелую цепи, каждая из которых связывается в виде фрагмента Fab, содержащего, кроме того, соответствующий VH или VL антитела 83A10, с BCMA человека (huBCMA) с КД от 50 пМ до 5 нМ, и с BCMA яванского макак с КД от 0,1 нМ до 20 нМ. Предпочтительно биспецифичная форма представляет собой форму согласно Фиг. 2А, содержащую соответствующие константные домены VL и VH замещения Fab CD3 друг на друга, и аминокислотные замещения K213E и K147E в домене CH1, и аминокислотные замещения E123R и Q124K в домене CL в обеих вариантах Fab BCMA.

Биспецифичное антитело, упомянутое в данном документе, может быть получено с помощью этапов

- a) трансформации клетки-хозяина с помощью
- b) векторов, содержащих молекулы нуклеиновой кислоты, кодирующие легкую цепь и тяжелую цепь указанной молекулы антитела,
- c) культивирования клетки-хозяина в условиях, которые позволяют синтезировать указанную молекулу антитела; и
- d) выделения указанной молекулы антитела из указанной культуры.

Биспецифичное антитело, упомянутое в данном документе, может быть получено с помощью этапов

- e) трансформации клетки-хозяина с помощью
- f) векторов, содержащих молекулы нуклеиновой кислоты, кодирующие легкую цепь и тяжелую цепь антитела, специфически связывающегося с первой мишенью
- g) векторов, содержащих молекулы нуклеиновой кислоты, кодирующие легкую цепь и тяжелую цепь антитела, специфически связывающегося с второй мишенью, причем вариабельные домены VL и VH, или константные домены CL и CH1, заменяют друг на друга;
- h) культивирования клетки-хозяина в условиях, которые позволяют синтезировать указанную молекулу антитела; и
- i) выделения указанной молекулы антитела из указанной культуры.

Дополнительный вариант осуществления изобретения представляет собой фармацевтическую композицию, содержащую биспецифичное антитело, специфически связывающееся с В-клеточным антигеном созревания человека

(BCMA) и с CD3ε человека (CD3), совместно с иммунотерапевтическим лекарственным средством, выбранным из группы, состоящей из талидомида и его иммунотерапевтического производного, анти-CD38 антитела, анти-PD-1 антитела и анти-PD-L1 антитела, для комбинированного применения в лечении множественной миеломы, и фармацевтически приемлемый носитель.

Дополнительный вариант осуществления изобретения представляет собой фармацевтическую композицию, содержащую биспецифичное антитело, специфически связывающееся с В-клеточным антигеном созревания человека (BCMA) и с CD3ε человека (CD3), совместно с иммунотерапевтическим лекарственным средством, выбранным из группы, состоящей из талидомида и его иммунотерапевтического производного, анти-CD38 антитела, анти-PD-1 антитела и анти-PD-L1 антитела, для комбинированного применения в лечении множественной миеломы, для применения в качестве медикамента.

Дополнительный вариант осуществления изобретения представляет собой фармацевтическую композицию, содержащую биспецифичное антитело, специфически связывающееся с В-клеточным антигеном созревания человека (BCMA) и с CD3ε человека (CD3), совместно с иммунотерапевтическим лекарственным средством, выбранным из группы, состоящей из талидомида и его иммунотерапевтического производного, анти-CD38 антитела, анти-PD-1 антитела и анти-PD-L1 антитела, для комбинированного применения в лечении множественной миеломы, характеризующееся тем, что указанная первая связывающая часть содержит область VH, содержащую область CDR1H SEQ ID NO:21, область CDR2H SEQ ID NO:22 и область CDR3H SEQ ID NO:17, и область VL, содержащую область CDR3L SEQ ID NO:20 и комбинацию областей CDR1L и CDR2L, выбранную из группы

i) область CDR1L SEQ ID NO:23 и область CDR2L SEQ ID NO:24,

ii) область CDR1L SEQ ID NO:25 и область CDR2L SEQ ID NO:26, или

iii) область CDR1L SEQ ID NO:27 и область CDR2L SEQ ID NO:28. Дополнительный вариант осуществления изобретения представляет собой фармацевтическую композицию, содержащую первую связывающую часть, специфически связывающуюся с В-клеточным антигеном созревания человека (BCMA), и вторую связывающую часть, специфически связывающуюся с CD3ε человека (CD3), совместно с иммунотерапевтическим лекарственным средством, выбранным из

группы, состоящей из талидомида и его иммунотерапевтического производного, анти-CD38 антитела, анти-PD-1 антитела и анти-PD-L1 антитела, для комбинированного применения в качестве медикамента в лечении множественной миеломы.

В одном варианте осуществления, биспецифичное антитело согласно данному изобретению содержит первую связывающую часть, специфически связывающуюся с В-клеточным антигеном созревания человека (BCMA), и вторую связывающую часть, специфически связывающуюся с CD3 $\varepsilon$  человека (CD3), совместно с иммунотерапевтическим лекарственным средством, выбранным из группы, состоящей из талидомида и его иммунотерапевтического производного, анти-CD38 антитела, анти-PD-1 антитела и анти-PD-L1 антитела, для комбинированного применения, что может быть применено для лечения патологий плазматических клеток, таких как множественная миелома (ММ), или других патологий плазматических клеток, экспрессирующих BCMA, как описано ниже. ММ представляет собой злокачественное новообразование из плазматических клеток, характеризующееся моноклональным распространением и накоплением аномальных плазматических клеток в костном мозге. ММ также включает в себя циркулирующие клональные плазматические клетки с одинаковой перестройкой гена IgG и соматической гипермутацией. ММ возникает из бессимптомного предракового состояния, называемого моноклональной гаммапатией неизвестной значимости (MGUS), характеризующегося низким уровнем плазматических клеток в костном мозге и моноклонального белка. ММ клетки пролиферируют с низкой скоростью. ММ возникает в результате прогрессирующего возникновения множественных структурных хромосомных изменений (например, несбалансированных транслокаций). ММ включает в себя обоюдное взаимодействие злокачественных плазматических клеток и микроокружения костного мозга (например, нормальных стромальных клеток костного мозга). Клинические признаки активной ММ включают в себя выброс моноклональных антител, переполнение костного мозга плазматическими клетками, литические поражения костей и разрушение костей в результате чрезмерной стимуляции остеокластов (Dimopoulos & Tergos, Ann Oncol 2010; 21 suppl 7: vii143-150). Другая патология плазматических клеток с вовлечением плазматических клеток, т.е.

экспрессирующих BCMA, представляет собой системную красную волчанку (СКВ), также известную как волчанка. СКВ - это системное аутоиммунное заболевание, которое может поражать любую часть тела и проявляется в том, что иммунная система атакует собственные клетки и ткани организма, что приводит к хроническому воспалению и повреждению тканей. Это реакция гиперчувствительности типа III, при которой откладываются комплексы антитело-антigen и вызывают дальнейший иммунный ответ (Inaki & Lee, Nat Rev Rheumatol 2010; 6: 326-337). Другие патологии плазматических клеток представляют собой плазмоклеточный лейкоз и AL-амилоидоз (смотрите также Примеры 19 и 20). Ожидается, что при всех этих патологиях плазматических клеток будет полезным деплетирование плазматических клеток/злокачественных плазматических клеток антителами согласно данному изобретению для пациентов, страдающих от такого заболевания.

Дополнительный вариант осуществления изобретения представляет собой биспецифичное антитело, содержащее первую связывающую часть, специфически связывающуюся с В-клеточным антигеном созревания человека (BCMA), и вторую связывающую часть, специфически связывающуюся с CD3ε человека (CD3), совместно с иммунотерапевтическим лекарственным средством, выбранным из группы, состоящей из талидомида и его иммунотерапевтического производного, анти-CD38 антитела, анти-PD-1 антитела и анти-PD-L1 антитела, для комбинированного применения в качестве медикамента. Предпочтительно первая связывающая часть характеризуется тем, что указанная первая связывающая часть содержит область VH, содержащую область CDR1H SEQ ID NO:21, область CDR2H SEQ ID NO:22 и область CDR3H SEQ ID NO:17, и область VL, содержащую область CDR3L SEQ ID NO:20 и комбинацию областей CDR1L и CDR2L, выбранную из группы i) область CDR1L SEQ ID NO:23 и область CDR2L SEQ ID NO:24,  
ii) область CDR1L SEQ ID NO:25 и область CDR2L SEQ ID NO:26, или  
iii) область CDR1L SEQ ID NO:27 и область CDR2L SEQ ID NO:28.

Дополнительный вариант осуществления изобретения представляет собой фармацевтическую композицию, содержащую биспецифичное антитело, содержащее первую связывающую часть, специфически связывающуюся с В-клеточным антигеном созревания человека (BCMA), и вторую связывающуюся

часть, специфически связывающуюся с CD3 $\epsilon$  человека (CD3), совместно с иммунотерапевтическим лекарственным средством, выбранным из группы, состоящей из талидомида и его иммунотерапевтического производного, анти-CD38 антитела, анти-PD-1 антитела и анти-PD-L1 антитела, для применения в качестве медикамента. Предпочтительно первая связывающая часть характеризуется тем, что указанная первая связывающая часть содержит область VH, содержащую область CDR1H SEQ ID NO:21, область CDR2H SEQ ID NO:22 и область CDR3H SEQ ID NO:17, и область VL, содержащую область CDR3L SEQ ID NO:20 и комбинацию областей CDR1L и CDR2L, выбранную из группы

- i) область CDR1L SEQ ID NO:23 и область CDR2L SEQ ID NO:24,
- ii) область CDR1L SEQ ID NO:25 и область CDR2L SEQ ID NO:26, или
- iii) область CDR1L SEQ ID NO:27 и область CDR2L SEQ ID NO:28.

Дополнительный вариант осуществления изобретения представляет собой фармацевтическую композицию, содержащую указанное биспецифичное антитело с усиленной эффекторной функцией, совместно с иммунотерапевтическим лекарственным средством, выбранным из группы, состоящей из талидомида и его иммунотерапевтического производного, анти-CD38 антитела, анти-PD-1 антитела и анти-PD-L1 антитела, для применения в качестве медикамента. Предпочтительно первая связывающая часть характеризуется тем, что указанная первая связывающая часть содержит область VH, содержащую область CDR1H SEQ ID NO:21, область CDR2H SEQ ID NO:22 и область CDR3H SEQ ID NO:17, и область VL, содержащую область CDR3L SEQ ID NO:20 и комбинацию областей CDR1L и CDR2L, выбранную из группы

- i) область CDR1L SEQ ID NO:23 и область CDR2L SEQ ID NO:24,
- ii) область CDR1L SEQ ID NO:25 и область CDR2L SEQ ID NO:26, или
- iii) область CDR1L SEQ ID NO:27 и область CDR2L SEQ ID NO:28.

Дополнительный вариант осуществления изобретения представляет собой фармацевтическую композицию, содержащую указанное биспецифичное антитело с уменьшенной эффекторной функцией, совместно с иммунотерапевтическим лекарственным средством, выбранным из группы, состоящей из талидомида и его иммунотерапевтического производного, анти-CD38 антитела, анти-PD-1 антитела и анти-PD-L1 антитела, для применения в качестве медикамента. Предпочтительно

первая связывающая часть характеризуется тем, что указанная первая связывающая часть содержит область VH, содержащую область CDR1H SEQ ID NO:21, область CDR2H SEQ ID NO:22 и область CDR3H SEQ ID NO:17, и область VL, содержащую область CDR3L SEQ ID NO:20 и комбинацию областей CDR1L и CDR2L, выбранную из группы

- i) область CDR1L SEQ ID NO:23 и область CDR2L SEQ ID NO:24,
- ii) область CDR1L SEQ ID NO:25 и область CDR2L SEQ ID NO:26, или
- iii) область CDR1L SEQ ID NO:27 и область CDR2L SEQ ID NO:28.

Дополнительный вариант осуществления изобретения представляет собой фармацевтическую композицию, содержащую указанное биспецифичное антитело в качестве диатела, совместно с иммунотерапевтическим лекарственным средством, выбранным из группы, состоящей из талидомида и его иммунотерапевтического производного, анти-CD38 антитела, анти-PD-1 антитела и анти-PD-L1 антитела, для применения в качестве медикамента. Предпочтительно первая связывающая часть характеризуется тем, что указанная первая связывающая часть содержит область VH, содержащую область CDR1H SEQ ID NO:21, область CDR2H SEQ ID NO:22 и область CDR3H SEQ ID NO:17, и область VL, содержащую область CDR3L SEQ ID NO:20 и комбинацию областей CDR1L и CDR2L, выбранную из группы

- i) область CDR1L SEQ ID NO:23 и область CDR2L SEQ ID NO:24,
- ii) область CDR1L SEQ ID NO:25 и область CDR2L SEQ ID NO:26, или
- iii) область CDR1L SEQ ID NO:27 и область CDR2L SEQ ID NO:28.

В одном варианте осуществления, биспецифичное антитело и иммунотерапевтическое лекарственное средство, выбранное из группы, состоящей из талидомида и его иммунотерапевтического производного, анти-CD38 антитела, анти-PD-1 антитела и анти-PD-L1 антитела, вводят один или два раза в неделю в одном варианте осуществления посредством подкожного введения (например, в одном варианте осуществления в диапазоне доз от 0,1 до 2,5, предпочтительно до 25 мг/м<sup>2</sup>/неделя, предпочтительно до 250 мг/м<sup>2</sup>/неделя). Благодаря превосходной цитотоксической активности биспецифичного антитела их можно вводить, по меньшей мере, при той же величине диапазона клинических доз (или даже ниже) по сравнению с обычными моноспецифичными антителами или обычными

биспецифичными антителами, которые не являются биспецифичными по отношению к Т-лимфоцитам (т.е. не связываются с CD3 одним плечом). Предусматривается, что для биспецифичного антитела и иммунотерапевтического лекарственного средства, выбранного из группы, состоящей из талидомида и его иммунотерапевтического производного, анти-CD38 антитела, анти-PD-1 антитела и анти-PD-L1 антитела, предпочтительным является под кожное введение в клинических условиях (например, в диапазоне доз от 0,1 до 250 мг/м<sup>2</sup>/неделя). Кроме того, для пациентов с высокими уровнями APRIL и BAFF в сыворотке (например, для пациентов с множественной миеломой) может не потребоваться увеличение дозы биспецифичного антитела, поскольку на него может не влиять конкуренция с лигандом. Напротив, дозы для других лиганд-блокирующих/конкурирующих анти-BCMA антител, возможно, должны быть увеличены для таких пациентов. Другим преимуществом биспецифичного антитела является период полужизни, составляющий примерно от 4 до 12 дней, который делает возможным введение по меньшей мере один или два раза в неделю.

В одном варианте осуществления, биспецифичное антитело представляет собой антитело, свойства которого позволяют проводить лечение один/два раза в неделю внутривенным путем, но предпочтительно путем под кожного введения (например, дозировка в диапазоне 200-2000 мг/м<sup>2</sup>/неделя в течение 4 недель). Предусматривается, что для под кожного введения биспецифичного антитела возможными и предпочтительными являются клинические условия (например, в диапазоне доз 200-2000 мг/м<sup>2</sup>/неделя, в зависимости от показаний по заболеванию). Кроме того, для пациентов с высоким уровнем APRIL и BAFF в сыворотке (например, для пациентов с множественной миеломой) может не потребоваться увеличение дозы биспецифичного антитела (например, не блокирующего лиганды/конкурирующего антитела), поскольку конкурирование с лигандом может не влиять на него. Напротив, дозы для других лиганд-блокирующих/конкурирующих анти-BCMA антител для таких пациентов, возможно, должны быть увеличены, что делает под кожное введение технически более сложным (например, фармацевтически). Другое преимущество биспецифичного антитела основано на включении части Fc, которая связана с периодом полужизни от 4 до 12 дней и делает возможным введение по меньшей мере один или два раза в неделю.

## ОПИСАНИЕ ГРАФИЧЕСКИХ МАТЕРИАЛОВ

Фиг. 1. Биспецифичные бивалентные антитела, содержащие только фрагменты Fab (специфические к CD3 и BCMA) и часть Fc, как указано: (A) Fab BCMA(RK/EE)-Fc-Fab CD3; (B) Fab BCMA-Fc-Fab CD3(RK/EE). аминокислотные замены RK/EE внесены в CL-CH1, чтобы уменьшить ошибочное спаривание/количество побочных продуктов при производстве LC. Fab CD3 включает в себя кроссовер VL-VH, чтобы уменьшить ошибочное спаривание LC и количество побочных продуктов.

Фиг. 2. Предпочтительные биспецифичные трехвалентные антитела, содержащие только фрагменты Fab (специфические к CD3 и BCMA) и часть Fc, как указано: (A) Fab BCMA(RK/EE)-Fc-Fab CD3-Fab BCMA(RK/EE); (B) Fab BCMA-Fc-Fab CD3(RK/EE)-Fab BCMA; (C) Fab BCMA(RK/EE)-Fc-Fab BCMA(RK/EE)-Fab CD3; (D) Fab BCMA-Fc-Fab BCMA-Fab CD3(RK/EE). аминокислотные замены RK/EE внесены в CL-CH1 чтобы уменьшить LC ошибочное спаривание/количество побочных продуктов при производстве. Предпочтительно Fab CD3 включает в себя кроссовер VL-VH, чтобы уменьшить ошибочное спаривание LC и количество побочных продуктов. Предпочтительно Fab CD3 и Fab BCMA соединены друг с другом гибкими линкерами.

Фиг. 3. Биспецифичные бивалентные антитела, содержащие только фрагменты Fab (специфические к CD3 и BCMA) и часть Fc, как указано: (A) Fc-Fab CD3-Fab BCMA(RK/EE); (B) Fc-Fab CD3(RK/EE)-Fab BCMA; (C) Fc-Fab BCMA(RK/EE)-Fab CD3; (D) Fc-Fab BCMA-Fab CD3(RK/EE). Предпочтительно, Fabs CD3 включает в себя кроссовер VL-VH, чтобы уменьшить ошибочное спаривание LC и количество побочных продуктов. Fab CD3 и Fab BCMA соединены друг с другом гибкими линкерами.

Фиг. 4. Перенаправленный лизис Т-лимфоцитами клеток H929 MM, индуцированный биспецифичными анти-BCMA/анти-CD3 Т-лимфоцитами антителами (BCMAxCD3-TCB), по данным измерения высвобождения ЛДГ (лактатдегидрогеназа). Кривые зависимости ответа от концентрации для лизиса клеток MM H929, индуцированного 21-TCBcv (закрашенный круг), 22-TCBcv (закрашенный треугольник), 42-TCBcv (закрашенный квадрат) по сравнению с 83A10-TCBcv (незакрашенный круг, пунктирная линия). Определение термина TCB или TCBcv смотрите выше. TCBcv, используемое в экспериментах, результаты которых показаны на Фиг. с 4 по 16 и с

19 по 21, имело форму, показанную на Фиг. 2А (св означает аминокислотные замены с вариантом по заряду). Происходило зависимое от концентрации уничтожение клеток Н929 для всех биспецифичных анти-BCMA/анти-CD3 Т-лимфоцитов антител, в то время как уничтожение не наблюдали с контрольным ТСВ. Эксперименты проводили с донором 1 (А), донором 3 (В), донором 4 (С), донором 5 (Д) МКПК с использованием соотношения эффекторных клеток к опухолевым клеткам-мишеням (Е:Т), составляющего 10 МКПК к 1 ММ клетке (смотрите Пример 8).

Фиг. 5. Перенаправленный лизис Т-лимфоцитами клеток L363 ММ, индуцированный биспецифичными анти-BCMA/анти-CD3 Т-лимфоцитов антителами, по данным измерения высвобождения ЛДГ. Кривые зависимости ответа от концентрации для лизиса клеток L363 ММ, индуцированного 21-TCBcv (закрашенный круг), 22-TCBcv (закрашенный треугольник), 42-TCBcv (закрашенный квадрат) по сравнению с 83A10-TCBcv (незакрашенный круг, пунктирная линия). Наблюдали зависимое от концентрации уничтожение клеток L363 для всех биспецифичных анти-BCMA/анти-CD3 Т-лимфоцитов антител, в то время как уничтожение не наблюдали с контрольным ТСВ. Эксперименты проводили с донором 1 (А), донором 2 (В), донором 3 (С), донором 4 (Д), донором 5 (Е) МКПК с использованием соотношения Е:Т, составляющего 10 МКПК к 1 ММ клетке (смотрите Пример 9).

Фиг. 6. Перенаправленный лизис Т-лимфоцитами клеток RPMI-8226 ММ, индуцированный биспецифичными анти-BCMA/анти-CD3 Т-лимфоцитов антителами, по данным измерения высвобождения ЛДГ. Кривые зависимости ответа от концентрации для лизиса клеток RPMI-8226 ММ, индуцированного 21-TCBcv (закрашенный круг), 22-TCBcv (закрашенный треугольник), 42-TCBcv (закрашенный квадрат) по сравнению с 83A10-TCBcv (незакрашенный круг, пунктирная линия). Наблюдали зависимое от концентрации уничтожение клеток RPMI-8226 для всех биспецифичных анти-BCMA/анти-CD3 Т-лимфоцитов антител, в то время как уничтожение не наблюдали с контрольным ТСВ. Эксперименты проводили с донором 2 (А), донором 3 (В), донором 4 (С), донором 5 (Д) МКПК с использованием соотношения Е:Т, составляющего 10 МКПК к 1 ММ клетке (смотрите Пример 10).

Фиг. 7. Перенаправленный лизис Т-лимфоцитами клеток JJN-3 ММ, индуцированный биспецифичными анти-BCMA/анти-CD3 Т-лимфоцитов антителами, по данным

проточной цитометрии. Зависимое от концентрации уничтожение клеток JJN-3 ММ с помощью 22-TCBcv (закрашенный треугольник), 42-TCBcv (закрашенный квадрат) по сравнению с 83A10-TCBcv (незакрашенный круг, пунктирная линия). Процент аннексин-V-положительных клеток JJN-3 (А, С) и лизиса опухолевых клеток (В, Д) были определены и нанесены на график. Процент лизиса клеток JJN-3, вызванный определенной концентрацией биспецифичного анти-BCMA/анти-CD3 Т-лимфоцитов антитела определяли следующим образом: абсолютное количество аннексин-V-негативных клеток JJN-3 при данной концентрации ТСВ и вычитая его из абсолютного количества аннексин-V-негативных клеток JJN-3 без ТСВ; деля на абсолютное количество аннексин-V-негативных клеток JJN-3 без ТСВ. Эксперименты проводили с 2 донорами МКПК: донором 1 (А, В) и донором 2 (С, Д) с использованием соотношения Е:Т, составляющего 10 МКПК к 1 клетке ММ (смотрите, Пример 11).

Фиг. 8. Перенаправленный лизис Т-лимфоцитами миеломных плазматических клеток костного мозга пациента с множественной миеломой в присутствии аутологичных инфильтрирующихся Т-лимфоцитов костного мозга (аспираты цельного костного мозга пациента), индуцированный биспецифичными анти-BCMA/анти-CD3 Т-лимфоцитами антителами, по данным мультипараметрической проточной цитометрии. Процент аннексин-V-положительных миеломных плазматических клеток определяли и наносили на график в зависимости от концентраций ТСВ. Наблюдали зависимый от концентрации и специфический лизис миеломных плазматических клеток пациента, в то же время не наблюдали лизис Т-лимфоцитов, В-лимфоцитов и NK-лимфоцитов исходя из 8-цветной мультипараметрической панели. Не наблюдали индукцию клеточной гибели миеломных плазматических клеток с контрольным ТСВ при самой высокой концентрации тестируемых антител ТСВ. По сравнению с 83A10-TCBcv (А), 42-TCBcv (В) и 22-TCBcv (С) были более эффективными в индукции клеточной гибели миеломных плазматических клеток костного мозга пациента (смотрите Пример 13).

Фиг. 9. Перенаправленный лизис Т-лимфоцитами миеломных плазматических клеток костного мозга пациента с множественной миеломой в присутствии аутологичных инфильтрирующихся Т-лимфоцитов костного мозга (аспираты цельного костного мозга пациента), индуцированный биспецифичными анти-

BCMA/анти-CD3 Т-лимфоцитов антителами, по данным проточной цитометрии. Процент аннексин-V-отрицательных миеломных плазматических клеток определяли и наносили на график в зависимости от концентраций ТСВ. Наблюдали зависимый от концентрации и специфичный лизис миеломных плазматических клеток пациента, в то же время не наблюдали лизис незлокачественных клеток костного мозга (данные не показаны). Не наблюдали индукцию клеточной гибели миеломных плазматических клеток с контрольным ТСВ при самой высокой концентрации тестируемых антител ТСВ (данные не показаны). По сравнению с 83A10-TCBcv, 42-TCBcv и 22-TCBcv были более эффективными в индуцировании уничтожения миеломных плазматических клеток костного мозга пациента, что отражалось в зависимом от концентрации снижении жизнеспособных (аннексин-V-отрицательных) миеломных плазматических клеток. Репрезентативные эксперименты на пациенте 001 (А) и пациенте 007 (В) (смотрите Пример 13).

Фиг. 10. Перенаправленный лизис Т-лимфоцитами миеломных плазматических клеток костного мозга пациента с множественной миеломой в присутствии аутологичных инфильтрирующихся Т-лимфоцитов костного мозга, индуцированный биспецифичными анти-BCMA/анти-CD3 Т-лимфоцитов антителами, по данным проточной цитометрии. Определяли процент миеломных плазматических клеток с отрицательной реакцией на пропидий йодид, и наносили на график процент жизнеспособных плазматических клеток костного мозга относительно контроля в виде питательной среды (МС) в зависимости от концентраций ТСВ. Наблюдали (А – Г) зависимый от концентрации и специфичный лизис миеломных плазматических клеток пациента, в то же время не наблюдали (Н) лизис микросреды костного мозга (ВММЕ) (данные не показаны). Не наблюдали индукцию клеточной гибели миеломных плазматических клеток с контрольным ТСВ при самой высокой концентрации тестируемых антител ТСВ. По сравнению с 83A10-TCBcv, 42-TCBcv и 22-TCBcv были более эффективными в индуцировании уничтожения миеломных плазматических клеток костного мозга пациента, что отражалось в зависимом от концентрации снижении жизнеспособных (отрицательных по пропидий йодиду) миеломных плазматических клеток. Эффект считался статистически значимым, если значение Р его соответствующего статистического теста составляло <5% (\*), <1% (\*\*) или <0,1% (\*\*\*) . Эксперименты проводились с использованием аспиратных

образцов костного мозга, взятых у пациента 1 (A), пациента 2 (B), пациента 3 (C), пациента 4 (D), пациента 5 (E), пациента 6 (F) и пациента 7 (G, H) (смотрите Пример 13).

Фиг. 11. Активация Т-лимфоцитов костного мозга пациента с миеломой в присутствии плазматических клеток костного мозга (аспираты цельного костного мозга пациента), индуцированная биспецифичными анти-BCMA/анти-CD3 Т-лимфоцитами антителами, по данным мультипареметрической проточной цитометрии (8-цветная панель окрашивания). Величину активации Т-лимфоцитов сравнивали между 83A10-TCBcv (A), 42-TCBcv (B) и 22-TCBcv (C) (смотрите Пример 14).

Фиг. 12. Концентрации 83A10-TCBcv, измеренные в образцах сыворотки (закрашенные символы с цельными линиями) и образцах костного мозга (незакрашенные символы с пунктирными линиями) после однократного внутривенного (в/в) введения яванским макакам 0,003, 0,03 и 0,1 мг/кг 83A10-TCBcv. Сбор образцов сыворотки проводили до введения дозы и через 30, 90, 180 мин, 7, 24, 48, 96, 168, 336, 504 ч после дозирования. Образцы костного мозга собирали до введения дозы и через 96 и 336 ч после введения дозы (смотрите Пример 16).

Фиг. 13. Перераспределение периферических Т-лимфоцитов, наблюдаемое у яванских макак после однократной внутривенной инъекции 83A10-TCBcv (0,003, 0,03 и 0,3 мг/кг). Животные A и B, C и D, а также E и F соответственно получали внутривенную инъекцию 0,003, 0,03 и 0,3 мг/кг 83A10-TCBcv. Абсолютное количество Т-лимфоцитов в крови (CD2+ клеток на мкл крови) наносили на график в зависимости от времени после обработки (смотрите Пример 16).

Фиг. 14. Уменьшение уровня плазматических клеток крови, наблюдаемое у яванских макак после однократной внутривенной инъекции 83A10-TCBcv (0,3 мг/кг), по данным мультипареметрической проточной цитометрии. Плазматические клетки (ПК) были идентифицированы на основе 6-цветной панели окрашивания, и процент ПК по сравнению с лимфоцитами был измерен и нанесен на контурные графики (A). Строили график кинетики деплетирования плазматических клеток крови после обработки 83A10-TCBcv 0,3 мг/кг у яванских макак (B) (смотрите Пример 16).

Фиг. 15. Противоопухолевая активность, индуцированная биспецифичным анти-BCMA/анти-CD3 Т-лимфоцитами антителом 83A10-TCBcv в модели

ксенотрансплантата миеломы человека Н929 с использованием гуманизированных по МКПК мышей NOG. Иммунодефицитные NOD/Shi-scid IL2rgamma(ноль) (NOG) получали в день 0 (Д0) клетки Н929 множественной миеломы человека в виде подкожной (п/к) инъекции в правый дорсальный подвздох. В день 15 (Д15) мыши NOG получали однократную внутрибрюшинную (в/б) инъекцию МКПК человека. Мышей затем тщательно рандомизировали в различные группы лечения и контроля ( $n = 9$ /группу) и проводили статистический тест для проверки однородности между группами. Экспериментальными группами были контрольная необработанная группа, обработанная контролльным ТСВ группа, обработанная 2,6 нМ/кг 83A10-TCBcv группа, и обработанная 2,6 нМ/кг BCMA50-BiT<sup>®</sup> (BCMAxCD3 (scFv)<sub>2</sub>) группа. Лечение антителами, проводимое путем инъекции в хвостовую вену, начинали на 19-й день (Д19), то есть через 19 дней после п/к инъекции опухолевых клеток Н929. Схема лечения антителом ТСВ состояла из внутривенного введения один раз в неделю в течение 3 недель (то есть всего 3 инъекции антитела ТСВ). Объем опухоли (ОО) измеряли штангенциркулем во время исследования, а прогресс оценивали путем межгруппового сравнения ОО. ОО (мм<sup>3</sup>) в зависимости от дня после опухолевой инъекции. В день 19, первый день лечения, средний объем опухоли достигал  $300 \pm 161$  мм<sup>3</sup> для контрольной группы, обработанной носителем (А),  $315 \pm 148$  мм<sup>3</sup> для группы, обработанной 2,6 нМ/кг контрольного ТСВ (А),  $293 \pm 135$  мм<sup>3</sup> для группы 2,6 нМ/кг 83A10-TCBcv (В) и  $307 \pm 138$  мм<sup>3</sup> для группы 2,6 нМ/кг BCMA50-BiT<sup>®</sup> (С). ОО каждой отдельной мыши для каждой экспериментальной группы наносили на график в зависимости от дня после опухолевой инъекции: (А) контрольные группы, включающие контроль в виде носителя (цельная линия) и контрольного ТСВ (пунктирная линия), (В) группа 83A10-TCBcv (2,6 нМ/кг) и (С) BCMA50-BiT<sup>®</sup> (2,6 нМ/кг). Черные стрелки показывают лечение ТСВ, проводимое путем внутривенной инъекцией. В группе 83A10-TCBcv (2,6 нМ/кг) у 6 из 9 мышей (67%) опухоль регрессировала даже ниже ОО, записанного в Д19, то есть первое лечение ТСВ и регрессия опухоли сохранялись до прекращения исследования. У 3 мышей в группе, обработанной 83A10-TCBcv (2,6 нМ/кг), которые не продемонстрировали регрессию опухоли, имели ОО, составляющие 376, 402 и 522 мм<sup>3</sup> соответственно в Д19. Напротив, ни у одной из 9 мышей (0%), получавших эквимолярную дозу BCMA50-BiT<sup>®</sup> (2,6 нМ/кг) по схеме один раз в неделю в течение

3 недель, не наблюдали регрессии опухоли в какой-либо момент времени (смотрите Пример 17).

Фиг. 16. Процент роста опухоли (РО) рассчитывали для Д19-Д43 и сравнивали между группой 83A10-TCBcv (2,6 нМ/кг) и BCMA50-BiT<sup>E</sup>® (2,6 нМ/кг). Процент роста опухоли, обозначенный как РО (%), определяли путем вычисления РО (%) = 100 x (медианное значение ОО анализируемой группы)/ (медианное значение ОО контрольной группы, получавшей носитель). По этическим причинам мышей умерщвляли, когда ОО достигал по меньшей мере 2000 мм<sup>3</sup>. РО (%) постепенно и значительно снижался в группе 83A10-TCBcv (2,6 нМ/кг), а также РО (%) всегда был ниже по сравнению с BCMA50-BiT<sup>E</sup>® (2,6 нМ/кг) (смотрите Пример 17).

Фиг. 17. Поверхностный плазмонный резонанс (ППР) 70 клонов, выбранных из ИФА. Все эксперименты проводились при 25 °C с использованием PBST в качестве рабочего буфера (10 мМ ФСБ, pH 7,4 и 0,005% (об./об.) Tween®20) с биосенсором ProteOn XPR36, снабженным сенсорными чипами GLC и GLM, и реагентами связывания. Иммобилизации проводили при скорости 30 мкл/мин на чипе GLM. pAb (козы) анти-IgG человека, F(ab)2-специфическое Ab (Jackson) связывали в вертикальном направлении, используя стандартную процедуру аминного связывания: все шесть лигандных каналов активировали в течение 5 минут смесью EDC (200 мМ) и сульфо-NHS (50 мМ). Сразу после активации поверхностей в течение 5 минут через все шесть каналов инъектировали pAb (козы) анти-IgG человека, F(ab)2-специфичное антитело (50 мкг/мл, 10 мМ ацетата натрия, pH 5). Наконец, каналы блокировали 5-минутной инъекцией 1 М этаноламин-HCl (pH 8,5). Конечные уровни иммобилизации были похожими на всех каналах, в пределах от 11000 до 11500 RU. Варианты Fab были захвачены из супернатантов *E. coli* путем одновременной инъекцией по пяти раздельным целым горизонтальным каналам (30 мкл/мин) в течение 5 минут, что дало в результате уровни в диапазоне от 200 до 900 RU, в зависимости от концентрации Fab в супернатанте; в шестой канал вводили кондиционную среду, чтобы получить контроль «в системе» в целях двойного сопоставления. Однократные кинетические измерения выполняли путем введения серии разведений BCMA человека и яванского макака (50, 10, 2, 0,4, 0,08, 0 нМ, 50 мкл/мин) в течение 3 минут по вертикальным каналам. Диссоциацию проверяли в течение 5 минут. Кинетические данные были проанализированы в ProteOn Manager

v. 2.1. Обработка данных реакции точки включала применение этапа межточкового сопоставления и шага двойного сопоставления с применением буферного контроля «в системе» (Myszka, 1999). Обработанные данные из повторных однократных инъекций соответствовали простой модели связывания Ленгмюра 1:1 без переноса массы (O'Shannessy et al., 1993).

Фиг. 18. Аффинность связывания антител к ВСМА на клетках HEK-huBCMA, измеренная с помощью проточной цитометрии. Анти-ВСМА антитела использовали в качестве первого антитела, затем в качестве антитела обнаружения использовали вторичный меченный РЕ анти-человеческий Fc. Было обнаружено, что связывание антител Mab 21, Mab 22, Mab 27, Mab 39 и Mab 42 с huBCMA на клетках HEK не было значительно лучше, чем связывание Mab 83A10 с клетками huBCMA-HEK.

Фиг. 19. Концентрации 42-TCBcv измеряли в сыворотке и костном мозге после однократной в/в или п/к инъекции у яванских макак. Животные получали однократную в/в или п/к инъекцию 42-TCBcv, и образцы крови в определенный момент времени отбирали через периферическую вену для оценки ФК при предварительной дозе, 30, 90, 180 мин, 7, 24, 48, 96, 168, 336 через 504 ч после дозирования. Образцы крови оставляли для свертывания в пробирках для отделения сыворотки на 60 мин при комнатной температуре. Сгусток осаждали центрифугированием. Полученную сыворотку хранили непосредственно при -80 °C до дальнейшего анализа. Образцы костного мозга для оценки ФК также собирали с бедренной кости под наркозом/обезболивающей обработкой до введения дозы, через 96 и 336 ч после введения дозы. Образцы костного мозга оставляли для свертывания в пробирках для отделения сыворотки на 60 минут при комнатной температуре. Сгусток осаждали центрифугированием. Полученный костный мозг хранили непосредственно при -80 °C до дальнейшего анализа. Выполняли анализ и оценивание ФК данных. Стандартный не компартментный анализ проводили с использованием пакета Watson (v 7.4, Thermo Fisher Scientific Waltman, MA, США) или системы Phoenix WinNonlin (v. 6.3, Certara Company, США). Диапазон эффективных концентраций 42-TCBcv в аспиратах костного мозга пациентов с множественной миеломой составляет от 10 пМ до 10 нМ (серая зона). Концентрации в скобках указаны в нМ.

Фиг. 20. Перенаправленный лизис Т-лимфоцитами лейкозных клеток костного мозга пациента с плазмоклеточным лейкозом в присутствии аутологичных Т-лимфоцитов или инфильтрирующихся Т-лимфоцитов костного мозга, индуцировался биспецифичными анти-BCMA/анти-CD3 Т-лимфоцитов антителами, по данным проточной цитометрии. Определяли процент миеломных плазматических клеток с отрицательной реакцией на пропидий йодид, и наносили на график процент жизнеспособных клеток плазмоклеточного лейкоза костного мозга относительно контроля в виде питательной среды (МС) в зависимости от концентраций ТСВ. Наблюдали (А, В) зависимый от концентрации и специфичный лизис клеток плазмоклеточного лейкоза пациента, в то же время не наблюдали (Н) лизис микросреды костного мозга (ВММЕ) (данные не показаны). Не наблюдали индукцию клеточной гибели миеломных плазматических клеток с контролльным ТСВ при самой высокой концентрации тестируемых антител ТСВ. 42-TCBcv было очень эффективным для индуцирования уничтожения клеток плазмоклеточного лейкоза костного мозга пациента, что отображалось в зависимом от концентрации снижении жизнеспособных (отрицательных по пропидий йодиду) миеломных плазматических клеток. Эффект считался статистически значимым, если значение Р его соответствующего статистического теста составляло <5% (\*), < 1% (\*\*) или <0,1% (\*\*\*) . Фигура иллюстрирует результаты, полученные на образцах костного мозга пациента 1 (А) и пациента 2 (В) (смотрите также Пример 20).

Фиг. 21. Перенаправленный лизис Т-лимфоцитами клеток H929 MM, индуцированный биспецифичными анти-BCMA/анти-CD3 Т-лимфоцитов антителами в комбинации с производными талидомида (леналидомид) или иммунотерапевтическими производными (анти-PD1 и анти-CD38 антителами), по данным проточной цитометрии. Клетки MM H929 совместно культивировали с лейкоцитами человека ( $n = 1$  или 5) и подвергали субоптимальным концентрациям биспецифичного анти-BCMA/анти-CD3 Т-лимфоцитов антитела - только А) 83A10-TCBcv (10 пМ), или только В) 42-TCBcv (10 пМ), в комбинации с субоптимальными концентрациями леналидомида (1 мкМ), анти-PD-1 (10 мкг/мл) и анти-CD38 дарatumумаба (10 мкг/мл). Комбинирование биспецифичного анти-BCMA/анти-CD3 Т-лимфоцитов антитела 83A10-TCBcv ( $n = 5$ ) с леналидомидом или анти-CD38 дарatumумабом значительно увеличивало их анти-MM эффективность в 4 и 2,5 раза

соответственно (А). Комбинирование 42-TCBcv (n = 1) с леналидомидом или даратумумабом также увеличивало их анти-ММ эффективность в уничтожении клеточных линий ММ (В).

## **ПОДРОБНОЕ ОПИСАНИЕ СУЩНОСТИ ИЗОБРЕТЕНИЯ**

Как применяется в данном документе термин «BCMA, BCMA-мишень, BCMA человека» относится к В-клеточному антигену созревания человека, также известному как BCMA; TR17\_HUMAN, TNFRSF17 (UniProt Q02223), который является членом суперсемейства рецепторов некроза опухолей, которое преимущественно экспрессируется в дифференцированных плазматических клетках. Внеклеточный домен BCMA состоит в соответствии с UniProt из аминокислот 1 - 54 (или 5-51). Как применяется в данном документе, термин «антитело к BCMA, анти-BCMA антитело» относится к антителу, специфически связывающемуся с внеклеточным доменом BCMA.

«Специфическое связывание с BCMA или связывание с BCMA» относится к антителу, которое способно связываться с BCMA-мишенью с достаточной аффинностью, так что антитело является полезным в качестве терапевтического агента для нацеливания на BCMA. В некоторых вариантах осуществления, степень связывания анти-BCMA антитела с белком, не родственным BCMA, примерно в 10 раз, предпочтительно больше чем в 100 раз меньше, чем связывание антитела с BCMA, как измерено, например, с помощью поверхностного плазмонного резонанса (SPR), например Biacore®, иммуноферментного анализа (ИФА) или проточной цитометрии (FACS). В одном варианте осуществления, антитело, которое связывается с BCMA, имеет константу диссоциации (КД)  $10^{-8}$  М или меньше, предпочтительно от  $10^{-8}$  М до  $10^{-13}$  М, предпочтительно от  $10^{-9}$  М до  $10^{-13}$  М. В одном варианте осуществления, анти-BCMA антитело связывается с эпитопом BCMA, который является консервативным среди BCMA разных видов, предпочтительно для человека и яванского макака, и, кроме того, предпочтительно также для BCMA мыши и крысы. «Биспецифичное антитело, специфически связывающееся с CD3 и BCMA, биспецифичное антитело к CD3 и BCMA» относится к соответствующему определению связывания с обеими мишениями. Антитело, специфически связывающееся с BCMA (или BCMA и CD3), не связывается с другими человеческими антигенами. Поэтому в ИФА значения OD для таких несвязанных

мишеней будут составлять или будут ниже значения предела обнаружения специфического анализа, предпочтительно > 0,3 нг/мл, или составлять или будут ниже значений OD контрольных образцов без связанного с плашкой BCMA или с нетрансфицированными клетками HEK293.

Предпочтительно анти-BCMA антитело специфически связывается с группой BCMA, состоящей из BCMA человека и BCMA не относящегося к человеку млекопитающего источника, предпочтительно BCMA из яванского макака, мыши и/или крысы. «Разница для яванского макака/человека» относится к соотношению аффинности КД BCMA яванского макака [M]/КД BCMA человека [M] (подробностисмотрите в Примере 3). «Разница по Mab CD3 для яванского макака/человека» в контексте данного документа относится к соотношению аффинности КД CD3 яванского макака [M]/КД CD3 человека [M]. В одном варианте осуществления, биспецифичное анти-BCMA/анти-CD3 антитело согласно данному изобретению демонстрирует разницу по Mab CD3 для яванского макака/человека от 1,25 до 5 или от 0,8 до 1,0. Биспецифичное антитело согласно данному изобретению в одном варианте осуществления характеризуется тем, что оно также специфически связывается с CD3 яванского макака. В одном варианте осуществления, биспецифичное анти-BCMA/анти-CD3 антитело согласно данному изобретению демонстрирует разницу по Mab CD3 для яванского макака/человека от 1,25 до 5 или от 0,8 до 1,0. Предпочтительно разница для яванского макака/человека находится в одном и том же диапазоне для анти-BCMA и анти-CD3 антитела.

Как применяется в данном документе, термин «APRIL» относится к рекомбинантному укороченному APRIL мыши (аминокислоты 106–241; NP\_076006). APRIL может быть продуцирован, как описано в Ryan, 2007 (Mol Cancer Ther; 6 (11): 3009–18).

Как применяется в данном документе, термин «BAFF» относится к рекомбинантному укороченному BAFF человека (UniProt Q9Y275 (TN13B\_HUMAN), который может быть получен, как описано в Gordon, 2003 (Biochemistry; 42 (20): 5977-5983). Предпочтительно His-тэгированный BAFF используется согласно данному изобретению. Предпочтительно His-тэгированный BAFF производят путем клонирования фрагмента ДНК, кодирующего остатки 82-285 BAFF, в вектор экспрессии, создавая гибрид с N-концевым His-тэгом, с сайтом расщепления

тромбином, экспрессируя указанный вектор и расщепляя выделенный белок тромбином.

Анти-BCMA антитела анализируют с помощью ИФА на связывание с BCMA человека с использованием связанного с плашкой BCMA. Для данного анализа используют количество связанного с плашкой BCMA, составляющее предпочтительно 1,5 мкг/мл, и концентрацию(ии) в диапазоне от 0,1 до 200 нМ анти-BCMA антитела.

Как применяется в данном документе, термин «NF-кВ» относится к рекомбинантному NF-кВ p50 (номер доступа P19838). Активность NF-кВ может быть измерена с помощью ДНК-связывающего ИФА экстракта клеток NCI-H929 MM (CRL-9068™). Клетки NCI-H929 MM, необработанные или обработанные 0,1 мкг/мл ФНО- $\alpha$ , 1000 нг/мл термообработанного НТ-укороченного BAFF, 1000 нг/мл укороченного BAFF, от 0,1 пМ до 200 нМ контроля изотипа, и с или без 0,1 пМ до 200 нМ анти-BCMA антитела инкубируют в течение 20 мин. Активность NF-кВ может быть проанализирована с использованием функционального ИФА, который обнаруживает хемилюминесцентный сигнал от p65, связанного с консенсусной последовательностью NF-кВ (US6150090).

Как применяется в данном документе, термин «дополнительная мишень» предпочтительно означает CD3 $\varepsilon$ . Термин «первая мишень и вторая мишень» означает либо CD3 в качестве первой мишени и BCMA в качестве второй мишени, либо означает BCMA в качестве первой мишени и CD3 в качестве второй мишени.

Как применяется в данном документе, термин «CD3 $\varepsilon$  или CD3» относится к CD3  $\varepsilon$  человека, описанному в UniProt P07766 (CD3E\_HUMAN). Термин «антитело к CD3 $\varepsilon$ , антитело к CD3 $\varepsilon$ » относится к антителу, специфически связывающемуся с CD3 $\varepsilon$ . В одном варианте осуществления, антитело содержит вариабельный домен VH, содержащий CDR SEQ ID NO:1, 2 и 3 тяжелой цепи в качестве соответственно CDR1H, CDR2H и CDR3H тяжелой цепи, и вариабельный домен VL, содержащий CDR SEQ ID NO:4, 5 и 6 легкой цепи в качестве соответственно CDR1L, CDR2L и CDR3L легкой цепи. В одном варианте осуществления, антитело содержит вариабельные домены SEQ ID NO:7 (VH) и SEQ ID NO:8 (VL).

Как применяется в данном документе, термин «анти-CD38 антитело» относится к антителу, специфически связывающемуся с CD38 человека. В варианте осуществления изобретения, анти-CD38 антитело представляет собой даратумумаб

(US20150246123). В варианте осуществления изобретения, анти-CD38 антитело представляет собой изатаксимаб (SAR650984, US8877899). В варианте осуществления изобретения, анти-CD38 антитело представляет собой MOR202 (WO 2012041800). В варианте осуществления изобретения, анти-CD38 антитело представляет собой Ab79 (US8362211). В варианте осуществления изобретения, анти-CD38 антитело представляет собой Ab19 (US8362211). Дозирование такого анти-CD38 антитела выполняется в соответствии с уровнем техники и описано в соответствующих инструкциях по применению. Например, доза даратумумаба обычно составляет 16 мг/кг ([www.ema.europa.eu](http://www.ema.europa.eu)).

Как применяется в данном документе, термин «соединение талидомида» или «талидомид и иммунотерапевтическое производное» относится к 2-(2,6-диоксопиперидин-3-ил)-2,3-дигидро-1Н-изоиндол-1,3-диону и его иммунотерапевтическому производному. В варианте осуществления изобретения, соединение талидомида выбирают из группы, состоящей из, но неограниченной лишь этими: талидомида (регистрационный номер CAS 50-35-1), леналидомида (регистрационный номер CAS 191732-72-6), помалидомида (регистрационный номер CAS 19171-19-8), CC122 (регистрационный номер CAS 1398053-45-6) и CC-220 (регистрационный номер CAS 1323403-33-3) и их соответствующих солей (предпочтительно HCl-соли 1:1). Химическая формула CC-122 представляет собой 2,6-пиперидиндион, 3-(5-амино-2-метил-4-оксо-3(4Н-хиназолинил), гидрохлорид (1:1), и для CC-220 - 2,6-пиперидиндион, 3-[1,3-дигидро-4-[[4-(4-морфолинилметил)фенил]метокси]-1-оксо-2Н-изоиндол-2-ил]-(3S)-, гидрохлорид (1:1). Способы получения CC-220 описаны, например, в US 20110196150, полное содержание которого включено в данный документ посредством ссылки.

Дозирование таломидных соединений выполняется в соответствии с уровнем техники и описано в соответствующих инструкциях по применению. Например, доза Revlimid® (леналидомид) обычно составляет 25 мг один раз в сутки перорально в дни 1-21 повторяющихся 28-суточных циклов ([www.revlimid.com](http://www.revlimid.com)), а доза POMALYST® (помалидомид) для лечения множественной миеломы обычно составляет 4 мг в сутки, принимаемая перорально в дни 1-21 повторяющихся 28-дневных циклов ([www.celgene.com](http://www.celgene.com)). В одном варианте осуществления, 3-(5-амино-

2-метил-4-оксо-4Н-хиназолин-3-ил)-пиперидин-2,6-дион вводят в количестве от около 5 до около 50 мг в сутки.

В одном варианте осуществления, СС-122 и СС-220 вводят в количестве от около 5 до около 25 мг в сутки. В другом варианте осуществления, СС-122 и СС-220 вводят в количестве около 5, 10, 15, 25, 30 или 50 мг в сутки. В другом варианте осуществления, в сутки вводят 10 или 25 мг СС-122 и СС-220. В одном варианте осуществления, СС-122 и СС-220 вводят два раза в сутки.

Как применяется в данном документе, термин «анти-PD-1 антитело» относится к антителу, специфически связывающемуся с PD-1 человека. Такими антителами являются, например, описанные в WO2015026634 (МК-3475, пембролизумаб), US7521051, US8008449 и US8354509. Пембролизумаб (Keytruda®, МК-3475) также описан в WO 2009/114335, Poole, R.M. Drugs (2014) 74: 1973; Seiwert, T., et al., J. Clin. Oncol. 32,5s (suppl; abstr 6011). В варианте осуществления изобретения, антитело к PD-1 представляет собой МК-3475 (WHO Drug Information, Vol. 27, No. 2, pages 161-162 (2013)) и содержит аминокислотные последовательности тяжелой и легкой цепи, показанные на Фиг.6 WO 2015026634. Аминокислотная последовательность пембролизумаба описана в WO2008156712 (CDR SEQ ID NO:15, 16 и 17 легкой цепи и CDR SEQ ID NO:18, 19 и 20 тяжелой цепи). В варианте осуществления изобретения, антитело к PD-1 представляет собой ниволумаб (BMS-936558, MDX 1106; WHO Drug Information, Vol. 27, No. 1, pages 68-69 (2013), WO2006/121168, аминокислотные последовательности показаны в WO 2015026634). В варианте осуществления изобретения, антитело PD-1 представляет собой пидилизумаб (CT-011, также известное как hBAT или hBAT-1; аминокислотную последовательностьсмотрите в WO 2003/099196; WO 2009/101611, Fried I. et al.; Neuro Oncol (2014) 16 (Suppl 5): v111-v112.). В варианте осуществления изобретения, антитело к PD-1 представляет собой MEDI-0680 (AMP-514, WO2010/027423, WO2010/027827, WO2010/027828, Hamid O. et al.; J Clin Oncol 33, 2015 (suppl; abstr TPS3087)). В варианте осуществления изобретения, антитело к PD-1 представляет собой PDR001 (Naing A. et al.; J Clin Oncol 34, 2016 (suppl; abstr 3060)). В варианте осуществления изобретения антитело к PD-1 представляет собой REGN2810 (Papadopoulos KPet al.; J Clin Oncol 34, 2016 (suppl; abstr 3024)). В варианте осуществления изобретения, антитело к PD-1 представляет собой ламбролизумаб (WO2008/156712). В варианте

осуществления изобретения, антитело PD-1 представляет собой h409A1 I, h409A16 или h409A17, которые описаны в WO2008/156712. Дозирование такого анти-PD-1 антитела выполняется в соответствии с уровнем техники и описано в соответствующих инструкциях по применению. Например, Keytruda® обычно вводят в концентрации 2 мг/кг массы тела раз в три недели (<http://ec.europa.eu/health/documents>).

Как применяется в данном документе, термин «анти-PD-L1 антитело» относится к антителу, специфически связывающемуся с PD-L1 человека. Такие антителами, например, описаны в WO2015026634, WO2013/019906, WO2010/077634 и US8383796. В варианте осуществления изобретения, антитело к PD-L1 представляет собой MPDL3280A (атезолизумаб, YW243.55.S70, WO2010/077634, McDermott DF. Et al., JCO March 10, 2016 vol. 34 no. 8 833-842). В варианте осуществления изобретения, антитело к PD-L1 представляет собой MDX-1105. (BMS-936559, WO2007/005874, Patrick A. Ott PA et al., DOI: 10.1158/1078-0432, Clinical Cancer Research-13-0143). В варианте осуществления изобретения, антитело к PD-L1 представляет собой MEDI4736 (дурвалумаб, WO 2016/040238 Gilbert J. et al., Journal for ImmunoTherapy of Cancer 20153(Suppl 2):P152). В варианте осуществления изобретения, антитело к PD-L1 представляет собой MSB001071 8C (авелумаб, Disis ML. et al., Journal of Clinical Oncology, Vol 33, No 15\_suppl (May 20 Supplement), 2015: 5509). В варианте осуществления изобретения, антитело к PD-L1 представляет собой анти-PD-L1 антитело, содержащее последовательность VH SEQ ID NO:16 и последовательность VL SEQ ID NO:17, как описано в WO2016007235. Дозирование такого анти-PD-L1 антитела выполняется в соответствии с уровнем техники и описано в соответствующих инструкциях по применению. Например, атезолизумаб обычно вводят в концентрации 1200 мг в виде внутривенной инфузии в течение 60 минут раз в 3 недели ([www.accessdata.fda.gov](http://www.accessdata.fda.gov)).

Как применяется в данном документе, термин «антитело» относится к моноклональному антителу. Антитело состоит из двух пар «легкая цепь» (LC) и «тяжелая цепь» (HC) (такие пары легкая цепь (LC)/тяжелая цепь в данном документе сокращенно обозначены как LC/HC). Легкие цепи и тяжелые цепи таких антител представляют собой полипептиды, состоящие из нескольких доменов. Каждая

тяжелая цепь содержит вариабельную область тяжелой цепи (сокращенно обозначенную в данном документе как HCVR или VH) и константную область тяжелой цепи. Константная область тяжелой цепи содержит константные домены тяжелой цепи CH1, CH2 и CH3 (антитела класса IgA, IgD и IgG) и, необязательно, константный домен тяжелой цепи CH4 (антитела класса IgE и IgM). Каждая легкая цепь содержит вариабельный домен легкой цепи VL и константный домен легкой цепи CL. Вариабельные домены VH и VL могут быть дополнительно подразделены на области гипервариабельности, называемые областями, определяющими комплементарность (CDR), которые перемеживаются с областями, которые являются более консервативными, называемыми каркасными областями (FR). Каждый VH и VL состоит из трех CDR и четырех FR, расположенных от аминоконца до карбоксиконца в следующем порядке: FR1, CDR1, FR2, CDR2, FR3, CDR3, FR4. «Константные домены» тяжелой цепи и легкой цепи не участвуют непосредственно в связывании антитела с мишенью, но проявляют различные эффекторные функции. Как применяется в данном документе, термин «антитело» относится также к той части антитела, которая необходима, по меньшей мере, для специфического связывания с антигеном CD3, и соответствующим ВСМА. Следовательно, такое антитело (или часть антитела) может быть, в одном варианте осуществления, фрагментом Fab, если указанная часть антитела содержится в биспецифичном антителе согласно данному изобретению. Антитело согласно данному изобретению также может представлять собой Fab', F(ab')<sub>2</sub>, scFv, di-scFv, или вовлекающий биспецифичный активатор Т-лимфоцитов (BiTE).

Термин «антитело» включает в себя, например, мышиные антитела, человеческие антитела, химерные антитела, гуманизированные антитела и сконструированные с помощью генной инженерии антитела (варианты или мутантные антитела) до тех пор, пока сохраняются их характерные свойства. Особенно предпочтительными являются человеческие или гуманизированные антитела, в частности в качестве рекомбинантных человеческих или гуманизированных антител. Дополнительные варианты осуществления представляют собой гетероспецифичные антитела (биспецифичные, триспецифичные и т. д.) и другие конъюгаты, например, с малыми цитотоксическими молекулами.

Термин «биспецифичное антитело», как применяется в данном документе, относится в одном варианте осуществления, к антителу, в котором одна из двух пар тяжелой цепи и легкой цепи (HC/LC) специфически связывается с CD3, а другая специфически связывается с ВСМА. Термин также относится к другим формам биспецифичных антител в соответствии с уровнем техники, в одном варианте осуществления, к биспецифичным одноцепочечным антителам.

Как применяется в данном документе, термин «TCB» относится к биспецифичному антителу, специфично связывающемуся с ВСМА и CD3. Как применяется в данном документе, термин «83A10-TCBcv» относится к биспецифичному антителу, специфично связывающемуся с ВСМА и CD3, как определено его комбинацией тяжелой и легкой цепей SEQ ID NO:45, SEQ ID NO:46, SEQ ID NO:47 (2x) и SEQ ID NO:48, и как показано на Фиг. 2А и описано в EP14179705. Как применяется в данном документе, термины «21-TCBcv, 22-TCBcv, 42-TCBcv» относятся к соответствующим биспецифичным антителам: Mab21, как определено его комбинацией тяжелой и легкой цепей SEQ ID NO:48, SEQ ID NO:49, SEQ ID NO:50 и SEQ ID NO:51 (2x), Mab 22, как определено его комбинациями тяжелой и легкой цепей SEQ ID NO:48, SEQ ID NO:52, SEQ ID NO:53 и SEQ ID NO:54 (2x), и Mab42, как определено его комбинацией тяжелой и легкой цепей SEQ ID NO:48 из SEQ ID NO:55, SEQ ID NO:56 и SEQ ID NO:57-(2x).

Как применяется в данном документе, термин «не конъюгированное антитело» относится к антителу, которое специфично связывается с ВСМА, содержит часть Fc и не конъюгировано с терапевтическим агентом, например с цитотоксическим агентом или радиоактивной меткой. Как применяется в данном документе, термин «конъюгированное антитело, лекарственный коньюгат» относится к антителу, которое специфично связывается с ВСМА и конъюгировано с терапевтическим агентом, например, с цитотоксичным агентом или радиоактивной меткой.

Как применяется в данном документе, термин «биспецифичное одноцепочечное антитело» относится к единой полипептидной цепи, содержащей, в одном варианте осуществления, два связывающих домена, один из которых специфично связывается с ВСМА, а другой, в одном варианте осуществления, специфично связывается с CD3. Каждый связывающий домен содержит одну вариабельную область тяжелой цепи антитела («область VH»), причем область VH первого

связывающего домена специфично связывается с молекулой CD3, а область VH второго связывающего домена специфично связывается с BCMA. Два связывающих домена необязательно соединены друг с другом коротким полипептидным спейсером. Неограничивающим примером полипептидного спейсера является Gly-Gly-Gly-Gly-Ser (G-G-G-G-S) и его повторы. Каждый связывающий домен может дополнительно содержать одну вариабельную область из легкой цепи антитела («область VL»), область VH и область VL в каждом первом и втором связывающих доменах, соединенных друг с другом через полипептидный линкер, достаточно длинный, чтобы сделать возможным спаривание области VH и области VL первого связывающего домена и области VH и области VL второго связывающего домена с друг с другом таким образом, что вместе они способны специфично связываться с соответствующими первым и вторым связывающими доменами (смотрите, например, EP0623679). Также упоминаются биспецифичные одноцепочечные антитела, например в Choi BD et al., Expert Opin Biol Ther. 2011 Jul;11(7):843-53 и Wolf E. et al., Drug Discov Today. 2005 Sep 15;10(18):1237-44.

Как применяется в данном документе, термин «диатело» относится к небольшому бивалентному и биспецифичному фрагменту антитела, содержащему вариабельный домен тяжелой (VH) цепи, соединенный с вариабельным доменом легкой цепи (VL) в той же полипептидной цепи (VH-VL), соединенные пептидным линкером, который является слишком коротким, чтобы сделать возможным спаривание между двумя доменами в той же цепи (Kipriyanov, Int. J. Cancer 77 (1998), 763-772). Это вызывает спаривание с комплементарными доменами другой цепи и способствует сборке димерной молекулы с двумя функциональными антиген-связывающими сайтами. Чтобы сконструировать биспецифичные диатела согласно данному изобретению, V-домены анти-CD3 антитела и анти-BCMA антитела соединяют, чтобы создать две цепи VH(CD3)-VL(BCMA), VH(BCMA)-VL(CD3). Каждая цепь сама по себе не может связываться с соответствующим антигеном, но воссоздает функциональные сайты связывания антигена анти-CD3 антитела и анти-BCMA антитела при спаривании с другой цепью. Две молекулы scFv с линкером между вариабельным доменом тяжелой цепи и вариабельным доменом легкой цепи, который является слишком коротким для внутримолекулярной димеризации, коэкспрессируются и самособираются для формирования биспецифичных молекул

с двумя сайтами связывания на противоположных концах. В качестве примера, вариабельные области, кодирующие связывающие домены к ВСМА и CD3, соответственно, могут быть амплифицированы с помощью ПЦР из конструкций ДНК, полученных, как описано, так что они могут быть клонированы в вектор, подобный pHOG, как описано в Kipiriyev et al., J. Immunol. Methods, 200, 69-77 (1997a). Две конструкции scFv затем объединяют в один вектор экспрессии в желаемой ориентации, в результате чего линкер VH-VL укорачивается, чтобы предотвратить обратное сворачивание цепей с самими собой. Сегменты ДНК разделены стоп-кодоном и сайтом связывания рибосомы (RBS). RBS делает возможным транскрипцию мРНК в виде бицистронной матричной РНК, которая транслируется рибосомами в два белка, которые нековалентно взаимодействуют с образованием молекулы диатела. Диатела, как и другие фрагменты антител, имеют преимущество в том, что они могут быть экспрессированы в бактериях (*E. coli*) и дрожжах (*Pichia pastoris*) в функциональной форме и с высоким выходом (вплоть до 1 г/л).

Как применяется в данном документе, термин «тандемные scFv» относится к одноцепочечной молекуле Fv (то есть к молекуле, образованной в результате объединения вариабельных доменов тяжелой и легкой цепи иммуноглобулина, VH и VL соответственно), как описано, например, в WO 03/025018 и WO 03/048209. Такие молекулы Fv, которые известны как TandAbs®, содержат четыре вариабельных домена антитела, причем (i) либо первые два, либо последние два из четырех вариабельных доменов внутримолекулярно связываются друг с другом в одной и той же цепи, формируя антиген-связывающий scFv в ориентация VH/VL или VL/VH, (ii) два других домена связываются межмолекулярно с соответствующими доменами VH или VL другой цепи с образованием антиген-связывающих пар VH/VL. В предпочтительном варианте осуществления, как упомянуто в WO 03/025018, мономеры такой молекулы Fv содержат, по меньшей мере, четыре вариабельных домена, из которых два соседних домена одного мономера образуют антиген-связывающую единицу VH-VL или VL-VH scFv.

Как применяется в данном документе, термин «DARPins» относится к молекуле биспецифичного анкиринового повтора, как описано, например, в US 2009082274. Такие молекулы получены из природных анкириновых белков, которые можно найти в геноме человека, и являются одним из наиболее распространенных типов

связывающих белков. Модуль библиотеки DARPin определяется природными белковыми последовательностями анкириновых повторов, используя 229 анкириновых повторов для первоначального дизайна и еще 2200 для последующего уточнения. Модули служат строительными блоками для библиотек DARPin. Модули библиотеки напоминают последовательности генома человека. DARPin состоит из 4-6 модулей. Потому что каждый модуль примерно 3,5 кДа, размер среднего DARPin составляет 16-21 кДа. Выбор связывателей осуществляется с помощью рибосомного дисплея, который является полностью бесклеточным и описан в He M and Taussig MJ., Biochem Soc Trans. 2007, Nov;35(Pt 5):962-5.

Термин «вовлекающий биспецифичный активатор Т-лимфоцитов» обозначает гибридные белки, состоящие из двух одноцепочечных вариабельных фрагментов (scFv) различных антител, или аминокислотных последовательностей из четырех разных генов в одной пептидной цепи длиной около 55 килодальтон. Один из scFv связывается с Т-лимфоцитами через рецептор CD3, а другой - с BCMA.

Существует пять типов тяжелых цепей антител млекопитающих, обозначаемых греческими буквами:  $\alpha$ ,  $\delta$ ,  $\epsilon$ ,  $\gamma$  и  $\mu$  (Janeway CA, Jr et al (2001). Immunobiology. 5th ed., Garland Publishing). Тип присутствующей тяжелой цепи определяет класс антитела; эти цепи обнаружены в антителах IgA, IgD, IgE, IgG и IgM соответственно (Rhoades RA, Pflanzer RG (2002). Human Physiology, 4th ed., Thomson Learning). Различные тяжелые цепи отличаются по размеру и составу;  $\alpha$  и  $\gamma$  содержат примерно 450 аминокислот, тогда как  $\mu$  и  $\epsilon$  содержат примерно 550 аминокислот.

Каждая тяжелая цепь имеет две области: константную область и вариабельную область. Константная область идентична у всех антител одного и того же изотипа, но отличается у антител разных изотипов. Тяжелые цепи  $\gamma$ ,  $\alpha$  и  $\delta$  имеют константную область, состоящую из трех константных доменов CH1, CH2 и CH3 (в ряд), и шарнирную область для дополнительной гибкости (Woof J, Burton D Nat Rev Immunol 4 (2004) 89-99); тяжелые цепи  $\mu$  и  $\epsilon$  имеют константную область, состоящую из четырех константных доменов CH1, CH2, CH3 и CH4 (Janeway CA, Jr et al (2001). Immunobiology. 5th ed., Garland Publishing). Вариабельная область тяжелой цепи отличается у антител, продуцируемых разными В-лимфоцитами, но одинакова для всех антител, продуцируемых одним В-лимфоцитом или клоном В-лимфоцита.

Вариабельная область каждой тяжелой цепи имеет длину примерно 110 аминокислот и состоит из одного домена антитела.

У млекопитающих есть только два типа легких цепей, которые называются лямбда ( $\lambda$ ) и каппа ( $\kappa$ ). Легкая цепь имеет два следующих друг за другом домена: один константный домен CL и один вариабельный домен VL. Примерная длина легкой цепи составляет от 211 до 217 аминокислот. В одном варианте осуществления, легкая цепь представляет собой легкую цепь каппа ( $\kappa$ ), и константный домен CL, в одном варианте осуществления, получают из легкой цепи каппа (K) (константный домен CK).

Как применяется в данном документе, термин «аминокислотная замена» относится к независимой аминокислотной замене в константном домене CH1 аминокислоты в позициях 147 и 213 на глутаминовую кислоту (E) или аспарагиновую кислоту (D), и в константном домене CL аминокислота в позиции 124 замещена лизином (K), аргинином (R) или гистидином (H). Дополнительно, в одном варианте осуществления, в константном домене CL аминокислота в позиции 123 независимо замещена лизином (K), аргинином (R) или гистидином (H). В одном варианте осуществления, аминокислота 124 представляет собой K, аминокислота 147 представляет собой E, аминокислота 213 представляет собой E и аминокислота 123 представляет собой R. Аминокислотные замены находятся либо в CD3 Fab, либо в одном или двух BCMA Fab. Биспецифичные антитела к BCMA и CD3 в качестве вариантов по заряду описаны в EP14179705, раскрытом посредством ссылки (далее называемые «варианты по заряду, соответственно варианты по смене заряда»).

Все нумерации аминокислот в данном документе соответствуют таким Кабата (Kabat, E.A. et al, Sequences of Proteins of Immunological Interest, 5th ed. Public Health Service, National Institutes of Health, Bethesda, MD (1991), NIH Publication 91-3242).

Как применяется в данном документе, термины «моноклональное антитело» или «композиция моноклонального антитела» относятся к препарату молекул антитела одного аминокислотного состава.

«Антитела» согласно данному изобретению могут быть любого класса (например, IgA, IgD, IgE, IgG и IgM, предпочтительно IgG или IgE) или подкласса (например, IgG1, IgG2, IgG3, IgG4, IgA1 и IgA2, предпочтительно IgG1), в результате чего оба антитела, из которых получено бивалентное биспецифичное антитело согласно

данному изобретению, имеют часть Fc того же подкласса (например, IgG1, IgG4 и т. п., предпочтительно IgG1), предпочтительно одного и того же аллотипа (например, европейского).

«Часть Fc антитела» является термином, хорошо известным специалисту в данной области техники, и определяется исходя из расщепления антител папаином. В одном варианте осуществления изобретения, биспецифичное антитело содержит в качестве части Fc, в одном варианте осуществления, часть Fc, полученную из человеческого источника, и предпочтительно все другие части человеческих константных областей. Часть Fc антитела прямо участвует в активации комплемента, связывании C1q, активации C3 и связывании рецептора Fc. В то время как влияние антитела на систему комплемента зависит от определенных условий, связывание с C1q вызывается определенными сайтами связывания в части Fc. Такие сайты связывания известны в данной области техники и описаны, например, Lukas, T.J., et al., J. Immunol. 127 (1981) 2555-2560; Brunhouse, R., и Cebra, J.J., Mol. Immunol. 16 (1979) 907-917; Burton, D.R., et al., Nature 288 (1980) 338-344; Thommesen, J.E., et al., Mol. Immunol. 37 (2000) 995-1004; Idusogie, E.E., et al., J. Immunol. 164 (2000) 4178-4184; Hezareh, M., et al., J. Virol. 75 (2001) 12161-12168; Morgan, A., et al., Immunology 86 (1995) 319-324; и EP 0 307 434.

Такими сайтами связывания являются, например, L234, L235, D270, N297, E318, K320, K322, P331 и P329 (нумерация в соответствии нумерации EU Кабата). Антитела подкласса IgG1, IgG2 и IgG3 обычно демонстрируют активацию комплемента, связывание C1q и активацию C3, тогда как IgG4 не активируют систему комплемента, не связывают C1q и не активируют C3. В одном варианте осуществления, часть Fc представляет собой часть Fc человека.

В одном варианте осуществления изобретения, биспецифичное антитело содержит вариант Fc Fc-области человеческого IgG дикого типа, причем указанный вариант Fc содержит аминокислотную замену в позиции Pro329 и, по меньшей мере, одну дополнительную аминокислотную замену, причем аминокислотные остатки пронумерованы в соответствии с нумерацией EU Кабата, и при этом указанное антитело проявляет уменьшенную аффинность к FcγRIIA и/или FcγRIIA и/или FcγRI по сравнению с антителом, содержащим область Fc IgG дикого типа, и при этом АЗКЦ, индуцированная указанным антителом уменьшается по меньшей мере до

20% от А3КЦ, индуцированной антителом, содержащим область Fc человеческого IgG дикого типа. В конкретном варианте осуществления, Pro329 человеческой области Fc дикого типа в биспецифичном антителе замещен глицином или аргинином или аминокислотным остатком, достаточно большим для разрушения пролиновой структуры типа «сэндвич» в интерфейсе Fc/Fcy-рецептора, который образуется между пролином 329 Fc и остатками триптофана Trp 87 и Trp 110 Fc $\gamma$ RIII (Sondermann et al.: Nature 406, 267-273 (20 July 2000)). В дополнительном аспекте изобретения, по меньшей мере одна дополнительная аминокислотная замена в варианте Fc представляет собой S228P, E233P, L234A, L235A, L235E, N297A, N297D или P331S, и, тем не менее, в другом варианте осуществления указанная по меньшей мере одна дополнительная аминокислотная замена представляет собой L234A и L235A области Fc IgG1 человека, или S228P и L235E области Fc IgG4 человека. Такие варианты Fc подробно описаны в WO2012130831.

Как применяется в данном документе, под «эффекторной функцией» подразумевается биохимическое событие, которое возникает в результате взаимодействия области Fc антитела с рецептором Fc или лигандом. Эффекторные функции включают в себя, но не ограничиваются лишь этими: А3КЦ, А3КФ (антителозависимый клеточный фагоцитоз), и К3Ц (комplementзависимая цитотоксичность). Как применяется в данном документе, под «эффекторной клеткой» подразумевается клетка иммунной системы, которая экспрессирует один или большее количество рецепторов Fc и опосредует одну или большее количество эффекторных функций. Эффекторные клетки включают в себя, но не ограничиваются лишь этими: моноциты, макрофаги, нейтрофилы, дендритные клетки, эозинофилы, тучные клетки, тромбоциты, В-лимфоциты, крупные гранулярные лимфоциты, клетки Лангерганса, клетки естественные киллеры (NK) и γ $\square$  Т-лимфоциты, и могут быть из любого организма, включая, но не ограничиваясь людьми, мышами, крысами, кроликами и обезьянами. Под «библиотекой» в данном документе подразумевается набор вариантов Fc в любой форме, включая в себя, но не ограничиваясь лишь этими: список нуклеотидных или аминокислотных последовательностей, список нуклеотидных или аминокислотных замен в вариабельных позициях, физическую библиотеку, содержащую нуклеиновые кислоты, которые кодируют последовательности библиотеки, или физическую

библиотеку, содержащую вариантные белки Fc, в очищенной или неочищенной форме.

Как применяется в данном документе, термин «гамма-рецептор Fc» или «Fc $\gamma$ R» означает любой член семейства белков, которые связываются с областью Fc антитела IgG и по существу кодируются генами Fc $\gamma$ R. У людей это семейство включает в себя, но не ограничивается Fc $\gamma$ RI (CD64), включая изоформы Fc $\gamma$ RIa, Fc $\gamma$ RIb, и Fc $\gamma$ RIc; Fc $\gamma$ RII (CD32), включая изоформы Fc $\gamma$ RIIa (включая аллотипы H131 и R131), Fc $\gamma$ RIIb (включая Fc $\gamma$ RIIb-1 и Fc $\gamma$ RIIb-2), и Fc $\gamma$ RIIc; и Fc $\gamma$ RIII (CD16), включая изоформы Fc $\gamma$ RIIIa (включая аллотипы V158 и F158) и Fc $\gamma$ RIIIb (включая изотипы Fc $\gamma$ RIIIb-NA1 и Fc $\gamma$ RIIIb- NA2) (Jefferis et al., 2002, Immunol Lett 82:57-65), а также любые неизвестные изоформы или аллотипы Fc $\gamma$ Rs или Fc $\gamma$ R человека. Fc $\gamma$ R может быть из любого организма, включая в себя, но не ограничиваясь людьми, мышами, крысами, кроликами и обезьянами. Мышиные Fc $\gamma$ Rs включают в себя, но не ограничиваются лишь этими: Fc $\gamma$ RI (CD64), Fc $\gamma$ RII (CD32), Fc $\gamma$ RIII (CD16), и Fc $\gamma$ RIII-2 (CD16-2), а также любые неизвестные изоформы или аллотипы Fc $\gamma$ R или Fc $\gamma$ R мыши.

Как применяется в данном документе, термин «вариант Fc с усиленной эффекторной функцией» означает последовательность Fc, которая отличается от исходной последовательности Fc по меньшей мере одной аминокислотной модификацией, или относится к другим модификациям, таким как изменение гликозилирования, например, по Asn279, которые усиливают эффекторные функции. Такими модификациями являются, например, упомянутые в Duncan et al., 1988, Nature 332:563-564; Lund et al., 1991, J Immunol 147:2657-2662; Lund et al., 1992, Mol Immunol 29:53-59; Alegre et al., 1994, Transplantation 57:1537-1543; Hutchins et al., 1995, Proc Natl Acad Sci U S A 92:11980-11984; Jefferis et al., 1995, //77muno/ Lett 44:111-117; Lund et al., 1995, Faseb J 9:115-119; Jefferis et al., 1996, Immunol Lett 54:101-104; Lund et al., 1996, J Immunol 157:4963- 4969; Armour et al., 1999, Eur J Immunol 29:2613-2624; Idusogie et al., 2000, J Immunol 164:4178-4184; Reddy et al., 2000, J Immunol 164:1925-1933; Xu et al., 2000, Cell Immunol 200: 16-26; Idusogie et al., 2001, J Immunol 166:2571-2575; Shields et al., 2001, J Biol Chem 276:6591 -6604; Jefferis et al., 2002, Immunol Lett 82:57-65; Presta et al., 2002, Biochem Soc Trans 30:487-490; US5624821; US5885573; US6194551; WO200042072; WO199958572.

Такие модификации Fc также включают в себя сконструированные в соответствии с изобретением гликоформы части Fc. Под «сконструированной гликоформой», как применяется в данном документе, подразумевается углеводная композиция, которую ковалентно присоединяют к полипептиду Fc, причем указанная углеводная композиция химически отличается от композиции исходного полипептида Fc. Сконструированные гликоформы могут быть получены любым способом, например, с использованием сконструированных или вариантовых экспрессионных штаммов, путем коэкспрессии с одним или большим количеством ферментов, например, D1-4-N-ацетилглюкозаминилтрансферазой III (GnTIII), путем экспрессии полипептида Fc в различных организмах или клеточных линиях из различных организмов, или путем модификации углеводов после экспрессии полипептида Fc. Способы получения сконструированных гликоформ известны в данной области техники и упомянуты в Umana et al., 1999, Nat Biotechnol 17:176-180; Davies et al., 2001, Biotechnol Bioeng 74:288-294; Shields et al., 2002, J Biol Chem 277:26733-26740; Shinkawa et al., 2003, J Biol Chem 278:3466-3473) US6602684; WO200061739; WO200129246; WO200231140; WO200230954; технология Potelligent™ (Biowa, Inc., Princeton, N.J.); технология разработки гликозилирования GlycoMAb™ (GLYCART biotechnology AG, Цюрих, Швейцария)). Сконструированная гликоформа обычно относится к другой углеводной или олигосахаридной композиции, чем исходный полипептид Fc.

В одном варианте осуществления изобретения, биспецифичное антитело содержит вариант Fc с усиленной эффекторной функцией, проявляющий высокую аффинность связывания с Fc-гамма рецептором III (FcγRIII, CD 16a). Высокая аффинность связывания с FcγRIII означает, что связывание усилено для CD16a/F158 по меньшей мере в 10 раз по сравнению с исходным антителом (95% фукозилирование), в качестве стандарта экспрессируемого в клетках-хозяевах CHO, таких как клетки DG44 CHO или K1 CHO, или/и связывание усилено для CD16a/V158 по меньшей мере в 20 раз по сравнению с исходным антителом, как измерено с помощью поверхностного плазмонного резонанса (SPR) с использованием иммобилизованного CD 16a при концентрации антитела 100 нМ. Связывание FcγRIII может быть усилено с помощью способов согласно уровню техники, например, путем модификации аминокислотной последовательности части Fc или гликозилирования части Fc антитела (смотрите, например, EP2235061). Mori, K et al., Cytotechnology 55

(2007)109 и Satoh M, et al., Expert Opin Biol Ther. 6 (2006) 1161-1173 относятся к линии СНО с нокаутированным геном FUT8 ( $\alpha$ -1,6-фукозилтрансфераза) для продуцирования афукозилированных антител.

Термин «химерное антитело» относится к антителу, содержащему вариабельную область, то есть связывающую область, из одного источника или вида и, по меньшей мере, часть константной области, полученную из другого источника или вида, обычно полученную методами рекомбинантной ДНК. Химерные антитела, содержащие мышью вариабельную область и человеческую константную область, являются предпочтительными. Другими предпочтительными формами «химерных антител», охватываемых данным изобретением, являются те, в которых константная область была модифицирована или изменена по сравнению с таковой исходного антитела, для получения свойств согласно данному изобретению, особенно в отношении связывания C1q и/или связывания Fc рецептора (FcR). Такие химерные антитела также называют «антителами с измененным классом». Химерные антитела являются продуктом экспрессированных генов иммуноглобулинов, содержащих сегменты ДНК, кодирующие вариабельные области иммуноглобулинов, и сегменты ДНК, кодирующие константные области иммуноглобулинов. Способы получения химерных антител включают в себя обычные методы рекомбинантных ДНК и трансфекции генов, хорошо известные в данной области техники. Смотрите, например, Morrison, S.L., et al., Proc. Natl. Acad. Sci. USA 81 (1984) 6851-6855; патенты США № 5202238 и 5204244.

Термин «гуманизированное антитело» относится к антителам, в которых каркас или «определяющие комплементарность области» (CDR) были модифицированы так, что содержат CDR иммуноглобулина отличающейся специфичности по сравнению с таковой исходного иммуноглобулина. В предпочтительном варианте осуществления, мышью CDR вставляют в каркасную область человеческого антитела для получения «гуманизированного антитела». Смотрите, например, Riechmann, L., et al., Nature 332 (1988) 323-327; и Neuberger, M.S., et al., Nature 314 (1985) 268-270. Другие формы «гуманизированных антител», охватываемые данным изобретением, представляют собой те, в которых константная область была дополнительно модифицирована или изменена по сравнению с формой исходного

антитела для создания свойств согласно данному изобретению, в частности в отношении связывания С1q и/или связывания рецептора Fc (FcR).

Как применяется в данном документе, термин «человеческое антитело» включает в себя антитела, имеющие вариабельные и константные области, полученные из последовательностей иммуноглобулинов зародышевой линии человека. Человеческие антитела хорошо известны в данной области техники (van Dijk, M.A., и van de Winkel, J.G., Curr. Opin. Chem. Biol. 5 (2001) 368-374). Человеческие антитела могут также продуцироваться в трансгенных животных (например, мышах), которые способны после иммунизации продуцировать полный репертуар или выборку человеческих антител при отсутствии продуцирования эндогенных иммуноглобулинов. Перенос массива генов иммуноглобулинов зародышевой линии человека в такие зародышевые линии мутантных мышей приведет к продуцированию антител человека (смотрите, например, Jakobovits, A., et al., Proc. Natl. Acad. Sci. USA 90 (1993) 2551-2555; Jakobovits, A., et al., Nature 362 (1993) 255-258; Bruggemann, M., et al., Year Immunol. 7 (1993) 33-40). Человеческие антитела также могут быть получены в библиотеках фагового дисплея (Hoogenboom, H.R., и Winter, G., J. Mol. Biol. 227 (1992) 381-388; Marks, J.D., et al., J. Mol. Biol. 222 (1991) 581-597). Методы Cole et al. и Boerner et al. также доступны для приготовления человеческих моноклональных антител (Cole et al., Monoclonal Antibodies and Cancer Therapy, Alan R. Liss, p. 77 (1985); и Boerner, P., et al., J. Immunol. 147 (1991) 86-95). Как уже упоминалось для химерных и гуманизированных антител согласно данному изобретению, термин «человеческое антитело», как применяется в данном документе, также включает в себя такие антитела, которые модифицированы в константной области для получения свойств согласно данному изобретению, особенно в отношении связывания с С1q и/или связывания с FcR, например, путем «переключения классов», т. е. изменения или мутации частей Fc (например, из IgG1 в IgG4 и/или мутации IgG1/IgG4).

Термин «рекомбинантное человеческое антитело», как применяется в данном документе, предназначен для включения в себя всех человеческих антител, которые получают, экспрессируют, создают или выделяют рекомбинантными способами, таких как антитела, выделенные из клетки-хозяина, такой как клетка NSO или СНО, или из животного (например, мыши), которое является трансгенным по генах

иммуноглобулинов человека или антителах, экспрессируемых с использованием рекомбинантного вектора экспрессии, трансфицированного в клетку-хозяина. Такие рекомбинантные человеческие антитела имеют вариабельные и константные области в перекомпонованной форме. Рекомбинантные человеческие антитела подвергают соматической гипермутации *in vivo*. Таким образом, аминокислотные последовательности областей VH и VL рекомбинантных антител представляют собой последовательности, которые, хоть и получены из и связанные с последовательностями VH и VL зародышевой линии человека, в естественных условиях могут не существовать в репертуаре антител зародышевой линии человека *in vivo*.

Как применяется в данном документе, термин «вариабельный домен» (вариабельный домен легкой цепи (VL), вариабельная область тяжелой цепи (VH)) обозначает каждую из пар легкой и тяжелой цепей, которая непосредственно участвует в связывании антитела. Вариабельные домены легкой и тяжелой цепей человека имеют одинаковую общую структуру, и каждый домен содержит четыре каркасных (FR) области, последовательности которых являются весьма консервативными, соединенные тремя «гипервариабельными областями» (или областями, определяющими комплементарность, CDR). Каркасные области принимают конформацию  $\beta$ -листа, и CDR могут образовывать петли, соединяющие структуру  $\beta$ -листа. CDR в каждой цепидерживаются в их трехмерной структуре каркасными областями и вместе с CDR из другой цепи образуют сайт связывания. Области CDR3 тяжелой и легкой цепей антитела играют особенно важную роль в специфичности/аффинности связывания антител и, следовательно, представляют собой дополнительный объект изобретения. «Связывающая часть, содержащая область VH и область VL» означает, что данные области являются соответствующими областями VH и VL указанной части, связывающей BCMA или CD3.

Термины «гипервариабельная область» или «связывающая мишень часть антитела», когда применяются в данном документе, относятся к аминокислотным остаткам антитела, которые отвечают за связывание мишени. Гипервариабельная область содержит аминокислотные остатки из «областей, определяющих комплементарность» или «CDR». «Каркасные» или «FR» области представляют

собой такие области вариабельных доменов, которые не являются остатками гипервариабельной области, как определено в данном документе. Следовательно, легкая и тяжелая цепи антитела содержат от N- до C-конца домены FR1, CDR1, FR2, CDR2, FR3, CDR3 и FR4. CDR на каждой цепи разделены такими каркасными аминокислотами. В частности, CDR3 тяжелой цепи представляет собой область, которая в наибольшей степени способствует связыванию с мишенью. Области CDR и FR определяют в соответствии со стандартным обозначением Kabat et al., Sequences of Proteins of Immunological Interest, 5th ed., Public Health Service, National Institutes of Health, Bethesda, MD (1991). Как применяется в данном документе, термины «CDR1H, CDR2H и CDR3H» относятся к соответствующим CDR тяжелой цепи, расположенным в вариабельном домене VH. Как применяется в данном документе, термины «CDR1L, CDR2L и CDR3L» относятся к соответствующим CDR легкой цепи, расположенным в вариабельном домене VL.

Константный домен тяжелой цепи CH1, которым заменяют домен тяжелой цепи CH3, может относиться к любому классу Ig (например, IgA, IgD, IgE, IgG и IgM) или подклассу (например, IgG1, IgG2, IgG3, IgG4, IgA1 и IgA2). Константный домен CL легкой цепи, которым заменяют домен CH3 тяжелой цепи, может быть типа лямбда ( $\lambda$ ) илиkapпа ( $\kappa$ ), предпочтительно типа каппа ( $\kappa$ ).

Как применяется в данном документе, термин «мишень» или «молекула-мишень» используются взаимозаменяющими и относятся к BCMA человека. В отношении биспецифичных антител данный термин относится к BCMA и второй мишени. Предпочтительно в отношении биспецифичных антител данный термин относится к BCMA и CD3.

Термин «эпитоп» включает в себя любую полипептидную детерминанту, способную специфически связываться с антителом. В некоторых вариантах осуществления, детерминанта эпитопа включает в себя химически активные поверхностные группы молекул, таких как аминокислоты, боковые сахарные цепи, фосфорил или сульфонил, и, в некоторых вариантах, может иметь специфические характеристики трехмерной структуры и/или специфические характеристики заряда. Эпитоп представляет собой область мишени, с которой связывается антитело.

В целом, как правило, есть два вектора, кодирующие легкую цепь и тяжелую цепь антитела. Что касается биспецифичного антитела, то есть два вектора, кодирующие

легкую цепь и тяжелую цепь указанного антитела, специфически связывающиеся с первой мишенью, и еще два вектора, кодирующие легкую цепь и тяжелую цепь указанного антитела, специфически связывающиеся со второй мишенью. Один из двух векторов кодирует соответствующую легкую цепь, а другой из двух векторов кодирует соответствующую тяжелую цепь. Однако в альтернативном способе приготовления антитела только один первый вектор, кодирующий легкую цепь и тяжелую цепь антитела, специфически связывающиеся с первой мишенью, и только один второй вектор, кодирующий легкую цепь и тяжелую цепь антитела, специфически связывающиеся с второй мишенью может быть использована для трансформации клетки-хозяина.

Предполагается, что термин «нуклеиновая кислота или молекула нуклеиновой кислоты», как применяется в данном документе, включает в себя молекулы ДНК и молекулы РНК. Молекула нуклеиновой кислоты может быть одноцепочечной или двухцепочечной, но предпочтительно представляет собой двухцепочечную ДНК.

Как применяется в данном документе, выражения «клетка», «клеточная линия» и «клеточная культура» используются взаимозаменяющими, и все такие обозначения включают в себя потомство. Таким образом, слова «трансформанты» и «трансформированные клетки» включают в себя первичную клетку изобретения и полученные из нее культуры без учета количества переносов. Также понятно, что все потомство может не быть полностью идентичным по содержанию ДНК вследствие преднамеренных или случайных мутаций. Включены варианты потомства, которые имеют ту же функцию или биологическую активность, для которой проводили скрининг в первоначально трансформированной клетке. Там, где подразумеваются разные обозначения, это будет ясно из контекста.

Как применяется в данном документе, термин «трансформация» относится к процессу переноса векторов/нуклеиновой кислоты в клетку-хозяина. Если в качестве клеток-хозяев используются клетки без труднопреодолимых барьеров в виде клеточной стенки, то, например, проводится трансфекция способом осаждения фосфатом кальция, как описано Graham and Van der Eb, Virology 52 (1978) 546ff. Однако также могут быть использованы другие способы введения ДНК в клетки, такие как инъекция в ядро или слияние протопластов. Если используются прокариотические клетки или клетки, которые содержат прочные конструкции в виде

клеточной стенки, например, одним из способов трансфекции является обработка кальцием с использованием хлорида кальция, как описано Cohen SN, et al, PNAS 1972, 69 (8): 2110-2114.

Производство рекомбинантных антител с использованием трансформации хорошо известно в данной области техники и описано, например, в обзорных статьях Makrides, S. C, Protein Expr. Purif. 17 (1999) 183-202; Geisse, S., et al., Protein Expr. Purif. 8 (1996) 271-282; Kaufman, R.J., Mol. Biotechnol. 16 (2000) 151-161; Werner, R.G., et al., Arzneimittelforschung 48 (1998) 870-880 а также в US6331415 и US4816567.

Как применяется в данном документе, термин «экспрессия» относится к процессу, посредством которого нуклеиновая кислота транскрибируется в мРНК, и/или к процессу, посредством которого транскрибированная мРНК (также называемая транскриптом) впоследствии транслируется в пептиды, полипептиды или белки. Транскрипты и закодированные полипептиды вместе называют генным продуктом. Если полинуклеотид получен из геномной ДНК, экспрессия в эукариотической клетке может включать в себя сплайсинг мРНК.

«Вектор» представляет собой молекулу нуклеиновой кислоты, в частности, самореплицирующуюся, которая переносит встроенную молекулу нуклеиновой кислоты в и/или между клетками-хозяевами. Термин включает в себя векторы, которые функционируют главным образом для встраивания ДНК или РНК в клетку (например, хромосомной интеграции), репликации векторов, которые функционируют, главным образом, для репликации ДНК или РНК, и векторов экспрессии, которые функционируют для транскрипции и/или трансляции ДНК или РНК. Также включены векторы, которые обеспечивают больше чем одну из описанных функций.

«Вектор экспрессии» представляет собой полинуклеотид, который при введении в подходящую клетку-хозяина может транскрибироваться и транслироваться в полипептид. «Система экспрессии» обычно относится к подходящей клетке-хозяину, состоящей из вектора экспрессии, который может функционировать, чтобы давать выход желаемого продукта экспрессии.

Антитела предпочтительно получают рекомбинантными способами. Такие способы широко известны в данной области техники и включают в себя экспрессию белка в прокариотических и эукариотических клетках с последующим выделением

полипептида антитела и, как правило, очисткой до фармацевтически приемлемой чистоты. Для экспрессии белка, нуклеиновые кислоты, кодирующие легкие и тяжелые цепи или их фрагменты, встраивают в векторы экспрессии с помощью стандартных способов. Экспрессия выполняется в соответствующих прокариотических или эукариотических клетках-хозяевах, таких как клетки СНО, клетки NSO, клетки SP2/0, клетки HEK293, клетки COS, дрожжи или клетки *E. coli*, и антитело выделяют из клеток (супернатанта или клеток после лизиса). Биспецифичные антитела могут присутствовать в целых клетках, в клеточном лизате или в частично очищенной или по существу чистой форме. Очистка выполняется для удаления других клеточных компонентов или других загрязнений, например, других клеточных нуклеиновых кислот или белков с помощью стандартных методов, включая щелочную/SDS обработку, колоночную хроматографию и другие, хорошо известные в данной области техники. Смотрите Ausubel, F., et al., ed., Current Protocols in Molecular Biology, Greene Publishing и Wiley Interscience, New York (1987).

Экспрессия в клетках NSO описывается, например, Barnes, L.M., et al., Cytotechnology 32 (2000) 109-123; и Barnes, L.M., et al., Biotech. Bioeng. 73 (2001) 261-270. Временная экспрессия описывается, например, Durocher, Y., et al., Nucl. Acids. Res. 30 (2002) E9. Клонирование вариабельных доменов описывается Orlandi, R., et al., Proc. Natl. Acad. Sci. USA 86 (1989) 3833-3837; Carter, P., et al., Proc. Natl. Acad. Sci. USA 89 (1992) 4285-4289; и Norderhaug, L., et al., J. Immunol. Methods 204 (1997) 77-87. Предпочтительная система временной экспрессии (HEK293) описывается Schlaeger, E.-J., и Christensen, K., in Cytotechnology 30 (1999) 71-83 и Schlaeger, E.-J., в J. Immunol. Methods 194 (1996) 191-199.

Например, контрольные последовательности, которые подходят для прокариот, включают в себя промотор, необязательно последовательность оператора и сайт связывания рибосомы. Известно, что эукариотические клетки используют промоторы, энхансеры и сигналы полиглутамилирования.

Антитела подходящим способом отделяют от культуральной среды с помощью обычных процедур очистки иммуноглобулинов, таких как, например, белок А-сепароза, хроматография с гидроксипатитом, гель-электрофорез, диализ или аффинная хроматография. ДНК или РНК, кодирующая моноклональные антитела,

легко выделяется и сквенируется с использованием обычных процедур. Клетки гибридомы могут служить источником такой ДНК и РНК. После выделения, ДНК может быть встроена в векторы экспрессии, которые затем трансфицируют в клетки-хозяева, такие как клетки HEK293, клетки СНО или клетки миеломы, которые иначе не производят белок иммуноглобулина, чтобы достичь синтеза рекомбинантных моноклональных антител в клетках-хозяевах.

Варианты аминокислотной последовательности (или мутанты) антитела получают путем внесения соответствующих нуклеотидных изменений в ДНК антитела или путем нуклеотидного синтеза. Такие модификации могут быть выполнены, однако, только в очень ограниченном диапазоне, например, как описано выше. Например, модификации не изменяют вышеупомянутые характеристики антител, такие как изотип IgG и связывание с мишенью, но могут улучшать выход рекомбинантного продукта, стабильность белка или облегчать очистку.

В одном варианте осуществления изобретения, вместо биспецифичного антитела используют химерный рецептор антигена (CAR), при этом CAR содержит антиген-связывающий фрагмент, направленный против BCMA, трансмембранный фрагмент и фрагмент активации Т-лимфоцитов, характеризующийся тем, что фрагмент распознавания антигена представляет собой антитело согласно данному изобретению (в данном случае не биспецифичное антитело). Затем такой CAR обычно переносят с использованием вектора, предпочтительно ретровирусного вектора, содержащего последовательность, кодирующую указанный CAR, в иммунную эффекторную клетку, для которой в данном документе используется термин «CAR Т-лимфоцит». Такие CAR Т-лимфоциты затем используют в комбинации с указанным иммунотерапевтическим лекарственным средством.

Кодируемое антитело также может представлять собой его антиген-связывающий фрагмент, как указано. Структуры и создание таких «CAR BCMA» описаны, например, в WO2013154760, WO2015052538, WO2015090229 и WO2015092024.

В одном варианте осуществления, вместо биспецифичного антитела используется химерный рецептор антигена (CAR) или соответствующий CAR Т-лимфоцит, содержащий:

- (i) фрагмент распознавания В-клеточного антигена созревания (BCMA);
- (ii) спайсерный домен; и

- (ii) трансмембранный домен; и
- (iii) внутриклеточный сигнальный домен Т-лимфоцитов, характеризующийся тем, что фрагмент распознавания BCMA представляет собой моноклональное антитело, специфически связывающееся с BCMA, характеризующееся тем, что содержит область CDR3H SEQ ID NO:17 и область CDR3L SEQ ID NO:20 и комбинацию областей CDR1H, CDR2H, CDR1L и CDR2L, выбранную из группы
  - a) область CDR1H SEQ ID NO:21 и область CDR2H SEQ ID NO:22, область CDR1L SEQ ID NO:23 и область CDR2L SEQ ID NO:24,
  - b) область CDR1H SEQ ID NO:21 и область CDR2H SEQ ID NO:22, область CDR1L SEQ ID NO:25 и область CDR2L SEQ ID NO:26,
  - c) область CDR1H SEQ ID NO:21 и область CDR2H SEQ ID NO:22, область CDR1L SEQ ID NO:27 и область CDR2L SEQ ID NO:28,
  - d) область CDR1H SEQ ID NO:29 и область CDR2H SEQ ID NO:30, область CDR1L SEQ ID NO:31, и область CDR2L SEQ ID NO:32,
  - e) область CDR1H SEQ ID NO:34 и область CDR2H SEQ ID NO:35, область CDR1L SEQ ID NO:31, и область CDR2L SEQ ID NO:32, и
  - f) область CDR1H SEQ ID NO:36 и область CDR2H SEQ ID NO:37, область CDR1L SEQ ID NO:31, и область CDR2L SEQ ID NO:32.

Фрагмент активации Т-лимфоцитов может представлять собой любой подходящий фрагмент, полученный или добытый из любой подходящей молекулы. В одном варианте осуществления, например, фрагмент активации Т-лимфоцитов содержит трансмембранный домен. Трансмембранный домен может представлять собой любой трансмембранный домен, полученный или добытый из любой молекулы, известной в данной области техники. Например, трансмембранный домен может быть получен или добыт из молекулы CD8a или молекулы CD28. CD8 представляет собой трансмембранный гликопротеин, который служит корецептором рецептора Т-лимфоцита (TCR) и экспрессируется преимущественно на поверхности цитотоксических Т-лимфоцитов. Наиболее распространенная форма CD8 существует в виде димера, состоящего из альфа-цепи CD8 и бета-цепи CD8. CD28 экспрессируется на Т-лимфоцитах и обеспечивает костимулирующие сигналы, необходимые для активации Т-лимфоцитов. CD28 является рецептором для CD80

(B7.1) и CD86 (B7.2). В предпочтительном варианте осуществления, CD8 альфа и CD28 являются человеческими. В дополнение к трансмембранным доменам, фрагмент активации Т-лимфоцитов дополнительно содержит внутриклеточный (т. е. цитоплазматический) сигнальный домен Т-лимфоцитов. Межклеточный сигнальный домен Т-лимфоцита может быть получен или добыт из молекулы CD28, молекулы дзета CD3 или ее модифицированных вариантов, гамма-цепи человеческого Fc-рецептора (FcRy), молекулы CD27, молекулы OX40, молекулы 4-1BB, или других внутриклеточных сигнальных молекул, известных в данной области техники. Как обсуждалось выше, CD28 является маркером Т-лимфоцитов, важным для костимуляции Т-лимфоцитов. Дзета CD3, объединяется с TCR для продуцирования сигнала и содержит иммунорецепторные мотивы активации на основе тирозина (ITAM). 4-1BB, также известный как CD137, передает мощный костимулирующий сигнал Т-лимфоцитам, способствуя дифференциации и увеличивая долгосрочную выживаемость Т-лимфоцитов. В одном варианте осуществления, CD28, дзета CD3, 4-1BB, OX40 и CD27 являются человеческими.

Такой CAR или соответствующий CAR Т-лимфоцитов существует совместно с иммунотерапевтическим лекарственным средством, описанным в данном документе, для применения

- а) в комбинированном применении в лечении множественной миеломы согласно изобретению,
- б) в способе лечения множественной миеломы согласно изобретению,
- в) в терапевтической комбинации для достижения лизиса клеток множественной миеломы у пациента, страдающего от заболевания множественной миеломы, согласно изобретению,
- г) в изделии согласно изобретению, и
- д) в способе изготовления лекарственного средства согласно изобретению.

Биспецифичные связыватели Т-лимфоцитов (TCB) обладают очень высокой, зависимой от концентрации/заполненности рецепторов опухолевых клеток активностью в отношении уничтожения клеток (например EC<sub>50</sub> при *in vitro* уничтожении клеток определяется в суб- или более низком пикомолярном диапазоне; Dreier et al. Int J Cancer 2002), биспецифичные связыватели Т-лимфоцитов (TCB) предоставляют в значительно более низких дозах чем обычные

моноспецифичные антитела. Например, блинатумомаб (CD19xCD3) вводят непрерывной внутривенной дозой от 5 до 15 мкг/м<sup>2</sup>/сутки (т. е. только от 0,35 до 0,105 мг/м<sup>2</sup>/неделя) для лечения острого лимфолейкоза, или 60 мкг/м<sup>2</sup>/сутки для лечения неходжкинской лимфомы, и сывороточные концентрации при таких дозах находятся в диапазоне от 0,5 до 4 нг/мл (Klinger et al., Blood 2012; Topp et al., J Clin Oncol 2011; Goebeler et al. Ann Oncol 2011). Поскольку низкие дозы ТСВ могут проявлять высокую эффективность у пациентов, предусматривается, что в клинических условиях под кожное введение для биспецифичного антитела и лекарственного средства является возможным и предпочтительным (предпочтительно в диапазоне доз от 0,1 до 2,5, предпочтительно 25 мг/м<sup>2</sup>/неделя, предпочтительно 250 мг/м<sup>2</sup>/неделя). Даже при таких низких концентрациях/дозах/заполненности рецепторов, ТСВ может вызывать значительные побочные эффекты (Klinger et al., Blood 2012). Поэтому очень важно контролировать заполненность/охват опухолевых клеток. У пациентов с высокими и изменчивыми уровнями сывороточных APRIL и BAFF (например, у пациентов с множественной миеломой, Moreaux et al. 2004; Blood 103(8): 3148-3157) количество ТСВ, связанного с опухолевыми клетками, что соответствует заполненности опухолевых клеток, может значительно зависеть от APRIL/BAFF. Но при использовании указанного антитела, применяемого в данном изобретении, заполненность опухолевых клеток относительно эффективности/безопасности, может не потребоваться увеличение дозы для антитела согласно данному изобретению, поскольку на указанное антитело может не влиять конкуренция с лигандами APRIL/BAFF. Другое преимущество биспецифичного антитела основано на включении части Fc, которая увеличивает период полужизни до около 4-12 дней, и делает возможным введения по меньшей мере один или два раза в неделю, по сравнению с ТСВ без части Fc (например, блинатумомаб), которые необходимо выполнять внутривенно и непрерывно с помощью насоса, носимого пациентами.

Биологические свойства биспецифичных антител были исследованы в нескольких исследованиях в сравнении с 83A10-TCBcv. Эффективность индуцирования перенаправленной цитотоксичности Т-лимфоцитов, например, анти-BCMA/анти-CD3 ТСВ антителами 21-TCBcv, 22-TCBcv, 42-TCBcv по сравнению с 83A10-TCBcv оценивали на клеточной линии H929 MM (Пример 8, Таблица 12, Фиг. 4). Были исследованы антитела, использованные в данном изобретении, и анализ показал,

что значения EC50, выражающие зависимое от концентрации уничтожение клеток H929, были выше чем значения EC50, определенные для 83A10-TCBcv; это предполагает, что биспецифичные антитела были менее эффективными в индукции уничтожения клеток H929 MM, чем Mab 83A10 в качестве TCB. Удивительно, но наблюдалась обратная ситуация, когда перенаправленную цитотоксичность Т-лимфоцитов определяли на клеточной линии RPMI-8226 MM, а также на клеточной линии JJN-3 (соответственно, Примеры 10 и 11, Таблицы 13, 14 и 15, Фиг. 6 и 7): биспецифичные антитела показали более низкое EC50 и, следовательно, более высокую активность, чем 83A10-TCBcv. К удивлению изобретателей, биспецифичные антитела показали несколько преимуществ в прямом сравнении с 83A10 TCBcv в аспиратах костного мозга, свежеотобранных у пациентов с MM (примечание: чтобы получить наилучшее возможное сравнение, во всех аспиратах костного мозга всегда все биспецифичные Т-лимфоцитарные (TCB) антитела тестировали в одинаковых концентрациях);

- Более высокая эффективность уничтожения миеломных клеток, то есть тот же % уничтожения уже при более низких концентрациях, чем с 83A10-TCBcv, соответственно, кривые зависимости концентрации для уничтожения смешены влево (Пример 13, Таблицы 18, 19 и 20, Фиг. 8, 9 и 10). Снижение составляло от 77,1 до 100% уже при концентрации 1 нМ биспецифичных антител в аспиратах костного мозга семи разных пациентов, по сравнению с контролем в виде отрицательных по пропидий йодиду жизнеспособных раковых клеток множественной миеломы. При использовании 1 нМ 83A10-TCBcv в тех же семи аспиратах костного мозга было достигнуто снижение только на 37,1–98,3% (Таблицы 20 и 21).

- Более высокое максимальное уничтожение по сравнению с 83A10-TCBcv было достигнуто при самой высокой протестированной концентрации (10 нМ) в том же эксперименте с семью (7) аспиратами костного мозга для биспецифичных антител (Таблицы 20 и 21).

- Не отвечающие на действие 83A10-TCBcv могут быть обращены в отвечающие, если применяют 22-TCBcv/42-TCBcv: в образцах костного мозга двух (2) пациентов, у которых не наблюдали уничтожение в ответ на 83A10-TCBcv, неожиданно было обнаружено уничтожение с антителами в виде TCB согласно изобретению (Фиг. 9А и 9В).

TCB BCMAxCD3, используемый в данном изобретении, связывается с BCMA человека и яванских макак, а также с BCMA мышей и крыс, является подходящим для токсикологического исследования на яванских макаках, если связыватель CD3 также связывается с CD3 яванского макак, или на мышах/крысах, если связыватель CD3 также связывается с BCMA мыши/крысы. Удивительно, но аффинность связывания с BCMA яванского макака очень близка к аффинности связывания с BCMA человека. SPR применяли для измерения аффинности связывания с BCMA человека и яванского макак (Пример 2, Таблица 4). Различие яванский макак/человек (соотношение аффинности для яванского макака к таковой человека для BCMA, КД) рассчитывали по данным измеренной аффинности путем деления аффинности к BCMA яванского макака на аффинность к BCMA человека (Пример 3, Таблица 5). Для 83A10 было обнаружено различие яванский макак/человек, составляющее 15,3 (то есть в 15,3 раза более низкая аффинность связывания с BCMA яванского макак, чем с таковым человека). К удивлению изобретателей, биспецифичные антитела показали различие яванский макак/человек между 15,4 и 1,7, что является сходным или в большинстве случаев более предпочтительным различием яванский макак/человек, чем таковое у 83A10 (Таблица 5). Поскольку связыватель CD3, используемый в TCB BCMAxCD3, является перекрестно-реактивным с CD3 яванского макака, исследования фармакокинетики и фармакодинамики могут быть получены на яванских макаках (смотрите Пример 16). Также токсикологические исследования на яванских макаках позволяют прогнозировать фармакологические и токсикологические эффекты у людей, а особенность в виде перекрестной реактивности с яванскими макаками является преимуществом для пациентов. Антитела к BCMA, используемые в данном изобретении, также связываются с мышьяним BCMA (например, Кот клонов 22 и 42, измеренная с помощью SPR - 0,9 нМ и 2,5 нМ), смотрите Таблицу 2D в Примере 1.1.1A.4). Связыватель CD3 TCB BCMAxCD3 не является перекрестно-реактивным по отношению к CD3 мыши.

Таким образом, преимущества по эффективности и активности в уничтожении линий клеток MM с низкой экспрессией BCMA, таких как RPMI-8226 и JJN-3, и особенно в уничтожении клеток MM в аспиратах костного мозга пациентов, и, кроме того, очень подходящее различие яванский макак/человек в аффинности связывания с BCMA,

делают антитела, используемые в данном изобретении, и соответствующие ТСВ по существу перспективными агентами для лечения пациентов с ММ. Кроме того, анти-BCMAxCD3 TCBcv, используемый в данном изобретении, имеет как и 83A10-TCBcv, подходящие свойства, такие как длительный период полужизни, эффективность при введении один раз в неделю (внутривенно, подкожно), низкую или отсутствующую тенденцию к агрегации, и может быть изготовлен с высокой чистотой и хорошим выходом.

**Таблица 1А: Последовательности антител**

SEQ ID NO:	Название(ния)	аминокислотные последовательности
1	CD3 CDR1H	TYAMN
2	CD3 CDR2H	RIRSKYNNYATYYADSVKG
3	CD3 CDR3H	HGNFGNSYVSWFAY
4	CD3 CDR1L	GSSTGAVTTSNYAN
5	CD3 CDR2L	GTNKRAP
6	CD3 CDR3L	ALWYSNLWV
7	CD3 VH	EVQLLESGGGLVQPGGSLRLSCAASGFTFSTYA MNWVRQAPGKGLEWWSRIRSKYNNYATYYADS VKGRFTISRDDSKNTLYLQMNSLRAEDTAVYYCV RHGNFGNSYVSWFAYWGQGTLTVSS
8	CD3 VL	QAVVTQEPLTVSPGGTVTLTCGSSTGAVTTSN YANWVQEKGQAFRGLIGGTNKRAPGTPARFS GSLLGGKAALTLSGAQPEDEAEYYCALWYSNLW VFGGGTKLTVL
9	83A10 VH	EVQLLESGGGLVQPGGSLRLSCAASGFTFSSYA MSWVRQAPGKGLEWWSAISGSGGSTYYADSVK GRFTISRDN SKNTLYLQMNSLRAEDTAVYYCAKV LGWFDYWGQGTLTVSS
10	Mab21 VH Mab22 VH Mab42 VH	EVQLLESGGGLVQPGGSLRLSCAASGFTFSDNA MGWVRQAPGKGLEWWSAISGPGSSTYYADSVK GRFTISRDN SKNTLYLQMNSLRAEDTAVYYCAKV LGWFDYWGQGTLTVSS
11	83A10 VL	EIVLTQSPGTLSSLSPGERATLSCRASQSVSSSYL AWYQQKPGQAPRLLIYGASSRATGIPDRFSGSG SGTDFLTISRLEPEDFAVYYCQQYGYPPDFTFG QGTKVEIK
12	Mab21 VL Mab27 VL Mab33 VL	EIVLTQSPGTLSSLSPGERATLSCRASQSVSEYYL AWYQQKPGQAPRLLIEHASTRATGIPDRFSGSG SGTDFLTISRLEPEDFAVYYCQQYGYPPDFTFG

	Mab39 VL	QGTKVEIK
13	Mab22 VL	EIVLTQSPGTLSSLPGGERATLSCRASQSVSSYLYAWYQQKPGQAPRLLISGAGSRATGIPDRFSGSGSGTDFLTISRLEPEDFAVYYCQQYGYPDPDFTFGQGTKVEIK
14	Mab42 VL	EIVLTQSPGTLSSLPGGERATLSCRASQSVSDEYL SWYQQKPGQAPRLLIHSASTRATGIPDRFSGSGSGTDFTLAISRLEPEDFAVYYCQQYGYPDPDFTFGQGTKVEIK
15	83A10 CDR1H	SYAMS
16	83A10 CDR2H	AISGSGGSTYYADSVKG
17	83A10 CDR3H Mab21 CDR3H Mab22 CDR3H Mab42 CDR3H Mab27 CDR3H Mab33 CDR3H Mab39 CDR3H	VLGWFDY
18	83A10 CDR1L	RASQSVSSSYLAW
19	83A10 CDR2L	YGASSRAT
20	83A10 CDR3L Mab21 CDR3L Mab22 CDR3L Mab42 CDR3L	QQYGYPPDFT
21	Mab21 CDR1H Mab22 CDR1H Mab42 CDR1H	DNAMG
22	Mab21 CDR2H Mab22 CDR2H Mab42 CDR2H	AISGPGSSTYYADSVKG
23	Mab21 CDR1L	RASQSVSEYYLAW
24	Mab21 CDR2L	EHASTRAT

25	Mab22 CDR1L	RASQSVSSYYLAW
26	Mab22 CDR2L	SGAGSRAT
27	Mab42 CDR1L	RASQSVSDEYLSW
28	Mab42 CDR2L	HASTRAT
29	Mab27 CDR1H	SAPMG
30	Mab27 CDR2H	AISYIGHTYYADSVKG
31	Mab27 CDR1L Mab33 CDR1L Mab39 CDR1L	RASQSVSEYYLA
32	Mab27 CDR2L Mab33 CDR2L Mab39 CDR2L	HASTRAT
33	Mab27 CDR3L Mab33 CDR3L Mab39 CDR3L	QQYGYPPDFT
34	Mab33 CDR1H	TNAMG
35	Mab33 CDR2H	AINRGFGSTYYADSVKG
36	Mab39 CDR1H	QNAMG
37	Mab39 CDR2H	AISPTGFSTYYADSVKG
38	Mab27 VH	EVQLLESGGGLVQPGGSLRLSCAASGFTFSSAP MGWVRQAPGKGLEWWSAISYIGHTYYADSVKGR FTISRDNSKNTLYLQMNSLRAEDTAVYYCAKVLG WFDYWGQGTLTVSS
39	Mab33 VH	EVQLLESGGGLVQPGGSLRLSCAASGFTFYTN MGWVRQAPGKGLEWWSAINRGFGSTYYADSVK GRFTISRDNSKNTLYLQMNSLRAEDTAVYYCAKV LGWFDYWGQGTLTVSS
40	Mab39 VH	EVQLLESGGGLVQPGGSLRLSCAASGFTFTQNA MGWVRQAPGKGLEWWSAISPTGFSTYYADSVK GRFTISRDNSKNTLYLQMNSLRAEDTAVYYCAKV LGWFDYWGQGTLTVSS
41	83A10 BCMA	ASTKGPSVFPLAPSSKSTSGGTAALGCLVEDYFP

	CH1 Mab21 BCMA CH1 Mab22 BCMA CH1 Mab42 BCMA CH1	EPVTWSWNSGALTSGVHTFPAVLQSSGLYSLSS VVTVPSSSLGTQTYICNVNHKPSNTKVDEKVEPK SC
42	83A10 BCMA CL Mab21 BCMA CL Mab22 BCMA CL Mab42 BCMA CL	RTVAAPSVFIFPPSDRKLKGSTASVVCLNNFYP REAKVQWKVDNALQSGNSQESVTEQDSKDSTY SLSSTTLSKADYEKHKVYACEVTHQGLSSPVTK SFNRGEC
43	CD3 CH1	ASTKGPSVFPLAPSSKSTSGGTAALGCLVKDYFP EPVTWSWNSGALTSGVHTFPAVLQSSGLYSLSS VVTVPSSSLGTQTYICNVNHKPSNTKVDKKVEPK SC
44	CD3 CL	ASVAAPSVFIFPPSDEQLKGSTASVVCLNNFYP REAKVQWKVDNALQSGNSQESVTEQDSKDSTY SLSSTTLSKADYEKHKVYACEVTHQGLSSPVTK SFNRGEC
45	83A10 HC с «выступом»	EVQLLESGGGLVQPQGGSLRLSCAASGFTFSSYA MSWVRQAPGKGLEWVSAISGSGGSTYYADSVK GRFTISRDNSKNTLYLQMNSLRAEDTAVYYCAKV LGWFDYWGGQGTLTVSSASTKGPSVFPLAPSSK STSGGTAALGCLVEDYFPEPPTVSWNSGALTSG VHTFPAVLQSSGLYSLSSVTPSSLGTQTYIC NVNHKPSNTKVDEKVEPKSCDGGGGSGGGGSQ AVVTQEPLTVSPGGTVTLCGSSTGAVTTSNYA NWVQEKGQAFRGLIGGTNKRAPGTPARFSGSL LGGKAALTLSGAQPEDEAEYYCALWYSNLWFG GGTKLTVLSSASTKGPSVFPLAPSSKSTSGGTAAC LGCLVKDYFPEPPTVSWNSGALTSGVHTFPAVL QSSGLYSLSSVTPSSLGTQTYICNVNHKPSN

		TKVDKKVEPKSCDKTHTCPPCPAPEAAGGPSVF LFPPKPKDTLMISRPEVTCVVVDVSHEDPEVKF NWYVDGVEVHNAKTKPREEQYNSTYRVSVLTV LHQDWLNGKEYKCKVSNKALGAPIEKTIKAKGQ PREPQVYTLPPCRDELTKNQVSLWCLVKGFYPS DIAVEWESNGQPENNYKTPPVLDSDGSFFLYS KLTVDKSRWQQGNVFSCSVMHEALHNHYTQKS LSLSPGK
46	83A10 HC с «отверстием»	EVQLLESGGLVQPGGSLRLSCAASGFTFSSYA MSWVRQAPGKGLEWVSAISGSGGSTYYADSVK GRFTISRDNSKNTLYLQMNSLRAEDTAVYYCAKV LGWFDYWGQGTLTVSSASTKGPSVFPLAPSSK STSGGTAALGCLVEDYFPEPVTVSWNSGALTSG VHTFPAVLQSSGLYSLSSVTVPSSSLGTQTYIC NVNHKPSNTKVDEKVEPKSCDKTHTCPPCPAPE AAGGPSVFLPPPDKDTLMISRPEVTCVVVDVS HEDPEVKFNWYVDGVEVHNAKTKPREEQYNST YRVSVLTVLHQDWLNGKEYKCKVSNKALGAPI EKTISKAKGQPREPVCTLPPSRDELTKNQVSL CAVKGFYPSDIAVEWESNGQPENNYKTPPVLD SDGSFFLVSKLTVDKSRWQQGNVFSCSVMHEAL HNHYTQKSLSLSPGK
47	83A10 LC	EIVLTQSPGTLSLSPGERATLSCRASQSVSSSYL AWYQQKPGQAPRLLIYGASSRATGIPDRFSGSG SGTDFLTISRLEPEDFAVYYCQQYGYPPDFTFG QGTKVEIKRTVAAPSVFIFPPSDRKLKSGTASVV CLNNFYPREAKVQWKVDNALQSGNSQESVTE QDSKDSTYSLSSTTLSKADYEKHKVYACEVTHQ GLSSPVTKSFNRGEC
48	CD3 LC	EVQLLESGGLVQPGGSLRLSCAASGFTFSTYA MNWVRQAPGKGLEWVSRIRSKYNNYATYYADS VKGRFTISRDDSKNTLYLQMNSLRAEDTAVYYCV

		RHGNFGNSYVSWFAYWGQGTLTVSSASVAAP SVFIFPPSDEQLKSGTASVVCLNNFYPREAKVQ WKVDNALQSGNSQESVTEQDSKDSTYSLSSTLT LSKADYEKHKVYACEVTHQGLSSPVTKSFNRGE C
49	Mab21 HC с «выступом»	EVQLLESGGGLVQPGGSLRLSCAASGFTSDNA MGWVRQAPGKGLEWWSAISGPGSSTYYADSVK GRFTISRDNSKNTLYLQMNSLRAEDTAVYYCAKV LGWFDYWGQGTLTVSSASTKGPSVFPLAPSSK STSGGTAALGCLVEDYFPEPVTWSWNSGALTSG VHTFPALQSSGLYSLSSVTVPSSSLGTQTYIC NVNHKPSNTKVDEKVEPKSCDGGGGSGGGGSQ AVVTQEPLTVSPGGTVTLCGSSTGAVTSNYA NWVQEKGQAFRGLIGGTNKRAPGTPARFSGSL LGGKAALTLSGAQPEDEAEYYCALWYSNLWFG GGTKLTVLSSASTKGPSVFPLAPSSKSTSGGTAA LGCLVKDYFPEPVTWSWNSGALTSGVHTFPAL QSSGLYSLSSVTVPSSSLGTQTYICNVNHKPSN TKVDKKVEPKSCDKTHTCPPCPAPEAAGGPSVF LFPPKPKDTLMISRPEVTCVVVDVSHEDPEVKF NWYVDGVEVHNAKTKPREEQYNSTYRVVSVLTV LHQDWLNGKEYKCKVSNKALGAPIEKTISKAKGQ PREPVYTLPPCRDELTKNQVSLWCLVKGFYPS DIAVEWESNGQPENNYKTPPVLDSDGSFFLYS KLTVDKSRWQQGNVFSCSVMHEALHNHYTQKS LSLSPGK
50	Mab21 HC с «отверстием»	EVQLLESGGGLVQPGGSLRLSCAASGFTSDNA MGWVRQAPGKGLEWWSAISGPGSSTYYADSVK GRFTISRDNSKNTLYLQMNSLRAEDTAVYYCAKV LGWFDYWGQGTLTVSSASTKGPSVFPLAPSSK STSGGTAALGCLVEDYFPEPVTWSWNSGALTSG VHTFPALQSSGLYSLSSVTVPSSSLGTQTYIC

		NVNHKPSNTKVDEKVEPKSCDKTHTCPPCPAPE AAGGPSVFLFPPKPDKTLMISRTPEVTCVVVDVS HEDPEVKFNWYVDGVEVHNAKTPREEQYNST YRVVSVLTVLHQDWLNGKEYKCKVSNKALGAPI EKTISKAKGQPREPQVCTLPPSRDELTKNQVSL CAVKGFYPSDIAVEWESNGQPENNYKTPPVLD SDGSFFLVSKLTVDKSRWQQGNVFSCSVMHEAL HNHYTQKSLSLSPGK
51	Mab21 LC	EIVLTQSPGTLSLSPGERATLSCRASQSVSEYYL AWYQQKPGQAPRLLIEHASTRATGIPDRFSGSG SGTDFTLTISRLEPEDFAVYYCQQYGYPPDFTFG QGTKVEIKRTVAAPSVFIFPPSDRKLKSGTASWV CLLNNFYPREAKVQWKVDNALQSGNSQESVTE QDSKDSTYSLSSTTLSKADYEKHKVYACEVTHQ GLSSPVTKSFNRGEC
52	Mab22 HC с «выступом»	EVQLLESGGGLVQPGGSLRLSCAASGFTFSDNA MGWVRQAPGKGLEWWSAISGPGSSTYYADSVK GRFTISRDNSKNTLYLQMNSLRAEDTAVYYCAKV LGWFDYWGGQGTLTVSSASTKGPSVFPLAPSSK STSGGTAALGCLVEDYFPEPVTVSWNSGALTSG VHTFPAVLQSSGLYSLSSVTVPSSLGTQTYIC NVNHKPSNTKVDEKVEPKSCDGGGGGGGGSQ AVVTQEPLTVSPGGTVTLCGSSTGAVTTSNYA NWVQEKGQAFRGLIGGTNKRAPGTPARFSGSL LGGKAALTLSGAQPEDEAEYCALWYSNLWFG GGTKLTVLSSASTKGPSVFPLAPSSKSTSGGTAA LGCLVKDYFPEPVTVSWNSGALTSGVHTFPABL QSSGLYSLSSVTVPSSLGTQTYICNVNHKPSN TKVDKKVEPKSCDKTHTCPPCPAPEAAGGPSVF LFPPKPKDTLMISRTPEVTCVVVDVSHEDPEVKF NWYVDGVEVHNAKTPREEQYNSTYRVVSVLTV LHQDWLNGKEYKCKVSNKALGAPIEKTIKAKGQ

		PREPQVYTLPPCRDELTKNQVSLWCLVKGFYPS DIAVEWESNGQPENNYKTPVLDSDGSFFLYS KLTVDKSRWQQGNVFSCSVMHEALHNHYTQKS LSLSPGK
53	Mab22 HC с «отверстием»	EVQLLESGGGLVQPGGSLRLSCAASGFTFSDNA MGWVRQAPGKGLEWVSAISGPGSSTYYADSVK GRFTISRDNSKNTLYLQMNSLRAEDTAVYYCAKV LGWFDYWGQGTLTVSSASTKGPSVFPLAPSSK STSGGTAALGCLVEDYFPEPVTVSWNSGALTSG VHTFPAVLQSSGLYSLSSVTVPSSSLGTQTYIC NVNHKPSNTKVDEKVEPKSCDKTHTCPPCPAPE AAGGPSVFLFPPKPKDTLMISRTPEVTCVVVDVS HEDPEVKFNWYVDGVEVHNAKTKPREEQYNST YRVVSVLTVLHQDWLNGKEYKCKVSNKALGAPI EKTISKAKGQPREPQVCTLPPSRDELTKNQVSL CAVKGFYPSDIAVEWESNGQPENNYKTPVLD SDGSFLVSKLTVDKSRWQQGNVFSCSVMHEAL HNHYTQKSLSLSPGK
54	Mab22 LC	EIVLTQSPGTLSSLSPGERATLSCRASQSVSSYLL AWYQQKPGQAPRLLISGAGSRATGIPDRFSGSG SGTDFTLTISRLEPEDFAVYYCQQYGYPPDFTFG QGTKVEIKRTVAAPSVFIFPPSDRKLKSGTASVV CLNNNFYPREAKVQWKVDNALQSGNSQESVTE QDSKDSTYSLSSTTLSKADYEKHKVYACEVTHQ GLSSPVTKSFNRGEC
55	Mab42 HC с «выступом»	EVQLLESGGGLVQPGGSLRLSCAASGFTFSDNA MGWVRQAPGKGLEWVSAISGPGSSTYYADSVK GRFTISRDNSKNTLYLQMNSLRAEDTAVYYCAKV LGWFDYWGQGTLTVSSASTKGPSVFPLAPSSK STSGGTAALGCLVEDYFPEPVTVSWNSGALTSG VHTFPAVLQSSGLYSLSSVTVPSSSLGTQTYIC NVNHKPSNTKVDEKVEPKSCDGGGGGGGGSQ

		AVVTQEPLTVSPGGTVLTCGSSTGAVTTSNYA NWVQEKGQAFRGLIGGTNKRAPGTPARFSGSL LGGKAALTLSGAQPEDEAEYYCALWYSNLWFG GGTKLTVLSSASTKGPSVFPLAPSSKSTSGGTAA LGCLVKDYFPEPVTVSWNSGALTSGVHTPAVL QSSGLYSLSSVTVPSSLGTQTYICNVNHKPSN TKVDKKVEPKSCDKTHCPCPAPEAAGGPSVF LFPPKPKDTLMISRTPEVTCVVVDVSHEDPEVKF NWYVDGVEVHNAKTKPREEQYNSTYRVSVLTV LHQDWLNGKEYKCKVSNKALGAPIEKTIKAKGQ PREPVYTLPPCRDELTKNQVSLWCLVKGFYPS DIAVEWESNGQPENNYKTTPPVLDSDGSFFLYS KLTVDKSRWQQGNVFSCSVMHEALHNHYTQKS LSLSPGK
56	Mab42 HC с «отверстием»	EVQLLESGGGLVQPAGSLRLSCAASGFTFSDNA MGWVRQAPGKGLEWVSAISGPGSSTYYADSVK GRFTISRDNSKNTLYLQMNSLRAEDTAVYYCAKV LGWFDYWGQGTLTVSSASTKGPSVFPLAPSSK STSGGTAALGCLVEDYFPEPVTVSWNSGALTSG VHTFPAVLQSSGLYSLSSVTVPSSLGTQTYIC NVNHKPSNTKVDENKEPKSCDKTHCPCPAPE AAGGPSVFLFPPKPKDTLMISRTPEVTCVVVDVS HEDPEVKFNWYVDGVEVHNAKTKPREEQYNST YRVSVLTVLHQDWLNGKEYKCKVSNKALGAPI EKTISKAKGQPREPQVCTLPPSRDELTKNQVSL CAVKGFYPSDIAVEWESNGQPENNYKTTPPVLD SDGSFFLVSKLTVDKSRWQQGNVFSCSVMHEAL HNHYTQKSLSLSPGK
57	Mab42 LC	EIVLTQSPGTLSSLSPGERATLSCRASQSVSDEYL SWYQQKPGQAPRLLIHSASTRATGIPDRFSGSG SGTDFTLAISRLEPEDFAVYYCQQYGYPPDFTFG QGTKVEIKRTVAAPSVFIFPPSDRKLKSGTASVV

		CLNNNFYPREAKVQWKVDNALQSGNSQESVTE QDSKDSTYLSSTLTLKADYEKHKVYACEVTHQ GLSSPVTKSFNRGEC
--	--	---

Примечание: SEQ ID NO:20 и SEQ ID NO:33 идентичны

**Таблица 1В: Последовательности антител (короткий перечень)**

антитело к CD3	SEQ ID NO:							
	VH	VL	CDR1H	CDR2H	CDR3H	CDR1L	CDR2L	CDR3 L
	7	8	1	2	3	4	5	6
антитело к BCMA	VH	VL	CDR1H	CDR2H	CDR3H	CDR1L	CDR2L	CDR3 L
83A10	9	11	15	16	17	18	19	20
Mab21	10	12	21	22	17	23	24	20
Mab22	10	13	21	22	17	25	26	20
Mab42	10	14	21	22	17	27	28	20
Mab27	38	12	29	30	17	31	32	33
Mab33	39	12	34	35	17	31	32	33
Mab39	40	12	36	37	17	31	32	33

**Таблица 2А: Дополнительные конструкции**

Фрагмент/Конструкция	SEQ ID NO:			
	83A10	Mab21	Mab22	Mab42
BCMA CH1	41	41	41	41
BCMA CL	42	42	42	42
CD3 CH1	43	43	43	43
CD3 CL	44	44	44	44

**Таблица 2В: Дополнительные конструкции**

Конструкция	SEQ ID NO:			
	83A10	Mab21	Mab22	Mab4 2
BCMA VH_CH1cv x CD3 VL_CH1 Fc «выступ» LALA PG (HC с «выступом»)	45	49	52	55
BCMACv HC «отверстие» LALA PG (HC с «отверстием»)	46	50	53	56
BCMACv челов. IgG1 LC (BCMA LC)	47	51	54	57

CD3 VH CL (CD3 LC)	48	48	48	48
--------------------	----	----	----	----

Чтобы получить следующие (2+1) Fc-содержащие анти-BCMA/анти-CD3 TCB, использовали соответствующие конструкции/идентификаторы последовательностей, как указано в Таблице 2В выше:

83A10-TCBcv: 45, 46, 47 (x2), 48 (Фиг. 2А)

21-TCBcv: 48, 49, 50, 51 (x2) (Фиг. 2А)

22-TCBcv: 48, 52, 53, 54 (x2) (Фиг. 2А)

42-TCBcv: 48, 55, 56, 57 (x2) (Фиг. 2А)

В дополнительных конкретных вариантах осуществления изобретения перечислены:

I. Биспецифичное антитело, содержащее первую связывающую часть, специфически связывающуюся с В-клеточным антигеном созревания человека (BCMA), и вторую часть, специфически связывающуюся с CD3 $\epsilon$  человека (CD3), и иммунотерапевтическое лекарственное средство, выбранное из группы, состоящей из талидомида и его иммунотерапевтического производного, анти-CD38 антитела, анти-PD-1 антитела и анти-PD-L1 антитела, для комбинированного применения в лечении множественной миеломы, характеризующееся тем, что указанная первая связывающая часть содержит область VH, содержащую область CDR1H SEQ ID NO:21, область CDR2H SEQ ID NO:22 и область CDR3H SEQ ID NO:17, и область VL, содержащую область CDR3L SEQ ID NO:20 и комбинацию областей CDR1L и CDR2L, выбранную из группы

- i) область CDR1L SEQ ID NO:23 и область CDR2L SEQ ID NO:24,
- ii) область CDR1L SEQ ID NO:25 и область CDR2L SEQ ID NO:26, или
- iii) область CDR1L SEQ ID NO:27 и область CDR2L SEQ ID NO:28.

II. Биспецифичное антитело и иммунотерапевтическое лекарственное средство для комбинированного применения в лечении множественной миеломы, согласно варианту осуществления I, характеризующееся тем, что иммунотерапевтическое лекарственное средство выбрано из группы, состоящей из дарatumумаба, изатаксимаба, MOR202, Ab79, Ab19, талидомида, леналидомида, помалидомида, пембролизумаба, пидилизумаба, ниволумаба, MEDI-0680, PDR001, REGN2810, ламбролизумаба, MDX-1106, BGB-108, h409A11, h409A16, h409A17 и атезолизумаба.

III. Способ лечения множественной миеломы, характеризующийся введением пациенту, нуждающемуся в таком лечении

а) биспецифичного антитела, содержащего первую связывающую часть, специфически связывающуюся с В-клеточным антигеном созревания человека (BCMA), и вторую связывающую часть, специфически связывающуюся с CD3ε человека (CD3), и

б) иммунотерапевтического лекарственного средства, выбранного из группы, состоящей из талидомида и его иммунотерапевтического производного, анти-CD38 антитела, анти-PD-1 антитела и анти-PD-L1 антитела,

что характеризуется тем, что указанная первая связывающая часть содержит область VH, содержащую область CDR1H SEQ ID NO:21, область CDR2H SEQ ID NO:22 и область CDR3H SEQ ID NO:17, и область VL, содержащую область CDR3L SEQ ID NO:20 и комбинацию областей CDR1L и CDR2L, выбранную из группы

i) область CDR1L SEQ ID NO:23 и область CDR2L SEQ ID NO:24,

ii) область CDR1L SEQ ID NO:25 и область CDR2L SEQ ID NO:26, или

iii) область CDR1L SEQ ID NO:27 и область CDR2L SEQ ID NO:28.

Биспецифичное антитело и иммунотерапевтическое лекарственное средство применяют в терапевтически эффективном количестве.

IV. Способ согласно варианту осуществления III, характеризующийся тем, что иммунотерапевтическое лекарственное средство выбирают из группы, состоящей из дарatumумаба, изатаксимаба, MOR202, Ab79, Ab19, талидомида, леналидомида, помалидомида, пембролизумаба, пидализумаба, ниволумаба, MEDI-0680, PDR001, REGN2810, ламбролизумаб, MDX-1106, BGB-108, h409A11, h409A16, h409A17 и атезолизумаба.

V. Терапевтическая комбинация для достижения лизиса клетки множественной миеломы у пациента, страдающего множественной миеломой, характеризующаяся тем, что содержит

а) биспецифичное антитело, содержащее первую связывающую часть, специфически связывающуюся с В-клеточным антигеном созревания человека (BCMA), и вторую связывающую часть, специфически связывающуюся с CD3ε человека (CD3), и

b) иммунотерапевтическое лекарственное средство, выбранное из группы, состоящей из талидомида и его иммунотерапевтического производного, анти-CD38 антитела, анти-PD-1 антитела и анти-PD-L1 антитела,

что характеризуется тем, что указанная первая связывающая часть содержит область VH, содержащую область CDR1H SEQ ID NO:21, область CDR2H SEQ ID NO:22 и область CDR3H SEQ ID NO:17, и область VL, содержащую область CDR3L SEQ ID NO:20 и комбинацию областей CDR1L и CDR2L, выбранную из группы

- i) область CDR1L SEQ ID NO:23 и область CDR2L SEQ ID NO:24,
- ii) область CDR1L SEQ ID NO:25 и область CDR2L SEQ ID NO:26, или
- iii) область CDR1L SEQ ID NO:27 и область CDR2L SEQ ID NO:28.

Биспецифичное антитело и иммунотерапевтическое лекарственное средство применяют в терапевтически эффективном количестве.

VI. Терапевтическая комбинация согласно варианту осуществления V, характеризующаяся тем, что иммунотерапевтическое лекарственное средство выбирают из группы, состоящей из даратумумаба, изатаксимаба, MOR202, Ab79, Ab19, талидомида, леналидомида, помалидомида, CC-122, CC-220, пембролизумаба, пидилизумаба, ниволумаба, MEDI-0680, PDR001, REGN2810, ламбролизумаба, MDX-1106, BGB-108, h409A11, h409A16, h409A17, атезолизумаба, авелумаба, дурвалумаба и MDX-1105.

VII. Изделие, характеризующееся тем, что содержит

- a) биспецифичное антитело, содержащее первую связывающую часть, специфически связывающуюся с В-клеточным антигеном созревания человека (BCMA), и вторую связывающую часть, специфически связывающуюся с CD3ε человека (CD3), характеризующееся тем, что указанная первая связывающая часть содержит область VH, содержащую область CDR1H SEQ ID NO:21, область CDR2H SEQ ID NO:22 и область CDR3H SEQ ID NO:17, и область VL, содержащую область CDR3L SEQ ID NO:20 и комбинацию областей CDR1L и CDR2L, выбранную из группы
  - i) область CDR1L SEQ ID NO:23 и область CDR2L SEQ ID NO:24,
  - ii) область CDR1L SEQ ID NO:25 и область CDR2L SEQ ID NO:26, или
  - iii) область CDR1L SEQ ID NO:27 и область CDR2L SEQ ID NO:28 в фармацевтически приемлемом носителе,

- b) иммунотерапевтическое лекарственное средство, выбранное из группы, состоящей из талидомида и его иммунотерапевтического производного, анти-CD38 антитела, анти-PD-1 антитела и анти-PD-L1 антитела,
- c) фармацевтически приемлемый носитель и инструкции для введения указанного биспецифичного антитела и указанного иммунотерапевтического лекарственного средства в комбинации субъекту, нуждающемуся в лечении множественной миеломы.

VIII. Изделие согласно варианту осуществления VII, характеризующееся тем, что иммунотерапевтическое лекарственное средство выбирают из группы, состоящей из дарatumумаба, изатаксимаба, MOR202, Ab79, Ab19, талидомида, леналидомида, помалидомида, CC-122, CC-220, пембролизумаба, пидилизумаба, ниволумаба, MEDI-0680, PDR001, REGN2810, ламбролизумаба, MDX-1106, BGB-108, h409A11, h409A16, h409A17, атезолизумаба, авелумаба, дурвалумаба и MDX-1105.

IX. Способ изготовления лекарственного средства, характеризующийся тем, что используют

- a) биспецифичное антитело, содержащее первую связывающую часть, специфически связывающуюся с В-клеточным антигеном созревания человека (BCMA), и вторую связывающую часть, специфически связывающуюся с CD3ε человека (CD3), характеризующееся тем, что указанная первая связывающая часть содержит область VH, содержащую область CDR1H SEQ ID NO:21, область CDR2H SEQ ID NO:22 и область CDR3H SEQ ID NO:17, и область VL, содержащую область CDR3L SEQ ID NO:20 и комбинацию областей CDR1L и CDR2L, выбранную из группы
  - i) область CDR1L SEQ ID NO:23 и область CDR2L SEQ ID NO:24,
  - ii) область CDR1L SEQ ID NO:25 и область CDR2L SEQ ID NO:26, или
  - iii) область CDR1L SEQ ID NO:27 и область CDR2L SEQ ID NO:28.
- b) иммунотерапевтическое лекарственное средство, выбранное из группы, состоящей из талидомида и его иммунотерапевтического производного, анти-CD38 антитела, анти-PD-1 антитела и анти-PD-L1 антитела,
- c) объединяя указанное биспецифичное антитело и указанное иммунотерапевтическое лекарственное средство в фармацевтически приемлемом носителе.

Биспецифичное антитело и иммунотерапевтическое лекарственное средство применяют в терапевтически эффективном количестве.

Х. Способ изготовления лекарственного средства согласно варианту осуществления IX, характеризующийся тем, что иммунотерапевтическое лекарственное средство выбирают из группы, состоящей из даратумумаба, изатаксимаба, MOR202, Ab79, Ab19, талидомида, леналидомида, помалидомида, CC-122, CC-220, пембролизумаба, пидилизумаба, ниволумаба, MEDI-0680, PDR001, REGN2810, ламбролизумаба, MDX-1106, BGB-108, h409A11, h409A16, h409A17, атезолизумаба, авелумаба, дурвалумаба и MDX-1105.

Ниже перечислены конкретные варианты осуществления первой связывающей части согласно изобретению:

1. Моноклональное антитело, специфически связывающееся с BCMA, характеризующееся тем, что содержит область CDR3H SEQ ID NO:17 и область CDR3L SEQ ID NO:20 и комбинацию областей CDR1H, CDR2H, CDR1L и CDR2L, выбранную из группы
  - a) область CDR1H SEQ ID NO:21 и область CDR2H SEQ ID NO:22, область CDR1L SEQ ID NO:23 и область CDR2L SEQ ID NO:24,
  - b) область CDR1H SEQ ID NO:21 и область CDR2H SEQ ID NO:22, область CDR1L SEQ ID NO:25 и область CDR2L SEQ ID NO:26,
  - c) область CDR1H SEQ ID NO:21 и область CDR2H SEQ ID NO:22, область CDR1L SEQ ID NO:27 и область CDR2L SEQ ID NO:28,
  - d) область CDR1H SEQ ID NO:29 и область CDR2H SEQ ID NO:30, область CDR1L SEQ ID NO:31, и область CDR2L SEQ ID NO:32,
  - e) область CDR1H SEQ ID NO:34 и область CDR2H SEQ ID NO:35, область CDR1L SEQ ID NO:31, и область CDR2L SEQ ID NO:32, и
  - f) область CDR1H SEQ ID NO:36 и область CDR2H SEQ ID NO:37, область CDR1L SEQ ID NO:31, и область CDR2L SEQ ID NO:32.
2. Моноклональное антитело, специфически связывающееся с BCMA, характеризующееся тем, что содержит область VH, содержащую область CDR1H SEQ ID NO:21, область CDR2H SEQ ID NO:22 и область CDR3H SEQ ID NO:17, и область VL, содержащую область CDR3L SEQ ID NO:20 и комбинацию областей CDR1L и CDR2L, выбранную из группы

- a) область CDR1L SEQ ID NO:23 и область CDR2L SEQ ID NO:24,
  - b) область CDR1L SEQ ID NO:25 и область CDR2L SEQ ID NO:26, или
  - c) область CDR1L SEQ ID NO:27 и область CDR2L SEQ ID NO:28.
3. Антитело согласно варианту осуществления 1 или 2, характеризующееся тем, что содержит в качестве области VL область VL, выбранную из группы, состоящей из областей VL SEQ ID NO:12, 13 и 14.
4. Антитело согласно любому из вариантов осуществления 1-3, характеризующееся тем, что содержит в качестве области VH область VH SEQ ID NO:10 и в качестве области VL область VL SEQ ID NO:12.
5. Антитело согласно любому из вариантов осуществления 1-3, характеризующееся тем, что содержит в качестве области VH область VH SEQ ID NO:10 и в качестве области VL область VL SEQ ID NO:13.
6. Антитело согласно любому из вариантов осуществления 1-3, характеризующееся тем, что содержит в качестве области VH область VH SEQ ID NO:10 и в качестве области VL область VL SEQ ID NO:14.
7. Антитело согласно варианту осуществления 1 или 2, характеризующееся тем, что аминокислоту 49 области VL выбирают из группы аминокислот: тирозин (Y), глутаминовая кислота (E), серин (S) и гистидин (H).
8. Антитело согласно варианту осуществления 7, характеризующееся тем, что аминокислота 74 области VL представляет собой треонин (T) или аланин (A).
9. Моноклональное антитело, специфически связывающееся с BCMA, характеризующееся тем, что содержит область VH, содержащую область CDR3H SEQ ID NO:17, и область VL, содержащую область CDR1L SEQ ID NO:31, область CDR2L SEQ ID NO:32 и область CDR3L SEQ ID NO:20, и комбинацию областей CDR1L и CDR2L, выбранную из группы
- a) область CDR1H SEQ ID NO:29 и область CDR2H SEQ ID NO:30,
  - b) область CDR1H SEQ ID NO:34 и область CDR2H SEQ ID NO:35, или
  - c) область CDR1H SEQ ID NO:36 и область CDR2H SEQ ID NO:37.
10. Антитело согласно варианту осуществления 9, характеризующееся тем, что содержит область VL SEQ ID NO:12 и область VH, выбранную из группы, содержащую области VH SEQ ID NO:38, 39 и 40.

11. Антитело согласно варианту осуществления 9 или 10, характеризующееся тем, что аминокислоту 49 области VL выбирают из группы аминокислот: тирозин (Y), глутаминовая кислота (E), серин (S) и гистидин (H).

12. Антитело согласно варианту осуществления 9 или 10, характеризующееся тем, что аминокислота 74 области VL представляет собой треонин (T) или аланин (A).

13. Антитело согласно любому из вариантов осуществления 1-12, характеризующееся тем, что оно также специфически связывается с BCMA яванского макака и содержит дополнительный фрагмент Fab, специфически связывающийся с CD3 $\epsilon$ .

14. Антитело согласно любому из вариантов осуществления 1-13, характеризующееся тем, что оно является антителом с частью Fc или без части Fc. Ниже перечислены конкретные варианты осуществления биспецифичного антитела согласно изобретению:

15. Биспецифичное антитело, специфически связывающееся с BCMA и CD3 $\epsilon$ , характеризующееся тем, что содержит область CDR3H SEQ ID NO:17 и область CDR3L SEQ ID NO:20 и комбинацию областей CDR1H, CDR2H, CDR1L и CDR2L, выбранную из группы

a) область CDR1H SEQ ID NO:21 и область CDR2H SEQ ID NO:22, область CDR1L SEQ ID NO:23 и область CDR2L SEQ ID NO:24,

b) область CDR1H SEQ ID NO:21 и область CDR2H SEQ ID NO:22, область CDR1L SEQ ID NO:25 и область CDR2L SEQ ID NO:26,

c) область CDR1H SEQ ID NO:21 и область CDR2H SEQ ID NO:22, область CDR1L SEQ ID NO:27 и область CDR2L SEQ ID NO:28,

d) область CDR1H SEQ ID NO:29 и область CDR2H SEQ ID NO:30, область CDR1L SEQ ID NO:31, и область CDR2L SEQ ID NO:32,

e) область CDR1H SEQ ID NO:34 и область CDR2H SEQ ID NO:35, область CDR1L SEQ ID NO:31, и область CDR2L SEQ ID NO:32, и

f) область CDR1H SEQ ID NO:36 и область CDR2H SEQ ID NO:37, область CDR1L SEQ ID NO:31, и область CDR2L SEQ ID NO:32.

16. Биспецифичное антитело, специфически связывающееся с двумя мишениями, которые представляют собой внеклеточный домен BCMA человека (далее также называемый «BCMA») и CD3 $\epsilon$  человека (далее также называемый «CD3»),

характеризующееся тем, что содержит область VH, содержащую область CDR1H SEQ ID NO:21, область CDR2H SEQ ID NO:22 и область CDR3H SEQ ID NO:17, и область VL, содержащую область CDR3L SEQ ID NO:20 и комбинацию областей CDR1L и CDR2L, выбранную из группы

- a) область CDR1L SEQ ID NO:23 и область CDR2L SEQ ID NO:24,
- b) область CDR1L SEQ ID NO:25 и область CDR2L SEQ ID NO:26, или
- c) область CDR1L SEQ ID NO:27 и область CDR2L SEQ ID NO:28.

17. Биспецифичное антитело согласно варианту осуществления 15 или 16, характеризующееся тем, что содержит в качестве области VH область VH SEQ ID NO:10.

18. Биспецифичное антитело согласно любому из вариантов осуществления 15-16, характеризующееся тем, что VL BCMA выбирают из группы, состоящей из областей VL SEQ ID NO:12, 13 и 14.

19. Биспецифичное антитело согласно любому из вариантов осуществления 14-18, характеризующееся тем, что содержит в качестве области VH BCMA область VH SEQ ID NO:10 и в качестве области VL область VL SEQ ID NO:12, или в качестве VH BCMA область VH SEQ ID NO:10 и в качестве области VL область VL SEQ ID NO:13, или в качестве VH BCMA область VH SEQ ID NO:10, а в качестве области VL область VL SEQ ID NO:14.

20. Биспецифичное антитело согласно любому из вариантов осуществления 15 или 19, характеризующееся тем, что аминокислоту 49 области VL выбирают из группы аминокислот: тирозин (Y), глутаминовая кислота (E), серин (S), и гистидин (H).

21. Биспецифичное антитело согласно любому из вариантов осуществления 15-20, характеризующееся тем, что аминокислота 74 области VL представляет собой треонин (T) или аланин (A).

22. Биспецифичное антитело, специфически связывающееся с BCMA и CD3, характеризующееся тем, что содержит область VH, содержащую область CDR3H SEQ ID NO:17, и область VL, содержащую область CDR1L SEQ ID NO:31, область CDR2L SEQ ID NO:32 и область CDR3L SEQ ID NO:20, и комбинацию областей CDR1L и CDR2L, выбранную из группы

- a) область CDR1H SEQ ID NO:29 и область CDR2H SEQ ID NO:30,
- b) область CDR1H SEQ ID NO:34 и область CDR2H SEQ ID NO:35, или

с) область CDR1H SEQ ID NO:36 и область CDR2H SEQ ID NO:37.

23. Биспецифичное антитело согласно варианту осуществления 22, характеризующееся тем, что содержит область VL SEQ ID NO:12 и область VH, выбранную из группы, включающую в себя области VH SEQ ID NO:38, 39 и 40.

24. Биспецифичное антитело согласно варианту осуществления 22 или 23, характеризующееся тем, что аминокислоту 49 области VL выбирают из группы аминокислот: тирозин (Y), глутаминовая кислота (E), серин (S), и гистидин (H).

25. Биспецифичное антитело согласно любому из вариантов осуществления 22-24, характеризующееся тем, что аминокислота 74 области VL представляет собой треонин (T) или аланин (A).

26. Биспецифичное антитело согласно любому из вариантов осуществления 15-25, характеризующееся тем, что содержит анти-BCMA антитело согласно изобретению и анти-CD3 антитело, в котором

а) легкая цепь и тяжелая цепь антитела согласно любому варианту осуществления 1-7; и

б) легкая цепь и тяжелая цепь антитела специфически связываются с CD3, при этом вариабельные домены VL и VH, или константные домены CL и CH1 заменяют друг другом.

27. Биспецифичное антитело согласно любому из вариантов осуществления 15-26, характеризующееся тем, что содержит не большее чем один фрагмент Fab части анти-CD3 антитела, не больше чем два фрагмента Fab части анти-BCMA антитела, и не больше чем одну часть Fc.

28. Биспецифичное антитело согласно любому из вариантов осуществления 15-27, характеризующееся тем, что содержит часть Fc, соединенную ее N-концом с С-концом указанного фрагмента Fab антитела к CD3 и с С-концом одного из указанных фрагментов Fab антитела к BCMA.

29. Биспецифичное антитело согласно любому из вариантов осуществления 15-28, характеризующееся тем, что содержит второй фрагмент Fab указанного анти-BCMA антитела (часть антитела к BCMA), соединенный его С-концом с N-концом указанного фрагмента Fab указанного анти-CD3 антитела (часть антитела к CD3) указанного биспецифичного антитела.

30. Биспецифичное антитело согласно варианту осуществления 29, характеризующееся тем, что домен VL указанного фрагмента Fab анти-CD3 антитела соединен с доменом CH1 указанного второго фрагмента Fab анти-BCMA антитела.

31. Биспецифичное антитело согласно любому из вариантов осуществления 15-30, характеризующееся тем, что вариабельный домен VH части анти-CD3 антитела (далее называемый «VH CD3») содержит CDR SEQ ID NO:1, 2 и 3 тяжелой цепи в качестве соответствующих CDR1, CDR2 и CDR3 тяжелой цепи, и вариабельный домен VL части анти-CD3 антитела (далее называемый «VL CD3»), содержит CDR SEQ ID NO:4, 5 и 6 легкой цепи в качестве соответствующих CDR1, CDR2 и CDR3 легкой цепи.

32. Биспецифичное антитело согласно любому из вариантов осуществления 15-31, характеризующееся тем, что вариабельные домены части анти-CD3 $\varepsilon$  антитела представляют собой SEQ ID NO:7 и 8.

33. Биспецифичное антитело, специфически связывающееся с двумя мишениями, которые представляют собой внеклеточный домен BCMA человека и CD3 $\varepsilon$  человека, характеризующееся тем, что содержит

- a) первую легкую цепь и первую тяжелую цепь первого антитела по любому из пп. 1-7; и
- b) вторую легкую цепь и вторую тяжелую цепь второго антитела, которое специфически связывается с CD3, и при этом вариабельные домены VL и VH во второй легкой цепи и второй тяжелой цепи второго антитела заменены друг другом; и
- c) при этом в константном домене CL первой легкой цепи а) аминокислоту в позиции 124 независимо замещают лизином (K), аргинином (R) или гистидином (H) (нумерация Кабата), и при этом в константном домене CH1 первой тяжелой цепи а) аминокислоту в позиции 147 и аминокислоту в позиции 213 независимо замещают глутаминовой кислотой (E) или аспарагиновой кислотой (D) (нумерация Кабата) (смотрите, например, Фиг. 1A, 2A, 2C, 3A, 3C).

34. Биспецифичное антитело конкретно по п. 33, характеризующееся тем, что в дополнение содержит фрагмент Fab указанного первого антитела (далее называемый также «BCMA-Fab») и в константном домене CL указанного BCMA-Fab

аминокислоту в позиции 124 замещают независимо лизином (K), аргинином (R) или гистидином (H) (нумерация Кабата), и при этом в константном домене CH1 указанного BCMA-Fab аминокислоту в позиции 147 и аминокислоту в позиции 213 замещают независимо глутаминовой кислотой (E) или аспарагиновой кислотой (D) (нумерация Кабата) (смотрите, например, Фиг. 2A, 2C).

35. Биспецифичное антитело, специфически связывающееся с двумя мишениями, которые представляют собой внеклеточный домен BCMA человека и CD3ε человека, характеризующееся тем, что содержит

- a) первую легкую цепь и первую тяжелую цепь первого антитела по любому из пп. 1-7; и
- b) вторую легкую цепь и вторую тяжелую цепь второго антитела, которое специфически связывается с CD3, и при этом вариабельные домены VL и VH в второй легкой цепи и второй тяжелой цепи второго антитела заменены друг другом; и при этом
- c) в константном домене CL второй легкой цепи a) аминокислоту в позиции 124 независимо замещают лизином (K), аргинином (R) или гистидином (H) (нумерация Кабата), и при этом в константном домене CH1 второй тяжелой цепи b) аминокислоту в позиции 147 и аминокислоту в позиции 213 независимо замещают глутаминовой кислотой (E) или аспарагиновой кислотой (D) (нумерация Кабата).

36. Биспецифичное антитело, специфически связывающееся с двумя мишениями, которые представляют собой внеклеточный домен BCMA человека и CD3ε человека, характеризующееся тем, что содержит набор тяжелых и легких цепей, выбранный из группы, состоящей из полипептидов

- i) SEQ ID NO:48, SEQ ID NO:49, SEQ ID NO:50, и SEQ ID NO:51 (2x); (набор 1 TCB антитела 21),
- ii) SEQ ID NO:48, SEQ ID NO:52, SEQ ID NO:53, и SEQ ID NO:54 (2x) (набор 2 TCB антитела 22), и
- iii) SEQ ID NO:48, SEQ ID NO:55, SEQ ID NO:56, и SEQ ID NO:57 (2x) (набор 3 TCB антитела 42).

37. Химерный рецептор антигена (CAR) или соответствующий CAR Т-лимфоцит, содержащий: фрагмент распознавания антигена, направленный против BCMA и фрагмента активации Т-лимфоцитов, характеризующийся тем, что фрагмент

распознавания антигена представляет собой моноклональное антитело или фрагмент антитела согласно любому из вариантов осуществления 1-14.

38. Химерный рецептор антигена (CAR) или соответствующий CAR Т-лимфоцит согласно варианту осуществления 37, характеризующийся тем, что содержит:

- (i) фрагмент распознавания В-клеточного антигена созревания (BCMA);
- (ii) спейсерный домен; и
- (iii) трансмембранный домен; и
- (iv) внутриклеточный сигнальный домен Т-лимфоцитов,

39. Химерный рецептор антигена (CAR) или соответствующий CAR Т-лимфоцит согласно варианту осуществления 37 или 38, характеризующийся тем, что фрагмент распознавания антигена представляет собой моноклональное антитело или фрагмент антитела, специфически связывающийся с BCMA, характеризующееся тем, что содержит область CDR3H SEQ ID NO:17 и область CDR3L SEQ ID NO:20 и комбинацию областей CDR1H, CDR2H, CDR1L и CDR2L, выбранную из группы

- a) область CDR1H SEQ ID NO:21 и область CDR2H SEQ ID NO:22, область CDR1L SEQ ID NO:23 и область CDR2L SEQ ID NO:24,
- b) область CDR1H SEQ ID NO:21 и область CDR2H SEQ ID NO:22, область CDR1L SEQ ID NO:25 и область CDR2L SEQ ID NO:26,
- c) область CDR1H SEQ ID NO:21 и область CDR2H SEQ ID NO:22, область CDR1L SEQ ID NO:27 и область CDR2L SEQ ID NO:28,
- d) область CDR1H SEQ ID NO:29 и область CDR2H SEQ ID NO:30, область CDR1L SEQ ID NO:31, и область CDR2L SEQ ID NO:32,
- e) область CDR1H SEQ ID NO:34 и область CDR2H SEQ ID NO:35, область CDR1L SEQ ID NO:31, и область CDR2L SEQ ID NO:32, и
- f) область CDR1H SEQ ID NO:36 и область CDR2H SEQ ID NO:37, область CDR1L SEQ ID NO:31, и область CDR2L SEQ ID NO:32.

В одном варианте осуществления, связывание биспецифичного антитела не снижается 100 нг/мл APRIL больше чем на 20%, как измерено в анализе ИФА в виде OD при 405 нм, по сравнению с связыванием указанного антитела с человеческим BCMA без APRIL, указанное антитело не изменяет APRIL-зависимую активацию NF- $\kappa$ B больше чем на 20% по сравнению с только APRIL, и указанное антитело не

изменяет активацию NF-кВ без APRIL больше чем на 20% по сравнению с случаем без указанного антитела.

В одном варианте осуществления, связывание биспецифичного антитела в концентрации 6,25 нМ не снижается 140 нг/мл APRIL больше чем на 10%, предпочтительно не снижается больше чем на 1%, как измерено в анализе ИФА в виде OD при 450 нм, по сравнению с связыванием указанного антитела с человеческим BCMA без APRIL. Связывание указанного антитела в концентрации 50 нМ не снижается 140 нг/мл APRIL мыши больше чем на 10%, как измерено в анализе ИФА в виде OD при 450 нм, по сравнению с связыванием указанного антитела с человеческим BCMA без APRIL.

В одном варианте осуществления, связывание указанного антитела не снижается 100 нг/мл APRIL и не снижается 100 нг/мл BAFF больше чем на 20%, как измерено в анализе ИФА в виде OD при 405 нм, по сравнению с связыванием указанного антитела с человеческим BCMA без APRIL или BAFF соответственно, антитело не изменяет APRIL-зависимую активацию NF-кВ больше чем на 20% по сравнению с только APRIL, не изменяет BAFF- зависимую активацию NF-кВ больше чем на 20% по сравнению только с BAFF, и не изменяет активацию NF-кВ без BAFF и APRIL больше чем на 20% по сравнению с случаем без указанного антитела.

В одном варианте осуществления, связывание указанного антитела с BCMA человека не снижается 100 нг/мл APRIL больше чем на 15%, как измерено в указанном ИФА, не снижается 1000 нг/мл APRIL больше чем на 20%, как измерено в указанном ИФА, и не снижается 1000 нг/мл APRIL больше чем на 15%, как измерено в указанном ИФА.

В одном варианте осуществления, связывание указанного антитела с BCMA человека не снижается 100 нг/мл APRIL и не снижается 100 нг/мл BAFF больше чем на 15%, как измерено в указанном ИФА, не снижается 1000 нг/мл APRIL и не снижается 1000 нг/мл BAFF больше чем на 20%, как измерено в указанном ИФА, и не снижается 1000 нг/мл APRIL и не снижается 1000 нг/мл BAFF больше чем на 15%, как измерено в указанном ИФА.

В одном варианте осуществления, биспецифичное антитело не изменяет APRIL- зависимую активацию NF-kB больше чем на 15%, не изменяет BAFF- зависимую

активацию NF-кВ больше чем на 15% и не изменяет NF-кВ активацию без APRIL и BAFF больше чем на 15%.

В одном варианте осуществления, связывание антитела с ВСМА не снижается APRIL, не снижается BAFF больше чем на 25%, больше чем на 20% и больше чем на 10%, как измерено по связыванию указанного антитела в концентрации 5 нМ, предпочтительно 50 нМ и 140 нМ, с клетками NCI-H929 (ATCC® CRL-9068™) в присутствии или в отсутствие APRIL или соответственно BAFF в концентрации 2,5 мкг/мл по сравнению со связыванием указанного антитела с клетками NCI-H929 в отсутствии APRIL или BAFF соответственно.

В одном варианте осуществления, нижеследующие примеры, перечень последовательностей и фигуры предоставлены для того, чтобы помочь понять данное изобретение, истинный объем которого изложен в прилагаемой формуле изобретения. Понятно то, что могут быть внесены модификации в изложенные процедуры без отклонения от сущности изобретения.

### **Материалы и общие способы**

#### **Способы рекомбинантной ДНК**

Для манипуляций с ДНК применяли стандартные способы, как описано в Sambrook, J. et al., Molecular cloning: A laboratory manual; Cold Spring Harbor Laboratory Press, Cold Spring Harbor, New York, 1989. Молекулярно-биологические реагенты использовали в соответствии с инструкциями производителя. Общая информация о нуклеотидных последовательностях легких и тяжелых цепей иммуноглобулинов человека приведена в: Kabat, E.A. et al., (1991) Sequences of Proteins of Immunological Interest, 5<sup>th</sup> ed., NIH Publication No. 91-3242. Аминокислоты цепей антител были пронумерованы и обозначены согласно Kabat, E.A., et al., Sequences of Proteins of Immunological Interest, 5th ed., Public Health Service, National Institutes of Health, Bethesda, MD, (1991).

#### **Синтез генов**

а) Желаемые генные сегменты получали из олигонуклеотидов, произведенных химическим синтезом. Генные сегменты длиной 600-1800 п.н., которые были фланкированы единичными сайтами расщепления эндонуклеазами рестрикции, собирали путем отжига и лигирования олигонуклеотидов, включая амплификацию ПЦР, и затем клонировали с помощью указанных сайтов рестрикции, например,

KpnI/Sad или Ascl/Pacl в клонирующий вектор pGA4 на основе pPCRScript (Stratagene). Последовательности ДНК субклонированных генных фрагментов подтверждали сиквенированием ДНК. Синтезированные генные фрагменты были упорядочены в соответствии с предоставленными инструкциями Geneart (Регенсбург, Германия).

б) желаемые генные сегменты, когда это было необходимо, либо создавались с помощью ПЦР с использованием соответствующих матриц, либо были синтезированы Geneart AG (Регенсбург, Германия) из синтетических олигонуклеотидов и продуктов ПЦР с помощью автоматического синтеза генов. Генные сегменты, фланкованные единичными сайтами расщепления эндонуклеазой рестрикции, были клонированы в стандартные векторы экспрессии или в векторы для сиквенирования, для дополнительного анализа. Плазмидную ДНК очищали от трансформированных бактерий с использованием коммерчески доступных наборов для очистки плазмид. Концентрацию плазмид определяли с помощью УФ-спектроскопии. Последовательность ДНК субклонированных фрагментов гена была подтверждена сиквенированием ДНК. Генные сегменты конструировали с подходящими сайтами рестрикции, чтобы сделать возможным субклонирование в соответствующие векторы экспрессии. При необходимости, гены, кодирующие белки, конструировали с использованием 5'-концевой последовательности ДНК, кодирующей лидерный пептид, способствующий секреции белков в эукариотических клетках.

#### ***Определение последовательности ДНК***

Последовательности ДНК определяли путем двухцепочечного сиквенирования.

#### ***Анализ последовательности ДНК и белка, и обращение с данными последовательностей***

Пакет программного обеспечения Clone Manager (Scientific & Educational Software) версии 9.2 использовался для картирования последовательности, анализа, аннотирования и иллюстрации.

#### ***Векторы экспрессии***

а) Гибридные гены, содержащие описанные цепи антител, как описано ниже, получали с помощью ПЦР и/или генного синтеза, и собирали с помощью известных рекомбинантных способов и методов путем соединения соответствующих

нуклеотидных сегментов, например, используя уникальные сайты рестрикции в соответствующих векторах. Субклонированные нуклеотидные последовательности проверяли секвенированием ДНК. Для временной трансфекций большие количества плазмид получают приготовлением плазмиды из трансформированных культур *E. coli* (Nucleobond AX, Macherey-Nagel).

b) Для создания векторов экспрессии анти-BCMA антитела, вариабельные области последовательностей ДНК тяжелой и легкой цепей субклонировали в рамку считывания либо с константной областью тяжелой цепи IgG1 человека, либо с константной областью легкой цепи IgG1 человека, предварительно вставленную в соответствующий обычный принимающий вектор экспрессии, оптимизированный для экспрессии в клеточных линиях млекопитающих. Экспрессия антитела управляется химерным промотором MPSV, содержащим энхансер ЦМВ и промотор MPSV, за которым следуют 5'-UTR, инtron и элемент MAR каппа Ig. Транскрипция заканчивается синтетической polyA сигнальной последовательностью на 3'-конце CDS. Все векторы несут 5'-концевую последовательность ДНК, кодирующую лидерный пептид, способствующий секреции белков в эукариотических клетках. Кроме того, каждый вектор содержит последовательность EBР OriР для репликации эпизомальных плазмид в клетках EBNA, экспрессирующих EBV.

c) Для получения векторов биспецифичных антител BCMAxCD3 биспецифичные молекулы, полученные из IgG1, состоят, по меньшей мере, из двух антиген-связывающих фрагментов, способных специфически связываться с двумя различными антигенными детерминантами CD3 и BCMA. Антиген-связывающие фрагменты представляют собой фрагменты Fab, состоящие из тяжелой и легкой цепи, каждая из которых содержит вариабельную и константную области. По меньшей мере, один из фрагментов Fab представлял собой фрагмент «Crossfab», в котором VH и VL были заменены. Обмен VH и VL внутри фрагмента Fab гарантирует, что фрагменты Fab различной специфичности не имеют идентичного расположения доменов. Конструкция биспецифичной молекулы была моновалентной для CD3 и бивалентной для BCMA, где один фрагмент Fab был слит с N-концом внутренней части CrossFab (2+1). Биспецифичная молекула содержала часть Fc, чтобы молекула имела длительный период полужизни. Схематическое представление конструкций приведено в Фиг. 2; предпочтительные последовательности

конструкций показаны в SEQ ID NO:39-52. Молекулы были получены путем ко-трансфекции клеток HEK293 EBNA, растущих в суспензии, экспрессирующими векторами млекопитающих, с использованием раствора на основе полимера. Для приготовления конструкций 2+1 CrossFab-IgG клетки трансфицировали соответствующими векторами экспрессии в соотношении 1:2:1:1 («вектор Fc (выступ)»: «вектор легкой цепи»: «вектор легкой цепи CrossFab» : «вектор тяжелой цепи CrossFab»).

### ***Методы культивирования клеток***

Стандартные методы культивирования клеток применяли, как описано в Current Protocols in Cell Biology (2000), Bonifacino, J. S., Dasso, M., Harford, J.B., Lippincott-Schwartz, J. и Yamada, K.M. (eds.), John Wiley & Sons, Inc.

### ***Временная экспрессия в клетках HEK293 (система HEK293-EBNA)***

Биспецифичные антитела экспрессировали с помощью временной ко-трансфекции соответствующими экспрессирующими векторами млекопитающих клеток HEK293-EBNA, которые культивировали в суспензии с использованием раствора на основе полимера. За один день до трансфекции клетки HEK293-EBNA высевали в количестве 1,5 млн. жизнеспособных клеток/мл в среду Ex-Cell с добавлением 6 мМ L-глутамина. Центрифугировали 2,0 млн. жизнеспособных клеток на каждый мл объема конечного продукта (5 минут при  $210 \times g$ ). Аспирировали супернатант и клетки ресуспендировали в 100 мкл среды CD СНО. ДНК на каждый мл объема конечного продукта готовили путем смешивания 1 мкг ДНК (соотношение тяжелая цепь: модифицированная тяжелая цепь: легкая цепь: модифицированная легкая цепь = 1:1:2:1) в 100 мкл среды CD СНО. После добавления 0,27 мкл раствора на основе полимера (1 мг/мл) смесь встряхивали в течение 15 секунд и оставляли при комнатной температуре на 10 минут. Через 10 минут ресуспендированные клетки и смесь ДНК/раствор на основе полимера объединяли и затем переносили в соответствующий контейнер, который помещали в встряхивающее устройство (37 °C, 5% CO<sub>2</sub>). После 3 часов инкубации на каждый мл объема конечного продукта добавляли 800 мкл среды Ex-Cell, дополненной 6 мМ L-глутамина, 1,25 мМ вальпроевой кислоты и 12,5% Pepsoy (50 г/л). Через 24 часа на каждый мл конечного объема продукта добавляли 70 мкл питательного раствора. Через 7 дней, или когда жизнеспособность клеток составляла или была ниже 70%, клетки отделяли от

супернатанта центрифугированием и стерильной фильтрацией. Антитела очищали с помощью этапа аффинного связывания и одного или двух этапов дополнительной очистки с использованием катионообменной хроматографии и эксклюзионной хроматографии. При необходимости использовали дополнительный этап очистки. Рекомбинантное человеческое анти-BCMA антитело и биспецифичные антитела продуцировали в суспензии путем ко-трансфекции клеток HEK293-EVNA экспрессирующими векторами млекопитающих с использованием раствора на основе полимера. Клетки трансфицировали двумя или четырьмя векторами, в зависимости от формы. Для IgG1 человека одна плазмида кодировала тяжелую цепь, а другая плазмида - легкую цепь. Для биспецифичных антител ко-трансфицировали четыре плазмиды. Две из них кодировали две различные тяжелые цепи, а две другие кодировали две различные легкие цепи. За один день до трансфекции клетки HEK293-EVNA высевали в количестве 1,5 млн. жизнеспособных клеток/мл в среду F17 с добавлением 6 мМ L-глутамина.

### ***Определение белка***

Определение концентрации антител осуществляли путем измерения поглощения при 280 нм, используя теоретическое значение поглощения в 0,1% растворе антитела. Эта величина была основана на аминокислотной последовательности и рассчитана с помощью программного обеспечения GPMAW (Lighthouse data).

### ***ДСН-ПААГ электрофорез***

Применили систему NuPAGE® Pre-Cast gel (Invitrogen) в соответствии с инструкцией производителя. В частности, использовали 10% или 4-12% гели NuPAGE® Novex® Bis-TRIS Pre-Cast (pH 6,4) и NuPAGE® MES (восстановленные гели с антиоксидантной добавкой NuPAGE® в рабочем буфере) или MOPS (невосстановленные гели) с рабочим буфером.

### ***Очистка белка***

#### ***Аффинной хроматографией с белком A***

На этапе аффинной хроматографии супернатант загружали в колонку с белком A (HiTrap Protein A FF, 5 мл, GE Healthcare), уравновешивали 6 CV 20 мМ фосфата натрия, 20 мМ цитрата натрия, pH 7,5. После этапа промывки тем же буфером антитело элюировали из колонки путем поэтапного элюирования 20 мМ фосфатом натрия, 100 мМ хлорида натрия, 100 мМ глицином, pH 3,0. Фракции с желаемым

антителом немедленно нейтрализовали 0,5 М фосфатом натрия, pH 8,0 (1:10), объединяли и концентрировали центрифугированием. Концентрат стерильно фильтровали и дополнительно подвергали обработке катионаобменной хроматографией и/или эксклюзионной хроматографией.

#### *Катионаобменной хроматографией*

Для этапа катионаобменной хроматографии концентрированный белок разбавляли 1:10 элюиющим буфером, используемым для этапа аффинного связывания, и загружали в катионаобменную колонку (Poros 50 HS, Applied Biosystems). После двух этапов промывки уравновешивающим буфером и промывочным буфером, соответствующие 20 mM фосфата натрия, 20 mM цитрата натрия, 20 mM трис, pH 5,0 и 20 mM фосфата натрия, 20 mM цитрата натрия, 20 mM трис, 100 mM хлорида натрия, pH 5,0, белок элюировали с помощью градиента, используя 20 mM фосфата натрия, 20 mM цитрата натрия, 20 mM TRIS, 100 mM хлорида натрия, pH 8,5. Фракции, содержащие желаемое антитело, объединяли, концентрировали центрифугированием, стерильно фильтровали и дополнительно подвергали обработке на этапе эксклюзионной хроматографии.

#### *Аналитической эксклюзионной хроматографией*

Для этапа эксклюзионной хроматографии концентрированный белок вводили в колонку XK16/60 HiLoad Superdex 200 (GE Healthcare), с 20 mM гистидина, 140 mM хлорида натрия, pH 6,0 с или без Tween 20, в качестве состава буфера. Фракции, содержащие мономеры, объединяли, концентрировали центрифугированием и стерильно фильтровали в стерильный флакон.

#### *Измерение чистоты и содержания мономера*

Чистоту и содержание мономера в конечном белковом препарате определяли с помощью CE-SDS (система Caliper LabChip GXII (Caliper Life Sciences)), соответствующей ВЭЖХ (TSKgel G3000 SW XL, колонка для аналитической эксклюзионной хроматографии (Tosoh)) в буфере 25 mM фосфата калия, 125 mM хлорида натрия, 200 mM моногидрохлорида L-аргинина, 0,02% (мас./об.) азида натрия, pH 6,7.

#### *Подтверждение молекулярной массы с помощью анализов ЖХ-МС*

##### *Дегликозилирование*

Для подтверждения гомогенного состояния препарата молекул конечный белковый раствор анализировали с помощью ЖХ-МС анализов. Для устранения гетерогенности, вносимой углеводами, конструкции обрабатывают PNGaseF (ProZyme). Поэтому pH раствора белка доводили до pH 7,0 путем добавления 2 мкл 2 М триса к 20 мкг белка с концентрацией 0,5 мг/мл. Добавляли 0,8 мкг PNGaseF и инкубировали в течение 12 часов при 37 °C.

*ЖХ-МС анализ - обнаружение в работающем режиме*

Способ ЖХ-МС выполняли на ВЭЖХ Agilent 1200, соединенном с масс-спектрометром TOF 6441 (Agilent). Хроматографическое разделение проводили на полистирольной колонке Macherey Nagel; RP1000-8 (размер частиц 8 мкм, 4,6 x 250 мм; кат. № 719510). Элюент А представлял собой 5% ацетонитрила и 0,05% (об./об.) муравьиной кислоты в воде, элюент В представлял собой 95% ацетонитрила, 5% воды и 0,05% муравьиной кислоты. Скорость потока составляла 1 мл/мин, разделение проводили при 40 °C и 6 мкг (15 мкл) образца белка, полученного обработкой, как описано выше.

Время (мин.)	%B
0,5	15
10	60
12,5	100
14,5	100
14,6	15
16	15
16,1	100

В течение первых 4 минут элюят направляли в отходы для защиты масс-спектрометра от солевого загрязнения. ESI-источник работал с потоком осушающего газа 12 л/мин, температурой 350 °C и давлением распылителя 60 фунтов на квадратный дюйм. Спектры МС получали с использованием напряжения фрагментатора 380 В и диапазоном масс от 700 до 3200 m/z в режиме положительных ионов. Данные МС были получены с помощью программного обеспечения прибора с 4 по 17 минуты.

***Выделение человеческих МКПК из крови***

Мононуклеарные клетки периферической крови (МКПК) получали путем центрифugирования с раствором Histopaque из обогащенных препаратов лимфоцитов (лейкоцитарных слоев), полученных из местных банков крови или из

свежей крови здоровых доноров-людей. Вкратце, кровь разводили стерильным ФСБ и осторожно насыпали поверх градиента Histopaque (Sigma, H8889). После центрифугирования в течение 30 минут при  $450 \times g$  при комнатной температуре (торможение отключено) убирали часть плазмы над промежуточной фазой, содержащей МКПК. МКПК переносили в новые пробирки Falcon объемом 50 мл и пробирки заполняли ФСБ до общего объема 50 мл. Смесь центрифугировали при комнатной температуре в течение 10 минут при  $400 \times g$  (тормоз отключен). Супернатант удаляли и осадок МКПК дважды промывали стерильным ФСБ (этапы центрифугирования при  $4^{\circ}\text{C}$  в течение 10 минут при  $350 \times g$ ). Полученную популяцию МКПК подсчитывали автоматически (ViCell) и хранили в среде RPMI1640, содержащей 10% FCS и 1% L-аланил-L-глутамина (Biochrom, K0302) при  $37^{\circ}\text{C}$ , 5%  $\text{CO}_2$  в инкубаторе до начала анализа.

#### ***Выделение первичных МКПК яванского макака из гепаринизированной крови***

Мононуклеарные клетки периферической крови (МКПК) получали путем центрифугирования в градиенте плотности из свежей крови здоровых доноров-яванских макак, следующим образом: Гепаринизированную кровь разводили стерильным ФСБ 1:3, а среду Lymphoprep (Axon Lab кат. № 1114545) разводили до 90% стерильным ФСБ. Два объема разведенной крови насыпали на один объем разбавленного градиента плотности и фракцию МКПК отделяли центрифугированием в течение 30 мин при  $520 \times g$  без торможения при комнатной температуре. Шар МКПК переносили в чистую пробирку Falcon объемом 50 мл и промывали стерильным ФСБ путем центрифугирования в течение 10 минут при  $400 \times g$  при  $4^{\circ}\text{C}$ . Для удаления тромбоцитов выполняли одно низкоскоростное центрифugирование (15 минут при  $150 \times g$ ,  $4^{\circ}\text{C}$ ), и полученную популяцию МКПК автоматически подсчитывали (ViCell) и сразу использовали в дальнейших анализах.

#### **Примеры**

##### **Пример 1: Создание анти-ВСМА антител**

##### **Пример 1.1: Изготовление антигенов и рабочих реагентов**

##### **Пример 1.1.1: Рекомбинантный растворимый внеклеточный домен ВСМА человека**

Внеклеточные домены ВСМА человека, яванского макака и мыши, которые использовались в качестве антигенов для отборов фаговым дисплеем, временно

экспрессировали в виде N-концевого мономерного Fc-гибрида в клетках HEK EBNA, и сайт-специфически биотинилировали *in vivo* путем ко-экспрессии с биотин-лигазой BirA, по avi-tag распознаваемой последовательности, расположенной на C-конце части Fc, несущей цепочку рецептора (цепь Fc с выступом). Внеклеточные домены BCMA человека и яванского макака содержали последовательность с метионина 4 по аспарагин 53 и с метионина 4 по аспарагин 52, соответственно. Они были слиты через N-концы с шарнирной областью человеческого IgG1, делая возможной гетеродимеризацию с не слитой человеческой частью Fc IgG1 (цепь с отверстием) по технологии «выступы в отверстия».

#### **Пример 1.1.1А: Создание анти-BCMA антител путем созревания**

##### **1.1.1А.1 Библиотеки и отборы**

Были сконструированы две библиотеки на основе антитела 83A10. Данные библиотеки рандомизировали либо по CDR1 и CDR2 легкой цепи (83A10 L1/L2), либо по CDR1 и CDR2 тяжелой цепи (83A10 H1/H2), соответственно. Каждая из этих библиотек была сконструирована с помощью 2 подряд этапов амплификации и сборки. Продукты окончательной сборки расщепляли Ncol/BsiWI для библиотеки 83A10 L1/L2, MunI и NheI для библиотеки 83A10 H1/H2, наряду с аналогично обработанными акцепторными векторами на основе плазмидных препаратов клона 83A10. Следующие количества расщепленных рандомизированных (частичных) V-доменов и расщепленного акцепторного вектора(ов) лигировали для соответствующих библиотек (мкг V-домена/мкг вектора): библиотеки а.т.83A10 L1/L2 (3/10), библиотеки 83A10 H1/H2 (3/10). Собирали очищенные лигаты библиотек 83A10 L1/L2 и 83A10 H1/H2, соответственно, и использовали для 15 трансформаций клеток TG1 *E. coli* для каждой из 2 библиотек, чтобы получить окончательные размеры библиотек, составляющие  $2,44 \times 10^{10}$  для библиотеки 83A10 L1/L2, и  $1,4 \times 10^{10}$  для библиотеки а.т.83A10 H1/H2. Фагмидные частицы, демонстрирующие данные библиотеки Fab, были выделены и очищены.

##### **1.1.1А.2 Отбор клонов**

Отборы проводили против эктодомена В-клеточного антигена созревания (BCMA) человека или яванского макака, к которому был клонирован выше по рамке считывания Fc и avi-тэг. Перед отборами истощающий Fc компонент наносили на

планшеты с нейтравидином в концентрации 500 нМ. Отборы проводились по следующей схеме:

1) связывание примерно  $10^{12}$  фагмидных частиц библиотеки .83A10 L1/L2 или библиотеки 83A10 H1/H2 с иммобилизованным истощающим Fc компонентом в течение 1 ч, 2) перенос несвязанных фагмидных частиц библиотеки .83A10 L1/L2 или библиотеки 83A10 H1/H2 к 50 нМ, 25 нМ, 10 нМ, или 2 нМ BCMA человека или яванского макака (в зависимости от библиотеки и раунда отбора) на 20 мин, 3) добавление магнитных стрептавидиновых гранул на 10 минут, 4) промывка магнитных стрептавидиновых гранул с использованием  $10 \times 1$  мл ФСБ/Tween® 20 и  $10 \times 1$  мл ФСБ, 5) элюирование фаговых частиц путем добавления 1 мл 100 мМ TEA (триэтиламин) в течение 10 мин и нейтрализация путем добавления 500 мкл 1M Tris®/HCl pH 7,4, и 6) повторное инфицирование клеток TG1 *E. coli* в лог-фазе, заражение вспомогательным фагом VCSM13 и последующее осаждение ПЭГ/NaCl фагмидных частиц для использования в последующих раундах отбора.

Отборы проводили в течение 3 раундов и условия были скорректированы в 5 оптимизирующих потоках для каждой из 2 библиотек по отдельности. Подробно параметры отбора представляли собой:

оптимизирующий поток 1 (50 нМ BCMA человека для раунда 1, 25 нМ BCMA яванского макака для раунда 2, 10 нМ BCMA человека для раунда 3), оптимизирующий поток 2 (50 нМ BCMA человека для раунда 1, 10 нМ BCMA человека для раунда 2, 2 нМ BCMA человека для раунда 3), оптимизирующий поток 3 (50 нМ BCMA человека для раунда 1, 25 нМ BCMA человека для раунда 2, 10 нМ BCMA яванского макака для раунда 3), оптимизирующий поток 4 (50 нМ BCMA человека для раунда 1, 25 нМ BCMA яванского макака для раунда 2, 10 нМ BCMA яванского макака для раунда 3), оптимизирующий поток 5 (50 нМ BCMA яванского макака для раунда 1, 25 нМ BCMA яванского макака для раунда 2, 10 нМ BCMA яванского макака для раунда 3).

Тяжелые цепи антител Mab 21, Mab 22, Mab 33 и Mab 42 к BCMA были получены в оптимизирующем потоке 5, в котором использовался только BCMA яванского макака.

#### 1.1.1A.3 Способ скрининга

Отдельные клоны экспрессировали бактериально в виде 1 мл культур в 96-луночном формате, и супернатанты подвергали скринингу с помощью ИФА. Конкретные связыватели определяли как сигналы, большие чем 5-кратный фон для BCMA человека и яванского макака, и как сигналы, ниже чем 3-кратный фон для истощающих Fc элементов. Полосочные 96-луночные плашки с нейтравидином покрывали 10 нМ BCMA человека, 10 нМ BCMA яванского макака или 50 нМ истощающего Fc компонента, с последующим добавлением Fab-содержащих бактериальных супернатантов и детектированием специфически связывающихся Fab через их тэги Flag путем использования вторичного антитела против Flag/HRP. ИФА-положительные клоны экспрессировали бактериально в виде 1 мл культур в 96-луночном формате, и супернатанты подвергались кинетическому скринингу в эксперименте ProteOn. Было идентифицировано 500 положительных клонов, большинство из которых имеют сходную аффинность.

#### 1.1.1A.4 Скрининг поверхностным плазмонным резонансом с растворимыми Fab и IgG

С помощью ППР (поверхностный плазмонный резонанс) были дополнительно протестированы 70 клонов. Все эксперименты проводили при 25 °C с использованием PBST в качестве рабочего буфера (10 мМ ФСБ, pH 7,4 и 0,005% (об./об.) Tween®20). Биосенсор ProteOn XPR36, снабженный сенсорными чипами GLC и GLM, и реагенты для связывания (10 мМ ацетат натрия, pH 4,5, сульфо-N-гидроксисукцинимид, 1-этил-3-(3-диметиламинопропил)-карбодииimid гидрохлорид [EDC] и этаноламин) были приобретены у BioRad Inc. (Геркулес, Калифорния). Иммобилизации проводили при 30 мкл/мин на чипе GLM. pAb (коза) анти-IgG человека, F(ab)2-специфичный Ab (Джексон) связывали в вертикальном направлении, используя стандартную процедуру аминного связывания: все шесть лигандных каналов активировали в течение 5 минут смесью EDC (200 мМ) и сульфо-NHS (50 мМ). Сразу после активации поверхностей в течение 5 минут через все шесть каналов инъецировали pAb (коза) анти-IgG человека, F(ab)2-специфичное антитело (50 мкг/мл, 10 мМ ацетата натрия, pH 5). Наконец, каналы блокировали 5-минутной инъекцией 1 М этаноламин-HCl (pH 8,5). Конечные уровни иммобилизации были похожими на всех каналах, в пределах от 11000 до 11500 RU. Варианты Fab были захвачены из супернатантов *E. coli* путем одновременной инъекцией по пяти

раздельным целым горизонтальным каналам (30 мкл/мин) в течение 5 минут, что дало в результате уровни в диапазоне от 200 до 900 RU, в зависимости от концентрации Fab в супернатанте; в шестой канал вводили кондиционную среду, чтобы получить контроль «в системе» в целях двойного сопоставления. Однократные кинетические измерения выполняли путем введения серии разведений BCMA человека, яванского макака и мыши (50, 10, 2, 0,4, 0,08, 0 нМ, 50 мкл/мин) в течение 3 минут по вертикальным каналам. Диссоциацию проверяли в течение 5 минут. Кинетические данные были проанализированы в ProteoManager v. 2.1. Обработка данных реакции точки включала применение этапа межточкового сопоставления и шага двойного сопоставления с применением буферного контроля «в системе» (Myszka, 1999). Обработанные данные из повторных однократных инъекций соответствовали простой модели связывания Ленгмюра 1:1 без переноса массы (O'Shannessy et al., 1993).

Для измерения IgG из супернатантов продуктов HEK в 6-луночном формате, варианты IgG были захвачены из супернатантов HEK293 путем одновременной инъекцией по пяти раздельным целым горизонтальным каналам (30 мкл/мин) в течение 5 минут, что дало в результате уровни в диапазоне от 200 до 400 RU; в шестой канал вводили кондиционную среду, чтобы получить контроль «в системе» в целях двойного сопоставления. Однократные кинетические измерения выполняли путем введения серии разведений BCMA человека, яванского макака и мыши (25, 5, 1, 0,2, 0,04, 0 нМ, 50 мкл/мин) в течение 3 минут по вертикальным каналам. Диссоциацию проверяли в течение 5 минут. Кинетические данные были проанализированы как описано выше. Измерения OSK приведены в Таблице 2D; н/и, неокончательное измерение. Было обнаружено, что аффинность к BCMA человека составляет от около 50 пМ до 5 нМ. Было обнаружено, что аффинность к BCMA яванского макака составляет от около 2 нМ до 20 нМ (некоторые клоны выходят за пределы диапазона,смотрите Фиг. 17).

#### 1.1.1A5. Дополнительный отбор клонов HC и LC

Благодаря своему опыту авторы изобретения отобрали из этих 70 клонов еще 27 клонов на основании их свойств связывания с BCMA человека, BCMA яванского макак, BCMA мыши, и соотношения, измеренного в различных анализах. Из этих клонов были отобраны клоны 4VH и 9VL, что дало в результате 34 комбинации

VH/VL. Аффинность связывания измеряли на клетках HEK-BCMA человека (HEK-huBCMA) (Фиг. 18 и Таблица 2Е). Было обнаружено, что связывание антител Mab 21, Mab 22, Mab 27, Mab 39 и Mab 42 с huBCMA на клетках HEK не было значительно лучше, чем связывание Mab 83A10 с клетками huBCMA-HEK. Однако Mab21, Mab 22, Mab27, Mab33, Mab39 и Mab42 были отобраны благодаря их общим свойствам, таким как аффинность к BCMA человека, BCMA яванского макака, связывание в качестве биспецифичного антитела с BCMA-положительными клеточными линиями множественной миеломы H929, L363 и RPMI-8226 в проточной цитометрии, уничтожение миеломных клеток H929, L363 и RPMI-8226, жизнеспособных миеломных плазматических клеток из аспиратов костного мозга пациента, и данным фармакокинетики (ФК) и фармакодинамики (уничтожение BCMA-положительных клеток) у яванских макак.

**Таблица 2С:** Связь антител с оптимизационными потоками

Mab №	Получено из библиотеки 2 (HC)	Клон HC	Получено из библиотеки 1 (LC)	Клон LC
Mab 21	Оптимизационный поток 5	5F04	Оптимизационный поток 1	1D04
Mab 22	Оптимизационный поток 5	5F04	Оптимизационный поток 1	1C05
Mab 27	Оптимизационный поток 1	1A08	Оптимизационный поток 1	1D04
Mab 33	Оптимизационный поток 5	5D03	Оптимизационный поток 1	1D04
Mab 39	Оптимизационный поток 2	2E12	Оптимизационный поток 1	1D04
Mab 42	Оптимизационный поток 5	5F04	Оптимизационный поток 5	5A11

**Таблица 2D:** Однократные кинетические измерения аффинности к BCMA человека, яванского макака и мыши

Mab №	VH	VL	KД	KД	KД
			BCMA человека (huBCMA)	BCMA яванского макака (суBCМА)	BCMA мыши (тиBCМА)
83A10	pCON1532	pCON1080	1,5E-09	1,4E-08	н/и
Mab 21	pCON1531	pCON1522	2,8E-11	5,1E-11	7,3E-10
Mab 22	pCON1531	pCON1521	4,8E-11	н/и	9,0E-10

Mab 27	pCON1520	pCON1522	3,9E-13	1,0E-10	9,7E-10
Mab 33	pCON1530	pCON1522	1,7E-11	3,4E-11	4,9E-10
Mab 39	pCON1524	pCON1522	6,2E-11	2,7E-10	н/и
Mab 42	pCON1531	pCON1527	2,3E-10	3,9E-10	2,5E-09

**Таблица 2Е:** Связывание вариантов IgG на клетках HEK-huBCMA

Mab №	VH	VL	Связывани е EC50 [нМ]	Связывани е EC50 [мкг/мл]
83A10	PCON1532	PCON1080	2,4	0,34
Mab 14	PCON1530	PCON1527	1,47	0,21
Mab 21	pCON1531	PCON1522	2,46	0,35
Mab 22	PCON1531	pCON1521	2,08	0,30
Mab 23	PCON1531	PCON1519	4,97	0,71
Mab 27	PCON1520	PCOM1522	10,57	1,52
Mab 28	PCON1520	PCOM1521	11,34	1,63
Mab 30	PCON1530	PCON1526	10,35	1,49
Mab 31	PCON1530	PCON1525	1,34	0,19
Mab 33	pCOM1530	PCON1522	1,18	0,17
Mab 34	PCON1530	PCON1521	1,24	0,18
Mab 35	PCON1530	PCON1519	1,63	0,23
Mab 39	PCON1524	PCON1522	1,73	0,25
Mab 42	PCON1531	pCON1527	2,10	0,30
Mab 44	PCON1520	PCON1527	1,55	0,22

**Пример 1.2: BCMA-экспрессирующие клетки как рабочие инструменты**

**Пример 1.2.1: Линии миеломных клеток человека, экспрессирующих BCMA на их поверхности, и количественное определение числа рецепторов BCMA на клеточной поверхности**

Экспрессию BCMA оценивали на пяти линиях миеломных клеток человека (NCI-H929, RPMI-8226, U266B1, L-363 и JJN-3) с помощью проточной цитометрии. Клетки NCI-H929 ((H929) ATCC® CRL-9068™) культивировали в 80-90% RPMI 1640 с 10-20% FCS (фетальная телячья сыворотка), инактивированной нагреванием, и могло содержать 2 мМ L-глутамина, 1 мМ пирувата натрия и 50 мкМ меркаптоэтанола. Клетки RPMI-8226 ((RPMI) ATCC® CCL-155™) культивировали в среде, содержащей 90% RPMI 1640 и 10% FCS, инактивированной нагреванием. Клетки U266B1 ((U266)

ATCC® TIB-196™) культивировали в среде RPMI-1640, модифицированной так, чтобы она содержала 2 мМ L-глутамина, 10 мМ HEPES, 1 мМ пирувата натрия, 4500 мг/л глюкозы и 1500 мг/л бикарбоната натрия, и 15% FCS, инактивированной нагреванием. Клеточную линию L-363 (Институт Лейбница DSMZ - Немецкая коллекция микроорганизмов и клеточных культур; DSMZ № ACC 49) культивировали в 85% RPMI 1640 и 15% FCS, инактивированной нагреванием. Клеточную линию JJN-3 (DSMZ № ACC 541) культивировали в 40% МЕМ Дульбекко + 40% MDM Искова + 20% FBS, инактивированной нагреванием. Вкратце, клетки собирали, промывали, подсчитывали количество жизнеспособных, ресуспенсировали до 50000 клеток/лунка в 96-луночной круглодонной плашке и инкубировали с анти-ћиBCMA антителом (Abcam, кат. № ab54834, мышиный IgG1) в количестве 10 мкг/мл в течение 30 мин при 4 °C (для предотвращения интернализации). В качестве изотипного контроля использовали мышиный IgG1 (BD Biosciences, кат. № 554121). Затем клетки центрифугировали (5 мин при 350 × g), дважды промывали и инкубировали с FITC-конъюгированным вторичным анти-мышиным антителом в течение 30 минут при 4 °C. В конце времени инкубации клетки центрифугировали (5 мин при 350 × g), дважды промывали буфером FACS, ресуспенсировали в 100 мкл буфера FACS и анализировали на устройстве Cantell, с запущенным программным обеспечением FACS Diva. Относительное количественное определение числа рецепторов BCMA на плазматической мемbrane клеток миеломных линий H929, RPMI-8226 и U266B1 оценивали с помощью анализа QIFIKIT (Dako, кат. № K0078, следуя инструкциям производителя). Клетки H929 экспрессировали BCMA человека с самой высокой плотностью, вплоть до 5-6 раз большей чем у других миеломных клеточных линиях. H929 рассматривается как линия миеломных клеток с высокой экспрессией BCMA по сравнению с U266 и L363, которые представляют собой миеломные клетки со средней/низкой экспрессией BCMA, RPMI-8226, которая представляет собой миеломные клетки с низкой экспрессией BCMA, и JJN-3, которая представляет собой миеломные клетки с очень низкой экспрессией BCMA. Таблица 3 подводит итог по данным относительного числа рецепторов BCMA на клеточной поверхности клеток линий множественной миеломы человека в каждом эксперименте (n = 5).

**Таблица 3:** Количественное определение числа рецепторов BCMA на плазматической мембране человеческих клеток миеломных линий H929, L363, RPMI-8226, U266B1 и JJN-3

Линии миеломных клеток человека	Специфическая антиген-связывающая способность (SABC)				
	Эксперимент 1	Эксперимент 2	Эксперимент 3	Эксперимент 4	Эксперимент 5
H929	19357	54981	44800	100353	98050
L363	16,970	/	11300	11228	/
U266(B1)	/	12852	11757	/	9030
RPMI-8226	1165	5461	/	11361	2072
JJN-3	/	/	/	/	650

### Пример 2: Анализ связывания ВСМА: поверхностный плазмонный резонанс

Оценка связывания анти-ВСМА антител с рекомбинантным ВСМА с помощью поверхностного плазмонного резонанса (SPR) производится следующим образом. Все ППР-эксперименты проводили на Biacore T200 при 25 °C с HBS-EP в качестве рабочего буфера (0,01 М HEPES, pH 7,4, 0,15 М NaCl, 3 мМ EDTA, 0,005% ПАВ P20, Biacore, Фрайбург, Германия). Определяли авидность взаимодействия между анти-ВСМА антителами и рекомбинантным Fc(kih) ВСМА (человека и яванского макака). Биотинилированный рекомбинантный Fc(kih) ВСМА человека и яванского макака прямо связывали на чипе SA, следуя инструкциям (Biacore, Фрайбург/Германия). Уровень иммобилизации колебался от 200 до 700 RU. Анти-ВСМА антитела пропускали в диапазоне 2-кратных концентраций (от 1,95 до 500 нМ) с потоком 30 мкл/мин через проточные ячейки в течение 120 секунд. Диссоциацию наблюдали в течение 180 секунд. Различия в объемном показателе преломления корректировали путем вычитания отклика, полученного на контрольной проточной ячейке. В данном случае анти-ВСМА антитела проходили через пустую поверхность, предварительно активированную и дезактивированную, как описано в стандартном наборе связывания амина. Видимые кинетические константы были получены с использованием Biacore T200 Evaluation Software (vAA, Biacore AB, Упсала/Швеция), чтобы согласовать уравнения скорости для связывания Ленгмюра 1:1 путем численного интегрирования, несмотря на бивалентность взаимодействия для целей сравнения. Также была определена аффинность взаимодействия между анти-ВСМА антителами и рекомбинантным человеческим Fc(kih) ВСМА. Анти-человеческий Fab

антитело (GE Healthcare) прямо связывали на чипе CM5 при pH 5,0, используя стандартный набор для связывания амина (Biacore, Фрайбург, Германия). Уровень иммобилизации составил около 6500 RU. Анти-BCMA антитело захватывали в течение 90 секунд при 25 нМ. Рекомбинантный человеческий Fc(kih) BCMA пропускали в 4-кратном диапазоне концентраций (от 1,95 до 500 нМ) с скоростью 30 мкл/мин через проточные ячейки в течение 120 секунд. Диссоциацию наблюдали в течение 120 секунд. Различия в объемном показателе преломления корректировали путем вычитания отклика, полученного на контрольной проточной ячейке. Здесь рекомбинантный BCMA проходил над поверхностью с иммобилизованным анти-человеческим Fab антителом, но на который наносили HBS-EP, а не анти-BCMA антитело. Кинетические константы были получены с использованием Biacore T100 Evaluation Software (vAA, Biacore AB, Упсала/Швеция), чтобы подогнать уравнения скорости для связывания Ленгмюра 1:1 путем численного интегрирования (Таблица 4).

**Таблица 4.** Константы аффинности, определенные с помощью подогнанных уравнений скорости для связывания Ленгмюра 1:1

Лиганд	Аналит	Kс[1/Mс]	Kот[1/c]	KД[М]
83A10 IgG	huBCMA Fc(kih)	5,07E+05	2,92E-03	5,76E-09
	cynoBCMA Fc(kih)	2,29E+05	2,03E-02	8,86E-08
Mab 21 IgG	huBCMA Fc(kih)	8,51E+05	4,39E-05	5,16E-11
	cynoBCMA Fc(kih)	4,91E+05	2,35E-04	4,78E-10
Mab 22 IgG	huBCMA Fc(kih)	8,14E+05	5,15E-05	6,33E-11
	cynoBCMA Fc(kih)	4,54E+05	4,42E-04	9,74E-10
Mab 42 IgG	huBCMA Fc(kih)	8,03E+05	2,98E-04	3,71E-10
	cynoBCMA Fc(kih)	7,07E+05	4,53E-04	6,41E-10
Mab 27 IgG	huBCMA Fc(kih)	3,59E+05	5,93E-05	1,65E-10
	cynoBCMA Fc(kih)	2,16E+05	4,55E-04	2,11E-09
Mab 33 IgG	huBCMA Fc(kih)	2,00E+05	3,55E-05	1,78E-10
	cynoBCMA Fc(kih)	1,32E+05	9,76E-05	7,39E-10
Mab 39 IgG	huBCMA Fc(kih)	3,61E+05	5,58E-05	1,55E-10
	cynoBCMA Fc(kih)	2,15E+05	4,67E-04	2,17E-09

**Пример 3: Различие в аффинности для человека/яванского макака (человек/яванский макак)**

Исходя из значений аффинности, описанных в Примере 2, сравнивали аффинность анти-BCMA антител к BCMA человека в сравнении с BCMA яванского макака, и вычисляли значения отношения аффинности (различие) яванский макак/человек (Таблица 5). Различие в аффинности яванский макак/человек было рассчитано как аффинность антитела к BCMA яванского макака, разделенная на аффинность к BCMA человека, и означает, что антитело к BCMA связывается с BCMA человека с x-кратной аффинностью связывания, по сравнению с BCMA яванского макака, где x = величина различия яванский макак/человек. Результаты приведены в Таблице 5.

**Таблица 5:** Аффинность анти-BCMA антител к BCMA человека в сравнении с BCMA яванского макака и значения различия человек/яванский макак

$\alpha$ -BCMA IgG	Кд для BCMA человека [M]	Кд для BCMA яванского макака [M]	Различие аффинности яванский макак/человек
83A10	5,76E-09	8,86E-08	15,3
Mab 21	5,16E-11	4,78E-10	9,3
Mab 22	6,33E-11	9,74E-10	15,4
Mab 42	3,71E-10	6,41E-10	1,7
Mab 27	1,65E-10	2,11E-09	12,7
Mab 33	1,78E-10	7,39E-10	4,2
Mab 39	1,55E-10	2,17E-09	14

**Пример 4: Создание биспецифичных анти-BCMA/анти-CD3 Т-лимфоцитов антител**

Биспецифичные анти-BCMA/анти-CD3 Т-лимфоциты антитела были получены в соответствии с WO 2014/122144, который включен посредством ссылки.

**Пример 4.1: Анти-CD3 антитела**

Как применяется в данном документе, термин «CD3 $\varepsilon$  или CD3» относится к CD3  $\varepsilon$  человека, описанному в UniProt P07766 (CD3E\_HUMAN). Термин «антитело к CD3, анти-CD3 антитело» относится к антителу, связывающемуся с CD3 $\varepsilon$ . Предпочтительно антитело содержит вариабельный домен VH, содержащий CDR SEQ ID NO:1, 2 и 3 тяжелой цепи в качестве соответственно CDR1, CDR2 и CDR3 тяжелой цепи, и вариабельный домен VL, содержащий CDR SEQ ID NO:4, 5 и 6 легкой цепи в качестве соответственно CDR1, CDR2 и CDR3 легкой цепи. Предпочтительно антитело содержит вариабельные домены SEQ ID NO:7 (VH) и SEQ ID NO:8 (VL). Анти-CD3 антитело, как описано выше, использовали для

получения биспецифичных антител к Т-лимфоцитам, которые использовали в следующих примерах.

**Пример 4.2: Создание биспецифичных анти-BCMA/анти-CD3 Т-лимфоцитов антител в Fc-содержащей 2+1 форме**

В качестве исходных материалов были использованы кДНК, кодирующие полные тяжелые и легкие цепи соответствующих анти-BCMA IgG1 антител, а также анти-CD3 VH и VL кДНК. Для каждого биспецифичного антитела были задействованы четыре белковые цепи, включающие в себя тяжелую и легкую цепи соответствующего анти-BCMA антитела, и тяжелую и легкую цепи анти-CD3 антитела, описанных выше, соответственно. Чтобы свести к минимуму образование побочных продуктов с неправильно спаренными тяжелыми цепями, например, с двумя тяжелыми цепями анти-CD3 антитела, используют мутированную гетеродимерную область Fc, несущую «мутации выступ-в-отверстие» и сконструированную дисульфидную связь, как описано в WO2009080251 и в WO2009080252. Чтобы свести к минимуму образование побочных продуктов с ошибочно спаренными легкими цепями, например с двумя легкими цепями анти-BCMA антитела, к тяжелым и легким цепям анти-CD3 антитела применяют кроссовер CH1 x каппа константой области с использованием методов, описанных в WO2009080251 и в WO2009080252.

а) Биспецифичное анти-BCMA/анти-CD3 Т-лимфоцитов антитело в форме 2+1, т. е. биспецифичное  $(Fab)_2 \times (Fab)$  антитело, которое является бивалентным для BCMA и моновалентным для CD3, будет иметь преимущества в отношении активности, предсказуемости в эффективности и безопасности, потому что оно будет предпочтительно связываться с мишенью BCMA опухоли и избегать уменьшения антителом к CD3, таким образом, повышается вероятность воздействия лекарственного средства на опухоль.

Были получены бивалентные для BCMA и моновалентные для CD3 с Fc антитела BCMA/анти-CD3 Т-лимфоцитов биспецифичной формы 2+1 (то есть биспецифичные  $(Fab)_2 \times (Fab)$ ), для ранее отобранных антител к BCMA человека. кДНК, кодирующие полные Fab (домены VH и CH1 тяжелой цепи плюс домены VL и CL легкой цепи) соответствующих анти-BCMA IgG1 антител, а также кДНК VH и VL анти-CD3, использовали в качестве исходных материалов. Для каждого

биспецифичного антитела были задействованы четыре белковые цепи, включающие в себя тяжелую и легкую цепи соответствующего анти-ВСМА антитела, и тяжелую и легкую цепи анти-CD3 антитела, описанные выше, соответственно, с областями Fc.

Вкратце, каждое биспецифичное антитело получают одновременной ко-трансфекцией четырех экспрессирующих векторов млекопитающих, кодирующих соответственно: а) кДНК полной легкой цепи соответствующего антитела к ВСМА; б) гибридную кДНК, созданную стандартными способами молекулярной биологии, такими как ПЦР с сплайс-перекрывающимися праймерами, кодирующую гибридный белок, состоящий из (в порядке от N- до C-конца) секреторной лидерной последовательности, Fab (VH, за которым следуют домены CH1) соответствующего анти-ВСМА антитела, описанного выше, гибкого глицин (Gly)-серинового (Ser) линкера с последовательностью Gly-Gly-Gly-Gly-Ser-Gly-Gly-Gly-Ser, Fab (VH, за которым следуют домены CH1) соответствующего анти-ВСМА антитела, описанного выше, гибкого глицин (Gly)-серинового (Ser) линкера с последовательностью Gly-Gly-Gly-Ser-Gly-Gly-Gly-Ser, VH анти-CD3 антитела, описанного выше, и константного каппа-домена кДНК легкой цепи человека; в) гибридную кДНК, созданную стандартными методами молекулярной биологии, такими как ПЦР с сплайс-перекрывающимися праймерами, кодирующую гибридный белок, состоящий из (в порядке от N- до C-конца) секреторной лидерной последовательности, VL анти-CD3 антитела, описанного выше, константного домена CH1 кДНК IgG1 человека. Ко-трансфекция клеток млекопитающих, и получение и очистка антител с использованием способов, описанных выше для получения человеческих или гуманизированных антител IgG1, с одной модификацией: для очистки антител первый этап захвата не проводится с использованием белка A, а вместо этого выполняется с использованием колонки для аффинной хроматографии, заполненной смолой, связывающейся с константной областью легкой цепи каппа человека, такой как KappaSelect (GE Healthcare Life Sciences). Кроме того, может быть включен дисульфид для увеличения стабильности и выхода, также как и дополнительные остатки, формирующие ионные мостики и увеличивающие выход гетеродимеров (EP 1870459A1).

Для создания векторов биспецифичных антител BCMAxCD3, биспецифичные молекулы, полученные из IgG1, состоят по меньшей мере из двух антиген-связывающих фрагментов, способных специфически связываться с двумя различными антигенными детерминантами - CD3 и BCMA. Антиген-связывающие фрагменты представляли собой фрагменты Fab, состоящие из тяжелой и легкой цепей, каждая из которых содержит вариабельную и константную области. По меньшей мере, один из фрагментов Fab представлял собой фрагмент «Crossfab», в котором константные домены тяжелой и легкой цепи Fab были обменены друг на друга. Обмен константных доменов тяжелой и легкой цепей в пределах фрагмента Fab гарантирует, что фрагменты Fab различной специфичности не имеют идентичного расположения доменов и, следовательно, не обмениваются легкими цепями. Конструкция биспецифичной молекулы была моновалентной для CD3 и бивалентной для BCMA, причем один фрагмент Fab сливают с N-концом внутреннего CrossFab (2+1). Биспецифичная молекула содержала часть Fc, чтобы иметь более длинный период полужизни. Схематическое представление конструкций приведено на Фиг. 1-3; последовательности предпочтительных конструкций показаны в Таблице 2А. Молекулы были получены путем ко-трансфекции клеток HEK293 EBNA, растущих в суспензии, экспрессирующими векторами млекопитающих, с использованием раствора на основе полимера. Для приготовления конструкций 2+1 CrossFab-IgG клетки трансфицировали соответствующими векторами экспрессии в соотношении 1:2:1:1 («вектор Fc (выступ)»: «вектор легкой цепи»: «вектор легкой цепи CrossFab» : «вектор тяжелой цепи CrossFab»).

**Пример 4.3: Создание биспецифичных анти-BCMA/анти-CD3 Т-лимфоцитов антител для сравнения.**

Создание BCMA50-sc(Fv)<sub>2</sub> (также известного как BCMA50-BiT<sup>®</sup>) анти-BCMA/анти-CD3 Т-лимфоцитов биспецифичного антитела и применяемых аминокислотных последовательностей было в соответствии с WO2013072406 и WO2013072415.

**Пример 5: Получение и очистка биспецифичных анти-BCMA/анти-CD3 Fc-содержащих (2+1) Т-лимфоцитов антител с вариантами по заряду**

Биспецифичные анти-BCMA/анти-CD3 Т-лимфоцитов антитела были получены и очищены в соответствии с WO 2014/122144, который включен посредством ссылки.

Для получения биспецифичных антител биспецифичные антитела экспрессировали путем временной ко-трансфекции соответствующих экспрессирующих векторов млекопитающих в клетках HEK293-EBNA, которые культивировали в супензии, используя раствор на основе полимера. За один день до трансфекции клетки HEK293-EBNA высевали в количестве 1,5 млн. жизнеспособных клеток/мл в среду Ex-Cell с добавлением 6 мМ L-глутамина. Центрифугировали 2,0 млн. жизнеспособных клеток на каждый мл объема конечного продукта (5 минут при 210 × g). Аспирировали супернатант и клетки ресусPENDИРОвали в 100 мкл среды СD СНО. ДНК на каждый мл объема конечного продукта готовили путем смешивания 1 мкг ДНК (соотношение тяжелая цепь: модифицированная тяжелая цепь: легкая цепь: модифицированная легкая цепь = 1:1:2:1) в 100 мкл среды СD СНО. После добавления 0,27 мкл раствора на основе полимера (1 мг/мл) смесь встряхивали в течение 15 секунд и оставляли при комнатной температуре на 10 минут. Через 10 минут ресусPENDИРОванные клетки и смесь ДНК/раствор на основе полимера объединяли и затем переносили в соответствующий контейнер, который помещали в встряхивающее устройство (37 °C, 5% CO<sub>2</sub>). После 3 часов инкубации на каждый мл объема конечного продукта добавляли 800 мкл среды Ex-Cell, дополненной 6 мМ L-глутамина, 1,25 мМ вальпроевой кислоты и 12,5% Pepsoy (50 г/л). Через 24 часа на каждый мл конечного объема продукта добавляли 70 мкл питательного раствора. Через 7 дней, или когда жизнеспособность клеток составляла или была ниже 70%, клетки отделяли от супернатанта центрифугированием и стерильной фильтрацией. Антитела очищали с помощью этапа аффинного связывания и одного или двух этапов дополнительной очистки с использованием катионообменной хроматографии и эксклюзионной хроматографии. При необходимости использовали дополнительный этап очистки.

На этапе аффинной хроматографии супернатант загружали в колонку с белком A (HiTrap Protein A FF, 5 мл, GE Healthcare), уравновешивали 6 CV 20 мМ фосфата натрия, 20 мМ цитрата натрия, pH 7,5. После этапа промывки тем же буфером антитело элюировали из колонки путем поэтапного элюирования 20 мМ фосфатом натрия, 100 мМ хлорида натрия, 100 мМ глицином, pH 3,0. Фракции с желаемым антителом немедленно нейтрализовали 0,5 М фосфатом натрия, pH 8,0 (1:10), объединяли и концентрировали центрифугированием. Концентрат стерильно

фильтровали и дополнительно подвергали обработке катионообменной хроматографией и/или эксклюзионной хроматографией.

Для этапа катионообменной хроматографии концентрированный белок разбавляли 1:10 элюирующим буфером, используемым для этапа аффинного связывания, и загружали в катионообменную колонку (Poros 50 HS, Applied Biosystems). После двух этапов промывки уравновешивающим буфером и промывочным буфером, соответствующие 20 мМ фосфата натрия, 20 мМ цитрата натрия, 20 мМ триплекса, pH 5,0 и 20 мМ фосфата натрия, 20 мМ цитрата натрия, 20 мМ триплекса, 100 мМ хлорида натрия, pH 5,0, белок элюировали с помощью градиента, используя 20 мМ фосфата натрия, 20 мМ цитрата натрия, 20 мМ TRIS, 100 мМ хлорида натрия, pH 8,5. Фракции, содержащие желаемое антитело, объединяли, концентрировали центрифугированием, стерильно фильтровали и дополнительно подвергали обработке на этапе эксклюзионной хроматографии.

Для этапа эксклюзионной хроматографии концентрированный белок вводили в колонку XK16/60 HiLoad Superdex 200 (GE Healthcare), с 20 мМ гистидина, 140 мМ хлорида натрия, pH 6,0 с или без Tween 20, в качестве состава буфера. Фракции, содержащие мономеры, объединяли, концентрировали центрифугированием и стерильно фильтровали в стерильный флакон.

Определение концентрации антител осуществляли путем измерения поглощения при 280 нм, используя теоретическое значение поглощения в 0,1% растворе антитела. Эта величина была основана на аминокислотной последовательности и рассчитана с помощью программного обеспечения GPMAW (Lighthouse data).

Чистоту и содержание мономера в конечном белковом препарате определяли с помощью CE-SDS (система Caliper LabChip GXII (Caliper Life Sciences)), соответствующей ВЭЖХ (TSKgel G3000 SW XL, колонка для аналитической эксклюзионной хроматографии (Tosoh)) в буфере 25 мМ фосфата калия, 125 мМ хлорида натрия, 200 мМ моногидрохлорида L-аргинина, 0,02% (мас./об.) азотной кислоты, pH 6,7.

Для подтверждения молекулярной массы конечных белковых препаратов и подтверждения гомогенного препарата молекул конечного белкового раствора использовали жидкостную хроматографию-масс-спектрометрию (ЖХ-МС). Сначала был проведен этап дегликозилирования. Для удаления гетерогенности, вносимой

углеводами, конструкции обрабатывали PNGaseF (ProZyme). Поэтому pH раствора белка доводили до pH 7,0 путем добавления 2 мкл 2 M триса к 20 мкг белка с концентрацией 0,5 мг/мл. Добавляли 0,8 мкг PNGaseF и инкубировали в течение 12 часов при 37 °C. Затем было выполнено обнаружение ЖХ-МС в работающем режиме. Способ ЖХ-МС выполняли на ВЭЖХ Agilent 1200, соединенном с масс-спектрометром TOF 6441 (Agilent). Хроматографическое разделение проводили на полистирольной колонке Macherey Nagel; RP1000-8 (размер частиц 8 мкм, 4,6 x 250 мм; кат. № 719510). Элюент А представлял собой 5% ацетонитрила и 0,05% (об./об.) муравьиной кислоты в воде, элюент В представлял собой 95% ацетонитрила, 5% воды и 0,05% муравьиной кислоты. Скорость потока составляла 1 мл/мин, разделение проводили при 40 °C и 6 мкг (15 мкл) образца белка, полученного обработкой, как описано выше.

В течение первых 4 минут элюат направляли в отходы для защиты масс-спектрометра от солевого загрязнения. ESI-источник работал с потоком осушающего газа 12 л/мин, температурой 350 °C и давлением распылителя 60 фунтов на квадратный дюйм. Спектры МС получали с использованием напряжения фрагментатора 380 В и диапазоном масс от 700 до 3200 m/z в режиме положительных ионов. Данные МС были получены с помощью программного обеспечения прибора с 4 по 17 минуты.

Фигура 10 EP14179705 (включен посредством ссылки) изображает графики CE-SDS (не сжатые) конечных белковых препаратов после различных способов очистки для антител 83A10-TCB и 83A10-TCBcv. Этапы аффинной хроматографии с белком A (PA) и эксклюзионной хроматографии (SEC), применяемые к антителу 83A10-TCB, давали чистоту <30% и 82,8% содержания мономера (A). Когда дополнительные этапы очистки, включая катионообменную хроматографию (cIEX) и этапы эксклюзионной хроматографии конечного размера (re-SEC) применяли к конечным белковым препаратам в (A), чистота увеличивалась до 93,4%, но содержание мономера оставалось тем же, и выход был значительно снижен до 0,42 мг/л. Однако, когда были применены специфические модификации по заряду к анти-BCMA Fab CL-CH1 83A10, а именно к антителу 83A10-TCBcv, уже можно было наблюдать превосходный профиль продуцирования/очистки молекулы TCB, о чем свидетельствуют чистота 95,3%, содержание мономера 100% и выход вплоть до 3,3

мг/л, даже когда применялись этапы очистки PA+cIEEX+SEC (C) по сравнению с (B) с профилем производства/очистки, показывающим в 7,9-раз ниже выход и на 17,2% ниже содержание мономера, несмотря на включение дополнительного этапа очистки повторной SEC.

Затем был проведен цикл прямого сравнительного производства для сравнения профиля продуцирования/очистки антител 83A10-TCB и 83A10-TCBcv для дополнительной оценки преимуществ модификаций по заряду CL-CH1, применяемых к антителам. Молекулы 83A10-TCB и 83A10-TCBcv имеют молекулярную форму, как описано в Фиг. 2А. Как изображено на Фиг. 11, свойства антител 83A10-TCB и 83A10-TCBcv измерялись паралельно и сравнивались после каждого этапа очистки: 1) только аффинная хроматография с белком A (A, B), 2) аффинная хроматография с белком A, затем SEC (C, D) и 3) аффинная хроматография с белком A, затем SEC, затем cIEEX и повторно SEC (E, F). Графики CE-SDS (не скатые) конечных белковых растворов после соответствующих способов очистки для антител 83A10-TCB и 83A10-TCBcv показаны на Фиг. 11 EP14179705 (включен посредством ссылки). Как показано на Фиг. 11А и 11В в EP 14179705 (включен посредством ссылки), улучшения при применении вариантов по заряду к антителу TCB уже наблюдались после очистки только с помощью аффинной хроматографии с белком A. В таком прямом сравнительном исследовании этап очистки с помощью аффинной хроматографии с белком A, применяемый к антителу 83A10-TCB, дал чистоту 61,3%, выход 26,2 мг/л и содержания мономера 63,7% (11A). Для сравнения, когда антитело 83A10-TCBcv очищали аффинной хроматографией с белком A, все параметры были улучшены - лучшая чистота 81,0%, лучший выход 51,5 мг/л и содержания мономера 68,2% (11B). Когда применяли дополнительный этап очистки SEC к конечным белковым препаратам, как показано на Фиг. 12А и 12В в EP14179705 (включен посредством ссылки), чистота 83A10-TCB достигла 69,5%, выход 14,1 мг/л и содержание мономера 74,7% (С) по сравнению с 83A10-TCBcv с улучшенной чистотой и содержанием мономеров вплоть до 91,0% и 83,9%, соответственно, и с выходом 10,3 мг/л (D). Несмотря на то, что выход был немного меньше (т. е. на 27% меньше) для 83A10-TCBcv, чем для 83A10-TCB в данном конкретном эксперименте, процент правильной молекулы был намного выше для 83A10-TCBcv, чем для 83A10-TCB,

соответственно, 90% по сравнению с 40-60%, по данным ЖХ-МС. В третьем прямом сравнении, конечные белковые препараты 83A10-TCB и 83A10-TCBcv из Фиг. 11C и 11D EP14179705 (включен посредством ссылки) объединяли примерно с 1 л (эквиобъем) соответствующих конечных белковых препаратов из другой партии очистки (то же приготовление) только после этапа очистки с помощью аффинной хроматографии с белком А. Затем объединенные белковые препараты дополнительно очищали способами очистки cIEX и SEC. Как показано на Фиг. 11E и 11F в EP 14179705 (включен посредством ссылки), постоянно наблюдалось улучшение профиля продуцирования/очистки антитела TCB с вариантами по заряду по сравнению с антителом TCB без вариантов по заряду. После того как было использовано нескольких этапов способов очистки (например, PA +/- SEC + cIEX + SEC) для очистки антитела 83A10-TCB, была достигнута чистота только 43,1% и было достигнуто содержания мономера 98,3%, но в ущерб выходу, который был снижен до 0,43 мг/л. Процент правильной молекулы, измеренный методом ЖХ-МС, все еще был низким - 60-70%. В конце концов, качество конечного белкового препарата было неприемлемым для использования *in vitro*. В противоположность этому, когда к антителу 83A10-TCBcv применялись одинаковые этапы множественной очистки с одинаковой хронологией, достигалась чистота 96,2% и содержание мономера 98,9%, а также 95% правильной молекулы, как измерено ЖХ-МС. Однако выход также значительно снижался до 0,64 мг/л после этапа очистки cIEX. Результаты показывают, что лучшая чистота, более высокое содержание мономера, более высокий процент правильной молекулы и лучший выход могут быть достигнуты с антителом 83A10-TCBcv только после двух стандартных этапов очистки, то есть аффинной хроматографии с белком А и SEC (Фиг. 11D EP14179705), в то время как такие параметры не могут быть достигнуты с 83A10-TCB, даже если были применены дополнительные этапы очистки (Фиг. 11E в EP14179705).

В Таблице 12 EP14179705 (включен посредством ссылки) подытожены характеристики 83A10-TCB по сравнению с 83A10-TCVcv после этапа очистки с белком А. В Таблице 13 EP14179705 (включен посредством ссылки) подытожены характеристики 83A10-TCB по сравнению с 83A10-TCVcv после этапа очистки с белком А и SEC. В Таблице 14 EP14179705 (включен посредством ссылки) подытожены характеристики 83A10-TCB по сравнению с 83A10-TCVcv с

последующим применением блока А и SEC плюс белок А, затем этапов очистки сIEH и ге-SEC. Для Таблиц 12-14 EP14179705 (включен посредством ссылки) значения, выделенные жирным шрифтом, подчеркивают превосходные свойства при сравнении между 83A10-TCB и 83A10-TCBcv. За одним исключением (т. е. соответственным количеством выхода, см. Таблицу 13 в EP14179705 (включен посредством ссылки)), которое может быть не репрезентативным, все параметры и значения продуцирования/очистки, полученные в результате трех экспериментов прямого сравнения, были лучше для 83A10-TCBcv по сравнению с 83A10-TCB. Общие результаты четко демонстрируют, что преимущества в особенностях продуцирования/очистки могут быть достигнуты с помощью применения модификаций по заряду CL-CH1 к антителам TCB, и что для получения и без того высококачественных белковых препаратов с очень хорошими свойствами изготовления требуется всего два этапа очистки (т. е. аффинная хроматография с белком А и SEC). Исходя из улучшенных свойств продуцирования/очистки 83A10-TCBcv, 21-TCBcv, 22-TCBcv, 27-TCBcv, 33-TCBcv, 39-TCBcv и 42-TCBcv были созданы варианты по заряду, аналогично 83A10-TCBcv.

**Таблица 6:** Профиль производства/очистки биспецифичных анти-BCMA/анти-CD3 Т-лимфоцитов антител после этапа очистки аффинной хроматографией с белком А

	83A10-TCB	83A10-TCBcv
Чистота (%)	61,3	<b>81,0</b>
Выход (мг/л)	26,2	<b>51,5</b>
Количество (мг)	24,3	<b>50,2</b>
Мономер (%)	63,7	<b>68,2</b>
Правильная молекула по данным ЖХ-МС (%)	н. д.	н. д.

**Таблица 7:** Профиль производства/очистки биспецифичных анти-BCMA/анти-CD3 Т-лимфоцитов антител после этапов очистки аффинной хроматографией с белком А и эксклюзионной хроматографией

	83A10-TCB	83A10-TCBcv

Чистота (%)	69,5	<b>91,0</b>
Выход (мг/л)	<b>14,1</b>	10,3
Количество (мг)	<b>13,1</b>	10,0
Мономер (%)	74,7	<b>83,9</b>
Правильная молекула по данным ЖХ-МС (%)	40-60	<b>90</b>

**Таблица 8:** Профиль производства/очистки биспецифичных анти-BCMA/анти-CD3 Т-лимфоцитов антител после этапов очистки 1.a) аффинной хроматографией с белком А и эксклюзионной хроматографией и 1.b) только аффинной хроматографии с белком А с объединением с 2) катионаобменной хроматографией и 3) эксклюзионной хроматографией конечного размера

	83A10-TCB	83A10-TCBcv
Чистота (%)	43,1	<b>96,2</b>
Выход (мг/л)	0,43	<b>0,64</b>
Количество (мг)	0,73	<b>1,27</b>
Мономер (%)	98,3	<b>98,9</b>
Правильная молекула по данным ЖХ-МС (%)	60-70%	>95%

**Пример 6: Связывание биспецифичных анти-BCMA/анти-CD3 Т-лимфоцитов антител с BCMA-положительными клеточными линиями множественной миеломы (проточная цитометрия)**

Антитела TCB анти-BCMA/анти-CD3 (21-TCBcv, 22-TCBcv, 42-TCBcv, 83A10-TCBcv) анализировали с помощью проточной цитометрии на связывание с BCMA человека на BCMA-экспрессирующих клетках H929, L363 и RPMI-8226. MKN45 (человеческая клеточная линия аденокарциномы желудка, которая не экспрессирует BCMA) использовали в качестве отрицательного контроля. Вкратце, культивированные клетки собирают, подсчитывают и жизнеспособность клеток оценивают с использованием ViCell. Затем жизнеспособные клетки доводят до  $2 \times 10^6$  клеток на

мл в BSA-содержащем окраивающим буфере FACS (BD Biosciences). Дополнительно делали аликовты по 100 мкл/лунка такой клеточной суспензии в круглодонной 96-луночной плашке, и инкубировали с 30 мкл анти-BCMA антитела или соответствующего контроля IgG в течение 30 мин при 4 °C. Все анти-BCMA/анти-CD3 TCB антитела (и контрольные TCB) титровали и анализировали в конечном диапазоне концентраций от 1 до 300 нМ. Затем клетки центрифугировали (5 минут, 350 x g), промывали 120 мкл/лунка окраивающим буфером FACS (BD Biosciences), ресуспендировали и инкубировали в течение дополнительных 30 минут при 4 °C с флуорохром-конъюгированным PE-конъюгированным козьим AffiniPure F(ab')<sub>2</sub> фрагментом, специфическим к человеческому Fc-фрагменту IgG (Jackson Immuno Research Lab; 109-116-170). Затем клетки дважды промывали окраивающим буфером (BD Biosciences), фиксировали, используя 100 мкл/лунка буфера для фиксации BD (кат. № BD Biosciences, 554655) при 4 °C в течение 20 минут, ресуспендировали в 120 мкл буфера FACS и анализировали с использованием BD FACS Cantoll. Когда это применимо, EC50 рассчитывали с использованием Prism GraphPad (LaJolla, CA, USA), и значения EC50, обозначающие концентрацию антитела, необходимую для достижения 50% от максимального связывания для связывания анти-BCM/анти-CD3 TCB антител с клетками H929, клетками L363 и клетками RPMI-8226 подытожены в Таблице 8, Таблице 9 и Таблице 10 соответственно. Звездочка обозначает оцененные значения EC50 как экстраполированные и рассчитанные с помощью программного обеспечения Prism. Не были расчитаны значения EC50 для связывания 21-TCBcv с клетками L363 и связывания 22-TCBcv с клетками RPMI-8226

**Таблица 8:** Значения EC50 для связывания биспецифичных анти-BCMA/анти-CD3 Т-лимфоцитов антител с клетками множественной миеломы H929

Расчитанное EC50	83A10-TCBcv	21-TCBcv	22-TCBcv	42-TCBcv
нМ	12,0	11,0	7,9	13,6
мкг/мл	1,725	1,589	1,142	1,956

**Таблица 9:** Значения EC50 для связывания биспецифичных анти-BCMA/анти-CD3 Т-лимфоцитов антител с клетками множественной миеломы L363

Расчитанное EC50	83A10-TCBcv	21-TCBcv	22-TCBcv	42-TCBcv
нМ	17,4	/	30,0	3,8
мкг/мл	2,507	/	4,328	0,5534

**Таблица 10:** Значения EC50 для связывания биспецифичных анти-BCMA/анти-CD3 Т-лимфоцитов антител с клетками множественной миеломы RPMI-8226

Расчитанное EC50	83A10-TCBcv	21-TCBcv	22-TCBcv	42-TCBcv
нМ	~ 188428*	6,8	/	13,2
мкг/мл	~ 27151*	0,9817	/	1,907

**Пример 7: Продуцирование цитокинов активированными Т-лимфоцитами при связывании биспецифичных анти-BCMA/анти-CD3 Т-лимфоцитов антител с CD3-положительными Т-лимфоцитами и BCMA-положительными клеточными линиями множественной миеломы (анализ СВА с выделением цитокинов)**

Биспецифичные анти-BCMA/анти-CD3 Т-лимфоцитов антитела анализируют на их способность индуцировать опосредованное Т-лимфоцитами продуцирование цитокинов *de novo* в присутствии или в отсутствие человеческих BCMA-экспрессирующих клеток миеломы человека (RPMI-8226, JJN-3). Вкратце, человеческие МКПК выделяют из лейкотромбоцитарного слоя, и 0,3 миллиона клеток/лунка помещают в круглодонный 96-луночный планшет. В альтернативном варианте, 280 мкл цельной крови здорового донора высевают в каждую лунку 96-луночной плашки с глубокими лунками. BCMA-положительные опухолевые клетки-мишени добавляют для получения конечного соотношения Е:Т 10:1. Анти-BCMA/анти-CD3 TCB антитела и контроли добавляют до конечной концентрации 0,1 нМ - 10 нМ. После инкубации, составляющей вплоть до 24 часов при 37 °C, 5% CO<sub>2</sub>, плашку для анализа центрифугируют в течение 5 минут при 350 × g и супернатант переносят в новую 96-луночную плашку с глубокими лунками для последующего анализа. Анализ СВА проводили на FACS Cantell в соответствии с инструкциями производителя, используя либо набор II Th1/Th2 цитокинов человека (BD кат. № 551809), либо комбинацию следующих наборов СВА Flex: гранзим В человека (BD кат. № 560304), набор Flex ИНФ-γ человека (BD кат. № 558269), набор Flex ФНО-α

человека (BD кат. № 558273), набор Flex ИЛ-10 человека (BD кат. № 558274), набор Flex ИЛ-6 человека (BD кат. № 558276), набор Flex ИЛ-4 человека (BD кат. № 558272), набор Flex ИЛ-2 человека (BD кат. № 558270). В Таблице 13 показано, что 83A10-TCBcv индуцировал зависимое от концентрации увеличение выработки цитокинов и сериновой протеазы гранзима В, маркера цитотоксической функции Т-лимфоцитов. В Таблице 11 приведены значения EC50 и количество секретируемых цитокинов/протеаз для каждой концентрации биспецифичных анти-BCMA/анти-CD3 Т-лимфоцитов антител.

**Таблица 11.** Секреция цитокинов и протеаз, индуцированная биспецифичными анти-BCMA/анти-CD3 Т-лимфоцитов антителами в присутствии клеток RPMI-8226

Цитокины/протеазы	EC50 (нМ)	Концентрация 83A10-TCBcv (нМ)						
		0,0006 4	0,003 2	0,016	0,08	0,4	2	10
ФНО- $\alpha$ (пкг/мл)	0,52	-6,95	-6,49	-0,65	46,72	161,24	315,11	371,47
ИЛ-10 (пкг/мл)	0,30	-9,21	1,95	25,17	125,82	401,42	602,64	680,05
Гранзим Б (пкг/мл)	0,34	220,54	331,5 5	889,13	5855,0 2	15862,8 4	21270,4 3	27120, 52

**Пример 8: Перенаправленная цитотоксичность Т-лимфоцитов на клетки миеломы H929 с высокой экспрессией BCMA, индуцированная биспецифичными анти-BCMA/анти-CD3 Т-лимфоцитов антителами (колориметрический анализ высвобождения ЛДГ)**

Анти-BCMA/анти-CD3 TCB антитела анализировали на их способность индуцировать апоптоз, опосредованный Т-лимфоцитами, в клетках ММ с высокой экспрессией BCMA при перекрестном связывании конструкции, через связывание антиген-связывающих фрагментов с BCMA на клетках. Вкратце, клетки-мишени H929 множественной миеломы с высоким уровнем экспрессии BCMA человека собирали с помощью буфера диссоциации клеток, промывали и ресуспендировали в RPMI с добавлением 10% эмбриональной бычьей сыворотки (Invitrogen). Примерно 30000 клеток/лунка высевали в 96-луночную плашку с круглыми доньями и добавляли соответствующее разведение конструкции для достижения желаемой конечной концентрации (в трех повторностях); конечные концентрации были в

диапазоне от 0,1 пМ до 10 нМ. Для надлежащего сравнения все конструкции TCB и контроли были подогнаны до одинаковой молярности. МКПК человека (эффекторные клетки) добавляли в лунки, чтобы получить конечное соотношение Е:Т, составляющее 10:1, соответствующее соотношению Е:Т, составляющему примерно от 3 до 5 Т-лимфоцитов на 1 опухолевую клетку-мишень. Отрицательные контрольные группы были представлены только эффекторными клетками или клетками-мишениями. Для нормализации максимальный лизис клеток-мишеней Н929 MM (= 100%) определяли путем инкубации клеток-мишеней с конечной концентрацией 1% Triton X-100, вызывая гибель клеток. Минимальный лизис (= 0%) был представлен клетками-мишениями, инкубированными вместе только с эффекторными клетками, т. е. без какого-либо биспецифичного антитела к Т-лимфоцитам. После 20-24-часовой или 48-часовой инкубации при 37 °C, 5% CO<sub>2</sub>, высвобождение ЛДГ из апоптотических/некротических клеток-мишеней MM в супернатант затем измеряли с помощью набора для обнаружения ЛДГ (Roche Applied Science), следуя инструкциям производителя. Процент высвобождения ЛДГ наносили на график в зависимости от концентрации биспецифичных анти-BCMA/анти-CD3 Т-лимфоцитов антител в кривых концентрация-ответ. Значения EC50 измеряли с использованием программного обеспечения Prism (GraphPad) и определяли как концентрацию антитела TCB, которая приводит к 50% максимального высвобождения ЛДГ. Как показано на Фиг. 4, все анти-BCMA/анти-CD3 TCB антитела (21-, 22-, 42- и 83A10-TCBcv) индуцировали зависимое от концентрации уничтожение BCMA-положительных миеломных клеток Н929, измеренное по высвобождению ЛДГ. Лизис клеток Н929 был специфическим, поскольку контрольное антитело TCB, которое не связывается с BCMA-положительными клетками-мишениями, а только с CD3 на Т-лимфоцитах, не индуцирует высвобождение ЛДГ даже в самой высокой протестированной концентрации. В Таблице 12 подытожены значения EC50 для перенаправленного уничтожения Т-лимфоцитами клеток Н929, с высокой экспрессией BCMA, индуцированного анти-BCMA/анти-CD3 TCB антителами.

**Таблица 12:** Значения EC50 для перенаправленного уничтожения Т-лимфоцитами клеток Н929, индуцированного анти-BCMA/анти-CD3 TCB антителами

	EC50 (пМ)
--	-----------

<b>Анти-BCMA/анти-CD3 TCB антитела</b>	<b>Донор 1</b>	<b>Донор 2</b>	<b>Донор 3</b>	<b>Донор 4</b>	<b>Донор 5</b>	<b>Донор 6</b>
21-TCBcv	97,1	/	42,1	53,9	38,7	/
22-TCBcv	53,2	/	42,2	23,2	28,9	/
42-TCBcv	9,7	/	11,7	7,2	6,8	/
83A10-TCBcv	3,9	/	8,5	5,0	4,3	1,5

**Пример 9: Перенаправленная цитотоксичность Т-лимфоцитов на миеломные клетки L363 с средней/низкой экспрессией BCMA, индуцированная биспецифичными анти-BCMA/анти-CD3 Т-лимфоцитов антителами (анализ высвобождения ЛДГ)**

Анти-BCMA/анти-CD3 TCB антитела также анализировали на их способность индуцировать апоптоз, опосредованный Т-лимфоцитами, в клетках ММ с средней/низкой экспрессией BCMA при перекрестном связывании конструкции, через связывание антиген-связывающих фрагментов с BCMA на клетках. Вкратце, клетки-мишени L363 множественной миеломы с средней/низкой экспрессией BCMA человека собирают с помощью буфера диссоциации клеток, промывают и ресусPENDируют в RPMI с добавлением 10% фетальной бычьей сыворотки (Invitrogen). Примерно 30000 клеток/лунка высеваются в 96-луночную плашку с круглым доньеми и добавляют соответствующее разведение конструкции для достижения желаемой конечной концентрации (в трех повторностях); конечные концентрации находятся в диапазоне от 0,1 пМ до 10 нМ. Для надлежащего сравнения все конструкции и контроли TCB доводятся до одинаковой молярности. МКПК человека (эффекторные клетки) добавляли в лунки, чтобы получить конечное соотношение E:T, составляющее 10:1, соответствующее соотношению E:T, составляющему примерно от 3 до 5 Т-лимфоцитов на 1 опухолевую клетку-мишень. Отрицательные контрольные группы были представлены только эффекторными клетками или клетками-мишениями. Для нормализации, максимальный лизис клеток-мишеней ММ (= 100%) определяют путем инкубации клеток-мишеней с конечной концентрацией 1% Triton X-100, индуцируя гибель клеток. Минимальный лизис (= 0%) был представлен клетками-мишениями, инкубированными вместе только с эффекторными клетками, т. е. без какого-либо биспецифичного антитела к Т-

лимфоцитам. После 20-24-часовой инкубации при 37 °C, 5% CO<sub>2</sub>, высвобождение ЛДГ из апоптотических/некротических клеток-мишеней ММ в супернатант затем измеряли с помощью набора для обнаружения ЛДГ (Roche Applied Science), следуя инструкциям производителя. Процент высвобождения ЛДГ наносили на график в зависимости от концентрации биспецифичных анти-BCMA/анти-CD3 Т-лимфоцитов антител в кривых концентрация-ответ. Значения EC50 измеряли с использованием программного обеспечения Prism (GraphPad) и определяли как концентрацию антитела TCB, которая приводит к 50% максимального высвобождения ЛДГ. Как показано на Фиг. 5, все анти-BCMA/анти-CD3 TCB антитела (21-, 22-, 42- и 83A10-TCBcv) индуцировали зависимое от концентрации уничтожение BCMA-положительных миеломных клеток L363, измеренное по высвобождению ЛДГ. Лизис клеток L363 был специфическим, поскольку контрольное антитело TCB, которое не связывается с BCMA-положительными клетками-мишениями, а только с CD3 на Т-лимфоцитах, не индуцирует высвобождение ЛДГ даже в самой высокой протестированной концентрации. В Таблице 13 подытожены значения EC50 для перенаправленного уничтожения Т-лимфоцитами клеток L363, с средней/низкой экспрессией BCMA, индуцированного анти-BCMA/анти-CD3 TCB антителами.

**Таблица 13:** Значения EC50 для перенаправленного уничтожения Т-лимфоцитами клеток L363, индуцированного анти-BCMA/анти-CD3 TCB антителами

Анти-BCMA/анти-CD3 TCB антитела	EC50 (пМ)				
	Донор 1	Донор 2	Донор 3	Донор 4	Донор 5
21-TCBcv	83,6	38,4	18,9	19,1	46,4
22-TCBcv	97,5	27,7	16,5	14,6	56,0
42-TCBcv	15,5	16,7	5,2	2,2	10,6
83A10-TCBcv	16,8	47,8	28,4	12,6	39,0

**Пример 10: Перенаправленная цитотоксичность Т-лимфоцитов на миеломные клетки RPMI-8226 с средней/низкой экспрессией BCMA, индуцированная биспецифичными анти-BCMA/анти-CD3 Т-лимфоцитов антителами (анализ высвобождения ЛДГ)**

Анти-BCMA/анти-CD3 TCB антитела также анализировали на их способность индуцировать апоптоз, опосредованный Т-лимфоцитами, в клетках ММ с средней/низкой экспрессией BCMA при перекрестном связывании конструкции,

через связывание антиген-связывающих фрагментов с BCMA на клетках. Вкратце, клетки-мишени L363 множественной миеломы с средней/низкой экспрессией BCMA человека собирают с помощью буфера диссоциации клеток, промывают и ресусPENDируют в RPMI с добавлением 10% фетальной бычьей сыворотки (Invitrogen). Примерно 30000 клеток/лунка высеваются в 96-луночную плашку с круглым доньеми и добавляют соответствующее разведение конструкции для достижения желаемой конечной концентрации (в трех повторностях); конечные концентрации находятся в диапазоне от 0,1 пМ до 10 нМ. Для надлежащего сравнения все конструкции и контроли TCB доводятся до одинаковой молярности. МКПК человека (эффекторные клетки) добавляли в лунки, чтобы получить конечное соотношение E:T, составляющее 10:1, соответствующее соотношению E:T, составляющему примерно от 3 до 5 Т-лимфоцитов на 1 опухолевую клетку-мишень. Отрицательные контрольные группы были представлены только эffекторными клетками или клетками-мишениями. Для нормализации максимальный лизис клеток-мишеней MM (= 100%) определяли путем инкубации клеток-мишеней с конечной концентрацией 1% Triton X-100, вызывая гибель клеток. Минимальный лизис (= 0%) был представлен клетками-мишениями, инкубированными вместе только с эffекторными клетками, т. е. без какого-либо биспецифичного антитела к Т-лимфоцитам. После 20-24-часовой инкубации при 37 °C, 5% CO<sub>2</sub>, высвобождение ЛДГ из апоптотических/некротических клеток-мишеней MM в супернатант затем измеряли с помощью набора для обнаружения ЛДГ (Roche Applied Science), следуя инструкциям производителя. Процент высвобождения ЛДГ наносили на график в зависимости от концентрации биспецифичных анти-BCMA/анти-CD3 Т-лимфоцитов антител в кривых концентрация-ответ. Значения EC50 измеряли с использованием программного обеспечения Prism (GraphPad) и определяли как концентрацию антитела TCB, которая приводит к 50% максимального высвобождения ЛДГ. Как показано на Фиг. 6, все анти-BCMA/анти-CD3 TCB антитела (21-, 22-, 42- и 83A10-TCBcv) индуцировали зависимое от концентрации уничтожение BCMA-положительных миеломных клеток RPMI-8226, измеренное по высвобождению ЛДГ. Лизис клеток RPMI-8226 был специфическим, поскольку контрольное антитело TCB, которое не связывается с BCMA-положительными клетками-мишениями, а только с CD3 на Т-лимфоцитах, не индуцирует высвобождение ЛДГ даже в самой высокой

протестированной концентрации. В Таблице 13 подытожены значения EC50 для перенаправленного уничтожения Т-лимфоцитами клеток RPMI-8226, с средней/низкой экспрессией BCMA, индуцированного анти-BCMA/анти-CD3 TCB антителами.

**Таблица 13:** Значения EC50 для перенаправленного уничтожения Т-лимфоцитами клеток RPMI-8226, индуцированного анти-BCMA/анти-CD3 TCB антителами

Анти-BCMA/анти-CD3 TCB антитела	EC50 (пМ)				
	Донор 1	Донор 2	Донор 3	Донор 4	Донор 5
21-TCBcv	/	41,3	8,8	4,0	8,4
22-TCBcv	/	47,6	7,6	3,2	5,5
42-TCBcv	/	382,8	18,7	3,5	1,5
83A10-TCBcv	/	620,5	229,3	35,0	64,9

**Пример 11: Перенаправленная цитотоксичность Т-лимфоцитов на миеломные клетки JJN-3 с низкой экспрессией BCMA, индуцированная биспецифичными анти-BCMA/анти-CD3 Т-лимфоцитов антителами (анализ высвобождения ЛДГ)**

Анти-BCMA/анти-CD3 TCB антитела также анализировали на их способность индуцировать апоптоз, опосредованный Т-лимфоцитами, в клетках MM с низкой экспрессией BCMA при перекрестном связывании конструкции, через связывание антиген-связывающих фрагментов с BCMA на клетках. Вкратце, клетки-мишени JJN-3 множественной миеломы с низкой экспрессией BCMA человека собирают с помощью буфера диссоциации клеток, промывают и ресусPENDируют в RPMI с добавлением 10% фетальной бычьей сыворотки (Invitrogen). Примерно 30000 клеток/лунка высевают в 96-луночную плашку с круглым доньеми и добавляют соответствующее разведение конструкции для достижения желаемой конечной концентрации (в трех повторностях); конечные концентрации находятся в диапазоне от 0,1 пМ до 10 нМ. Для надлежащего сравнения все конструкции и контроли TCB доводятся до одинаковой молярности. МКПК человека (эффекторные клетки) добавляли в лунки, чтобы получить конечное соотношение E:T, составляющее 10:1, соответствующее соотношению E:T, составляющему примерно от 3 до 5 Т-лимфоцитов на 1 опухолевую клетку-мишень. Отрицательные контрольные группы были представлены только эффекторными клетками или клетками-мишенями. Для нормализации максимальный лизис клеток-мишени MM (= 100%) определяли

путем инкубации клеток-мишеней с конечной концентрацией 1% Triton X-100, вызывая гибель клеток. Минимальный лизис (= 0%) был представлен клетками-мишениями, инкубированными вместе только с эффекторными клетками, т. е. без какого-либо биспецифичного антитела к Т-лимфоцитам. i) После 48 ч инкубации при 37 °C, 5% CO<sub>2</sub>, культивированные клетки миеломы собирали, промывали и окрашивали антителами, конъюгированными с флуорохромом, и аннексином-V для определения апоптотических миеломных клеток. Окрашивающая панель состояла из CD138-APCC750/CD38-FITC/CD5-BV510/CD56-PE/CD19-PerCP-Cy7/CD45-V450/аннексин-V-PerCP-Cy5.5. Использованные антитела, меченные флуорохромом, были приобретены в BD Biosciences (Сан-Хосе, Калифорния) и Caltag Laboratories (Сан-Франциско, Калифорния). Сбор данных осуществляли с использованием многоцветного проточного цитометра и установленного программного обеспечения (например, устройства Cantell, на котором запущено программное обеспечение FACS Diva, или проточного цитометра FACSCalibur с использованием программного обеспечения CellQUEST). Для анализа данных использовалась программа Paint-A-Gate PRO (BD Biosciences). Аннексин-V измеряли на клетках JJN-3, и процент аннексин-v-положительных клеток JJN-3 наносили на график в зависимости от концентрации биспецифичных анти-BCMA/анти-CD3 Т-лимфоцитов антител. Процент лизиса клеток JJN-3, вызванный определенной концентрацией биспецифичного анти-BCMA/анти-CD3 Т-лимфоцитов антитела определяли путем измерения абсолютного количества аннексин-V-отрицательных клеток JJN-3 при данной концентрации TCB и вычитая его из абсолютного количества аннексин-V-отрицательных клеток JJN-3 без TCB; деля на абсолютное количество аннексин-V-отрицательных клеток JJN-3 без TCB. Фиг. 7 иллюстрирует то, что все анти-BCMA/анти-CD3 TCB антитела (22-, 42- и 83A10-TCBcv) индуцировали зависимое от концентрации уничтожение миеломных клеток JJN-3 с низкой экспрессией BCMA, измеренное с помощью проточной цитометрии. Лизис клеток JJN-3 был специфическим, поскольку контрольное антитело TCB, которое не связывается с BCMA-положительными клетками-мишениями, а только с CD3 на Т-лимфоцитах, не индуцирует лизис аннексин-V-положительных клеток JJN-3 или клеток JJN-3 даже в самой высокой протестированной концентрации. В Таблице 14 и Таблице 15 подытожены соответственно проценты аннексин-v-положительных клеток JJN-3 и

проценты лизиса клеток JJN-3, индуцированного анти-BCMA/анти-CD3 TCB антителами.

Детекцию ЛДГ также проводят после 20-24 ч или 48 ч инкубации при 37 °C, 5% CO<sub>2</sub>. Высвобождение ЛДГ из апоптотических/некротических клеток-мишеней JJN-3 MM в супернатант затем измеряли с помощью набора для обнаружения ЛДГ (Roche Applied Science), следуя инструкциям производителя. Процент высвобождения ЛДГ нанесен на график в зависимости от концентраций биспецифичных анти-BCMA/анти-CD3 Т-лимфоцитов антител, в виде кривых концентрация-ответ. Значения EC50 измеряли с использованием программного обеспечения Prism (GraphPad) и определяли, как концентрацию антитела TCB, которая приводит к 50% максимального высвобождения ЛДГ.

**Таблица 14.** Перенаправленное уничтожение Т-лимфоцитами клеток JJN-3 с низкой экспрессией BCMA, индуцированное анти-BCMA/анти-CD3 TCB антителами: процент содержание аннексин-V-положительных клеток

Эксперимент 1							
Аннексин-V-положительные клетки JJN-3 (%)	Концентрация анти-BCMA/ анти-CD3 TCB (пМ)						
	10000	1000	100	10	1	0,1	0
83A10-TCBcv	16,78	10,21	9,12	11,11	11,36	8,14	9,6
42-TCBcv	24,83	16,84	8,62	12,3	11,9	/	9,6
22-TCBcv	22,95	26,15	12,48	13,29	9,3	12,48	9,6
Контрольное TCB	8,84	/	/	/	/	/	/

Эксперимент 2							
Аннексин-V- положительные клетки JJN-3 (%)	Концентрация анти-BCMA/ анти-CD3 ТСВ (пМ)						
	10000	1000	100	10	1	0,1	0
83A10-TCBcv	22,86	17,53	16,5	15,94	14,32	13,07	10,74
42-TCBcv	26,88	21,68	14,42	13,6	13,47	12,75	10,74
22-TCBcv	29,72	26,97	18,35	15,94	15	14,8	10,74
Контрольное ТСВ	12,82	/	/	/	/	/	/

**Таблица 15.** Перенаправленное уничтожение Т-лимфоцитами клеток JJN-3 с низкой экспрессией BCMA, индуцированное анти-BCMA/анти-CD3 ТСВ антителами: процент лизиса JJN-3 клеток

Эксперимент 1							
Лизис клеток JJN-3 (%)	Концентрация анти-BCMA/ анти-CD3 ТСВ (пМ)						
	10000	1000	100	10	1	0,1	0
83A10-TCBcv	70,30	26,66	18,43	41,88	24,42	- 14,45	0,00
42-TCBcv	92,92	84,02	41,87	38,96	40,29	/	0,00
22-TCBcv	88,02	90,54	56,26	73,56	-4,29	26,28	0,00
Контрольное ТСВ	-6,55	/	/	/	/	/	/

Эксперимент 2							
Лизис клеток JJN-3 (%)	Концентрация анти-BCMA/ анти-CD3 ТСВ (пМ)						
	10000	1000	100	10	1	0,1	0
83A10-TCBcv	51,18	25,30	20,12	39,58	-1,88	22,28	0,00
42-TCBcv	90,37	81,12	55,32	39,44	34,94	17,62	0,00
22-TCBcv	91,21	94,12	53,03	41,66	24,36	36,47	0,00
Контрольное ТСВ	4,18	/	/	/	/	/	/

#### **Пример 12: Экспрессия BCMA в миеломных плазматических клетках костного мозга у пациентов с множественной миеломой**

Линии клеток человека, экспрессирующие представляющую интерес опухолевую мишень, являются очень полезными и практическими инструментами для измерения активности антител ТСВ в отношении индукции цитотоксичности опухолевых клеток в присутствии Т-лимфоцитов и определения значений EC50, а также для ранжирования молекул ТСВ. Однако, несмотря на то, что линии миеломных клеток человека легкодоступны и практичны, имейте в виду, что они не воссоздают гетерогенность множественной миеломы, очень сложного заболевания, которое характеризуется значительной гетерогенностью на молекулярном уровне. Кроме

того, линии миеломных клеток не экспрессируют рецептор BCMA с одинаковой интенсивностью и плотностью, так как некоторые клетки экспрессируют BCMA сильнее, чем другие (например, клетки H929 в сравнении с клетками RPMI-8226), и такая гетерогенность на клеточном уровне также может наблюдаться среди разных пациентов. В ходе академического сотрудничества с ключевыми лидерами мнений по поводу множественной миеломы изучалось определение экспрессии и плотности BCMA в образцах пациентов, и оценивались анти-BCMA/анти-CD3 TCB антитела с клиническими образцами пациентов. Аспираты крови и костного мозга собирают у пациентов с множественной миеломой после получения информированного согласия в соответствии с руководящими принципами местного этического комитета и Хельсинской декларацией.

**а) Экспрессия BCMA, обнаруженная с помощью мультипараметрической проточной цитометрии (средняя интенсивность флуоресценции)**

Для определения экспрессии рецептора BCMA в миеломных клетках костного мозга иммунофенотипические анализы проводили с использованием свежеизолированных аспитратов цельного костного мозга. Для иммунофенотипического анализа использовали антикоагулированные образцы цельного костного мозга (этилендиаминтетрауксусная кислота), подвергнутые эритроцитарному анализу К<sub>3</sub>-ЭДТК. Всего  $2 \times 10^6$  клеток/пробирка окрашивали, лизировали и затем промывали, используя метод прямой иммунофлюоресценции и многоцветное окрашивание, целью которого была специфическая идентификация и иммунофенотипическое охарактеризование злокачественных плазматических клеток, идентифицированных как CD138<sup>+</sup> CD38<sup>+</sup> CD45<sup>+</sup> CD19<sup>-</sup> CD56<sup>+</sup>. Затем клетки окрашивали с использованием панели антител, конъюгированных с флуорохромом, включая, по меньшей мере, CD38-FITC/CD56-PE/CD19-PerCP-Cy7/CD45-V450/BCMA-APC. Использованные антитела, меченные флуорохромом, были приобретены в BD Biosciences (Сан-Хосе, Калифорния) и Caltag Laboratories (Сан-Франциско, Калифорния). Собственное APC-конъюгированное антитело к BCMA человека использовали в иммунофенотипических анализах. Сбор данных осуществляли с использованием многоцветного проточного цитометра и установленного программного обеспечения (например, устройства Cantell, на котором запущено программное обеспечение FACS Diva, или проточного цитометра

FACSCalibur с использованием программного обеспечения CellQUEST). Для анализа данных использовалась программа Paint-A-Gate PRO (BD Biosciences). Экспрессия BCMA измерялась в зависимости от популяции злокачественных плазматических клеток, а средние значения интенсивности флуоресценции (MFI) определялись и сравнивались среди пациентов с миеломой.

**Таблица 16.** Экспрессия BCMA в миеломных плазматических клетках костного мозга пациента, обнаруженная с помощью мультипарметрической проточной цитометрии (средняя интенсивность флуоресценции, СИФ)

№ пациента	СИФ <sub>BCMA</sub>
P1	2863
P2	3528
P3	602
P4	389
P5	955
P6	1475
P7	282
P8	1621
P9	116
P10	125
P11	1495
P12	2451
P13	398
P14	2040
P15	678
P16	945
P17	1672
P18	1491
P19	2198
P20	1058
P21	3594
P22	615

**b) Определение способности связывать специфические антигены ВСМА (количественный анализ с помощью проточной цитометрии)**

Был использован способ Qifikit (Dako) для количественной оценки способности специфического связывания ВСМА (SABC) на клеточной поверхности миеломных плазматических клеток костного мозга пациента. Миеломные плазматические клетки, выделенные из аспиратов цельного костного мозга, окрашивали 50 мкл мышного анти-человеческий ВСМА IgG (BioLegend кат. № 357502) или мышного контрольного изотипа IgG2a (BioLegend кат. № 401501), разведенного в буфере FACS (ФСБ, 0,1% BSA) до конечной концентрации 25 мкг/мл (или до концентраций насыщения) и окрашивание проводили в течение 30 мин при 4 °C в темноте. Затем в отдельные лунки добавляли 100 мкл установочных или калибровочных гранул и клетки, а также гранулы дважды промывали буфером FACS. Клетки и гранулы ресуспенсировали в 25 мкл буфера FACS, содержащего конъюгированное с флуоресцеином вторичное анти-мышиное антитело (в концентрациях насыщения), предоставленное Qifikit. Клетки и гранулы окрашивали в течение 45 мин при 4 °C в темноте. Клетки промывали один раз и все образцы ресуспенсировали в 100 мкл буфера FACS. Образцы сразу анализировали с использованием многоцветного проточного цитометра и установленного программного обеспечения (например, устройства Cantoll, на котором запущено программное обеспечение FACS Diva, или проточного цитометра FACSCalibur с использованием программного обеспечения CellQUEST).

**Таблица 17.** Специфическая способность связывания антигена (СССА) ВСМА на миеломных плазматических клетках костного мозга пациента, измеренная количественным анализом - проточной цитометрией

№ пациента	СССА <sub>ВСМА</sub>
P1	н/д
P2	н/д
P3	679
P4	145
P5	957

P6	969
P7	554
P8	4479
P9	350
P10	414
P11	2756
P12	2911
P13	1267
P14	3453
P15	1006
P16	1097
P17	1622
P18	429
P19	1684
P20	383
P21	1602
P22	799
P23	204

**Пример 13: Перенаправленная цитотоксичность Т-лимфоцитов на миеломные плазматические клетки костного мозга пациента в присутствии аутологичных инфильтрирующихся Т-лимфоцитов костного мозга индуцированных биспецифичными анти-BCMA/анти-CD3 Т-лимфоцитов антителами (мультипараметрическая проточная цитометрия)**

Одна из наиболее значимых и критических характеристик *in vitro* во время доклинической оценки кандидатов с множественной миеломой для лечения антителами TCB заключается в том, может ли молекула TCB активировать Т-лимфоциты пациента и индуцировать перенаправленное уничтожение Т-лимфоцитами первичных миеломных плазматических клетках из костного мозга пациентов. Чтобы оценить влияние анти-BCMA/анти-CD3 TCB антител на индукцию перенаправленного уничтожения Т-лимфоцитами миеломных плазматических клеток костного мозга, аспитраты цельного костного мозга собирали у пациентов с множественной миеломой в пробирки с ЭДТК, и сразу использовали для анализа

клеточных культур. Соотношение эффекторных клеток к опухолевым клеткам (отношение Е:Т), присутствующих в образцах цельного костного мозга, определяли и измеряли проточной цитометрией. Вкратце, 200 мкл образцов костного мозга переносили в 96-луночные плашки с глубокими лунками. Разведения анти-BCMA/анти-CD3 TCB антител и контрольных антител готовили в стерильной среде, и 10 мкл перепарата добавляли в соответствующие лунки до конечных концентраций в диапазоне от 0,1 пМ до 30 нМ. Суспензию костного мозга с антителами смешивают путем осторожного встряхивания, а затем инкубируют при 37 °С, 5% CO<sub>2</sub> в течение 48 часов, герметизируют парафиновой пленкой. После периода инкубации, 20 мкл соответствующего раствора антитела FACS, приготовленного на основе панели антител, включающей CD138-APCC750/CD38-FITC/CD5-BV510/CD56-PE/CD19-PerCP-Cy7/ CD45-V450/BCMA-APC/аннексин-V-PerCP-Cy5.5, добавляли в 96-луночную плашку с У-доныями. Антитела, меченные флуорохромом, были приобретены в BD Biosciences (Сан-Хосе, Калифорния) и Caltag Laboratories (Сан-Франциско, Калифорния), и было использовано собственное APC-конъюгированное антитело к BCMA человека. Затем образцы инкубировали в течение 15 минут в темноте при комнатной температуре, собирали и анализировали с использованием многоцветного проточного цитометра. Клеточную гибель миеломных клеток определяли путем оценки аннексина-V-положительной экспрессии на основе популяций миеломных клеток CD138<sup>+</sup> CD38<sup>+</sup> CD45<sup>+</sup> CD19<sup>-</sup> CD56<sup>+</sup>. Затем определяли процент гибели миеломных клеток. Процент лизиса миеломных плазматических клеток костного мозга пациента, вызванный специфической концентрацией биспецифичного анти-BCMA/анти-CD3 Т-лимфоцитов антитела также определяли путем измерения абсолютного количества аннексин-V-отрицательных миеломных плазматических клеток при данной концентрации TCB, и вычитая его из абсолютного количества аннексин-V-отрицательных миеломных плазматических клеток без TCB; деля на абсолютное количество аннексин-V-отрицательных миеломных плазматических клеток без TCB. Для подтверждения специфичности биспецифичных анти-BCMA/анти-CD3 Т-лимфоцитов антител, экспрессию аннексина-V также измеряли в других типах клеток костного мозга, таких как Т-лимфоциты, В-лимфоциты и NK-лимфоциты. Как показано на Фиг. 8, происходил зависимый от концентрации и специфический лизис миеломных плазматических

клеток пациента, тогда как лизис Т-лимфоцитов, В-лимфоцитов и NK-лимфоцитов не наблюдался. Кроме того, контрольное TCB, которое связывается только с CD3, но не с BCMA, не вызывало гибели миеломных плазматических клеток при самых высоких концентрациях антител TCB. Как показано в Таблице 18, процент аннексин-V-положительных миеломных клеток костного мозга пациента при самой высокой концентрации (30 нМ) достигал 52,54% и 55,72% для 42-TCBcv и 22-TCBcv соответственно по сравнению с 29,31% для 83A10-TCBcv, приводя к заключению, что 42-TCBcv и 22-TCBcv более эффективны, чем 83A10-TCBcv, для индуцирования гибели миеломных плазматических клеток костного мозга пациента.

**Таблица 18.** Процент аннексин-V-положительных миеломных плазматических клеток из аспиратов костного мозга пациента, индуцированный биспецифичными анти-BCMA/анти-CD3 Т-лимфоцитами.

Аннексин-V- положительные миеломные плазматические клетки (%)	Концентрация биспецифичных анти-BCMA/анти- CD3 Т-лимфоцитов антител (пМ)					
	30000	10000	1000	100	10	0
83A10-TCBcv	29,31	30,95	23,14	15,74	16,76	13,11
42-TCBcv	52,54	39,87	29,96	10,51	19,6	13,11
22-TCBcv	55,72	51,71	31,01	14,81	14,19	13,11
Контрольное TCB	15,18	10,93	/	/	/	/

В другом исследовании аспирантов костного мозга из 5 разных пациентов с ММ процент жизнеспособных миеломных плазматических клеток определяли путем установки диапазона отображения данных для популяции аннексин-V-отрицательных клеток и наносили на график в зависимости от концентрации биспецифичного анти-BCMA/анти-CD3 Т-лимфоцитов антитела. Значения EC50 измеряли и определяли как концентрацию антител TCB, которая приводит к 50% максимально жизнеспособных миеломных плазматических клеток. EMAX (%) определяли как максимум жизнеспособных миеломных плазматических клеток в присутствии соответствующего биспецифичного анти-BCMA/анти-CD3 Т-лимфоцитов антитела. 83A10-TCBcv было гораздо менее эффективно в индукции лизиса миеломных плазматических клеток, чем 22-TCBcv и 42-TCBcv в большинстве из пяти образцов-аспирантов костного мозга пациентов с миеломой (Таблица 26; на Фиг. 9 в качестве примера показаны кривые зависимости концентрации для 2 из 5 пациенты). Зависимое от концентрации уменьшение жизнеспособных миеломных клеток наблюдалось в 5/5 образцах из пациентов, обработанных 22-TCBcv или 42-TCBcv, по сравнению с только 1/5 образцов из пациентов для 83A10-TCBcv. В Таблице 19 показано сравнение 83A10-TCBcv с 22-TCBcv и 42-TCBcv, и влияние биспецифичных анти-BCMA/анти-CD3 Т-лимфоцитов антител на жизнеспособность миеломных плазматических клеток костного мозга. Результаты ясно показывают, что в 4/5 образцов из пациентов было меньше жизнеспособных миеломных плазматических клеток костного мозга с 22-TCBcv и 42-TCBcv (т. е. больше лизиса миеломных плазматических клеток костного мозга), что продемонстрировано более низкими значениями EMAX (%) для 22-TCBcv и 42-TCBcv по сравнению с 83A10-TCBcv в соответствующих образцах из пациентов. Наблюдали зависимый от концентрации и специфичный лизис миеломных плазматических клеток пациента, в

то же время не наблюдали лизис незлокачественных клеток костного мозга (данные не показаны).

**Таблица 19.** Значения EMAX (%) в отношении аннексин-V-отрицательных жизнеспособных миеломных плазматических клеток из аспиратов костного мозга пациентов в присутствии биспецифичных анти-BCMA/анти-CD3 Т-лимфоцитов антител.

Образец аспирата костного мозга пациента (Исследование 2)	83A10-TCBcv	22-TCBcv	42-TCBcv
		EMAX (%)	
Пациент 001	100	7,6	22,6
Пациент 003	54,3	38,9	44,6
Пациент 004	100	66,6	53,9
Пациент 006	81,8	65,9	73,5
Пациент 007	81,8	48,6	72,8

В ходе дополнительных исследований новых биспецифичных анти-BCMA/анти-CD3 Т-лимфоцитов антител, используемых в данном изобретении, по сравнению с 83A10-TCBcv, семь свежеприготовленных образцов/аспираторов цельного костного мозга пациентов окрашивали магнитными микрогранулами CD138 (Miltenyi Biotec, Bergisch Gladbach (Германия), пропускали через колонку для разделения клеток autoMACS, и собранные фракции с достаточным оставшимся количеством плазматических клеток ММ, обычно >4% миеломных плазматических клеток, использовали в дальнейших экспериментах. В 24-луночных плашках, 500000 клеток/лунка инкубировали и культивировали в течение 48 часов. Разведения анти-BCMA/анти-CD3 TCB антител и контрольного антитела добавляли в соответствующие лунки до конечной концентрации TCB от 0,1 пМ до 10 нМ. Каждая доза была представлена в трех повторностях. Жизнеспособность плазматических клеток и клеток микроокружения костного мозга исследовали с помощью двойного окрашивания пропидий йодидом/CD138-FITC с использованием проточной цитометрии (FACSCalibur; Becton Dickinson). Анализ данных проводили с использованием программного обеспечения FACSDiva (Becton Dickinson). Как показано на Фиг. 10, гистограммы показывают средние значения, нормализованные по среднему значению для трех повторностей соответствующего контроля в виде

среды (МС). Для статистического анализа использовался односторонний критерий Стьюдента. Максимальное ингибиование роста плазматических клеток ММ при концентрации 10 нМ (IMAX10) и ингибиование, измеренное при 1 нМ (IMAX1), соответственно, даны в процентах, как указано по отношению к контролю-среде. Было также показано максимальное ингибиование контрольного антитела TCB (10 нМ) по сравнению со контролем-средой. Расчеты проводились с использованием R 3.1.19 и Bioconductor 2.1310, но для расчета значений IMAX (Microsoft Excel®; Microsoft Office Professional 2013). Эффект считался статистически значимым, если значение Р его соответствующего статистического теста составляло <5% (\*), <1% (\*\*) или <0,1% (\*\*\*) . Как показано на Фиг. 10А-10G, результаты ясно показывают, что в 7/7 образцах пациентов было меньше жизнеспособных миеломных плазматических клеток костного мозга с 22-TCBcv и 42-TCBcv (т.е. больше лизиса плазматических клеток миеломы костного мозга) по сравнению с 83A10-TCBcv. Таблица 20 демонстрирует процент жизнеспособных миеломных плазматических клеток из аспиратов костного мозга пациента, обусловленный биспецифичными анти-BCMA/анти-CD3 Т-лимфоцитами, относительно контроля-среды. Таблица 21 показывает значения IMAX10 и IMAX1. Результаты демонстрируют, что 22-TCBcv и 42-TCBcv явно более эффективны, чем 83A10-TCBcv, в индуцировании гибели миеломных плазматических клеток костного мозга пациента. Несмотря на специфический лизис плазматических клеток костного мозга (BMPC), индуцированный биспецифичными анти-BCMA/анти-CD3 Т-лимфоцитами антителами, и наблюдаемый во всех образцах костного мозга пациентов, микросреда костного мозга (BMME) не была затронута в соответствующих образцах (Фиг. 10Н, изображающая 7 образцов пациентов).

**Таблица 20.** Относительный процент жизнеспособных миеломных плазматических клеток, отрицательных на пропидий йодид, из аспиратов костного мозга пациентов, обусловленный биспецифичными анти-BCMA/анти-CD3 Т-лимфоцитами антителами.

Образец из пациента № 1 / Жизнеспособные миеломные плазматические клетки (%)	Концентрация биспецифичных анти- BCMA/анти-CD3 Т-лимфоцитов антител (нМ)			
	0,01	0,1	1	10
83A10-TCBcv	181,3	106,3	31,3	9,4
42-TCVcv	81,3	15,6	9,4	9,4

22-TCVcv	37,5	6,3	6,3	9,4
Контр. TCB	/	/	/	162,5
<b>Образец из пациента № 2 / Жизнеспособные миеломные плазматические клетки (%)</b>	<b>Концентрация биспецифичных анти-BCMA/анти-CD3 Т-лимфоцитов антител (нМ)</b>			
	0,01	0,1	1	10
83A10-TCBcv	89,5	31,6	5,3	0
42-TCVcv	42,1	10,5	0	0
22-TCVcv	15,8	5,3	0	0
Контр. TCB	/	/	/	94,7
<b>Образец из пациента № 3 / Жизнеспособные миеломные плазматические клетки (%)</b>	<b>Концентрация биспецифичных анти-BCMA/анти-CD3 Т-лимфоцитов антител (нМ)</b>			
	0,01	0,1	1	10
83A10-TCBcv	76,7	35,0	1,7	0
42-TCVcv	13,3	0	0	0
22-TCVcv	3,3	0	0	0
Контр. TCB	/	/	/	86,7
<b>Образец из пациента № 4 / Жизнеспособные миеломные плазматические клетки (%)</b>	<b>Концентрация биспецифичных анти-BCMA/анти-CD3 Т-лимфоцитов антител (нМ)</b>			
	0,01	0,1	1	10
83A10-TCBcv	93,9	51,5	9,1	6,1
42-TCVcv	9,1	0	0	0
22-TCVcv	15,2	15,2	0	0
Контр. TCB	/	/	/	127,3
<b>Образец из пациента № 5 / Жизнеспособные миеломные плазматические клетки (%)</b>	<b>Концентрация биспецифичных анти-BCMA/анти-CD3 Т-лимфоцитов антител (нМ)</b>			
	0,01	0,1	1	10
83A10-TCBcv	100	91,4	62,9	20,0
42-TCVcv	71,4	34,3	22,9	11,4
22-TCVcv	20,0	22,9	14,3	11,4
Контр. TCB	/	/	/	85,7
<b>Образец из пациента № 6 / Жизнеспособные миеломные плазматические клетки (%)</b>	<b>Концентрация биспецифичных анти-BCMA/анти-CD3 Т-лимфоцитов антител (нМ)</b>			
	0,01	0,1	1	10
83A10-TCBcv	55,6	22,2	6,7	4,4
42-TCVcv	35,6	6,7	4,4	4,4
22-TCVcv	24,4	3,3	8,9	2,2

Контр. TCB	/	/	/	117,8
<b>Образец из пациента № 7 / Жизнеспособные миеломные плазматические клетки (%)</b>	<b>Концентрация биспецифичных анти-BCMA/анти-CD3 Т-лимфоцитов антител (нМ)</b>			
	0,01	0,1	1	10
83A10-TCBcv	84,4	82,6	46,8	19,3
42-TCVcv	67,0	33,9	12,8	5,5
22-TCVcv	24,4	3,3	8,9	2,2
Контр. TCB	/	/	/	106,4

**Таблица 21.** Значения IMAX10 и IMAX1 в отношении максимального ингибиования роста плазматических клеток ММ при 10 нМ IMAX10 и ингибиования при 1 нМ IMAX1 исходя из количества пропидий йодид-отрицательных жизнеспособных миеломных плазматических клеток из аспиратов костного мозга пациентов в присутствии биспецифичных анти-BCMA/анти-CD3 Т-лимфоцитов антител.

Образец пациента №	83A10-TCBcv		42-TCBcv		22-TCBcv		Kонтр . TCB
	IMAX10 (%)	IMAX1 (%)	IMAX10 (%)	IMAX1 (%)	IMAX10 (%)	IMAX1 (%)	IMAX 10 (%)
1	90,6	68,8	90,6	90,6	90,6	93,8	-62,5
3	100	94,7	100	100	100	100	5,3
4	100	98,3	100	100	100	100	13,3
5	93,9	90,9	100	100	100	100	-27,3
6	80,0	37,1	88,6	77,1	88,6	85,7	14,3
7	95,6	93,3	95,6	95,6	97,8	91,1	-17,8
8	80,7	53,2	94,5	87,2	97,2	97,2	-6,4

**Пример 14: Активация Т-лимфоцитов костного мозга пациента, индуцированная биспецифичными анти-BCMA/анти-CD3 Т-лимфоцитов антителами (мультипараметрическая проточная цитометрия)**

Чтобы оценить, вызывают ли анти-BCMA/анти-CD3 TCB антитела активацию CD4<sup>+</sup> и CD8<sup>+</sup> Т-лимфоцитов пациентов с миеломой (т. е. инфильтрированных Т-лимфоцитов (MIL) костного мозга), образцы из соответствующих обработанных, необработанных и контрольных групп после 48 ч инкубации также окрашивали раствором антитела FACS, приготовленным на основе панели антител, включающей в себя восемь маркеров: CD8/CD69/TIM-3/CD16/CD25/CD4/HLA-DR/PD-1. Затем образцы инкубировали в течение 15 минут в темноте при комнатной температуре, собирали и анализировали с использованием многоцветного проточного цитометра. Активацию Т-лимфоцитов определяли путем оценивания CD25, CD69 и/или HLA-DR-положительной экспрессии, устанавливая диапазон отображения данных для популяций CD4<sup>+</sup> и CD8<sup>+</sup> Т-лимфоцитов. Затем были измерены проценты активации Т-лимфоцитов. На Фиг. 11 показано зависимое от концентрации повышение экспрессии CD69 и CD25 на инфильтрированных в костный мозг CD4<sup>+</sup> и CD8<sup>+</sup> Т-лимфоцитах из пациентов с множественной миеломой. Таблица 22 подтверждает увеличение экспрессии CD69 и CD25 на CD4<sup>+</sup> и CD8<sup>+</sup> Т-лимфоцитах, индуцированной анти-BCMA/анти-CD3 TCB антителами; данные из одного пациента.

**Таблица 22:** Т-лимфоцитарная активация аутологичных Т-лимфоцитов пациента с миеломой, индуцированная биспецифичными анти-BCMA/анти-CD3 Т-лимфоцитов антителами в присутствии миеломных плазматических клеток костного мозга пациента

CD69+ / CD4 Т-лимфоциты (%)	Концентрация биспецифичных анти-BCMA/анти-CD3 Т-лимфоцитов антител (пМ)					
	30000	10000	1000	100	10	0
83A10-TCBcv	21,8	14,93	1,80	0,93	1,02	0,85
42-TCBcv	29,6	24,8	1,90	1,57	0,94	0,85
22-TCBcv	34,99	30,72	3,62	1,69	2,31	0,85
Контрольное TCB	0,7	0,62	/	/	/	/
CD69+ / CD8 Т-лимфоциты (%)	Концентрация биспецифичных анти-BCMA/анти-CD3 Т-лимфоцитов антител (пМ)					
	30000	10000	1000	100	10	0
83A10-TCBcv	25,50	22,07	8,330	5,60	5,14	5,30
42-TCBcv	23,61	24,22	11,125	9,26	6,28	5,30
22-TCBcv	25,48	28,14	11,460	6,64	14,08	5,30
Контрольное TCB	5,71	4,93	/	/	/	/
CD25+ / CD4 Т-лимфоциты (%)	Концентрация биспецифичных анти-BCMA/анти-CD3 Т-лимфоцитов антител (пМ)					
	30000	10000	1000	100	10	0
83A10-TCBcv	17,47	12,86	5,18	4,58	4,07	7,5
42-TCBcv	8,65	7,42	3,51	2,71	2,81	7,5
22-TCBcv	12,34	11,52	5,23	4,89	4,90	7,5
Контрольное TCB	6,90	6,50	/	/	/	/
CD25+ / CD8 Т-лимфоциты (%)	Концентрация биспецифичных анти-BCMA/анти-CD3 Т-лимфоцитов антител (пМ)					
	30000	10000	1000	100	10	0
83A10-TCBcv	9,79	6,560	0,42	0,13	0,12	0,12
42-TCBcv	2,20	2,231	0,42	0,14	0,08	0,12
22-TCBcv	3,57	4,110	0,65	0,10	0,08	0,12
Контрольное TCB	0,09	0,100	/	/	/	/

**Пример 15: Усиленная Т-лимфоцитарная функция (выработка цитокинов) Т-лимфоцитов костного мозга пациента, индуцированная биспецифичными анти-BCMA/анти-CD3 Т-лимфоцитов антителами (мультиплексный иммуноанализ на основе гранул/проточная цитометрия)**

Чтобы оценить, индуцируют ли анти-BCMA/анти-CD3 TCB антитела (83A10-TCBcv, 22-TCBcv и 42-TCBcv) Т-лимфоцитарную активацию и усиление функции инфильтрирующих CD4<sup>+</sup> и CD8<sup>+</sup> Т-лимфоцитов костного мозга пациентов с

миеломой, супернатант собирали из культуры соответствующих обработанных, необработанных и контрольных групп после 48 ч инкубации и измеряли содержание цитокинов и сериновых протеаз. Цитокиновый анализ на гранулах (СВА) проводили на многоцветном проточном цитометре в соответствии с инструкциями производителя, используя либо набор II Th1/Th2 цитокинов человека (BD кат. № 551809), либо комбинацию следующих наборов СВА Flex: гранзим В человека (BD кат. № 560304), набор Flex ИНФ-γ человека (BD кат. № 558269), набор Flex ФНО-α человека (BD кат. № 558273), набор Flex ИЛ-10 человека (BD кат. № 558274), набор Flex ИЛ-6 человека (BD кат. № 558276), набор Flex ИЛ-4 человека (BD кат. № 558272), набор Flex ИЛ-2 человека (BD кат. № 558270).

**Пример 16: Фармакокинетическое/фармакодинамическое (ФК/ФД) исследование у яванских макак**

Очевидное преимущество, которое может иметь анти-BCMA/анти-CD3 ТСВсв антитело по сравнению с другими биспецифичными антителами, такими как (scFV)<sub>2</sub> (например, BCMAxCD3, биспецифичный вовлекающий активатор Т-лимфоцитов BiTE®, как описано в WO2013072415 и WO2013072406), заключается в значительно более длительном периоде полужизни/более низком клиренсе *in vivo*, который может позволить введение два раза или один раз в неделю внутривенно или подкожно по сравнению с очень коротким периодом полужизни (scFV)<sub>2</sub> (например, от 1 до 4 часов), требующий лечения с помощью насоса, носимого пациентами от нескольких недель до нескольких месяцев (Topp et al. J Clin Oncol 2011; 29(18): 2493-8). Введение два раза или один раз в неделю было бы гораздо более удобным для пациентов, а также намного менее рискованным (например, отказ насоса, проблемы с катетером и т. д.).

а) Для проверки периода полужизни/клиренса анти-BCMA/анти-CD3 83A10-TCBcv антитела *in vivo*, фармакокинетические (ФК) фармакодинамические (ФД) исследования однократной дозы биспецифичных анти-BCMA/анти-CD3 Т-лимфоцитов антител (83A10-TCBcv, 22-TCBcv и 42-TCBcv) проводили в AAALAC-аккредитованном CRO. Биологически наивные взрослые яванские макаки в возрасте около двух лет и весом около 3 кг были акклиматизированы в течение не меньше чем 40 дней и отобраны исходя из массы тела, клинических наблюдений и клинических патологических исследований. Животных идентифицировали по

индивидуальным татуировкам и карточкам клеток с цветовой кодировкой. Все процедуры с животными (включая содержание, наблюдение за состоянием здоровья, ограниченное содержания, дозирование и т. д.) и рассмотрение этической приемлемости проводились в соответствии с действующим законодательством страны, обеспечивающим соблюдение Директивы о защите животных, используемых в биомедицинских исследованиях. Животные были случайным образом отнесены к группе лечения на основании самой последней массы тела до тестирования. После исключения животных с недопустимыми результатами предварительных обследований, использовалась компьютерная программа, включенная в систему Pristima®, предназначенная для достижения баланса в отношении предтестовой массы тела, чтобы исключить животных из обеих крайних значений массы тела и рандомизировать оставшихся животных в группу лечения. Животных распределяли по трем группам лечения 83A10-TCBcv ( $n = 2$  животных, т. е. 1 самка и 1 самец в группе) в количестве 0,003; 0,03; и 0,3 мг/кг. Животные получили одну в/в инъекцию 83A10-TCBcv, и собирали через периферическую вену по меньшей мере 0,8 мл крови в виде образцов в каждый момент времени для оценки ФК в соответствии со следующим графиком и процедурами сбора: До введения дозы, 30, 90, 180 мин, 7, 24, 48, 96, 168, 336, 504 ч после дозирования. Образцы крови оставляли для свертывания в пробирках для отделения сыворотки на 60 мин при комнатной температуре. Сгусток осаждали центрифугированием (по меньшей мере 10 мин, 1200g, +4 °C). Полученную сыворотку (около 300 мкл) хранили непосредственно при -80 °C до дальнейшего анализа. Образцы костного мозга для оценки ФК также собирали с бедренной кости под наркозом/обезболивающей обработкой в соответствии с следующим графиком сбора: до введения дозы, через 96 и 336 ч после введения дозы. Образцы костного мозга оставляли для свертывания в пробирках для отделения сыворотки на 60 минут при комнатной температуре. Сгусток осаждали центрифугированием (по меньшей мере 10 мин, 1200g, +4 °C). Полученный костный мозг (около 1 мл) хранили непосредственно при -80 °C до дальнейшего анализа. Выполняли анализ и оценку данных ФК. Стандартный не компартментный анализ проводили с использованием пакета Watson (v 7.4, Thermo Fisher Scientific Waltman, MA, США) или системы Phoenix WinNonlin (v. 6.3, Certara Company, США). Как показано на Фиг. 12 и в Таблице 23,

сывороточные концентрации 83A10-TCBcv измеряли с помощью ИФА из образцов сыворотки, собранных в разные моменты времени после в/в инъекции. В Таблице 24 показаны концентрации 83A10-TCBcv в костном мозге, измеренные ИФА для каждой группы лечения (BLQ означает уровень ниже уровня количественного определения).

Некоторая информация, относящаяся к возможному клиническому применению биспецифичного антитела, может быть взята из Фиг. 12, Таблицы 23 и Таблицы 24:

- В аспиратах костного мозга из пациентов с ММ концентрации TCB 1 нМ или 10 нМ, используемые в данном изобретении, индуцируют значительную или даже полную гибель плазматических клеток ММ; в дозе 0,03 мг/кг в интервале от инъекции до 168 часов (7 дней) были достигнуты концентрации в плазме между примерно 1 нМ и 4 нМ, показывая, что терапия один раз в неделю с дозами примерно 0,03 мг/кг является вполне возможной (200 нг/мл соответствует примерно 1 нМ)
- Фиг. 12 показывает, что в исследуемом диапазоне доз ФК в значительной степени является линейной от дозы; это означает, что концентрации пропорциональны дозе; полезное свойство в клинической терапии
- ММ - это заболевание, в основном локализующееся в костном мозге; Концентрации 83A10-TCBcv, обнаруженные в костном мозге, близки к сывороточным концентрациям (Таблица 24), например через 96 ч после инъекции концентрации в костном мозге составляли примерно 1 и 2 нМ; это концентрации TCB, используемые в данном изобретении, при которых наблюдается значительное уничтожение плазматических клеток ММ в аспиратах костного мозга, только что взятых у пациентов ММ; снова демонстрируется возможность удобных интервалов дозирования, например, раз в неделю
- Между 24 и 504 часами после инъекции выведение является в основном первого порядка с периодом полужизни примерно от 6 до 8 дней, снова показывая возможность для дозирования, например, раз в неделю

**Таблица 23.** Сывороточные концентрации 83A10-TCBcv после в/в лечения у яванских макак

83A10-TCBcv						
Конц. (нг/мл)	0,003 мг/кг в/в		0,03 мг/кг в/в		0,3 мг/кг в/в	
	A	B	C	D	E	F

До дозирова ния	0,00	0,00	0,00	0,00	0,00	0,00
30 мин	75,69	74,99	668,66	796,54	17207,20	14943,95
90 мин	70,92	74,56	951,81	628,72	12831,54	16248,97
180 мин	76,54	62,55	981,42	722,27	10653,28	6824,72
7 ч	53,17	77,39	700,67	972,38	8204,77	4560,36
24 ч	33,16	50,41	358,90	532,11	4609,28	4127,41
48 ч	26,05	37,40	279,80	433,30	3546,09	2700,43
96 ч	17,28	19,52	226,01	429,80	1959,96	2006,92
168 ч	17,33	15,87	55,58	365,67	1918,06	1382,57
336 ч	11,21	4,43	102,94	153,54	1102,96	773,55
504 ч	4,33	BLQ	43,99	130,14	952,03	377,04

**Таблица 24.** Концентрации 83A10-TCBcv в костном мозге после однократного в/в введения у яванских макак

Конц. (нг/мл)	0,003 мг/кг		0,03 мг/кг		0,3 мг/кг	
	A	B	C	D	E	F
До дозирован ия	0,00	0,00	0,00	0,00	0,00	0,00
96 ч	25,07	37,15	179,87	469,08	3432,54	2674,70
336 ч	9,92	6,90	59,39	47,22	1987,48	850,87

Фармакодинамические (ФД) измерения: Образцы крови (моменты времени: до введения дозы, через 24, 48, 96, 168, 336, 504 часа после введения дозы) и образцы костного мозга (моменты времени: до введения дозы, через 96 и 336 часов после введения дозы) собирали в пробирки, содержащие 7,5% К3 ЭДТК для оценки ФД с помощью проточной цитометрии, чтобы оценить эффект 83A10-TCBcv, предоставляемого в/в виде однократной дозы, на плазматические клетки крови и костного мозга, В-лимфоциты и Т-лимфоциты. Был применен способ прямого иммунофлуоресцентного окрашивания «лизис и промывка» поверхностных маркеров. Вкратце, 100 мкл крови или костного мозга инкубировали с двумя смесями антител, включая CD45/CD2/CD16/CD20/CD27/CD38 или CD45/CD2/CD16/CD4/CD25/CD8 в темноте в течение 30 минут при +4°C. Для лизиса эритроцитов к образцу добавляли 2 мл лизирующего буферного раствора и инкубировали 15 мин при комнатной температуре в темноте. Клетки собирали центрифугированием и промывали окрашивающим буфером (ФСБ 2% фетальная

бычья сыворотка). Окрашенные образцы хранили в холодильнике, защищали от света до обнаружения в цитометре в тот же день. Сбор данных FACS выполняли с помощью проточного цитометра Becton Dickinson, оснащенного 488 и 635 лазерными линиями, BD FACS Canto II. Программное обеспечение BD FACSDiva использовалось для сбора и анализа данных. Подсчет абсолютного числа клеток проводили с двойной платформой, исходя из подсчета WBC, полученном гематологическим анализатором (ADVIA™ 120, Siemens). Как показано на Фиг. 13, перераспределение периферических Т-лимфоцитов наблюдалось у всех животных, получавших однократную внутривенную дозу 83A10-TCBcv, что отображено уменьшением количества циркулирующих Т-лимфоцитов. Как показано на Фиг. 14А, уже через 24 ч после обработки с помощью 83A10-TCBcv 0,3 мг/кг наблюдалось снижение количества плазматических клеток крови (ВСМА-положительных клеток) у животных, получавших лечение, в то же время не наблюдали снижение общего количества В-лимфоцитов (ВСМА-отрицательные клетки). На Фиг. 14б показана кинетика уменьшения плазматических клеток в крови после обработки 0,3 мг/кг 83A10-TCBcv у яванских макак.

Образцы крови также обрабатывали для сбора плазмы для анализа цитокинов (ИЛ-1 $\beta$ , ИЛ-2, ИЛ-6, ИЛ-10, ФНО- $\alpha$  и ИНФ- $\gamma$ ) в соответствии со следующей схемой сбора: до введения дозы, 30, 90, 180 мин, 7, 24, 48, 96, 168 ч после введения дозы. Образцы крови помещали в пластиковые пробирки, удерживали в бане с ледяной водой, затем центрифугировали (по меньшей мере, 10 мин, 1200 г, +4° С). Полученную плазму хранили непосредственно при -80 °С до анализа. Анализ цитокинов проводили с помощью мультиплексного иммуноанализа цитокинов на основе гранул Multiplex (Luminex Technology). Данные анализировали с использованием программного обеспечения Bio-Plex Manager 4.1 (Bio-Rad): использовалась пятипараметрическая модель логистической регрессии (5PL).

b) В дополнительном исследовании, яванских макак обрабатывали 42-TCBcv или 22-TCBcv. Животные ( $n = 2$  в группе) получали однократную в/в (0,01; 0,1; 1,0 мг/кг) или п/к (0,01 и 0,1 мг/кг) инъекцию 42-TCBcv или однократную в/в инъекцию 22-TCBcv (0,1 мг/кг). Образцы крови и костного мозга отбирали в моменты времени в соответствии с установленным графиком сбора и обрабатывали соответствующим

образом для измерения ФК и ФД (иммунофенотипирование и продуцирование цитокинов).

Животные получали одну в/в или п/к инъекцию 42-TCBcv или 22-TCBcv (только в/в) и образцы крови в определенный момент времени собирали через периферическую вену для оценки ФК в соответствии со следующим графиком и процедурами сбора: до введения дозы, 30, 90, 180 мин, 7, 24, 48, 96, 168, 336, 504 ч после введения дозы. Образцы крови оставляли для свертывания в пробирках для отделения сыворотки на 60 мин при комнатной температуре. Сгусток осаждали центрифугированием (по меньшей мере 10 мин, 1200g, +4 °C). Полученную сыворотку (около 300 мкл) хранили непосредственно при -80 °C до дальнейшего анализа. Образцы костного мозга для оценки ФК также собирали с бедренной кости под наркозом/обезболивающей обработкой в соответствии с следующим графиком сбора: до введения дозы, через 96 и 336 ч после введения дозы. Образцы костного мозга оставляли для свертывания в пробирках для отделения сыворотки на 60 минут при комнатной температуре. Сгусток осаждали центрифугированием (по меньшей мере 10 мин, 1200g, +4 °C). Полученный костный мозг (около 1 мл) хранили непосредственно при -80 °C до дальнейшего анализа. Выполняли анализ и оценивание ФК данных. Стандартный не компартментный анализ проводили с использованием пакета Watson (v 7.4, Thermo Fisher Scientific Waltman, MA, США) или системы Phoenix WinNonlin (v. 6.3, Certara Company, США). Как показано на Фиг. 19 и в Таблице 24А-D, концентрации 42-TCBcv измеряли с помощью ИФА образцов сыворотки и образцов костного мозга, собранных в разные моменты времени после в/в или п/к инъекции. Диапазон эффективных концентраций 42-TCBcv в аспираатах костного мозга пациентов с множественной миеломой составляет от 10 пМ до 10 нМ (серая зона). Концентрации в скобках указаны в нМ. BLQ, ниже уровня количественного определения; н/и, неокончательное измерение.

**Таблица 24А.** Сывороточные концентрации 42-TCBcv после в/в лечения у яванских макак

42-TCBcv						
Конц. (нг/мл)	0,01 мг/кг в/в		0,1 мг/кг в/в		1,0 мг/кг в/в	
	Самцы	Самки	Самцы	Самки	Самцы	Самки

До дозирован ия	BLQ	BLQ	н/и	BLQ	BLQ	BLQ
30 мин	468,57	613,44	4720,33	4506,64	41939,31	32677,23
90 мин	333,09	427,16	4284,66	3214,61	30889,73	103925,73
180 мин	392,37	422,36	4336,89	2865,36	29201,69	36157,78
7 ч	421,96	356,34	4028,47	3070,84	25064,81	29962,62
24 ч	242,64	305,74	2996,24	2321,66	19365,86	23656,65
48 ч	н/и	192,97	2595,62	1781,91	20539,59	13523,68
96 ч	128,50	148,02	2153,34	1277,02	13147,09	12755,58
168 ч	51,13	72,64	1388,24	948,31	6189,79	3952,05
336 ч	27,68	13,03	195,51	190,87	5337,85	54,15
504 ч	18,17	8,04	275,93	13,96	3678,69	37,88

**Таблица 24В.** Концентрации 42-TCBсv в костном мозге после однократного в/в введения у яванских макак

42-TCBсv						
Конц. (нг/мл)	0,01 мг/кг в/в		0,1 мг/кг в/в		1,0 мг/кг в/в	
	Самки	Самцы	Самки	Самки	Самцы	Самки
До дозирован ия	BLQ	BLQ	406,99	BLQ	BLQ	BLQ
96 ч	54,39	130,03	956,56	1022,87	4089,88	4339,33
336 ч	27,23	18,49	227,20	170,34	3705,74	62,44

**Таблица 24С.** Сывороточные концентрации 42-TCBсv после п/к лечения у яванских макак

42-TCBсv				
Конц. (нг/мл)	0,01 мг/кг п/к		0,1 мг/кг п/к	
	Самцы	Самки	Самцы	Самки
До дозирования	4,76	12,41	BLQ	BLQ
30 мин	8,25	12,51	25,11	14,62
90 мин	16,38	22,71	140,73	145,39
180 мин	23,75	48,51	334,95	269,66
7 ч	37,46	63,48	836,86	565,10
24 ч	68,15	115,31	2100,42	904,22
48 ч	116,63	118,03	1956,60	1111,06
96 ч	150,77	120,62	1810,13	1817,52
168 ч	106,28	98,64	1192,65	1653,26
336 ч	67,02	46,21	482,39	571,04
504 ч	25,69	31,99	4,08	83,91

**Таблица 24D.** Концентрации 42-TCBсv в костном мозге после однократного п/к введения у яванских макак

42-TCBсv				
Конц. (нг/мл)	0,01 мг/кг п/к		0,1 мг/кг п/к	
	Самки	Самцы	Самки	Самки
До дозирования			BLQ	BLQ
	5,59	10,70		
96 ч	109,88	73,93	1064,66	1066,79
336 ч	29,35	48,78	518,40	906,48

Результаты из Таблиц 24А и 24С показывают привлекательный профиль сывороточной концентрации, подходящий для лечения один раз в неделю или даже один раз в две недели с помощью 42-TCBсv. Была определена площадь под кривой (AUC) для сывороточных концентраций после в/в и п/к введений, сравнение значений AUC показало высокую биодоступность, близкую к 100%, при п/к инъекции 42-TCBсv. Кроме того, результаты показывают, что концентрация 42-TCBсv в костном мозге весьма подобна концентрации 42-TCBсv в сыворотке. Концентрации 42-TCBсv в сыворотке могут хорошо отображать концентрации 42-TCBсv, доступные

в костном мозге, то есть в основном месте, где образовываются миеломные опухолевые клетки.

Фармакодинамические (ФД) измерения представляют собой ценную информацию, подкрепляющую измерения ФК. Были выполнены дополнительные ФД параметры. CD20<sup>+</sup> В лимфоциты яванского макака, полученные из крови, также экспрессируют BCMA на клеточной поверхности и встречаются значительно чаще (более высокое абсолютное число), чем плазматические клетки в крови. Деплетирование В-лимфоцитов крови использовали в качестве надежного фармакодинамического эффекта анти-BCMA/анти-CD3 TCBcv антител и для сравнения эффективности *in vivo* между 83A10-TCBcv, 42-TCBcv и 22-TCBcv. Абсолютное количество В-лимфоцитов рассчитывали на основе двойной платформы, состоящей из проточной цитометрии и подсчета лейкоцитов, полученного с помощью гематологического анализатора, и измеренных в следующие моменты времени: до введения дозы, через 24 часа, 48 часов, 96 часов и 196 часов после 10-минутной в/в инфузии. Процент деплетирования В-лимфоцитов рассчитывали следующим образом:

$$= \frac{[\text{абсолютное количество В-лимфоцитов до введения дозы}] - [\text{абсолютное количество В-лимфоцитов в момент времени}]}{[\text{абсолютное количество В-лимфоцитов до введения дозы}]} * 100$$

**Таблица 24E:** Фармакодинамические эффекты анти-BCMA/анти-CD3 TCBcv антител: Деплетирование В-лимфоцитов

Время после в/в инъекции (часы)	Деплетирование В-лимфоцитов относительно количества до введения дозы (%)		
	83A10-TCBcv 0,3 мг/кг (n = 2)	42-TCBcv 0,1 мг/кг (n=2)	22-TCBcv 0,1 мг/кг (n=2)
24 ч	19,9 ± 0,21	91,4 ± 3,8	77,8 ± 3,7
48 ч	11,9 ± 17,6	88,8 ± 3,9	61,5 ± 9,8
96 ч	5,0 ± 10,8	93,0 ± 7,2	89,2 ± 4,8
168 ч	-0,23 ± 61,4	96,6 ± 3,5	91,9 ± 3,9

42-TCBcv и 22-TCBcv более эффективны, чем 83A10-TCBcv, для индукции деплетирования BCMA-экспрессирующих В-лимфоцитов у яванских макак после однократной в/в инъекции (смотрите Таблицу 24E). Поскольку данные три молекулы имеют одинаковую молекулярную структуру и связыватель CD3, различие в

эффективности у яванских макак может быть в основном связано с соответствующим антителом к BCMA.

Чтобы подтвердить, что деплелирование BCMA-экспрессирующих В-лимфоцитов у яванских макак после в/в инъекции является результатом механистического фармакодинамического эффекта анти-BCMA/анти-CD3 TCBcv антител, было измерено увеличение количества активированных CD8<sup>+</sup> цитотоксичных Т-лимфоцитов (т. е. эффекторных клеток) в костном мозге, обогащенном BCMA-положительными клетками (т. е. клетками-мишениями) через 4 дня (96 ч) и 3 недели (336 ч) после в/в инъекции. Абсолютное количество CD8<sup>+</sup> CD25<sup>+</sup> активированных Т-лимфоцитов было рассчитано на основе двойной платформы, состоящей из проточной цитометрии и подсчета лейкоцитов, выполненного с помощью гематологического анализатора.

**Таблица 24F:** Фармакодинамические эффекты анти-BCMA/анти-CD3 TCBcv антител: Увеличение количества CD8<sup>+</sup> CD25<sup>+</sup> активированных Т-лимфоцитов

Время после в/в инъекции (часы)	Увеличение количества CD8 <sup>+</sup> CD25 <sup>+</sup> активированных Т-лимфоцитов относительно количества до введения дозы (%)		
	83A10-TCBcv 0,3 мг/кг (n = 2)	42-TCBcv 0,1 мг/кг (n=2)	22-TCBcv 0,1 мг/кг (n=2)
96 ч	284 ± 244 %	585 ± 496 %	1449 ± 1715 %
336 ч	-0,9 ± 1,3%	110 ± 187 %	-6,6 ± 45,3 %

42-TCBcv и 22-TCBcv более эффективны, чем 83A10-TCBcv, для индукции активации Т-лимфоцитов у яванских макак после однократной в/в инъекции (смотрите Таблицу 24F). Поскольку данные три молекулы имеют одинаковую молекулярную структуру и связыватель CD3, различие в фармакодинамическом эффекте у яванских макак может быть в основном связано с соответствующим антителом к BCMA. Результаты показывают, что деплелирование BCMA-положительных В-лимфоцитов в костном мозге и в крови, скорее всего, является результатом активации цитотоксических Т-лимфоцитов, индуцированной анти-BCMA/анти-CD3 TCBcv антителами.

**Пример 17: Противоопухолевая активность, индуцированная биспецифичным анти-BCMA/анти-CD3 Т-лимфоцитов антителом в модели ксенотрансплантата**

**миеломы Н929 человека с использованием гуманизированных по МКПК мышей NOG.**

С длительным периодом полужизни Fc-содержащие анти-BCMA/анти-CD3 TCBcv антитела могут быть более эффективными, чем биспецифичные антитела на основе (scFv)<sub>2</sub>, такие как BCMA50-BiT<sup>®</sup>E, вводимые в эквимолярных дозах, по схеме один раз в неделю. Эффект *in vivo* 83A10-TCBcv и BCMA50-BiT<sup>®</sup>E (как описано в WO2013072415 и WO2013072406) сравнивался и оценивался в модели ксенотрансплантата миеломы Н929 человека у гуманизированных по МКПК мышей NOG. Мыши NOG являются подходящими моделями гуманизированных мышей, поскольку у них полностью отсутствуют иммунные клетки, включая резидентную популяцию NK-лимфоцитов, и поэтому они более восприимчивы к приживлению опухолевых человеческих ксеногенных клеток (Ito et al. Curr Top Microbiol Immunol 2008; 324: 53-76). Вкратце, в День 0 (Д0) исследования  $5 \times 10^6$  человеческих миеломных клеток линии NCI-H929 (NCI-H929, ATCC® CRL-9068™) в 100 мкл среды RPMI 1640, содержащей 50:50 матригеля (BD Biosciences, France), вводили подкожно (п/к) в правый дорсальный бок иммунодефицитных мышиных самок NOD/Shi-scid IL2rgamma(нуль) (NOG) в возрасте 8-10 недель (Taconic, Ry, Danemark). За 24-72 часа до п/к имплантации опухолевых клеток Н929 все мыши получали облучение всего тела  $\gamma$ -источником (1,44 Gy, <sup>60</sup>Co, BioMér, Бретенъер, Франция). На 15-й день (Д15) мыши NOG получали однократную внутрибрюшинную (в/б) инъекцию  $2 \times 10^7$  человеческих МКПК (в 500 мкл ФСБ 1Х pH 7,4). Охарактеризование МКПК человека было выполнено иммунофенотипированием (проточная цитометрия). Затем мышей внимательно рандомизировали в различные группы лечения и контроля ( $n = 9$ /группа) с использованием программного обеспечения Vivo manager<sup>®</sup> (Biosystemes, Couternon, Франция) и проводили статистический анализ (дисперсионный анализ) для проверки однородности между группами. Лечение антителами начинали в День 19 (Д19), то есть через 19 дней после п/к инъекции опухолевых клеток Н929, когда объем опухоли достигал по меньшей мере  $100-150 \text{ mm}^3$  у всех мышей, со средним объемом опухоли  $300 \pm 161 \text{ mm}^3$  для контрольной группы, обработанной носителем,  $315 \pm 148 \text{ mm}^3$  для группы, обработанной 2,6 нМ/кг контрольного TCB,  $293 \pm 135 \text{ mm}^3$  для группы 2,6 нМ/кг 83A10-TCBcv и  $307 \pm 138 \text{ mm}^3$  для группы 2,6 нМ/кг BCMA50-(scFv)<sub>2</sub> (BCMA50-BiT<sup>®</sup>E). Схема

лечения антителом TCB основывалась на фармакокинетических результатах, ранее полученных с помощью 83A10-TCBcv, и состояла из в/в введения один раз в неделю в течение вплоть до 3 недель (т. е. всего 3 инъекции антитела TCB). Через четыре дня после восполнения мышей-хозяев человеческими МКПК (Д19) вводили первую дозу анти-BCMA/анти-CD3 83A10-TCBcv антитела (2,6 нМ/кг, соответственно, 0,5 мг/кг) путем инъекции в хвостовую вену. Образцы крови отбирали путем пункции яремной/нижнечелюстной вены (под анестезией) за 1 ч до каждой обработки, за 2 ч до второй обработки и по окончании у мышей из всех групп, получавших 83A10-TCBcv и контрольное TCBcv. Образцы крови немедленно переносили в пробирки, содержащие активатор свертывания (пробирки Т MG, вишнево-красный верх, Cariject®, Terumo®). Пробирки оставляли при комнатной температуре на 30 мин, чтобы обеспечить свертывание. Затем пробирки центрифугировали при 1300 г в течение 5 минут для отделения сгустка от сыворотки. Готовили аликовоты сыворотки, мгновенно замораживали в жидким азоте и хранили при -80 °С до дополнительного анализа. Объем опухоли (ОО) измеряли штангенциркулем во время исследования, а прогресс оценивали путем межгруппового сравнения ОО. Процент роста опухоли, обозначенный как РО (%), определяли путем вычисления  $\text{РО} (\%) = 100 \times (\text{медианное значение ОО анализируемой группы}) / (\text{медианное значение ОО контрольной группы, получавшей носитель})$ . По этическим причинам мышей умерщвляли, когда ОО достигал по меньшей мере 2000 мм<sup>3</sup>. На Фиг. 15 показан ОО для каждой отдельной мыши в экспериментальной группе: (А) контрольные группы, включающие контроль в виде носителя (цельная линия) и контрольного TCB (пунктирная линия), (В) группа 83A10-TCBcv (2,6 нМ/кг) и (С) BCMA50-BiT<sup>®</sup> (2,6 нМ/кг). В группе 83A10-TCBcv (2,6 нМ/кг) у 6 из 9 мышей (67%) опухоль регрессировала даже ниже ОО, записанного в Д19, то есть первое лечение TCB и регрессия опухоли сохранялись до прекращения исследования. Три мыши в группе, обработанной 83A10-TCBcv (2,6 нМ/кг), которые не продемонстрировали регрессию опухоли, имели ОО, составляющие 376, 402 и 522 мм<sup>3</sup> соответственно в Д19. Напротив, ни у одной из 9 мышей (0%), получавших эквимолярную дозу BCMA50-BiT<sup>®</sup> (2,6 нМ/кг) по схеме один раз в неделю в течение 3 недель, не наблюдали регрессии опухоли в какой-либо момент времени. Таблица 25 показывает прогрессирование объемов опухоли с течением времени во всех экспериментальных группах. Процент роста опухоли рассчитывали для Д19-Д43 и

сравнивали между группой 83A10-TCBcv (2,6 нМ/кг) и BCMA50-BiT<sup>®</sup> (2,6 нМ/кг) (Фиг. 16). Результаты демонстрируют что РО (%) постепенно и значительно снижался в группе 83A10-TCBcv (2,6 нМ/кг), а также РО (%) всегда был ниже по сравнению с BCMA50-BiT<sup>®</sup> (2,6 нМ/кг). В Таблице 26 показан медианный объем опухоли (ОО) и процент роста опухоли (РО (%)) в дни с 19 по 43. Общие результаты четко продемонстрировали, что 83A10-TCBcv превосходит BCMA50-BiT<sup>®</sup> по индукции противоопухолевой активности *in vivo*, когда лечение назначается в эквимолярной дозе один раз в неделю в течение 3 недель.

**Таблица 25.** Прогрессирование объемов опухоли с течением времени у мышей из контрольной группы носителя и мышей, получавших эквимолярные дозы контрольного TCB, 83A10-TCBcv и BCMA50-(scFv)<sub>2</sub> (BCMA50-BiT<sup>®</sup>)

Объем опухоли (мм <sup>3</sup> )	Группа А с контролем в виде носителя										
	A1	A2	A3	A4	A5	A6	A7	A8	A9	Среднее	CO
День 5	95	58	63	71	63	68	67	65	36	65	15
День 8	70	61	71	70	56	68	74	70	49	66	8
День 12	66	65	53	50	57	58	60	59	56	58	5
День 15	101	95	131	80	61	65	89	37	161	91	37
День 19	333	327	566	123	197	191	444	92	427	300	161
День 23	565	481	1105	470	310	309	517	281	581	513	249
День 27	1071	877	1989	823	560	675	1089	530	870	943	440
День 30	1870	1129	x	419,2	867	1060	1368	673	1331	1090	450
День 34	x	1653		507	1056	1521	1805	1008	2042	1370	535
День 37		2140		2043	1309	2017	2394	1267	x	1862	464
День 40		x		x	1592	x	x	1346		1469	174
День 43					1548			1994		1771	314
День 47					x			x			
День 51											

Объем опухоли (мм <sup>3</sup> )	Группа В 2,6 нМ/кг контрольного ТСВ										
	B1	B2	B3	B4	B5	B6	B7	B8	B9	Среднее	CO
День 5	68	65	84	83	46	63	73	74	67	69	11
День 8	55	64	54	73	60	103	56	55	76	66	16
День 12	45	92	73	76	83	78	103	69	76	77	16
День 15	72	169	64	99	69	150	223	115	88	117	54
День 19	257	334	71	318	268	460	602	236	285	315	148
День 23	430	773	95	444	553	738	808	381	461	520	227
День 27	924	1252	232	780	768	1009	915	606	630	791	289
День 30	1191	1714	326	867	1230	1349	1118	817	783	1044	398
День 34	1684	x	592	1466	1660	1954	1765	1180	576	1359	529
День 37	2522		597	1735	1105	x	x	1402	861	1370	691
День 40	x		978	2388	1952			2277	1365	1792	604
День 43			1302	x	x			x	1895	1599	419
День 47			2346						2373	2359	19
День 51			x						x		

Объем опухоли (мм <sup>3</sup> )	Группа С 2,6 нМ/кг 83A10-TCBсv										
	C1	C2	C3	C4	C5	C6	C7	C8	C9	Среднее	CO
День 5	78	79	55	77	53	47	39	53	60	60	15
День 8	69	37	67	75	62	59	59	77	75	64	12
День 12	58	61	60	69	48	59	46	63	87	61	12
День 15	136	41	61	138	48	57	76	71	217	94	58
День 19	376	151	238	522	154	133	377	287	402	293	135
День 23	656	322	375	847	311	249	642	395	681	498	210
День 27	1119	376	443	1400	253	253	678	371	1166	673	441
День 30	1607	187	260	1975	88	113	219	191	1590	692	783
День 34	2143	68	100	x	34	54	63	53	2429	618	1033
День 37	x	41	44		43	34	34	35	x	38	5
День 40		64	40		43	38	32	39		43	11
День 43		40	43		33	24	32	25		33	8
День 47		14	21		16	12	19	14		16	3
День 51		15	30		20	20	15	18		20	6

Объем опухоли (мм <sup>3</sup> )	Группа D 2,6 нМ/кг BCMA50-(scFv) <sub>2</sub> (BCMA50-BiT <small>E</small> ®)										
	D1	D2	D3	D4	D5	D6	D7	D8	D9	Среднее	CO
День 5	75	92	78	86	57	91	74	58	62	75	13
День 8	51	87	61	99	70	88	90	73	71	77	15
День 12	70	73	63	76	84	76	85	58	113	78	16
День 15	142	72	61	128	87	77	121	60	188	104	44
День 19	232	212	81	474	303	260	360	304	539	307	138
День 23	560	483	121	811	665	408	654	457	1115	586	278
День 27	827	879	216	1224	1092	732	886	908	1526	921	359
День 30	1026	1414	227	1476	1373	1256	1210	1228	2433	1294	567
День 34	1368	1855	418	2185	1734	1936	1465	1645	x	1576	535
День 37	1691	2754	599		2542		2102	2062		1958	765
День 40	2764	x	706		x		x	x		1735	1455
День 43	x		807							807	н/д
День 47			x								
День 51											

**Таблица 26.** Средний объем опухоли (ОО) и процент роста опухоли (РО (%)) в дни 19-43: 83A10-TCBcv по сравнению с BCMA50-BiTÈ®.

Ингиби- рование роста опухоли РО <sub>инг</sub> (%)	Контроль в виде обработки носителем		83A10-TCBcv 2,6 нМ/кг		BCMA50- BiTE® 2,6 нМ/кг		Контрольное TCB 2,6 нМ/кг	
	Медиа- нное значе- ние ОО	РО (%)	Медиа- нное значе- ние ОО	РО (%)	Медиа- нное значе- ние ОО	РО (%)	Медиа- нное значе- ние ОО	РО (%)
День 19	327	100	287	87,8	303	92,7	285	87,2
День 23	481	100	395	82,1	560	116,4	461	95,8
День 27	870	100	443	50,9	886	101,8	780	89,7
День 30	1094,5	100	219	20,0	1256	114,8	1118	102,1
День 34	1521	100	65,5	4,3	1689,5	111,1	1563	102,8
День 37	2030	100	38	1,9	2082	102,6	1253,5	61,7
День 40	1469	100	39,5	2,7	1735	118,1	1952	132,9
День 43	1771	100	32,5	1,8	807	45,6	1598,5	90,3
День 47	/	/	15	/	/	/	2359,5	/
День 51	/	/	19	/	/	/	/	/

**Пример 19:** Перенаправленная цитотоксичность Т-лимфоцитов на плазматические клетки из мононуклеарных клеток периферической крови или аспиратов костного мозга пациента с плазмоклеточным лейкозом (ПКЛ) в присутствии аутологичных Т-лимфоцитов, индуцированных биспецифичными анти-BCMA/анти-CD3 Т-лимфоцитов антителами, по данным проточной цитометрии

Плазмоклеточный лейкоз (ПКЛ) представляет собой лейкозный вариант миеломы, возникающей либо *de novo*, либо из клинически существовавшей множественной миеломы (ММ). Текущие доступные методы лечения довольно ограничены и состоят в основном из комбинаций препаратов для ММ и химиотерапии. До настоящего времени не было зарегистрировано какой-либо терапии для этого чрезвычайно агрессивного и смертельного заболевания. BCMA играет важную роль в выживании нормальных плазматических клеток, и биспецифичные анти-BCMA/анти-CD3 Т-лимфоцитов антитела можно использовать для лечения плазмоклеточного лейкоза у пациента, страдающего указанным заболеванием. Свежесобранные

мононуклеарные клетки периферической крови (МКПК) из образцов пациентов с плазмоклеточным лейкозом, содержащих > 80% плазматических клеток при большом количестве лейкоцитов, выделяют с помощью градиента плотности с использованием фиколла или других сопоставимых способов, и инкубируют в течение 24 часов и 48 часов с концентрациями биспецифичных анти-BCMA/анти-CD3 Т-лимфоцитов антител или контрольных антител от 0,1 нМ до 30 нМ при 37 °C в атмосфере увлажненного воздуха. В качестве образцов также могут быть использованы аспираты цельного костного мозга из пациентов с плазмоклеточным лейкозом. Каждая доза проанализирована в трех повторностях. Апоптоз определяют путем окрашивания аннексином/пропидий йодидом всей популяции и CD138-положительных клеток на FACSCalibur с использованием программного обеспечения Diva (BD). Жизнеспособность плазматических клеток и всей популяции МКПК исследуют с помощью пропидий йодида/двойного окрашивания CD138-FITC с использованием проточной цитометрии (FACSCalibur; Becton Dickinson). Анализ данных выполняют с использованием программного обеспечения FACSDiva (Becton Dickinson). Средние значения нормализованы по средним значениям трех повторностей соответствующего контроля в виде среды (МС). Для статистического анализа используется односторонний критерий Стьюдента. Максимальное ингибирование роста клеток ПКЛ при концентрации 10 нМ (IMAX10) и ингибирование, измеренное при 1 нМ (IMAX1), соответственно, даны в процентах, как указано по отношению к контролю-среде. Также измеряют максимальное ингибирование контрольного антитела TCB (10 или 30 нМ) по сравнению с контролем-средом. Расчеты проводились с использованием R 3.1.19 и Bioconductor 2.1310, но для расчета значений IMAX (Microsoft Excel®; Microsoft Office Professional 2013). Эффект считался статистически значимым, если значение Р его соответствующего статистического теста составляло <5% (\*), <1% (\*\*) или <0,1% (\*\*). Экспрессию BCMA также измеряли на плазматических клетках CD138<sup>+</sup> МКПК из образцов пациентов с плазмоклеточным лейкозом, а также определяли соотношение эффекторных клеток к опухолевым клеткам (Е:Т). Как показано на Фиг. 20, результаты четко демонстрируют, что в двух образцах пациентов с плазмоклеточным лейкозом значительно уменьшилось количество жизнеспособных клеток плазмоклеточного лейкоза в костном мозге с помощью 42-TCBcv (то есть

увеличился лизис клеток плазмоклеточного лейкоза в костном мозге) по сравнению с контролем-средой. Таблица 27 демонстрирует процент максимального ингибирования клеток плазмоклеточного лейкоза из аспиратов костного мозга пациента или периферической крови, индуцированного 10 нМ (IMAX10) и 1 нМ (IMAX1) биспецифичных анти-BCMA/анти-CD3 Т-лимфоцитов антител относительно контроля-среды. Результаты демонстрируют, что 42-TCBcv является очень эффективным средством для индукции гибели клеток плазмоклеточного лейкоза костного мозга пациента. Несмотря на специфический лизис клеток плазмоклеточного лейкоза костного мозга, индуцированный биспецифичными анти-BCMA/анти-CD3 Т-лимфоцитами антителами, и исследованных образцов костного мозга (пациент 1 ПКЛ), микросреда костного мозга (BMME) не была затронута в соответствующих образцах (данные не показано).

Уничтожение с помощью EM901 злокачественных плазматических клеток у пациентов с ПКЛ является эффективным. Но, по меньшей мере, в одном из двух образцов пациентов, исследованных при самой высокой концентрации 10 нМ, уничтожение составляло только немного выше 50%. Эксперименты с комбинациями EM901 либо с талидомидами, либо с антителами PD-1 или PD-L1, либо с анти-CD38 антителами покажут потенциальную пользу таких комбинаций, например, как более высокий процент (%) уничтожения, например, с 10 нМ или другими концентрациями EM901.

**Таблица 27.** Значения IMAX10 и IMAX1 в отношении максимального ингибирования роста клеток плазмоклеточного лейкоза при 10 нМ IMAX10 и ингибирования при 1 нМ IMAX1 исходя из количества пропидий йодид-отрицательных жизнеспособных клеток плазмоклеточного лейкоза из аспиратов костного мозга пациентов в присутствии биспецифичных анти-BCMA/анти-CD3 Т-лимфоцитов антител.

Образец пациента №	42-TCBcv		Контр. TCB
	IMAX10 (%)	IMAX1 (%)	IMAX10 (%)
1	99,6	88,2	-2,7
2	~60,0	~40,0	~8,0

**Пример 20:** Перенаправленная цитотоксичность Т-лимфоцитов на плазматические клетки костного мозга пациентов с первичным амилоидозом (амилоидоз AL - амилоидоз с легкоцепочечным амилоидом) в присутствии

**аутологичных Т-лимфоцитов, индуцированных биспецифичными анти-BCMA/анти-CD3 Т-лимфоцитов антителами, по данным проточной цитометрии**

Первичный амилоидоз является редким заболеванием, вызванным нарушением костного мозга, которое обычно поражает людей в возрасте 50-80 лет, причем две трети пациентов являются мужчинами. Первичный амилоидоз выражается в аномальном продуцировании белка антител / иммуноглобулинов плазматическими клетками. При первичном амилоидозе легкие цепи (LC) антитела неправильно свернуты, и в результате чего аномальный LC неправильно свернутый белок формирует амилоид. Эти неправильно свернутые амилоидные белки откладывются в тканях, нервах и органах, или возле них. Поскольку амилоид накапливается в органе, нерве или ткани, он постепенно наносит ущерб и влияет на их функцию. У пациентов с первичным амилоидозом часто поражаются больше чем одним орган. Поскольку BCMA играет существенную роль в выживании нормальных плазматических клеток, является весьма обоснованной оценка влияние биспецифичных анти-BCMA/анти-CD3 Т-лимфоцитов антител на уничтожение плазматических клеток при первичном амилоидозе. Свежеотобранные образцы/аспираты цельного костного мозга пациентов с первичным амилоидозом либо прямо подвергали воздействию анти-BCMA/анти-CD3 TCB антител, либо окрашивали магнитными микрогранулами CD138 (Miltenyi Biotec, Bergisch Gladbach, Германия), пропускали через колонку для разделения клеток autoMACS, и собранные фракции с достаточным оставшимся количеством плазматических клеток первичного амилоидоза, составляющим обычно >4%, использовали в дополнительных экспериментах. В 24-луночных плашках, 500000 клеток/лунка инкубировали и культивировали в течение 48 часов. Разведения анти-BCMA/анти-CD3 TCB антител и контрольного антитела добавляли в соответствующие лунки до конечной концентрации TCB от 0,1 пМ до 30 нМ. Каждая доза проанализирована в трех повторностях. Жизнеспособность плазматических клеток и клеток микроокружения костного мозга исследовали с помощью двойного окрашивания пропидий йодидом/CD138-FITC с использованием проточной цитометрии (FACSCalibur; Becton Dickinson). Анализ данных выполняют с использованием программного обеспечения FACSDiva (Becton Dickinson). Кроме того, комбинации EM901 с талидомидами, или анти-PD-1 антителами, или анти-PD-L1 антителами,

или анти-CD38 антителами, тестировали в тех же экспериментальных условиях. Испытывали различные концентрации EM901, а также партнеров по комбинации. Средние значения нормализованы по средним значениям трех повторностей соответствующего контроля в виде среды (МС). Для статистического анализа используется односторонний критерий Стьюдента. Максимальное ингибиование роста клеток ПКЛ при концентрации 10 нМ (IMAX10) и ингибиование, измеренное при 1 нМ (IMAX1), соответственно, даны в процентах, как указано по отношению к контролю-среде. Также измеряют максимальное ингибиование контрольного антитела TCB (10 или 30 нМ) по сравнению с контролем-средом. Те же значения также определяются из результатов, полученных для комбинаций, например, максимальное ингибиование, например, 10 нМ EM9091 в присутствии x нМ, например, леналидомида и т. д. Расчеты проводились с использованием R 3.1.19 и Bioconductor 2.1310, но для расчета значений IMAX (Microsoft Excel®; Microsoft Office Professional 2013). Эффект считался статистически значимым, если значение Р его соответствующего статистического теста составляло <5% (\*), <1% (\*\*) или <0,1% (\*\*\*) . Экспрессию BCMA также измеряли на CD138<sup>+</sup> плазматических клетках костного мозга из образцов пациентов с первичным амилоидозом, а также определяли соотношение эффекторных клеток к опухолевым клеткам (Е:Т).

**Пример 21: Комбинированное применение биспецифичного анти-BCMA/анти-CD3 Т-лимфоцитов антитела с иммунотерапевтическим лекарственным средством**

Биспецифичное анти-BCMA/анти-CD3 Т-лимфоцитов антитело (а именно, 83A10-TCBcv или 42-TCBcv) комбинировали с тремя лекарственными средствами, представляющими различные виды иммунотерапии: леналидомидом, анти-PD-1 антителом и анти-CD38 антителом даратумумабом. Клетки H929 MM совместно культивировали с лейкоцитами человека из здоровых доноров ( $n = 1$  или 5) в среде RPMI-1640 с добавлением 10% ФБС, 0,5% гентамицина и 1% L-глутамина при 37 °C в увлажненном 5%-ном CO<sub>2</sub>-инкубаторе, и подвергали воздействию субоптимальных концентраций 83A10-TCBcv (10 пМ) ( $n = 5$ ) или 42-TCBcv (10 пМ) ( $n = 1$ ) отдельно или в комбинации с леналидомидом (1 мкМ), анти-PD-1 антителом (10 мкг/мл) и анти-CD38 антителом даратумумабом (10 мкг/мл). Как показано на Фиг. 21А, комбинирование 83A10-TCBcv с леналидомидом или даратумумабом значительно увеличивало их анти-MM эффективность в 4 и 2,5 раза соответственно. На Фиг. 21В

и в Таблице 28 показан процент лизиса клеток ММ, когда клетки Н929 и лейкоциты из одного здорового донора подвергались воздействию 42-TCBcv (10 пМ) в комбинации с леналидомидом (1 мкМ), анти-PD-1 антителом (10 мкг/мл) и анти-CD38 антителом дарatumумабом (10 мкг/мл) в течение 48 ч культивирования. Комбинирование 42-TCBcv с леналидомидом или дарatumумабом также увеличивало их анти-ММ эффективность в уничтожении клеточных линий ММ.

**Таблица 28.** Лизис клеток ММ с анти-BCMA/анти-CD3 TCB отдельно или в комбинации с леналидомидом, анти-PD-1 антителом или анти-CD38 антителом дарatumумабом: пример с донором 1.

Донор 1		
Только 42-TCBcv (10 пМ)	6,74%	
<b>Комбинация с 42-TCBcv:</b>	<b>без TCB</b>	<b>с TCB</b>
Дарatumумаб (10 мкг/мл)	33,06%	42,29%
леналидомид (1 мкМ)	-1,78%	13,27%
Анти-PD-1	20,26%	23,56%

**Пример 22: Комбинированное применение *in vivo* биспецифичного анти-BCMA/анти-CD3 Т-лимфоцитов антитела с анти-PD-1 или анти-PD-L1 антителом**  
Аддитивную или синергетическую комбинацию анти-BCMA/анти-CD3 TCB с антителом, чтобы блокировать путь PD-1/PD-L1 (либо с анти-PD-1 антителом, либо с анти-PD-L1 антителом) и ингибировать нисходящую модуляцию ответов Т-лимфоцитов при взаимодействии PD-L1 с его рецептором PD-1 на Т-лимфоцитах, можно оптимально наблюдать в условиях *in vivo*, таких как модель ксенотрансплантата ММ или мышьяная модель ММ, вместо наблюдения *in vitro*. Вкратце, в День 0 (Д0) исследования  $5 \times 10^6$  человеческих миеломных клеток линии NCI-H929 (NCI-H929, ATCC® CRL-9068™) в 100 мкл среды RPMI 1640, содержащей 50:50 матригеля (BD Biosciences, Франция), вводили подкожно (п/к) в правый дорсальный бок иммунодефицитных мышиных самок NOD/Shi-scid IL2rgamma(нуль) (NOG) в возрасте 8-10 недель (Taconic, Ry, Дания). На 15-й день (Д15) мыши NOG получали однократную внутрибрюшинную (в/б) инъекцию  $2 \times 10^7$  человеческих МКПК (в 500 мкл ФСБ 1Х рН 7,4). Охарактеризование МКПК человека было выполнено иммунофенотипированием (проточная цитометрия). Мышей затем тщательно рандомизировали в различные группы лечения и контроля ( $n = 9$ /группа) и проводили статистический анализ (дисперсионный анализ) для проверки

однородности между группами. Лечение антителами начинали в День 19 (Д19), то есть через 19 дней после п/к инъекции опухолевых клеток Н929, когда объем опухоли достигал по меньшей мере 100-150  $\text{мм}^3$  у всех мышей. Схема лечения антителом ТСВ основывалась на фармакокинетических результатах, ранее полученных с помощью анти-BCMA/анти-CD3 ТСВ, и состояла из в/в введения один раз в неделю в течение вплоть до 3 недель (т. е. всего 3 инъекции антитела ТСВ). Через два-четыре дня после восполнения мышей-хозяев человеческими МКПК (Д19) вводили первую еженедельную дозу только анти-BCMA/анти-CD3 антитела (доза от 0,1 до 0,5 мг/кг) путем инъекции в хвостовую вену, или в комбинации с анти-PD-L1 антителом, также вводимым один раз в неделю (доза от 1 до 10 мг/кг). Объем опухоли (ОО) измеряли штангенциркулем во время исследования, а прогресс оценивали путем межгруппового сравнения ОО. Процент роста опухоли, обозначенный как РО (%), определяли путем вычисления  $\text{РО} (\%) = 100 \times (\text{медианное значение ОО анализируемой группы}) / (\text{медианное значение ОО контрольной группы, получавшей носитель})$ .

ПЕРЕЧЕНЬ ПОСЛЕДОВАТЕЛЬНОСТЕЙ

<110> ENGMAB SARL

<120> БИСПЕЦИФИЧНОЕ АНТИТЕЛО К ВСМА И CD3, И ИММУНОЛОГИЧЕСКОЕ ЛЕКАРСТВЕННОЕ СРЕДСТВО ДЛЯ КОМБИНИРОВАННОГО ПРИМЕНЕНИЯ В ЛЕЧЕНИИ МНОЖЕСТВЕННОЙ МИЕЛОМЫ

<130> P48249WO

<150> EP16196874.8

<151> 2016-11-02

<160> 57

<170> BiSSAP 1.3

<210> 1

<211> 5

<212> Белок

<213> Mus musculus

<400> 1

Thr Tyr Ala Met Asn

1 5

<210> 2

<211> 19

<212> Белок

<213> Mus musculus

<400> 2

Arg Ile Arg Ser Lys Tyr Asn Asn Tyr Ala Thr Tyr Tyr Ala Asp Ser

1 5 10 15

Val Lys Gly

<210> 3

<211> 14

<212> Белок

<213> Mus musculus

<400> 3

His Gly Asn Phe Gly Asn Ser Tyr Val Ser Trp Phe Ala Tyr

1 5 10

<210> 4

<211> 14

<212> Белок

<213> Mus musculus

<400> 4

Gly Ser Ser Thr Gly Ala Val Thr Thr Ser Asn Tyr Ala Asn

1 5 10

<210> 5

<211> 7

<212> Белок

<213> Mus musculus

<400> 5

Gly Thr Asn Lys Arg Ala Pro

1 5

<210> 6

<211> 9  
<212> Белок  
<213> Mus musculus

<400> 6  
Ala Leu Trp Tyr Ser Asn Leu Trp Val  
1 5

<210> 7  
<211> 125  
<212> Белок  
<213> Mus musculus

<400> 7  
Glu Val Gln Leu Leu Glu Ser Gly Gly Leu Val Gln Pro Gly Gly  
1 5 10 15  
Ser Leu Arg Leu Ser Cys Ala Ala Ser Gly Phe Thr Phe Ser Thr Tyr  
20 25 30  
Ala Met Asn Trp Val Arg Gln Ala Pro Gly Lys Gly Leu Glu Trp Val  
35 40 45  
Ser Arg Ile Arg Ser Lys Tyr Asn Asn Tyr Ala Thr Tyr Tyr Ala Asp  
50 55 60  
Ser Val Lys Gly Arg Phe Thr Ile Ser Arg Asp Asp Ser Lys Asn Thr  
65 70 75 80  
Leu Tyr Leu Gln Met Asn Ser Leu Arg Ala Glu Asp Thr Ala Val Tyr  
85 90 95  
Tyr Cys Val Arg His Gly Asn Phe Gly Asn Ser Tyr Val Ser Trp Phe  
100 105 110  
Ala Tyr Trp Gly Gln Gly Thr Leu Val Thr Val Ser Ser  
115 120 125

<210> 8  
<211> 109  
<212> Белок  
<213> Mus musculus

<400> 8  
Gln Ala Val Val Thr Gln Glu Pro Ser Leu Thr Val Ser Pro Gly Gly  
1 5 10 15  
Thr Val Thr Leu Thr Cys Gly Ser Ser Thr Gly Ala Val Thr Thr Ser  
20 25 30  
Asn Tyr Ala Asn Trp Val Gln Glu Lys Pro Gly Gln Ala Phe Arg Gly  
35 40 45  
Leu Ile Gly Gly Thr Asn Lys Arg Ala Pro Gly Thr Pro Ala Arg Phe  
50 55 60  
Ser Gly Ser Leu Leu Gly Gly Lys Ala Ala Leu Thr Leu Ser Gly Ala  
65 70 75 80  
Gln Pro Glu Asp Glu Ala Glu Tyr Tyr Cys Ala Leu Trp Tyr Ser Asn  
85 90 95  
Leu Trp Val Phe Gly Gly Thr Lys Leu Thr Val Leu  
100 105

<210> 9  
<211> 116  
<212> Белок  
<213> Искусственная последовательность

<220>  
<223> Вариабельная область VH

<400> 9  
Glu Val Gln Leu Leu Glu Ser Gly Gly Leu Val Gln Pro Gly Gly  
1 5 10 15  
Ser Leu Arg Leu Ser Cys Ala Ala Ser Gly Phe Thr Phe Ser Ser Tyr

20 25 30  
Ala Met Ser Trp Val Arg Gln Ala Pro Gly Lys Gly Leu Glu Trp Val  
35 40 45  
Ser Ala Ile Ser Gly Ser Gly Ser Thr Tyr Tyr Ala Asp Ser Val  
50 55 60  
Lys Gly Arg Phe Thr Ile Ser Arg Asp Asn Ser Lys Asn Thr Leu Tyr  
65 70 75 80  
Leu Gln Met Asn Ser Leu Arg Ala Glu Asp Thr Ala Val Tyr Tyr Cys  
85 90 95  
Ala Lys Val Leu Gly Trp Phe Asp Tyr Trp Gly Gln Gly Thr Leu Val  
100 105 110  
Thr Val Ser Ser  
115

<210> 10

<211> 116

<212> Белок

<213> Искусственная последовательность

<220>

<223> Вариабельная область VH

<400> 10

Glu Val Gln Leu Leu Glu Ser Gly Gly Leu Val Gln Pro Gly Gly  
1 5 10 15  
Ser Leu Arg Leu Ser Cys Ala Ala Ser Gly Phe Thr Phe Ser Asp Asn  
20 25 30  
Ala Met Gly Trp Val Arg Gln Ala Pro Gly Lys Gly Leu Glu Trp Val  
35 40 45  
Ser Ala Ile Ser Gly Pro Gly Ser Ser Thr Tyr Tyr Ala Asp Ser Val  
50 55 60  
Lys Gly Arg Phe Thr Ile Ser Arg Asp Asn Ser Lys Asn Thr Leu Tyr  
65 70 75 80  
Leu Gln Met Asn Ser Leu Arg Ala Glu Asp Thr Ala Val Tyr Tyr Cys  
85 90 95  
Ala Lys Val Leu Gly Trp Phe Asp Tyr Trp Gly Gln Gly Thr Leu Val  
100 105 110  
Thr Val Ser Ser  
115

<210> 11

<211> 109

<212> Белок

<213> Искусственная последовательность

<220>

<223> Вариабельная область VL 83A10

<400> 11

Glu Ile Val Leu Thr Gln Ser Pro Gly Thr Leu Ser Leu Ser Pro Gly  
1 5 10 15  
Glu Arg Ala Thr Leu Ser Cys Arg Ala Ser Gln Ser Val Ser Ser Ser  
20 25 30  
Tyr Leu Ala Trp Tyr Gln Gln Lys Pro Gly Gln Ala Pro Arg Leu Leu  
35 40 45  
Ile Tyr Gly Ala Ser Ser Arg Ala Thr Gly Ile Pro Asp Arg Phe Ser  
50 55 60  
Gly Ser Gly Ser Gly Thr Asp Phe Thr Leu Thr Ile Ser Arg Leu Glu  
65 70 75 80  
Pro Glu Asp Phe Ala Val Tyr Tyr Cys Gln Gln Tyr Gly Tyr Pro Pro  
85 90 95  
Asp Phe Thr Phe Gly Gln Gly Thr Lys Val Glu Ile Lys  
100 105

<210> 12  
<211> 109  
<212> Белок  
<213> Искусственная последовательность

<220>  
<223> Вариабельная область VL

```

<400> 12
Glu Ile Val Leu Thr Gln Ser Pro Gly Thr Leu Ser Leu Ser Pro Gly
1           5           10          15
Glu Arg Ala Thr Leu Ser Cys Arg Ala Ser Gln Ser Val Ser Glu Tyr
20          25          30
Tyr Leu Ala Trp Tyr Gln Gln Lys Pro Gly Gln Ala Pro Arg Leu Leu
35          40          45
Ile Glu His Ala Ser Thr Arg Ala Thr Gly Ile Pro Asp Arg Phe Ser
50          55          60
Gly Ser Gly Ser Gly Thr Asp Phe Thr Leu Thr Ile Ser Arg Leu Glu
65          70          75          80
Pro Glu Asp Phe Ala Val Tyr Tyr Cys Gln Gln Tyr Gly Tyr Pro Pro
85          90          95
Asp Phe Thr Phe Gly Gln Gly Thr Lys Val Glu Ile Lys
100         105

```

<210> 13  
<211> 109  
<212> Белок  
<213> Искусственная последовательность

<220>  
<223> Вариабельная область VL Mab22

```

<400> 13
Glu Ile Val Leu Thr Gln Ser Pro Gly Thr Leu Ser Leu Ser Pro Gly
1           5           10          15
Glu Arg Ala Thr Leu Ser Cys Arg Ala Ser Gln Ser Val Ser Ser Tyr
20          25          30
Tyr Leu Ala Trp Tyr Gln Gln Lys Pro Gly Gln Ala Pro Arg Leu Leu
35          40          45
Ile Ser Gly Ala Gly Ser Arg Ala Thr Gly Ile Pro Asp Arg Phe Ser
50          55          60
Gly Ser Gly Ser Gly Thr Asp Phe Thr Leu Thr Ile Ser Arg Leu Glu
65          70          75          80
Pro Glu Asp Phe Ala Val Tyr Tyr Cys Gln Gln Tyr Gly Tyr Pro Pro
85          90          95
Asp Phe Thr Phe Gly Gln Gly Thr Lys Val Glu Ile Lys
100         105

```

<210> 14  
<211> 109  
<212> Белок  
<213> Искусственная последовательность

<220>  
<223> Вариабельная область VL Mab42

```

<400> 14
Glu Ile Val Leu Thr Gln Ser Pro Gly Thr Leu Ser Leu Ser Pro Gly
1           5           10          15
Glu Arg Ala Thr Leu Ser Cys Arg Ala Ser Gln Ser Val Ser Asp Glu
20          25          30
Tyr Leu Ser Trp Tyr Gln Gln Lys Pro Gly Gln Ala Pro Arg Leu Leu
35          40          45
Ile His Ser Ala Ser Thr Arg Ala Thr Gly Ile Pro Asp Arg Phe Ser

```

50 55 60  
Gly Ser Gly Ser Gly Thr Asp Phe Thr Leu Ala Ile Ser Arg Leu Glu  
65 70 75 80  
Pro Glu Asp Phe Ala Val Tyr Tyr Cys Gln Gln Tyr Gly Tyr Pro Pro  
85 90 95  
Asp Phe Thr Phe Gly Gln Gly Thr Lys Val Glu Ile Lys  
100 105

<210> 15  
<211> 5  
<212> Белок  
<213> Homo sapiens

<220>  
<223> CDR1H 83A10

<400> 15  
Ser Tyr Ala Met Ser  
1 5

<210> 16  
<211> 17  
<212> Белок  
<213> Homo sapiens

<220>  
<223> CDR2H 83A10

<400> 16  
Ala Ile Ser Gly Ser Gly Ser Thr Tyr Tyr Ala Asp Ser Val Lys  
1 5 10 15  
Gly

<210> 17  
<211> 7  
<212> Белок  
<213> Homo sapiens

<220>  
<223> CDRH3

<400> 17  
Val Leu Gly Trp Phe Asp Tyr  
1 5

<210> 18  
<211> 13  
<212> Белок  
<213> Homo sapiens

<220>  
<223> CDR1L 83A10

<400> 18  
Arg Ala Ser Gln Ser Val Ser Ser Ser Tyr Leu Ala Trp  
1 5 10

<210> 19  
<211> 8  
<212> Белок  
<213> Homo sapiens

<220>

<223> CDR2L 83A10

<400> 19

Tyr Gly Ala Ser Ser Arg Ala Thr  
1 5

<210> 20

<211> 10

<212> Белок

<213> Homo sapiens

<220>

<223> CDRL3

<400> 20

Gln Gln Tyr Gly Tyr Pro Pro Asp Phe Thr  
1 5 10

<210> 21

<211> 5

<212> Белок

<213> Искусственная последовательность

<220>

<223> CDR1H

<400> 21

Asp Asn Ala Met Gly  
1 5

<210> 22

<211> 17

<212> Белок

<213> Искусственная последовательность

<220>

<223> CDR2H

<400> 22

Ala Ile Ser Gly Pro Gly Ser Ser Thr Tyr Tyr Ala Asp Ser Val Lys  
1 5 10 15  
Gly

<210> 23

<211> 13

<212> Белок

<213> Искусственная последовательность

<220>

<223> CDR1L Mab21

<400> 23

Arg Ala Ser Gln Ser Val Ser Glu Tyr Tyr Leu Ala Trp  
1 5 10

<210> 24

<211> 8

<212> Белок

<213> Искусственная последовательность

<220>

<223> CDR2L Mab21

<400> 24  
Glu His Ala Ser Thr Arg Ala Thr  
1 5

<210> 25  
<211> 13  
<212> Белок  
<213> Искусственная последовательность

<220>  
<223> CDR1L Mab22

<400> 25  
Arg Ala Ser Gln Ser Val Ser Ser Tyr Tyr Leu Ala Trp  
1 5 10

<210> 26  
<211> 8  
<212> Белок  
<213> Искусственная последовательность

<220>  
<223> CDR2L Mab22

<400> 26  
Ser Gly Ala Gly Ser Arg Ala Thr  
1 5

<210> 27  
<211> 13  
<212> Белок  
<213> Искусственная последовательность

<220>  
<223> CDR1L Mab42

<400> 27  
Arg Ala Ser Gln Ser Val Ser Asp Glu Tyr Leu Ser Trp  
1 5 10

<210> 28  
<211> 8  
<212> Белок  
<213> Искусственная последовательность

<220>  
<223> CDR2L Mab42

<400> 28  
His Ser Ala Ser Thr Arg Ala Thr  
1 5

<210> 29  
<211> 5  
<212> Белок  
<213> Искусственная последовательность

<220>  
<223> CDR1H Mab27

<400> 29  
Ser Ala Pro Met Gly  
1 5

<210> 30  
<211> 16  
<212> Белок  
<213> Искусственная последовательность

<220>  
<223> CDR2H Mab27

<400> 30  
Ala Ile Ser Tyr Ile Gly His Thr Tyr Tyr Ala Asp Ser Val Lys Gly  
1 5 10 15

<210> 31  
<211> 12  
<212> Белок  
<213> Искусственная последовательность

<220>  
<223> CDR1L

<400> 31  
Arg Ala Ser Gln Ser Val Ser Glu Tyr Tyr Leu Ala  
1 5 10

<210> 32  
<211> 7  
<212> Белок  
<213> Искусственная последовательность

<220>  
<223> CDR2L

<400> 32  
His Ala Ser Thr Arg Ala Thr  
1 5

<210> 33  
<211> 10  
<212> Белок  
<213> Искусственная последовательность

<220>  
<223> CDR3L

<400> 33  
Gln Gln Tyr Gly Tyr Pro Pro Asp Phe Thr  
1 5 10

<210> 34  
<211> 5  
<212> Белок  
<213> Искусственная последовательность

<220>  
<223> CDR1H Mab33

<400> 34  
Thr Asn Ala Met Gly  
1 5

<210> 35  
<211> 17

<212> Белок  
<213> Искусственная последовательность

<220>  
<223> CDR2H Mab33

<400> 35  
Ala Ile Asn Arg Phe Gly Gly Ser Thr Tyr Tyr Ala Asp Ser Val Lys  
1 5 10 15  
Gly

<210> 36  
<211> 5  
<212> Белок  
<213> Искусственная последовательность

<220>  
<223> CDR1H Mab39

<400> 36  
Gln Asn Ala Met Gly  
1 5

<210> 37  
<211> 17  
<212> Белок  
<213> Искусственная последовательность

<220>  
<223> CDR2H Mab39

<400> 37  
Ala Ile Ser Pro Thr Gly Phe Ser Thr Tyr Tyr Ala Asp Ser Val Lys  
1 5 10 15  
Gly

<210> 38  
<211> 115  
<212> Белок  
<213> Искусственная последовательность

<220>  
<223> VH Mab27

<400> 38  
Glu Val Gln Leu Leu Glu Ser Gly Gly Gly Leu Val Gln Pro Gly Gly  
1 5 10 15  
Ser Leu Arg Leu Ser Cys Ala Ala Ser Gly Phe Thr Phe Ser Ser Ala  
20 25 30  
Pro Met Gly Trp Val Arg Gln Ala Pro Gly Lys Gly Leu Glu Trp Val  
35 40 45  
Ser Ala Ile Ser Tyr Ile Gly His Thr Tyr Tyr Ala Asp Ser Val Lys  
50 55 60  
Gly Arg Phe Thr Ile Ser Arg Asp Asn Ser Lys Asn Thr Leu Tyr Leu  
65 70 75 80  
Gln Met Asn Ser Leu Arg Ala Glu Asp Thr Ala Val Tyr Tyr Cys Ala  
85 90 95  
Lys Val Leu Gly Trp Phe Asp Tyr Trp Gly Gln Gly Thr Leu Val Thr  
100 105 110  
Val Ser Ser  
115

<210> 39  
<211> 116  
<212> Белок  
<213> Искусственная последовательность

<220>  
<223> VH Mab33

<400> 39  
Glu Val Gln Leu Leu Glu Ser Gly Gly Leu Val Gln Pro Gly Gly  
1 5 10 15  
Ser Leu Arg Leu Ser Cys Ala Ala Ser Gly Phe Thr Phe Tyr Thr Asn  
20 25 30  
Ala Met Gly Trp Val Arg Gln Ala Pro Gly Lys Gly Leu Glu Trp Val  
35 40 45  
Ser Ala Ile Asn Arg Phe Gly Gly Ser Thr Tyr Tyr Ala Asp Ser Val  
50 55 60  
Lys Gly Arg Phe Thr Ile Ser Arg Asp Asn Ser Lys Asn Thr Leu Tyr  
65 70 75 80  
Leu Gln Met Asn Ser Leu Arg Ala Glu Asp Thr Ala Val Tyr Tyr Cys  
85 90 95  
Ala Lys Val Leu Gly Trp Phe Asp Tyr Trp Gly Gln Gly Thr Leu Val  
100 105 110  
Thr Val Ser Ser  
115

<210> 40  
<211> 116  
<212> Белок  
<213> Искусственная последовательность

<220>  
<223> VH Mab39

<400> 40  
Glu Val Gln Leu Leu Glu Ser Gly Gly Leu Val Gln Pro Gly Gly  
1 5 10 15  
Ser Leu Arg Leu Ser Cys Ala Ala Ser Gly Phe Thr Phe Thr Gln Asn  
20 25 30  
Ala Met Gly Trp Val Arg Gln Ala Pro Gly Lys Gly Leu Glu Trp Val  
35 40 45  
Ser Ala Ile Ser Pro Thr Gly Phe Ser Thr Tyr Tyr Ala Asp Ser Val  
50 55 60  
Lys Gly Arg Phe Thr Ile Ser Arg Asp Asn Ser Lys Asn Thr Leu Tyr  
65 70 75 80  
Leu Gln Met Asn Ser Leu Arg Ala Glu Asp Thr Ala Val Tyr Tyr Cys  
85 90 95  
Ala Lys Val Leu Gly Trp Phe Asp Tyr Trp Gly Gln Gly Thr Leu Val  
100 105 110  
Thr Val Ser Ser  
115

<210> 41  
<211> 103  
<212> Белок  
<213> Искусственная последовательность

<220>  
<223> Домен CH1

<400> 41  
Ala Ser Thr Lys Gly Pro Ser Val Phe Pro Leu Ala Pro Ser Ser Lys  
1 5 10 15  
Ser Thr Ser Gly Gly Thr Ala Ala Leu Gly Cys Leu Val Glu Asp Tyr

20	25	30
Phe Pro Glu Pro Val Thr Val Ser Trp Asn Ser Gly Ala Leu Thr Ser		
35	40	45
Gly Val His Thr Phe Pro Ala Val Leu Gln Ser Ser Gly Leu Tyr Ser		
50	55	60
Leu Ser Ser Val Val Thr Val Pro Ser Ser Ser Leu Gly Thr Gln Thr		
65	70	75
Tyr Ile Cys Asn Val Asn His Lys Pro Ser Asn Thr Lys Val Asp Glu		80
85	90	95
Lys Val Glu Pro Lys Ser Cys		
100		

<210> 42

<211> 107

<212> Белок

<213> Искусственная последовательность

<220>

<223> Домен CL

<400> 42

Arg Thr Val Ala Ala Pro Ser Val Phe Ile Phe Pro Pro Ser Asp Arg		
1	5	10
Lys Leu Lys Ser Gly Thr Ala Ser Val Val Cys Leu Leu Asn Asn Phe		
20	25	30
Tyr Pro Arg Glu Ala Lys Val Gln Trp Lys Val Asp Asn Ala Leu Gln		
35	40	45
Ser Gly Asn Ser Gln Glu Ser Val Thr Glu Gln Asp Ser Lys Asp Ser		
50	55	60
Thr Tyr Ser Leu Ser Ser Thr Leu Thr Leu Ser Lys Ala Asp Tyr Glu		
65	70	75
Lys His Lys Val Tyr Ala Cys Glu Val Thr His Gln Gly Leu Ser Ser		80
85	90	95
Pro Val Thr Lys Ser Phe Asn Arg Gly Glu Cys		
100	105	

<210> 43

<211> 103

<212> Белок

<213> Искусственная последовательность

<220>

<223> CH1 CD3

<400> 43

Ala Ser Thr Lys Gly Pro Ser Val Phe Pro Leu Ala Pro Ser Ser Lys		
1	5	10
Ser Thr Ser Gly Gly Thr Ala Ala Leu Gly Cys Leu Val Lys Asp Tyr		
20	25	30
Phe Pro Glu Pro Val Thr Val Ser Trp Asn Ser Gly Ala Leu Thr Ser		
35	40	45
Gly Val His Thr Phe Pro Ala Val Leu Gln Ser Ser Gly Leu Tyr Ser		
50	55	60
Leu Ser Ser Val Val Thr Val Pro Ser Ser Ser Leu Gly Thr Gln Thr		
65	70	75
Tyr Ile Cys Asn Val Asn His Lys Pro Ser Asn Thr Lys Val Asp Lys		80
85	90	95
Lys Val Glu Pro Lys Ser Cys		
100		

<210> 44

<211> 107

<212> Белок

<213> Искусственная последовательность

<220>

<223> CL CD3

<400> 44

Ala	Ser	Val	Ala	Ala	Pro	Ser	Val	Phe	Ile	Phe	Pro	Pro	Ser	Asp	Glu
1					5				10					15	
Gln	Leu	Lys	Ser	Gly	Thr	Ala	Ser	Val	Val	Cys	Leu	Leu	Asn	Asn	Phe
					20				25				30		
Tyr	Pro	Arg	Glu	Ala	Lys	Val	Gln	Trp	Lys	Val	Asp	Asn	Ala	Leu	Gln
					35				40			45			
Ser	Gly	Asn	Ser	Gln	Glu	Ser	Val	Thr	Glu	Gln	Asp	Ser	Lys	Asp	Ser
					50				55			60			
Thr	Tyr	Ser	Leu	Ser	Ser	Thr	Leu	Thr	Leu	Ser	Lys	Ala	Asp	Tyr	Glu
					65				70		75		80		
Lys	His	Lys	Val	Tyr	Ala	Cys	Glu	Val	Thr	His	Gln	Gly	Leu	Ser	Ser
					85				90			95			
Pro	Val	Thr	Lys	Ser	Phe	Asn	Arg	Gly	Glu	Cys					
					100				105						

<210> 45

<211> 671

<212> Белок

<213> Искусственная последовательность

<220>

<223> HC с "выступом" 83A10

<400> 45

Glu	Val	Gln	Leu	Leu	Glu	Ser	Gly	Gly	Gly	Leu	Val	Gln	Pro	Gly	Gly
1					5				10			15			
Ser	Leu	Arg	Leu	Ser	Cys	Ala	Ala	Ser	Gly	Phe	Thr	Phe	Ser	Ser	Tyr
					20				25			30			
Ala	Met	Ser	Trp	Val	Arg	Gln	Ala	Pro	Gly	Lys	Gly	Leu	Glu	Trp	Val
					35				40			45			
Ser	Ala	Ile	Ser	Gly	Ser	Gly	Ser	Thr	Tyr	Tyr	Ala	Asp	Ser	Val	
					50				55			60			
Lys	Gly	Arg	Phe	Thr	Ile	Ser	Arg	Asp	Asn	Ser	Lys	Asn	Thr	Leu	Tyr
					65				70		75		80		
Leu	Gln	Met	Asn	Ser	Leu	Arg	Ala	Glu	Asp	Thr	Ala	Val	Tyr	Tyr	Cys
					85				90			95			
Ala	Lys	Val	Leu	Gly	Trp	Phe	Asp	Tyr	Trp	Gly	Gln	Gly	Thr	Leu	Val
					100				105			110			
Thr	Val	Ser	Ser	Ala	Ser	Thr	Lys	Gly	Pro	Ser	Val	Phe	Pro	Leu	Ala
					115				120			125			
Pro	Ser	Ser	Lys	Ser	Thr	Ser	Gly	Gly	Thr	Ala	Ala	Leu	Gly	Cys	Leu
					130				135			140			
Val	Glu	Asp	Tyr	Phe	Pro	Glu	Pro	Val	Thr	Val	Ser	Trp	Asn	Ser	Gly
					145				150		155		160		
Ala	Leu	Thr	Ser	Gly	Val	His	Thr	Phe	Pro	Ala	Val	Leu	Gln	Ser	Ser
					165				170			175			
Gly	Leu	Tyr	Ser	Leu	Ser	Ser	Val	Val	Thr	Val	Pro	Ser	Ser	Ser	Leu
					180				185			190			
Gly	Thr	Gln	Thr	Tyr	Ile	Cys	Asn	Val	Asn	His	Lys	Pro	Ser	Asn	Thr
					195				200			205			
Lys	Val	Asp	Glu	Lys	Val	Glu	Pro	Lys	Ser	Cys	Asp	Gly	Gly	Gly	Gly
					210				215			220			
Ser	Gly	Gly	Gly	Ser	Gln	Ala	Val	Val	Thr	Gln	Glu	Pro	Ser	Leu	
					225				230		235		240		
Thr	Val	Ser	Pro	Gly	Gly	Thr	Val	Thr	Leu	Thr	Cys	Gly	Ser	Ser	Thr
					245				250			255			
Gly	Ala	Val	Thr	Thr	Ser	Asn	Tyr	Ala	Asn	Trp	Val	Gln	Glu	Lys	Pro
					260				265			270			
Gly	Gln	Ala	Phe	Arg	Gly	Leu	Ile	Gly	Gly	Thr	Asn	Lys	Arg	Ala	Pro

	275	280	285
Gly	Thr Pro Ala Arg Phe Ser	Gly Ser Leu Leu Gly	Gly Lys Ala Ala
290	295	300	
Leu	Thr Leu Ser Gly Ala Gln Pro Glu Asp	Glu Ala Glu Tyr Tyr	Cys
305	310	315	320
Ala	Leu Trp Tyr Ser Asn Leu Trp Val Phe	Gly Gly Thr Lys Leu	
	325	330	335
Thr	Val Leu Ser Ser Ala Ser Thr Lys	Gly Pro Ser Val Phe	Pro Leu
	340	345	350
Ala	Pro Ser Ser Lys Ser Thr Ser	Gly Gly Thr Ala Ala	Leu Gly Cys
	355	360	365
Leu	Val Lys Asp Tyr Phe Pro Glu Pro Val	Thr Val Ser Trp Asn Ser	
	370	375	380
Gly	Ala Leu Thr Ser Gly Val His Thr Phe	Pro Ala Val Leu Gln	Ser
	385	390	400
Ser	Gly Leu Tyr Ser Leu Ser Ser Val Val	Thr Val Pro Ser Ser	Ser
	405	410	415
Leu	Gly Thr Gln Thr Tyr Ile Cys Asn Val Asn His	Lys Pro Ser Asn	
	420	425	430
Thr	Lys Val Asp Lys Lys Val Glu Pro Lys Ser Cys	Asp Lys Thr His	
	435	440	445
Thr	Cys Pro Pro Cys Pro Ala Pro Glu Ala Ala	Gly Gly Pro Ser Val	
	450	455	460
Phe	Leu Phe Pro Pro Lys Pro Lys Asp Thr	Leu Met Ile Ser Arg	Thr
	465	470	475
Pro	Glu Val Thr Cys Val Val Val Asp Val Ser	His Glu Asp Pro Glu	
	485	490	495
Val	Lys Phe Asn Trp Tyr Val Asp Gly Val Glu	Val His Asn Ala Lys	
	500	505	510
Thr	Lys Pro Arg Glu Glu Gln Tyr Asn Ser	Thr Tyr Arg Val Val Ser	
	515	520	525
Val	Leu Thr Val Leu His Gln Asp Trp Leu Asn	Gly Lys Glu Tyr Lys	
	530	535	540
Cys	Lys Val Ser Asn Lys Ala Leu Gly Ala Pro	Ile Glu Lys Thr Ile	
	545	550	560
Ser	Lys Ala Lys Gly Gln Pro Arg Glu Pro Gln	Val Tyr Thr Leu Pro	
	565	570	575
Pro	Cys Arg Asp Glu Leu Thr Lys Asn Gln Val	Ser Leu Trp Cys Leu	
	580	585	590
Val	Lys Gly Phe Tyr Pro Ser Asp Ile Ala Val	Glu Trp Glu Ser Asn	
	595	600	605
Gly	Gln Pro Glu Asn Asn Tyr Lys Thr Thr	Pro Pro Val Leu Asp Ser	
	610	615	620
Asp	Gly Ser Phe Phe Leu Tyr Ser Lys Leu	Thr Val Asp Lys Ser Arg	
	625	630	640
Trp	Gln Gln Gly Asn Val Phe Ser Cys Ser Val	Met His Glu Ala Leu	
	645	650	655
His	Asn His Tyr Thr Gln Lys Ser Leu Ser	Leu Ser Pro Gly Lys	
	660	665	670

<210> 46

<211> 446

<212> Белок

<213> Искусственная последовательность

<220>

<223> HC с "отверстием" 83A10

<400> 46

Glu	Val Gln Leu Leu Glu Ser Gly Gly	Leu Val Gln Pro Gly Gly	
1	5	10	15
Ser	Leu Arg Leu Ser Cys Ala Ala Ser	Gly Phe Thr Phe Ser Ser	Tyr
	20	25	30
Ala	Met Ser Trp Val Arg Gln Ala Pro	Gly Lys Gly Leu Glu Trp	Val

35	40	45
Ser Ala Ile Ser Gly Ser Gly Gly Ser Thr Tyr Tyr Ala Asp Ser Val		
50	55	60
Lys Gly Arg Phe Thr Ile Ser Arg Asp Asn Ser Lys Asn Thr Leu Tyr		
65	70	75
Leu Gln Met Asn Ser Leu Arg Ala Glu Asp Thr Ala Val Tyr Tyr Cys		
85	90	95
Ala Lys Val Leu Gly Trp Phe Asp Tyr Trp Gly Gln Gly Thr Leu Val		
100	105	110
Thr Val Ser Ser Ala Ser Thr Lys Gly Pro Ser Val Phe Pro Leu Ala		
115	120	125
Pro Ser Ser Lys Ser Thr Ser Gly Gly Thr Ala Ala Leu Gly Cys Leu		
130	135	140
Val Glu Asp Tyr Phe Pro Glu Pro Val Thr Val Ser Trp Asn Ser Gly		
145	150	155
Ala Leu Thr Ser Gly Val His Thr Phe Pro Ala Val Leu Gln Ser Ser		
165	170	175
Gly Leu Tyr Ser Leu Ser Ser Val Val Thr Val Pro Ser Ser Ser Leu		
180	185	190
Gly Thr Gln Thr Tyr Ile Cys Asn Val Asn His Lys Pro Ser Asn Thr		
195	200	205
Lys Val Asp Glu Lys Val Glu Pro Lys Ser Cys Asp Lys Thr His Thr		
210	215	220
Cys Pro Pro Cys Pro Ala Pro Glu Ala Ala Gly Gly Pro Ser Val Phe		
225	230	235
Leu Phe Pro Pro Lys Pro Lys Asp Thr Leu Met Ile Ser Arg Thr Pro		
245	250	255
Glu Val Thr Cys Val Val Val Asp Val Ser His Glu Asp Pro Glu Val		
260	265	270
Lys Phe Asn Trp Tyr Val Asp Gly Val Glu Val His Asn Ala Lys Thr		
275	280	285
Lys Pro Arg Glu Glu Gln Tyr Asn Ser Thr Tyr Arg Val Val Ser Val		
290	295	300
Leu Thr Val Leu His Gln Asp Trp Leu Asn Gly Lys Glu Tyr Lys Cys		
305	310	315
Lys Val Ser Asn Lys Ala Leu Gly Ala Pro Ile Glu Lys Thr Ile Ser		
325	330	335
Lys Ala Lys Gly Gln Pro Arg Glu Pro Gln Val Cys Thr Leu Pro Pro		
340	345	350
Ser Arg Asp Glu Leu Thr Lys Asn Gln Val Ser Leu Ser Cys Ala Val		
355	360	365
Lys Gly Phe Tyr Pro Ser Asp Ile Ala Val Glu Trp Glu Ser Asn Gly		
370	375	380
Gln Pro Glu Asn Asn Tyr Lys Thr Thr Pro Pro Val Leu Asp Ser Asp		
385	390	395
Gly Ser Phe Phe Leu Val Ser Lys Leu Thr Val Asp Lys Ser Arg Trp		
405	410	415
Gln Gln Gly Asn Val Phe Ser Cys Ser Val Met His Glu Ala Leu His		
420	425	430
Asn His Tyr Thr Gln Lys Ser Leu Ser Leu Ser Pro Gly Lys		
435	440	445

<210> 47

<211> 216

<212> Белок

<213> Искусственная последовательность

<220>

<223> LC 83A10

<400> 47

Glu Ile Val Leu Thr Gln Ser Pro Gly Thr Leu Ser Leu Ser Pro Gly

1 5 10 15

Glu Arg Ala Thr Leu Ser Cys Arg Ala Ser Gln Ser Val Ser Ser Ser

	20	25	30												
Tyr	Leu	Ala	Trp	Tyr	Gln	Gln	Lys	Pro	Gly	Gln	Ala	Pro	Arg	Leu	Leu
			35			40					45				
Ile	Tyr	Gly	Ala	Ser	Ser	Arg	Ala	Thr	Gly	Ile	Pro	Asp	Arg	Phe	Ser
			50			55					60				
Gly	Ser	Gly	Ser	Gly	Thr	Asp	Phe	Thr	Leu	Thr	Ile	Ser	Arg	Leu	Glu
			65			70			75				80		
Pro	Glu	Asp	Phe	Ala	Val	Tyr	Tyr	Cys	Gln	Gln	Tyr	Gly	Tyr	Pro	Pro
			85			90					95				
Asp	Phe	Thr	Phe	Gly	Gln	Gly	Thr	Lys	Val	Glu	Ile	Lys	Arg	Thr	Val
			100			105					110				
Ala	Ala	Pro	Ser	Val	Phe	Ile	Phe	Pro	Pro	Ser	Asp	Arg	Lys	Leu	Lys
			115			120					125				
Ser	Gly	Thr	Ala	Ser	Val	Val	Cys	Leu	Leu	Asn	Asn	Phe	Tyr	Pro	Arg
			130			135					140				
Glu	Ala	Lys	Val	Gln	Trp	Lys	Val	Asp	Asn	Ala	Leu	Gln	Ser	Gly	Asn
			145			150			155				160		
Ser	Gln	Glu	Ser	Val	Thr	Glu	Gln	Asp	Ser	Lys	Asp	Ser	Thr	Tyr	Ser
			165			170					175				
Leu	Ser	Ser	Thr	Leu	Thr	Leu	Ser	Lys	Ala	Asp	Tyr	Glu	Lys	His	Lys
			180			185					190				
Val	Tyr	Ala	Cys	Glu	Val	Thr	His	Gln	Gly	Leu	Ser	Ser	Pro	Val	Thr
			195			200					205				
Lys	Ser	Phe	Asn	Arg	Gly	Glu	Cys								
			210			215									

<210> 48

<211> 232

<212> Белок

<213> Искусственная последовательность

<220>

<223> LC CD3

<400> 48

Glu	Val	Gln	Leu	Leu	Glu	Ser	Gly	Gly	Leu	Val	Gln	Pro	Gly	Gly	
1			5				10				15				
Ser	Leu	Arg	Leu	Ser	Cys	Ala	Ala	Ser	Gly	Phe	Thr	Phe	Ser	Thr	Tyr
							20			25			30		
Ala	Met	Asn	Trp	Val	Arg	Gln	Ala	Pro	Gly	Lys	Gly	Leu	Glu	Trp	Val
							35			40			45		
Ser	Arg	Ile	Arg	Ser	Lys	Tyr	Asn	Asn	Tyr	Ala	Thr	Tyr	Tyr	Ala	Asp
							50			55			60		
Ser	Val	Lys	Gly	Arg	Phe	Thr	Ile	Ser	Arg	Asp	Asp	Ser	Lys	Asn	Thr
							65			70			75		80
Leu	Tyr	Leu	Gln	Met	Asn	Ser	Leu	Arg	Ala	Glu	Asp	Thr	Ala	Val	Tyr
							85			90			95		
Tyr	Cys	Val	Arg	His	Gly	Asn	Phe	Gly	Asn	Ser	Tyr	Val	Ser	Trp	Phe
							100			105			110		
Ala	Tyr	Trp	Gly	Gln	Gly	Thr	Leu	Val	Thr	Val	Ser	Ser	Ala	Ser	Val
							115			120			125		
Ala	Ala	Pro	Ser	Val	Phe	Ile	Phe	Pro	Pro	Ser	Asp	Glu	Gln	Leu	Lys
							130			135			140		
Ser	Gly	Thr	Ala	Ser	Val	Val	Cys	Leu	Leu	Asn	Asn	Phe	Tyr	Pro	Arg
			145			150			155				160		
Glu	Ala	Lys	Val	Gln	Trp	Lys	Val	Asp	Asn	Ala	Leu	Gln	Ser	Gly	Asn
			165			170			175						
Ser	Gln	Glu	Ser	Val	Thr	Glu	Gln	Asp	Ser	Lys	Asp	Ser	Thr	Tyr	Ser
			180			185			190						
Leu	Ser	Ser	Thr	Leu	Thr	Leu	Ser	Lys	Ala	Asp	Tyr	Glu	Lys	His	Lys
			195			200			205						
Val	Tyr	Ala	Cys	Glu	Val	Thr	His	Gln	Gly	Leu	Ser	Ser	Pro	Val	Thr
			210			215			220						
Lys	Ser	Phe	Asn	Arg	Gly	Glu	Cys								

&lt;210&gt; 49

&lt;211&gt; 671

&lt;212&gt; Белок

&lt;213&gt; Искусственная последовательность

&lt;220&gt;

&lt;223&gt; HC с "выступом" Mab21

&lt;400&gt; 49

Glu Val Gln Leu Leu Glu Ser Gly Gly Gly Leu Val Gln Pro Gly Gly  
 1 5 10 15  
 Ser Leu Arg Leu Ser Cys Ala Ala Ser Gly Phe Thr Phe Ser Asp Asn  
 20 25 30  
 Ala Met Gly Trp Val Arg Gln Ala Pro Gly Lys Gly Leu Glu Trp Val  
 35 40 45  
 Ser Ala Ile Ser Gly Pro Gly Ser Ser Thr Tyr Tyr Ala Asp Ser Val  
 50 55 60  
 Lys Gly Arg Phe Thr Ile Ser Arg Asp Asn Ser Lys Asn Thr Leu Tyr  
 65 70 75 80  
 Leu Gln Met Asn Ser Leu Arg Ala Glu Asp Thr Ala Val Tyr Tyr Cys  
 85 90 95  
 Ala Lys Val Leu Gly Trp Phe Asp Tyr Trp Gly Gln Gly Thr Leu Val  
 100 105 110  
 Thr Val Ser Ser Ala Ser Thr Lys Gly Pro Ser Val Phe Pro Leu Ala  
 115 120 125  
 Pro Ser Ser Lys Ser Thr Ser Gly Gly Thr Ala Ala Leu Gly Cys Leu  
 130 135 140  
 Val Glu Asp Tyr Phe Pro Glu Pro Val Thr Val Ser Trp Asn Ser Gly  
 145 150 155 160  
 Ala Leu Thr Ser Gly Val His Thr Phe Pro Ala Val Leu Gln Ser Ser  
 165 170 175  
 Gly Leu Tyr Ser Leu Ser Ser Val Val Thr Val Pro Ser Ser Ser Leu  
 180 185 190  
 Gly Thr Gln Thr Tyr Ile Cys Asn Val Asn His Lys Pro Ser Asn Thr  
 195 200 205  
 Lys Val Asp Glu Lys Val Glu Pro Lys Ser Cys Asp Gly Gly Gly  
 210 215 220  
 Ser Gly Gly Gly Ser Gln Ala Val Val Thr Gln Glu Pro Ser Leu  
 225 230 235 240  
 Thr Val Ser Pro Gly Gly Thr Val Thr Leu Thr Cys Gly Ser Ser Thr  
 245 250 255  
 Gly Ala Val Thr Thr Ser Asn Tyr Ala Asn Trp Val Gln Glu Lys Pro  
 260 265 270  
 Gly Gln Ala Phe Arg Gly Leu Ile Gly Gly Thr Asn Lys Arg Ala Pro  
 275 280 285  
 Gly Thr Pro Ala Arg Phe Ser Gly Ser Leu Leu Gly Gly Lys Ala Ala  
 290 295 300  
 Leu Thr Leu Ser Gly Ala Gln Pro Glu Asp Glu Ala Glu Tyr Tyr Cys  
 305 310 315 320  
 Ala Leu Trp Tyr Ser Asn Leu Trp Val Phe Gly Gly Gly Thr Lys Leu  
 325 330 335  
 Thr Val Leu Ser Ser Ala Ser Thr Lys Gly Pro Ser Val Phe Pro Leu  
 340 345 350  
 Ala Pro Ser Ser Lys Ser Thr Ser Gly Gly Thr Ala Ala Leu Gly Cys  
 355 360 365  
 Leu Val Lys Asp Tyr Phe Pro Glu Pro Val Thr Val Ser Trp Asn Ser  
 370 375 380  
 Gly Ala Leu Thr Ser Gly Val His Thr Phe Pro Ala Val Leu Gln Ser  
 385 390 395 400  
 Ser Gly Leu Tyr Ser Leu Ser Ser Val Val Thr Val Pro Ser Ser Ser  
 405 410 415  
 Leu Gly Thr Gln Thr Tyr Ile Cys Asn Val Asn His Lys Pro Ser Asn

	420	425	430
Thr Lys Val Asp Lys Lys Val Glu Pro Lys Ser Cys Asp Lys Thr His			
435	440	445	
Thr Cys Pro Pro Cys Pro Ala Pro Glu Ala Ala Gly Gly Pro Ser Val			
450	455	460	
Phe Leu Phe Pro Pro Lys Pro Lys Asp Thr Leu Met Ile Ser Arg Thr			
465	470	475	480
Pro Glu Val Thr Cys Val Val Val Asp Val Ser His Glu Asp Pro Glu			
485	490	495	
Val Lys Phe Asn Trp Tyr Val Asp Gly Val Glu Val His Asn Ala Lys			
500	505	510	
Thr Lys Pro Arg Glu Glu Gln Tyr Asn Ser Thr Tyr Arg Val Val Ser			
515	520	525	
Val Leu Thr Val Leu His Gln Asp Trp Leu Asn Gly Lys Glu Tyr Lys			
530	535	540	
Cys Lys Val Ser Asn Lys Ala Leu Gly Ala Pro Ile Glu Lys Thr Ile			
545	550	555	560
Ser Lys Ala Lys Gly Gln Pro Arg Glu Pro Gln Val Tyr Thr Leu Pro			
565	570	575	
Pro Cys Arg Asp Glu Leu Thr Lys Asn Gln Val Ser Leu Trp Cys Leu			
580	585	590	
Val Lys Gly Phe Tyr Pro Ser Asp Ile Ala Val Glu Trp Glu Ser Asn			
595	600	605	
Gly Gln Pro Glu Asn Asn Tyr Lys Thr Thr Pro Pro Val Leu Asp Ser			
610	615	620	
Asp Gly Ser Phe Phe Leu Tyr Ser Lys Leu Thr Val Asp Lys Ser Arg			
625	630	635	640
Trp Gln Gln Gly Asn Val Phe Ser Cys Ser Val Met His Glu Ala Leu			
645	650	655	
His Asn His Tyr Thr Gln Lys Ser Leu Ser Leu Ser Pro Gly Lys			
660	665	670	

<210> 50

<211> 446

<212> Белок

<213> Искусственная последовательность

<220>

<223> HC с "отверстием" Mab21

<400> 50

Glu Val Gln Leu Leu Glu Ser Gly Gly Leu Val Gln Pro Gly Gly			
1	5	10	15
Ser Leu Arg Leu Ser Cys Ala Ala Ser Gly Phe Thr Phe Ser Asp Asn			
20	25	30	
Ala Met Gly Trp Val Arg Gln Ala Pro Gly Lys Gly Leu Glu Trp Val			
35	40	45	
Ser Ala Ile Ser Gly Pro Gly Ser Ser Thr Tyr Tyr Ala Asp Ser Val			
50	55	60	
Lys Gly Arg Phe Thr Ile Ser Arg Asp Asn Ser Lys Asn Thr Leu Tyr			
65	70	75	80
Leu Gln Met Asn Ser Leu Arg Ala Glu Asp Thr Ala Val Tyr Tyr Cys			
85	90	95	
Ala Lys Val Leu Gly Trp Phe Asp Tyr Trp Gly Gln Gly Thr Leu Val			
100	105	110	
Thr Val Ser Ser Ala Ser Thr Lys Gly Pro Ser Val Phe Pro Leu Ala			
115	120	125	
Pro Ser Ser Lys Ser Thr Ser Gly Gly Thr Ala Ala Leu Gly Cys Leu			
130	135	140	
Val Glu Asp Tyr Phe Pro Glu Pro Val Thr Val Ser Trp Asn Ser Gly			
145	150	155	160
Ala Leu Thr Ser Gly Val His Thr Phe Pro Ala Val Leu Gln Ser Ser			
165	170	175	
Gly Leu Tyr Ser Leu Ser Ser Val Val Thr Val Pro Ser Ser Ser Leu			

	180	185	190												
Gly	Thr	Gln	Thr	Tyr	Ile	Cys	Asn	Val	Asn	His	Lys	Pro	Ser	Asn	Thr
			195			200					205				
Lys	Val	Asp	Glu	Lys	Val	Glu	Pro	Lys	Ser	Cys	Asp	Lys	Thr	His	Thr
			210			215					220				
Cys	Pro	Pro	Cys	Pro	Ala	Pro	Glu	Ala	Ala	Gly	Gly	Pro	Ser	Val	Phe
			225			230				235			240		
Leu	Phe	Pro	Pro	Lys	Pro	Lys	Asp	Thr	Leu	Met	Ile	Ser	Arg	Thr	Pro
			245			250					255				
Glu	Val	Thr	Cys	Val	Val	Val	Asp	Val	Ser	His	Glu	Asp	Pro	Glu	Val
			260			265					270				
Lys	Phe	Asn	Trp	Tyr	Val	Asp	Gly	Val	Glu	Val	His	Asn	Ala	Lys	Thr
			275			280					285				
Lys	Pro	Arg	Glu	Glu	Gln	Tyr	Asn	Ser	Thr	Tyr	Arg	Val	Val	Ser	Val
			290			295					300				
Leu	Thr	Val	Leu	His	Gln	Asp	Trp	Leu	Asn	Gly	Lys	Glu	Tyr	Lys	Cys
			305			310				315			320		
Lys	Val	Ser	Asn	Lys	Ala	Leu	Gly	Ala	Pro	Ile	Glu	Lys	Thr	Ile	Ser
			325			330					335				
Lys	Ala	Lys	Gly	Gln	Pro	Arg	Glu	Pro	Gln	Val	Cys	Thr	Leu	Pro	Pro
			340			345					350				
Ser	Arg	Asp	Glu	Leu	Thr	Lys	Asn	Gln	Val	Ser	Leu	Ser	Cys	Ala	Val
			355			360					365				
Lys	Gly	Phe	Tyr	Pro	Ser	Asp	Ile	Ala	Val	Glu	Trp	Glu	Ser	Asn	Gly
			370			375					380				
Gln	Pro	Glu	Asn	Asn	Tyr	Lys	Thr	Thr	Pro	Pro	Val	Leu	Asp	Ser	Asp
			385			390				395			400		
Gly	Ser	Phe	Phe	Leu	Val	Ser	Lys	Leu	Thr	Val	Asp	Lys	Ser	Arg	Trp
			405			410					415				
Gln	Gln	Gly	Asn	Val	Phe	Ser	Cys	Ser	Val	Met	His	Glu	Ala	Leu	His
			420			425					430				
Asn	His	Tyr	Thr	Gln	Lys	Ser	Leu	Ser	Leu	Ser	Pro	Gly	Lys		
														435	
															440
															445

<210> 51

<211> 216

<212> Белок

<213> Искусственная последовательность

<220>

<223> LC Mab21

<400> 51

Glu	Ile	Val	Leu	Thr	Gln	Ser	Pro	Gly	Thr	Leu	Ser	Leu	Ser	Pro	Gly
1			5					10					15		
Glu	Arg	Ala	Thr	Leu	Ser	Cys	Arg	Ala	Ser	Gln	Ser	Val	Ser	Glu	Tyr
			20			25					30				
Tyr	Leu	Ala	Trp	Tyr	Gln	Gln	Lys	Pro	Gly	Gln	Ala	Pro	Arg	Leu	Leu
			35			40					45				
Ile	Glu	His	Ala	Ser	Thr	Arg	Ala	Thr	Gly	Ile	Pro	Asp	Arg	Phe	Ser
			50			55					60				
Gly	Ser	Gly	Ser	Gly	Thr	Asp	Phe	Thr	Leu	Thr	Ile	Ser	Arg	Leu	Glu
			65			70				75			80		
Pro	Glu	Asp	Phe	Ala	Val	Tyr	Tyr	Cys	Gln	Gln	Tyr	Gly	Tyr	Pro	Pro
			85			90					95				
Asp	Phe	Thr	Phe	Gly	Gln	Gly	Thr	Lys	Val	Glu	Ile	Lys	Arg	Thr	Val
			100			105					110				
Ala	Ala	Pro	Ser	Val	Phe	Ile	Phe	Pro	Pro	Ser	Asp	Arg	Lys	Leu	Lys
			115			120					125				
Ser	Gly	Thr	Ala	Ser	Val	Val	Cys	Leu	Leu	Asn	Asn	Phe	Tyr	Pro	Arg
			130			135					140				
Glu	Ala	Lys	Val	Gln	Trp	Lys	Val	Asp	Asn	Ala	Leu	Gln	Ser	Gly	Asn
			145			150				155			160		
Ser	Gln	Glu	Ser	Val	Thr	Glu	Gln	Asp	Ser	Lys	Asp	Ser	Thr	Tyr	Ser

165 170 175  
Leu Ser Ser Thr Leu Thr Leu Ser Lys Ala Asp Tyr Glu Lys His Lys  
180 185 190  
Val Tyr Ala Cys Glu Val Thr His Gln Gly Leu Ser Ser Pro Val Thr  
195 200 205  
Lys Ser Phe Asn Arg Gly Glu Cys  
210 215

<210> 52

<211> 671

<212> Белок

<213> Искусственная последовательность

<220>

<223> HC с "выступом" Mab22

<400> 52

Glu Val Gln Leu Leu Glu Ser Gly Gly Leu Val Gln Pro Gly Gly  
1 5 10 15  
Ser Leu Arg Leu Ser Cys Ala Ala Ser Gly Phe Thr Phe Ser Asp Asn  
20 25 30  
Ala Met Gly Trp Val Arg Gln Ala Pro Gly Lys Gly Leu Glu Trp Val  
35 40 45  
Ser Ala Ile Ser Gly Pro Gly Ser Ser Thr Tyr Tyr Ala Asp Ser Val  
50 55 60  
Lys Gly Arg Phe Thr Ile Ser Arg Asp Asn Ser Lys Asn Thr Leu Tyr  
65 70 75 80  
Leu Gln Met Asn Ser Leu Arg Ala Glu Asp Thr Ala Val Tyr Tyr Cys  
85 90 95  
Ala Lys Val Leu Gly Trp Phe Asp Tyr Trp Gly Gln Gly Thr Leu Val  
100 105 110  
Thr Val Ser Ser Ala Ser Thr Lys Gly Pro Ser Val Phe Pro Leu Ala  
115 120 125  
Pro Ser Ser Lys Ser Thr Ser Gly Gly Thr Ala Ala Leu Gly Cys Leu  
130 135 140  
Val Glu Asp Tyr Phe Pro Glu Pro Val Thr Val Ser Trp Asn Ser Gly  
145 150 155 160  
Ala Leu Thr Ser Gly Val His Thr Phe Pro Ala Val Leu Gln Ser Ser  
165 170 175  
Gly Leu Tyr Ser Leu Ser Ser Val Val Thr Val Pro Ser Ser Ser Leu  
180 185 190  
Gly Thr Gln Thr Tyr Ile Cys Asn Val Asn His Lys Pro Ser Asn Thr  
195 200 205  
Lys Val Asp Glu Lys Val Glu Pro Lys Ser Cys Asp Gly Gly Gly  
210 215 220  
Ser Gly Gly Gly Ser Gln Ala Val Val Thr Gln Glu Pro Ser Leu  
225 230 235 240  
Thr Val Ser Pro Gly Gly Thr Val Thr Leu Thr Cys Gly Ser Ser Thr  
245 250 255  
Gly Ala Val Thr Thr Ser Asn Tyr Ala Asn Trp Val Gln Glu Lys Pro  
260 265 270  
Gly Gln Ala Phe Arg Gly Leu Ile Gly Gly Thr Asn Lys Arg Ala Pro  
275 280 285  
Gly Thr Pro Ala Arg Phe Ser Gly Ser Leu Leu Gly Gly Lys Ala Ala  
290 295 300  
Leu Thr Leu Ser Gly Ala Gln Pro Glu Asp Glu Ala Glu Tyr Tyr Cys  
305 310 315 320  
Ala Leu Trp Tyr Ser Asn Leu Trp Val Phe Gly Gly Thr Lys Leu  
325 330 335  
Thr Val Leu Ser Ser Ala Ser Thr Lys Gly Pro Ser Val Phe Pro Leu  
340 345 350  
Ala Pro Ser Ser Lys Ser Thr Ser Gly Gly Thr Ala Ala Leu Gly Cys  
355 360 365  
Leu Val Lys Asp Tyr Phe Pro Glu Pro Val Thr Val Ser Trp Asn Ser

370	375	380
Gly Ala Leu Thr Ser Gly Val His Thr Phe Pro Ala Val Leu Gln Ser		
385	390	395
Ser Gly Leu Tyr Ser Leu Ser Ser Val Val Thr Val Pro Ser Ser Ser		400
405	410	415
Leu Gly Thr Gln Thr Tyr Ile Cys Asn Val Asn His Lys Pro Ser Asn		
420	425	430
Thr Lys Val Asp Lys Lys Val Glu Pro Lys Ser Cys Asp Lys Thr His		
435	440	445
Thr Cys Pro Pro Cys Pro Ala Pro Glu Ala Ala Gly Gly Pro Ser Val		
450	455	460
Phe Leu Phe Pro Pro Lys Pro Lys Asp Thr Leu Met Ile Ser Arg Thr		
465	470	475
Pro Glu Val Thr Cys Val Val Val Asp Val Ser His Glu Asp Pro Glu		
485	490	495
Val Lys Phe Asn Trp Tyr Val Asp Gly Val Glu Val His Asn Ala Lys		
500	505	510
Thr Lys Pro Arg Glu Glu Gln Tyr Asn Ser Thr Tyr Arg Val Val Ser		
515	520	525
Val Leu Thr Val Leu His Gln Asp Trp Leu Asn Gly Lys Glu Tyr Lys		
530	535	540
Cys Lys Val Ser Asn Lys Ala Leu Gly Ala Pro Ile Glu Lys Thr Ile		
545	550	555
Ser Lys Ala Lys Gly Gln Pro Arg Glu Pro Gln Val Tyr Thr Leu Pro		
565	570	575
Pro Cys Arg Asp Glu Leu Thr Lys Asn Gln Val Ser Leu Trp Cys Leu		
580	585	590
Val Lys Gly Phe Tyr Pro Ser Asp Ile Ala Val Glu Trp Glu Ser Asn		
595	600	605
Gly Gln Pro Glu Asn Asn Tyr Lys Thr Thr Pro Pro Val Leu Asp Ser		
610	615	620
Asp Gly Ser Phe Phe Leu Tyr Ser Lys Leu Thr Val Asp Lys Ser Arg		
625	630	635
Trp Gln Gln Gly Asn Val Phe Ser Cys Ser Val Met His Glu Ala Leu		
645	650	655
His Asn His Tyr Thr Gln Lys Ser Leu Ser Leu Ser Pro Gly Lys		
660	665	670

<210> 53  
<211> 446  
<212> Белок  
<213> Искусственная последовательность

<220>  
<223> HC с "отверстием" Mab22

<400> 53		
Glu Val Gln Leu Leu Glu Ser Gly Gly Gly Leu Val Gln Pro Gly Gly		
1	5	10
15		
Ser Leu Arg Leu Ser Cys Ala Ala Ser Gly Phe Thr Phe Ser Asp Asn		
20	25	30
30		
Ala Met Gly Trp Val Arg Gln Ala Pro Gly Lys Gly Leu Glu Trp Val		
35	40	45
45		
Ser Ala Ile Ser Gly Pro Gly Ser Ser Thr Tyr Tyr Ala Asp Ser Val		
50	55	60
60		
Lys Gly Arg Phe Thr Ile Ser Arg Asp Asn Ser Lys Asn Thr Leu Tyr		
65	70	75
75		80
Leu Gln Met Asn Ser Leu Arg Ala Glu Asp Thr Ala Val Tyr Tyr Cys		
85	90	95
95		
Ala Lys Val Leu Gly Trp Phe Asp Tyr Trp Gly Gln Gly Thr Leu Val		
100	105	110
110		
Thr Val Ser Ser Ala Ser Thr Lys Gly Pro Ser Val Phe Pro Leu Ala		
115	120	125
125		
Pro Ser Ser Lys Ser Thr Ser Gly Gly Thr Ala Ala Leu Gly Cys Leu		

130	135	140
Val Glu Asp Tyr Phe Pro Glu Pro Val Thr Val Ser Trp Asn Ser Gly		
145	150	155
Ala Leu Thr Ser Gly Val His Thr Phe Pro Ala Val Leu Gln Ser Ser		160
165	170	175
Gly Leu Tyr Ser Leu Ser Ser Val Val Thr Val Pro Ser Ser Ser Leu		
180	185	190
Gly Thr Gln Thr Tyr Ile Cys Asn Val Asn His Lys Pro Ser Asn Thr		
195	200	205
Lys Val Asp Glu Lys Val Glu Pro Lys Ser Cys Asp Lys Thr His Thr		
210	215	220
Cys Pro Pro Cys Pro Ala Pro Glu Ala Ala Gly Gly Pro Ser Val Phe		
225	230	235
Leu Phe Pro Pro Lys Pro Lys Asp Thr Leu Met Ile Ser Arg Thr Pro		240
245	250	255
Glu Val Thr Cys Val Val Val Asp Val Ser His Glu Asp Pro Glu Val		
260	265	270
Lys Phe Asn Trp Tyr Val Asp Gly Val Glu Val His Asn Ala Lys Thr		
275	280	285
Lys Pro Arg Glu Glu Gln Tyr Asn Ser Thr Tyr Arg Val Val Ser Val		
290	295	300
Leu Thr Val Leu His Gln Asp Trp Leu Asn Gly Lys Glu Tyr Lys Cys		
305	310	315
Lys Val Ser Asn Lys Ala Leu Gly Ala Pro Ile Glu Lys Thr Ile Ser		320
325	330	335
Lys Ala Lys Gly Gln Pro Arg Glu Pro Gln Val Cys Thr Leu Pro Pro		
340	345	350
Ser Arg Asp Glu Leu Thr Lys Asn Gln Val Ser Leu Ser Cys Ala Val		
355	360	365
Lys Gly Phe Tyr Pro Ser Asp Ile Ala Val Glu Trp Glu Ser Asn Gly		
370	375	380
Gln Pro Glu Asn Asn Tyr Lys Thr Thr Pro Pro Val Leu Asp Ser Asp		
385	390	395
Gly Ser Phe Phe Leu Val Ser Lys Leu Thr Val Asp Lys Ser Arg Trp		400
405	410	415
Gln Gln Gly Asn Val Phe Ser Cys Ser Val Met His Glu Ala Leu His		
420	425	430
Asn His Tyr Thr Gln Lys Ser Leu Ser Leu Ser Pro Gly Lys		
435	440	445

<210> 54

<211> 216

<212> Белок

<213> Искусственная последовательность

<220>

<223> LC Mab22

<400> 54

Glu Ile Val Leu Thr Gln Ser Pro Gly Thr Leu Ser Leu Ser Pro Gly		
1	5	10
Glu Arg Ala Thr Leu Ser Cys Arg Ala Ser Gln Ser Val Ser Ser Tyr		
20	25	30
Tyr Leu Ala Trp Tyr Gln Gln Lys Pro Gly Gln Ala Pro Arg Leu Leu		
35	40	45
Ile Ser Gly Ala Gly Ser Arg Ala Thr Gly Ile Pro Asp Arg Phe Ser		
50	55	60
Gly Ser Gly Ser Gly Thr Asp Phe Thr Leu Thr Ile Ser Arg Leu Glu		
65	70	75
80		
Pro Glu Asp Phe Ala Val Tyr Tyr Cys Gln Gln Tyr Gly Tyr Pro Pro		
85	90	95
Asp Phe Thr Phe Gly Gln Gly Thr Lys Val Glu Ile Lys Arg Thr Val		
100	105	110
Ala Ala Pro Ser Val Phe Ile Phe Pro Pro Ser Asp Arg Lys Leu Lys		

115	120	125
Ser Gly Thr Ala Ser Val Val Cys Leu Leu Asn Asn Phe Tyr Pro Arg		
130	135	140
Glu Ala Lys Val Gln Trp Lys Val Asp Asn Ala Leu Gln Ser Gly Asn		
145	150	155
Ser Gln Glu Ser Val Thr Glu Gln Asp Ser Lys Asp Ser Thr Tyr Ser		
165	170	175
Leu Ser Ser Thr Leu Thr Leu Ser Lys Ala Asp Tyr Glu Lys His Lys		
180	185	190
Val Tyr Ala Cys Glu Val Thr His Gln Gly Leu Ser Ser Pro Val Thr		
195	200	205
Lys Ser Phe Asn Arg Gly Glu Cys		
210	215	

<210> 55

<211> 671

<212> Белок

<213> Искусственная последовательность

<220>

<223> HC с "выступом" Mab42

<400> 55

Glu Val Gln Leu Leu Glu Ser Gly Gly Gly Leu Val Gln Pro Gly Gly		
1	5	10
Ser Leu Arg Leu Ser Cys Ala Ala Ser Gly Phe Thr Phe Ser Asp Asn		
20	25	30
Ala Met Gly Trp Val Arg Gln Ala Pro Gly Lys Gly Leu Glu Trp Val		
35	40	45
Ser Ala Ile Ser Gly Pro Gly Ser Ser Thr Tyr Tyr Ala Asp Ser Val		
50	55	60
Lys Gly Arg Phe Thr Ile Ser Arg Asp Asn Ser Lys Asn Thr Leu Tyr		
65	70	75
80		
Leu Gln Met Asn Ser Leu Arg Ala Glu Asp Thr Ala Val Tyr Tyr Cys		
85	90	95
Ala Lys Val Leu Gly Trp Phe Asp Tyr Trp Gly Gln Gly Thr Leu Val		
100	105	110
Thr Val Ser Ser Ala Ser Thr Lys Gly Pro Ser Val Phe Pro Leu Ala		
115	120	125
Pro Ser Ser Lys Ser Thr Ser Gly Gly Thr Ala Ala Leu Gly Cys Leu		
130	135	140
Val Glu Asp Tyr Phe Pro Glu Pro Val Thr Val Ser Trp Asn Ser Gly		
145	150	155
160		
Ala Leu Thr Ser Gly Val His Thr Phe Pro Ala Val Leu Gln Ser Ser		
165	170	175
Gly Leu Tyr Ser Leu Ser Ser Val Val Thr Val Pro Ser Ser Leu		
180	185	190
Gly Thr Gln Thr Tyr Ile Cys Asn Val Asn His Lys Pro Ser Asn Thr		
195	200	205
Lys Val Asp Glu Lys Val Glu Pro Lys Ser Cys Asp Gly Gly Gly		
210	215	220
Ser Gly Gly Gly Ser Gln Ala Val Val Thr Gln Glu Pro Ser Leu		
225	230	235
240		
Thr Val Ser Pro Gly Gly Thr Val Thr Leu Thr Cys Gly Ser Ser Thr		
245	250	255
Gly Ala Val Thr Thr Ser Asn Tyr Ala Asn Trp Val Gln Glu Lys Pro		
260	265	270
Gly Gln Ala Phe Arg Gly Leu Ile Gly Gly Thr Asn Lys Arg Ala Pro		
275	280	285
Gly Thr Pro Ala Arg Phe Ser Gly Ser Leu Leu Gly Gly Lys Ala Ala		
290	295	300
Leu Thr Leu Ser Gly Ala Gln Pro Glu Asp Glu Ala Glu Tyr Tyr Cys		
305	310	315
320		
Ala Leu Trp Tyr Ser Asn Leu Trp Val Phe Gly Gly Thr Lys Leu		

<210> 56  
<211> 446  
<212> Белок  
<213> Искусс

<220>  
<223> HC с "отверстием" Mab42

```

<400> 56
Glu Val Gln Leu Leu Glu Ser Gly Gly Gly Leu Val Gln Pro Gly Gly
1           5           10          15
Ser Leu Arg Leu Ser Cys Ala Ala Ser Gly Phe Thr Phe Ser Asp Asn
20          25          30
Ala Met Gly Trp Val Arg Gln Ala Pro Gly Lys Gly Leu Glu Trp Val
35          40          45
Ser Ala Ile Ser Gly Pro Gly Ser Ser Thr Tyr Tyr Ala Asp Ser Val
50          55          60
Lys Gly Arg Phe Thr Ile Ser Arg Asp Asn Ser Lys Asn Thr Leu Tyr
65          70          75          80
Leu Gln Met Asn Ser Leu Arg Ala Glu Asp Thr Ala Val Tyr Tyr Cys

```

	85	90	95
Ala Lys Val Leu Gly Trp Phe Asp Tyr Trp Gly Gln Gly Thr Leu Val			
100	105	110	
Thr Val Ser Ser Ala Ser Thr Lys Gly Pro Ser Val Phe Pro Leu Ala			
115	120	125	
Pro Ser Ser Lys Ser Thr Ser Gly Gly Thr Ala Ala Leu Gly Cys Leu			
130	135	140	
Val Glu Asp Tyr Phe Pro Glu Pro Val Thr Val Ser Trp Asn Ser Gly			
145	150	155	160
Ala Leu Thr Ser Gly Val His Thr Phe Pro Ala Val Leu Gln Ser Ser			
165	170	175	
Gly Leu Tyr Ser Leu Ser Ser Val Val Thr Val Pro Ser Ser Ser Leu			
180	185	190	
Gly Thr Gln Thr Tyr Ile Cys Asn Val Asn His Lys Pro Ser Asn Thr			
195	200	205	
Lys Val Asp Glu Lys Val Glu Pro Lys Ser Cys Asp Lys Thr His Thr			
210	215	220	
Cys Pro Pro Cys Pro Ala Pro Glu Ala Ala Gly Gly Pro Ser Val Phe			
225	230	235	240
Leu Phe Pro Pro Lys Pro Lys Asp Thr Leu Met Ile Ser Arg Thr Pro			
245	250	255	
Glu Val Thr Cys Val Val Val Asp Val Ser His Glu Asp Pro Glu Val			
260	265	270	
Lys Phe Asn Trp Tyr Val Asp Gly Val Glu Val His Asn Ala Lys Thr			
275	280	285	
Lys Pro Arg Glu Glu Gln Tyr Asn Ser Thr Tyr Arg Val Val Ser Val			
290	295	300	
Leu Thr Val Leu His Gln Asp Trp Leu Asn Gly Lys Glu Tyr Lys Cys			
305	310	315	320
Lys Val Ser Asn Lys Ala Leu Gly Ala Pro Ile Glu Lys Thr Ile Ser			
325	330	335	
Lys Ala Lys Gly Gln Pro Arg Glu Pro Gln Val Cys Thr Leu Pro Pro			
340	345	350	
Ser Arg Asp Glu Leu Thr Lys Asn Gln Val Ser Leu Ser Cys Ala Val			
355	360	365	
Lys Gly Phe Tyr Pro Ser Asp Ile Ala Val Glu Trp Glu Ser Asn Gly			
370	375	380	
Gln Pro Glu Asn Asn Tyr Lys Thr Thr Pro Pro Val Leu Asp Ser Asp			
385	390	395	400
Gly Ser Phe Phe Leu Val Ser Lys Leu Thr Val Asp Lys Ser Arg Trp			
405	410	415	
Gln Gln Gly Asn Val Phe Ser Cys Ser Val Met His Glu Ala Leu His			
420	425	430	
Asn His Tyr Thr Gln Lys Ser Leu Ser Leu Ser Pro Gly Lys			
435	440	445	

<210> 57

<211> 216

<212> Белок

<213> Искусственная последовательность

<220>

<223> LC Mab42

<400> 57

Glu Ile Val Leu Thr Gln Ser Pro Gly Thr Leu Ser Leu Ser Pro Gly			
1	5	10	15
Glu Arg Ala Thr Leu Ser Cys Arg Ala Ser Gln Ser Val Ser Asp Glu			
20	25	30	
Tyr Leu Ser Trp Tyr Gln Gln Lys Pro Gly Gln Ala Pro Arg Leu Leu			
35	40	45	
Ile His Ser Ala Ser Thr Arg Ala Thr Gly Ile Pro Asp Arg Phe Ser			
50	55	60	
Gly Ser Gly Ser Gly Thr Asp Phe Thr Leu Ala Ile Ser Arg Leu Glu			

65	70	75	80												
Pro	Glu	Asp	Phe	Ala	Val	Tyr	Tyr	Cys	Gln	Gln	Tyr	Gly	Tyr	Pro	Pro
			85					90						95	
Asp	Phe	Thr	Phe	Gly	Gln	Gly	Thr	Lys	Val	Glu	Ile	Lys	Arg	Thr	Val
					100			105					110		
Ala	Ala	Pro	Ser	Val	Phe	Ile	Phe	Pro	Pro	Ser	Asp	Arg	Lys	Leu	Lys
					115			120				125			
Ser	Gly	Thr	Ala	Ser	Val	Val	Cys	Leu	Leu	Asn	Asn	Phe	Tyr	Pro	Arg
					130		135				140				
Glu	Ala	Lys	Val	Gln	Trp	Lys	Val	Asp	Asn	Ala	Leu	Gln	Ser	Gly	Asn
					145		150				155			160	
Ser	Gln	Glu	Ser	Val	Thr	Glu	Gln	Asp	Ser	Lys	Asp	Ser	Thr	Tyr	Ser
					165			170				175			
Leu	Ser	Ser	Thr	Leu	Thr	Leu	Ser	Lys	Ala	Asp	Tyr	Glu	Lys	His	Lys
					180			185				190			
Val	Tyr	Ala	Cys	Glu	Val	Thr	His	Gln	Gly	Leu	Ser	Ser	Pro	Val	Thr
					195			200				205			
Lys	Ser	Phe	Asn	Arg	Gly	Glu	Cys								
					210			215							

## **ФОРМУЛА ИЗОБРЕТЕНИЯ**

1. Биспецифичное антитело, содержащее первую связывающую часть, специфически связывающуюся с В-клеточным антигеном созревания (BCMA) человека, и вторую часть, специфически связывающуюся с CD3 $\varepsilon$  человека (CD3), и иммунотерапевтическое лекарственное средство, выбранное из группы, состоящей из талидомида и его иммунотерапевтического производного, анти-CD38 антитела, анти-PD-1 антитела и анти-PD-L1 антитела, для комбинированного применения в лечении множественной миеломы, характеризующееся тем, что указанная первая связывающая часть содержит область VH, содержащую область CDR1H SEQ ID NO:21, область CDR2H SEQ ID NO:22 и область CDR3H SEQ ID NO:17, и область VL, содержащую область CDR3L SEQ ID NO:20 и комбинацию областей CDR1L и CDR2L, выбранную из группы
  - i) область CDR1L SEQ ID NO:23 и область CDR2L SEQ ID NO:24,
  - ii) область CDR1L SEQ ID NO:25 и область CDR2L SEQ ID NO:26, или
  - iii) область CDR1L SEQ ID NO:27 и область CDR2L SEQ ID NO:28.
2. Биспецифичное антитело и иммунотерапевтическое лекарственное средство для комбинированного применения в лечении множественной миеломы по п. 1, где иммунотерапевтическое лекарственное средство выбрано из группы, состоящей из дарatumумаба, изатаксимаба, MOR202, Ab79, Ab19, талидомида, леналидомида, помалидомида, CC-122, CC220, пембролизумаба, пидилизумаба, ниволумаба, MEDI-0680, PDR001, REGN2810, ламбролизумаба, MDX-1106, BGB-108, h409A11, h409A16, h409A17 и атезолизумаба.
3. Способ лечения множественной миеломы, характеризующийся введением пациенту, нуждающемуся в таком лечении, терапевтически эффективного количества
  - а) биспецифичного антитела, содержащего первую связывающую часть, специфически связывающуюся с В-клеточным антигеном созревания человека (BCMA), и вторую связывающую часть, специфически связывающуюся с CD3 $\varepsilon$  человека (CD3), и

б) иммунотерапевтического лекарственного средства, выбранного из группы, состоящей из талидомида и его иммунотерапевтического производного, анти-CD38 антитела, анти-PD-1 антитела и анти-PD-L1 антитела,  
причем указанная первая связывающая часть содержит область VH, содержащую область CDR1H SEQ ID NO:21, область CDR2H SEQ ID NO:22 и область CDR3H SEQ ID NO:17, и область VL, содержащую область CDR3L SEQ ID NO:20 и комбинацию областей CDR1L и CDR2L, выбранную из группы  
i) область CDR1L SEQ ID NO:23 и область CDR2L SEQ ID NO:24,  
ii) область CDR1L SEQ ID NO:25 и область CDR2L SEQ ID NO:26, или  
iii) область CDR1L SEQ ID NO:27 и область CDR2L SEQ ID NO:28.

4. Способ по п. 3, в котором указанное иммунотерапевтическое лекарственное средство выбрано из группы, состоящей из даратумумаба, изатаксимаба, MOR202, Ab79, Ab19, талидомида, леналидомида, помалидомида, CC-122, CC-220, пембролизумаба, пидилизумаба, ниволумаба, MEDI-0680, PDR001, REGN2810, ламбролизумаба, MDX-1106, BGB-108, h409A11, h409A16, h409A17 и атезолизумаба.

5. Терапевтическая комбинация для достижения лизиса клеток множественной миеломы у пациента, страдающего от заболевания множественной миеломы, характеризующаяся тем, что содержит терапевтически эффективное количество  
а) биспецифичного антитела, содержащего первую связывающую часть, специфически связывающуюся с В-клеточным антигеном созревания человека (BCMA), и вторую связывающую часть, специфически связывающуюся с CD3 $\varepsilon$  человека (CD3), и  
б) иммунотерапевтического лекарственного средства, выбранного из группы, состоящей из талидомида и его иммунотерапевтического производного, анти-CD38 антитела, анти-PD-1 антитела и анти-PD-L1 антитела,  
причем указанная первая связывающая часть содержит область VH, содержащую область CDR1H SEQ ID NO:21, область CDR2H SEQ ID NO:22 и область CDR3H SEQ ID NO:17, и область VL, содержащую область CDR3L SEQ ID NO:20 и комбинацию областей CDR1L и CDR2L, выбранную из группы  
i) область CDR1L SEQ ID NO:23 и область CDR2L SEQ ID NO:24,

- ii) область CDR1L SEQ ID NO:25 и область CDR2L SEQ ID NO:26, или
- iii) область CDR1L SEQ ID NO:27 и область CDR2L SEQ ID NO:28.

6. Терапевтическая комбинация по п. 5, в которой указанное иммунотерапевтическое лекарственное средство выбрано из группы, состоящей из дарatumумаба, изатаксимаба, MOR202, Ab79, Ab19, талидомида, леналидомида, помалидомида, CC-122, CC-220, пембролизумаба, пидилизумаба, ниволумаба, MEDI-0680, PDR001, REGN2810, ламбролизумаба, MDX-1106, BGB-108, h409A11, h409A16, h409A17, атезолизумаба, авелумаба, дурвалумаба и MDX-1105.

7. Изделие, характеризующееся тем, что содержит

- a) биспецифичное антитело, содержащее первую связывающую часть, специфически связывающуюся с В-клеточным антигеном созревания (BCMA) человека, и вторую связывающую часть, специфически связывающуюся с CD3ε человека (CD3), где указанная первая связывающая часть содержит область VH, содержащую область CDR1H SEQ ID NO:21, область CDR2H SEQ ID NO:22 и область CDR3H SEQ ID NO:17, и область VL, содержащую область CDR3L SEQ ID NO:20 и комбинацию областей CDR1L и CDR2L, выбранную из группы
  - i) область CDR1L SEQ ID NO:23 и область CDR2L SEQ ID NO:24,
  - ii) область CDR1L SEQ ID NO:25 и область CDR2L SEQ ID NO:26, или
  - iii) область CDR1L SEQ ID NO:27 и область CDR2L SEQ ID NO:28 в фармацевтически приемлемом носителе,
- b) иммунотерапевтическое лекарственное средство, выбранное из группы, состоящей из талидомида и его иммунотерапевтического производного, анти-CD38 антитела, анти-PD-1 антитела и анти-PD-L1 антитела,
- c) фармацевтически приемлемый носитель и инструкции для введения указанного биспецифичного антитела и указанного иммунотерапевтического лекарственного средства в комбинации субъекту, нуждающемуся в лечении множественной миеломы.

8. Изделие по п. 7, отличающееся тем, что указанное иммунотерапевтическое лекарственное средство выбирают из группы, состоящей из дарatumумаба, изатаксимаба, MOR202, Ab79, Ab19, талидомида, леналидомида, помалидомида, CC-122, CC-220, пембролизумаба, пидилизумаба, ниволумаба, MEDI-0680, PDR001,

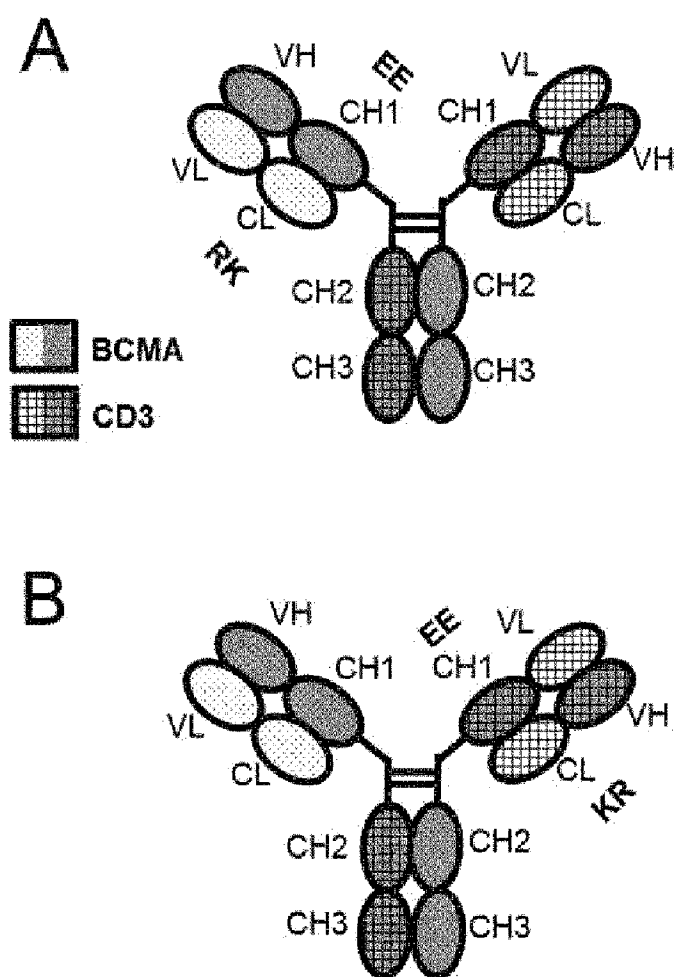
REGN2810, ламбролизумаба, MDX-1106, BGB-108, h409A11, h409A16, h409A17, атезолизумаба, авелумаба, дурвалумаба и MDX-1105.

9. Способ изготовления лекарственного средства, характеризующийся применением терапевтически эффективного количества

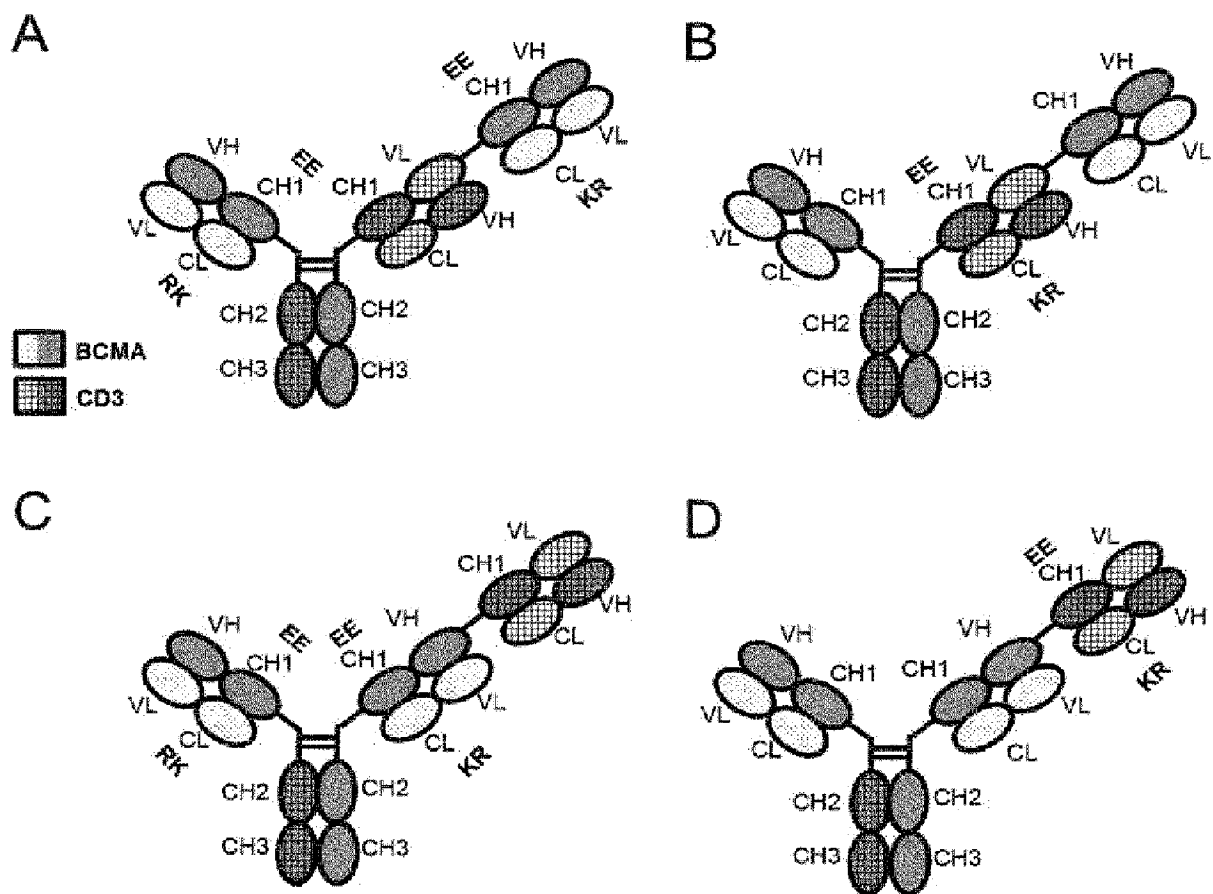
- а) биспецифичного антитела, содержащего первую связывающую часть, специфически связывающуюся с В-клеточным антигеном созревания (BCMA) человека, и вторую связывающую часть, специфически связывающуюся с CD3ε человека (CD3), где указанная первая связывающая часть содержит область VH, содержащую область CDR1H SEQ ID NO:21, область CDR2H SEQ ID NO:22 и область CDR3H SEQ ID NO:17, и область VL, содержащую область CDR3L SEQ ID NO:20 и комбинацию областей CDR1L и CDR2L, выбранную из группы
  - i) область CDR1L SEQ ID NO:23 и область CDR2L SEQ ID NO:24,
  - ii) область CDR1L SEQ ID NO:25 и область CDR2L SEQ ID NO:26, или
  - iii) область CDR1L SEQ ID NO:27 и область CDR2L SEQ ID NO:28,
- б) иммунотерапевтического лекарственного средства, выбранного из группы, состоящей из талидомида и его иммунотерапевтического производного, анти-CD38 антитела, анти-PD-1 антитела и анти-PD-L1 антитела,
- с) объединения указанного биспецифичного антитела и указанного иммунотерапевтического лекарственного средства в фармацевтически приемлемом носителе.

10. Способ изготовления лекарственного средства по п. 9, в котором указанное иммунотерапевтическое лекарственное средство выбирают из группы, состоящей из даратумумаба, изатаксимаба, MOR202, Ab79, Ab19, талидомида, леналидомида, помалидомида, CC-122, CC-220, пембролизумаба, пидилизумаба, ниволумаба, MEDI-0680, PDR001, REGN2810, ламбролизумаба, MDX-1106, BGB-108, h409A11, h409A16, h409A17, атезолизумаба, авелумаба, дурвалумаба и MDX-1105.

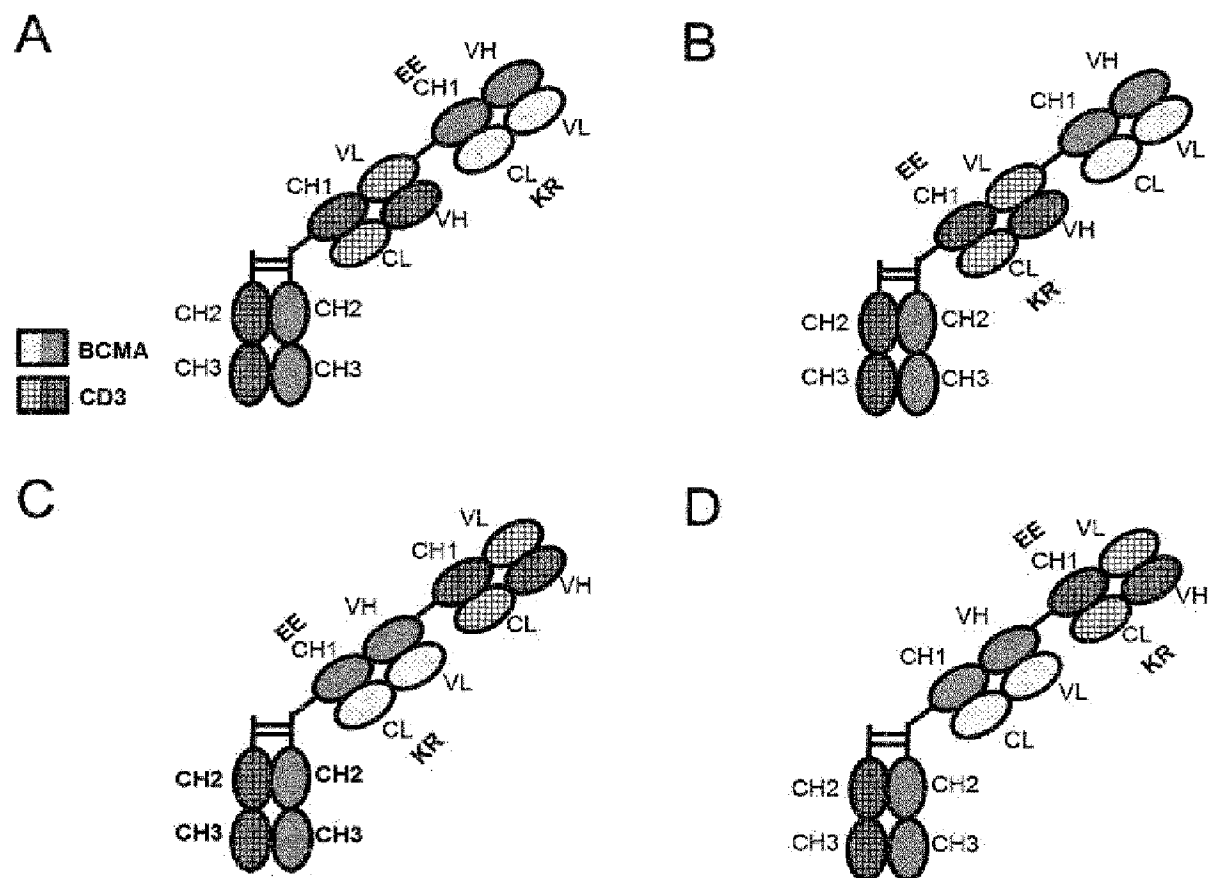
Фиг. 1



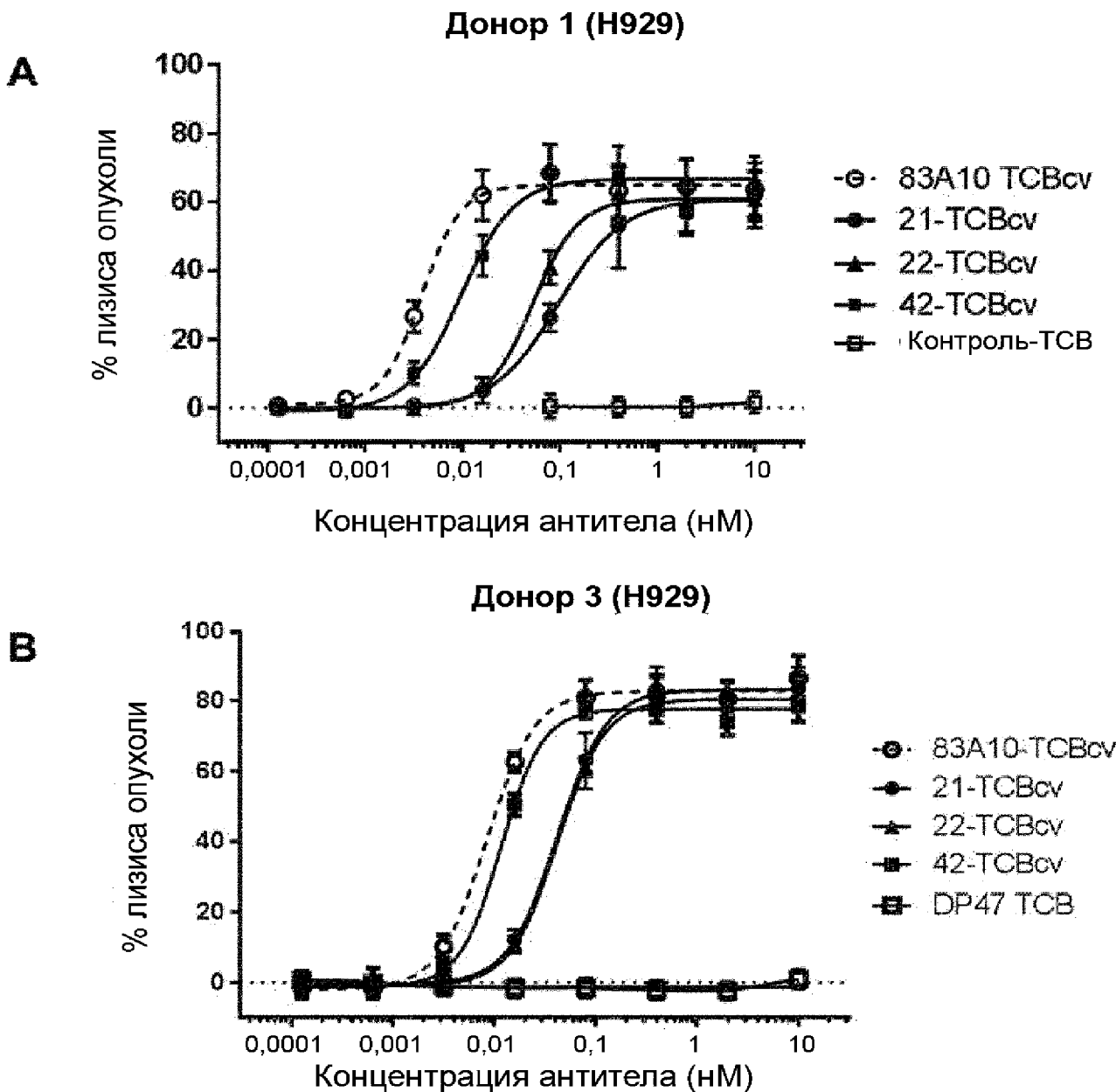
Фиг. 2



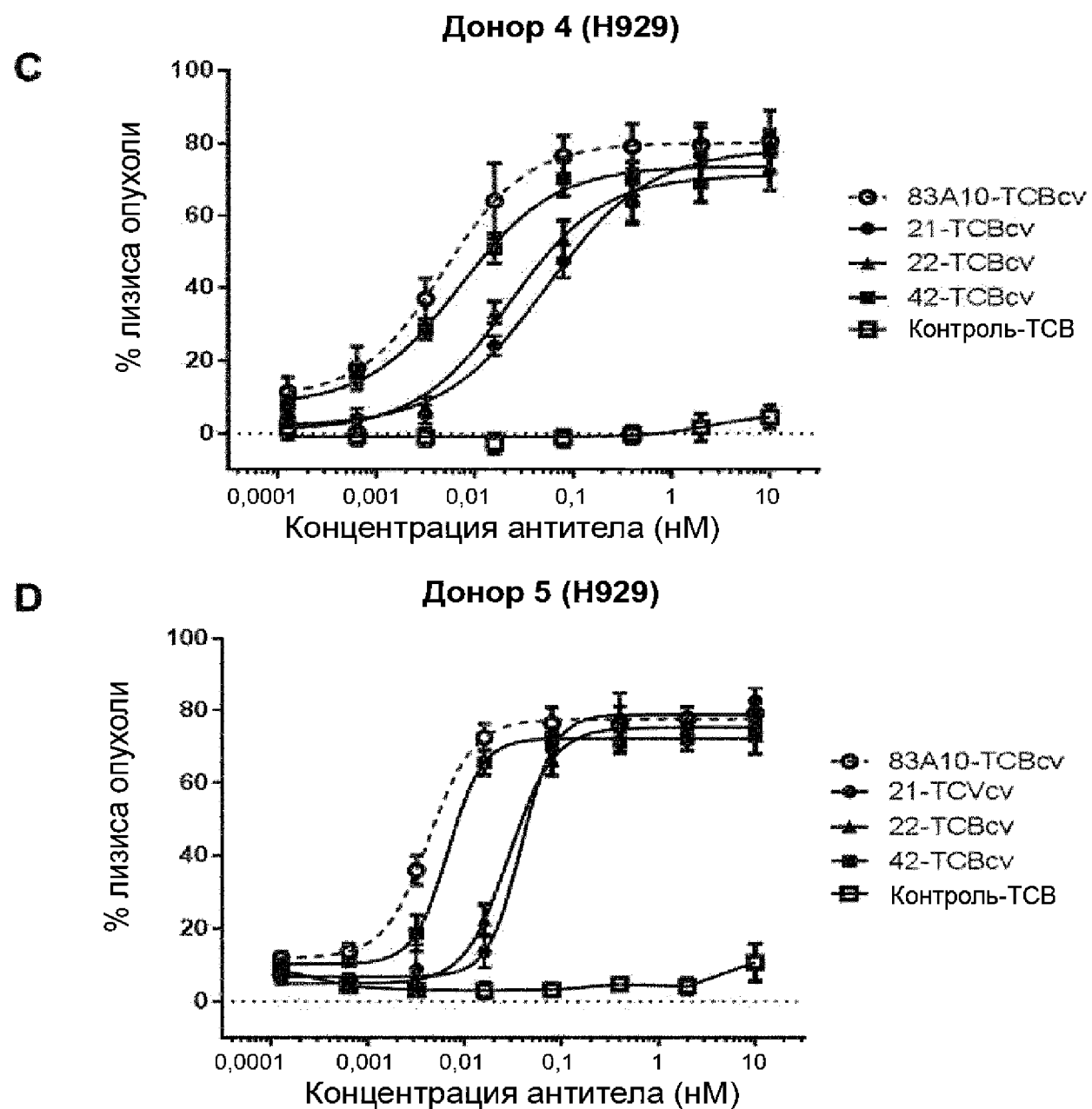
Фиг. 3



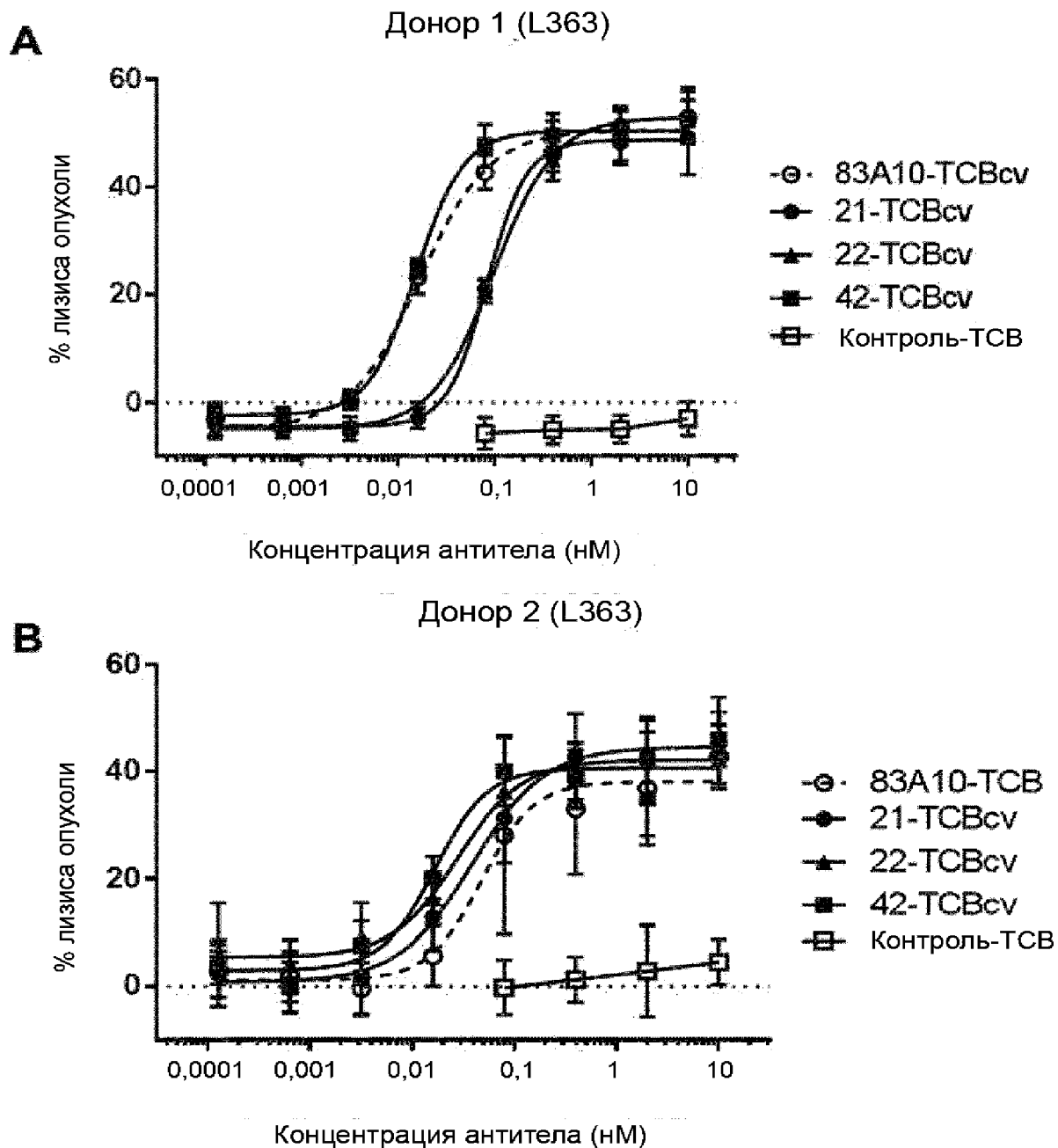
Фиг. 4



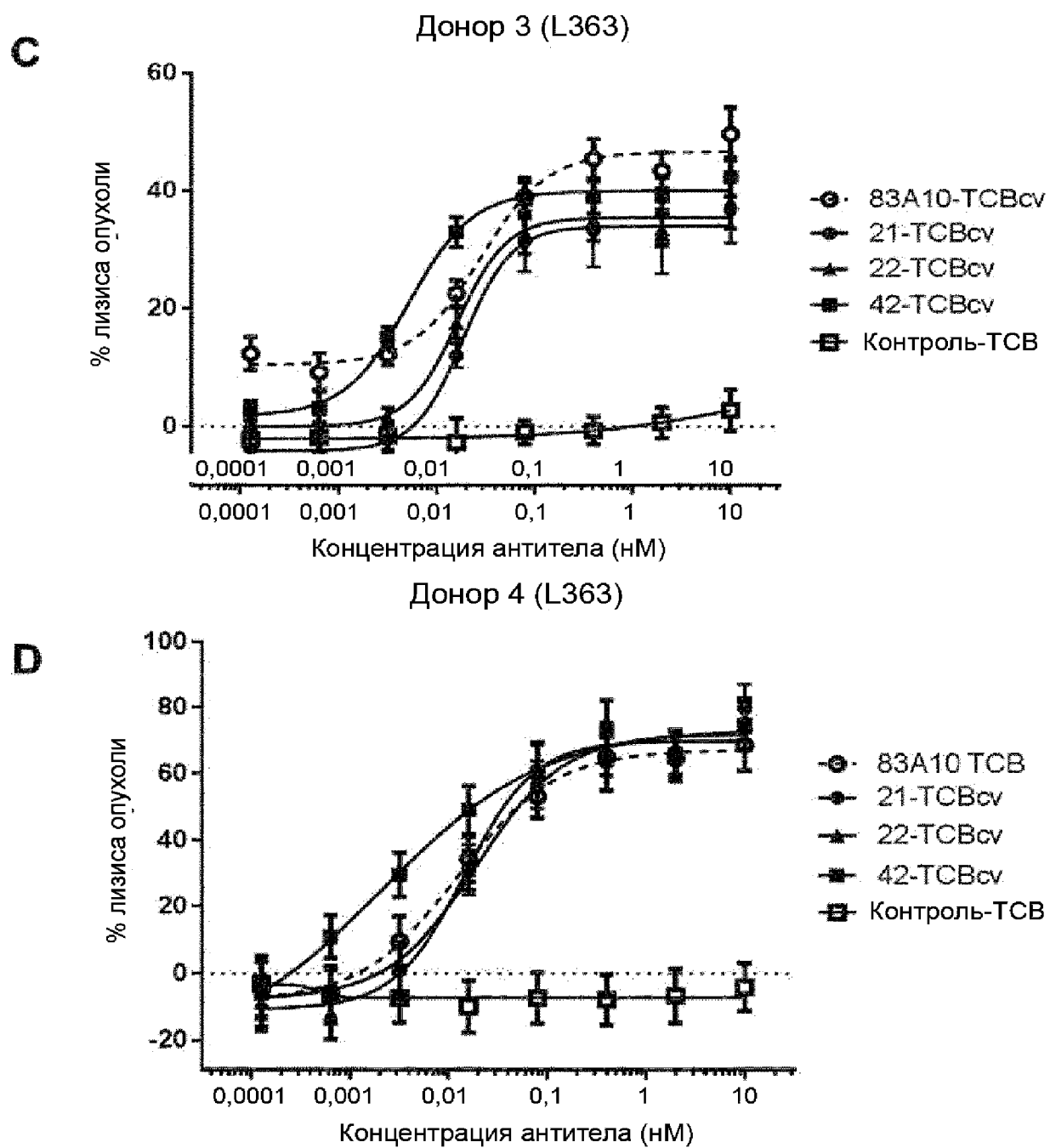
Фиг. 4 (продолжение)



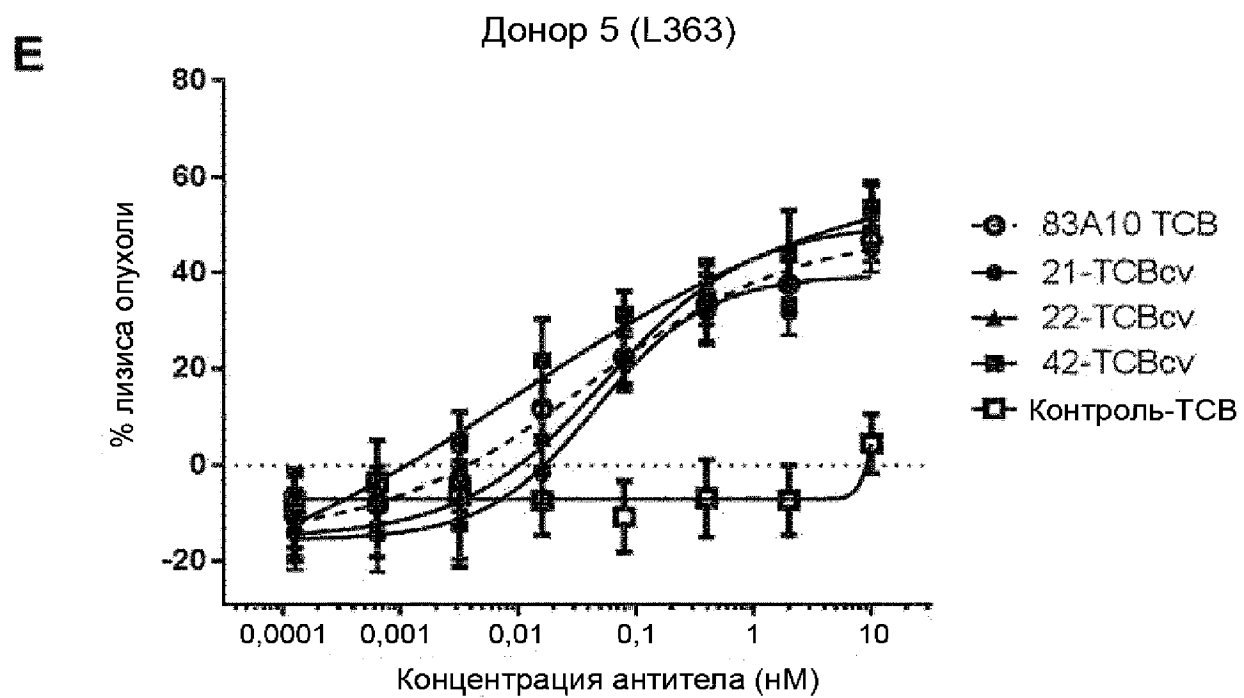
Фиг. 5



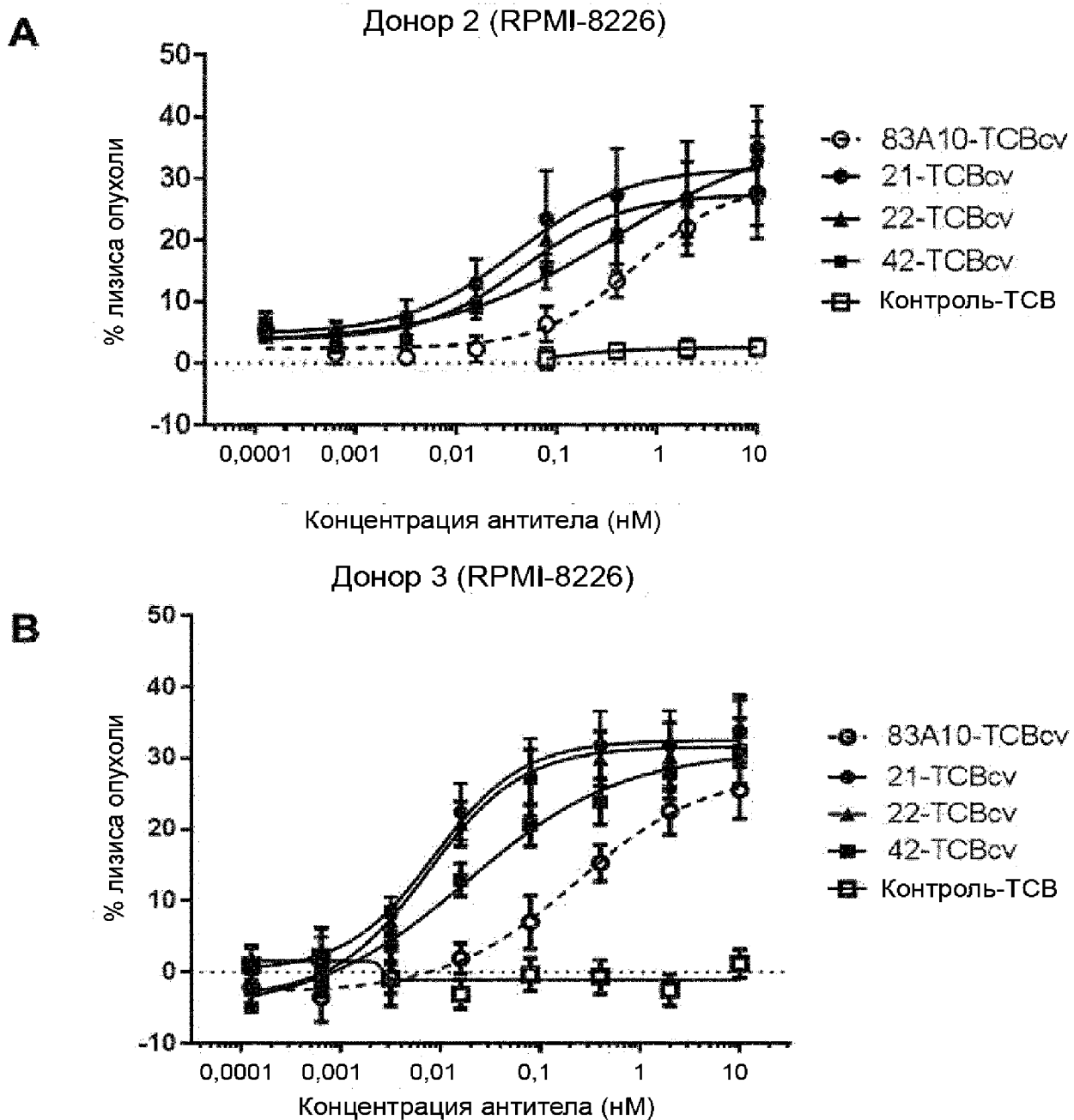
Фиг. 5 (продолжение)



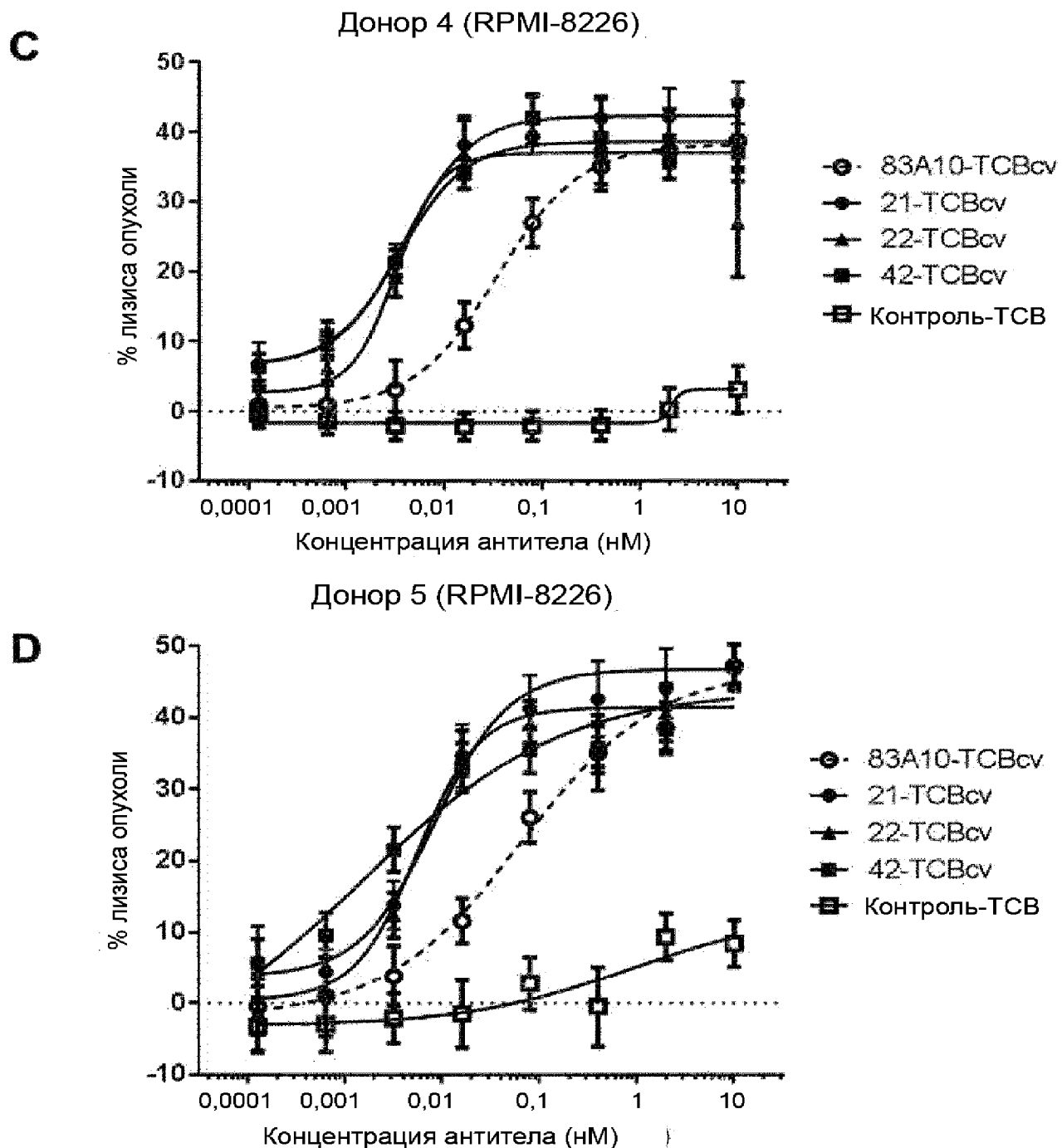
Фиг. 5 (продолжение)



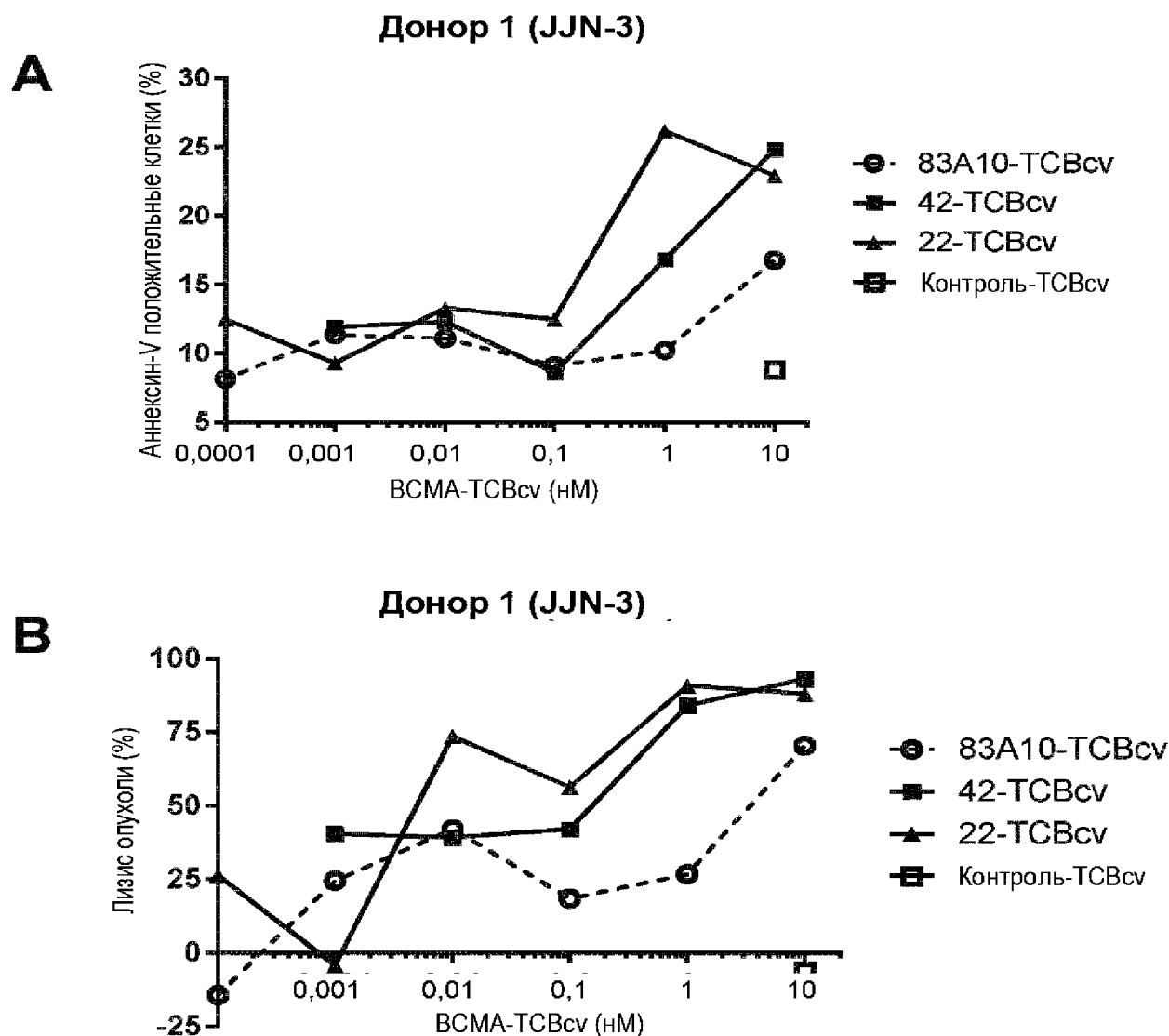
Фиг. 6



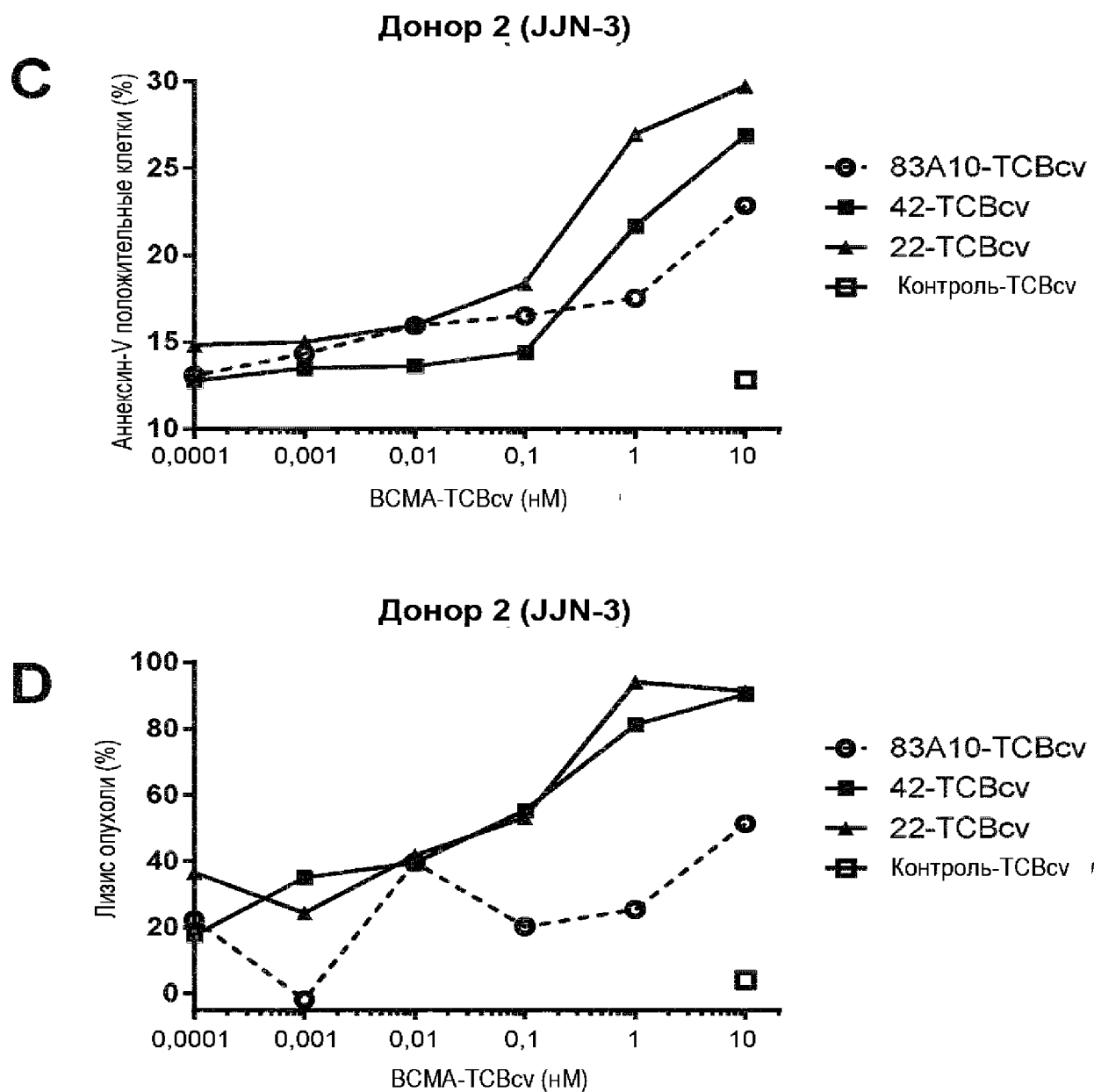
Фиг. 6 (продолжение)



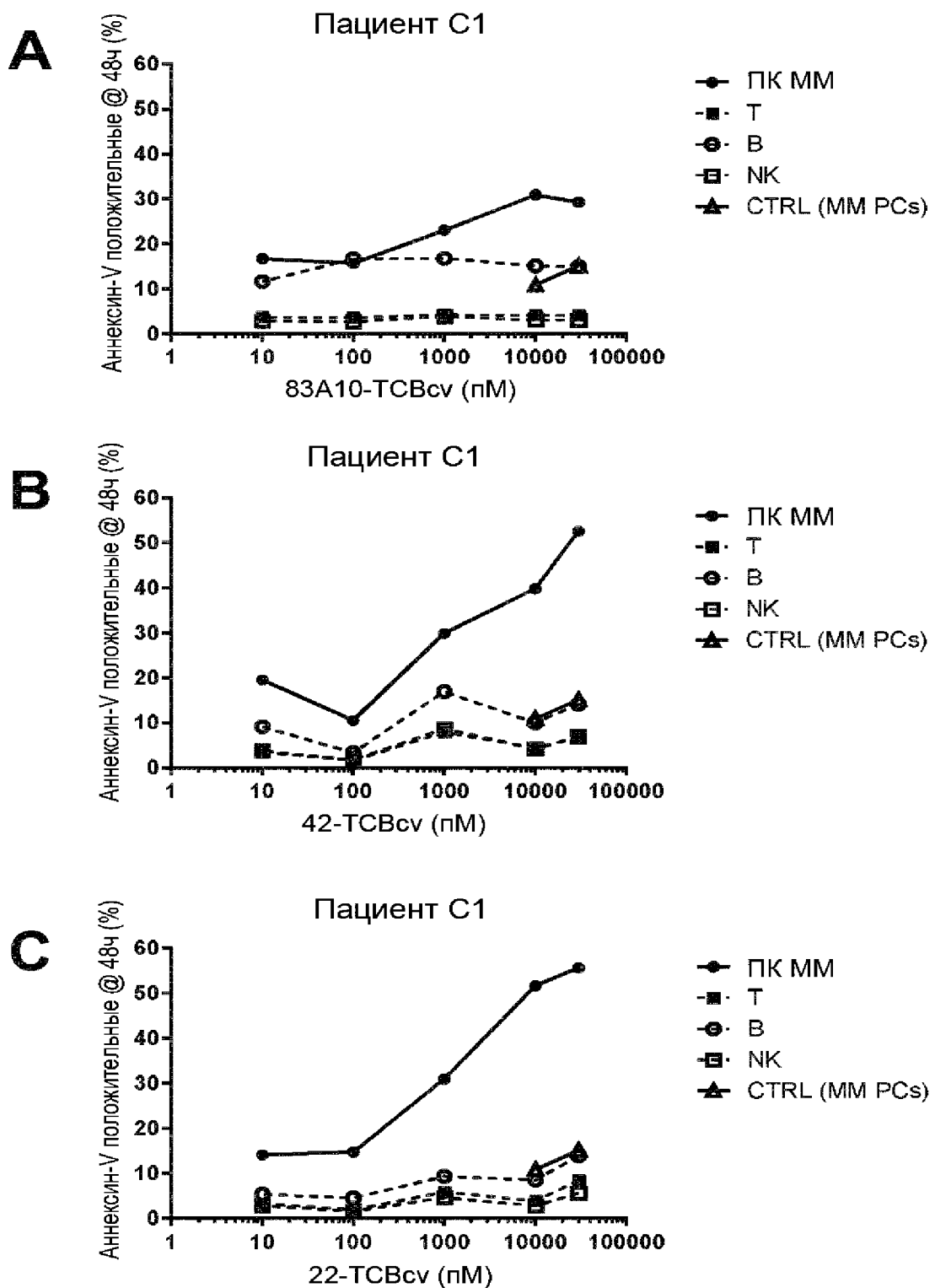
Фиг. 7



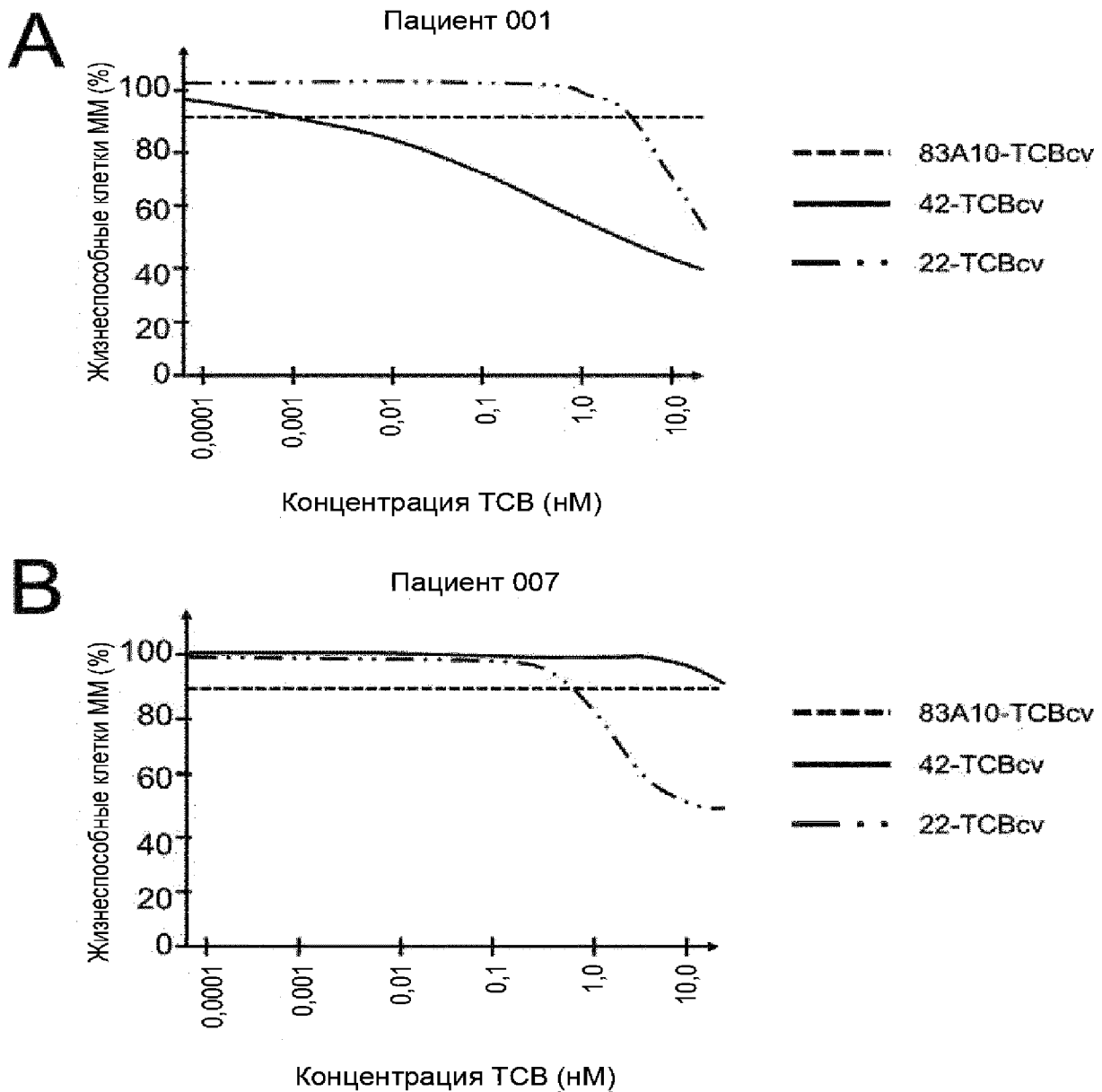
Фиг. 7 (продолжение)



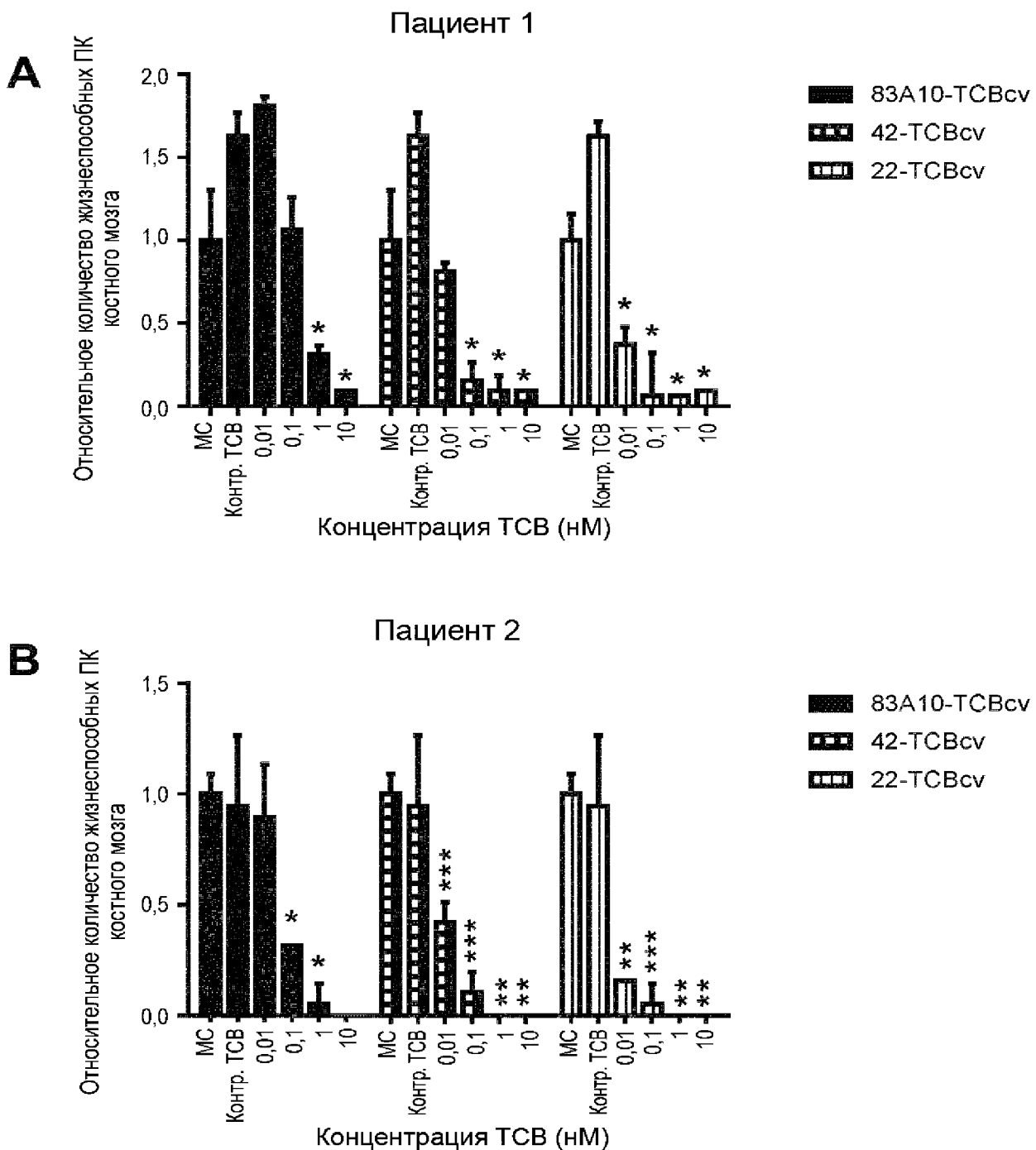
Фиг. 8



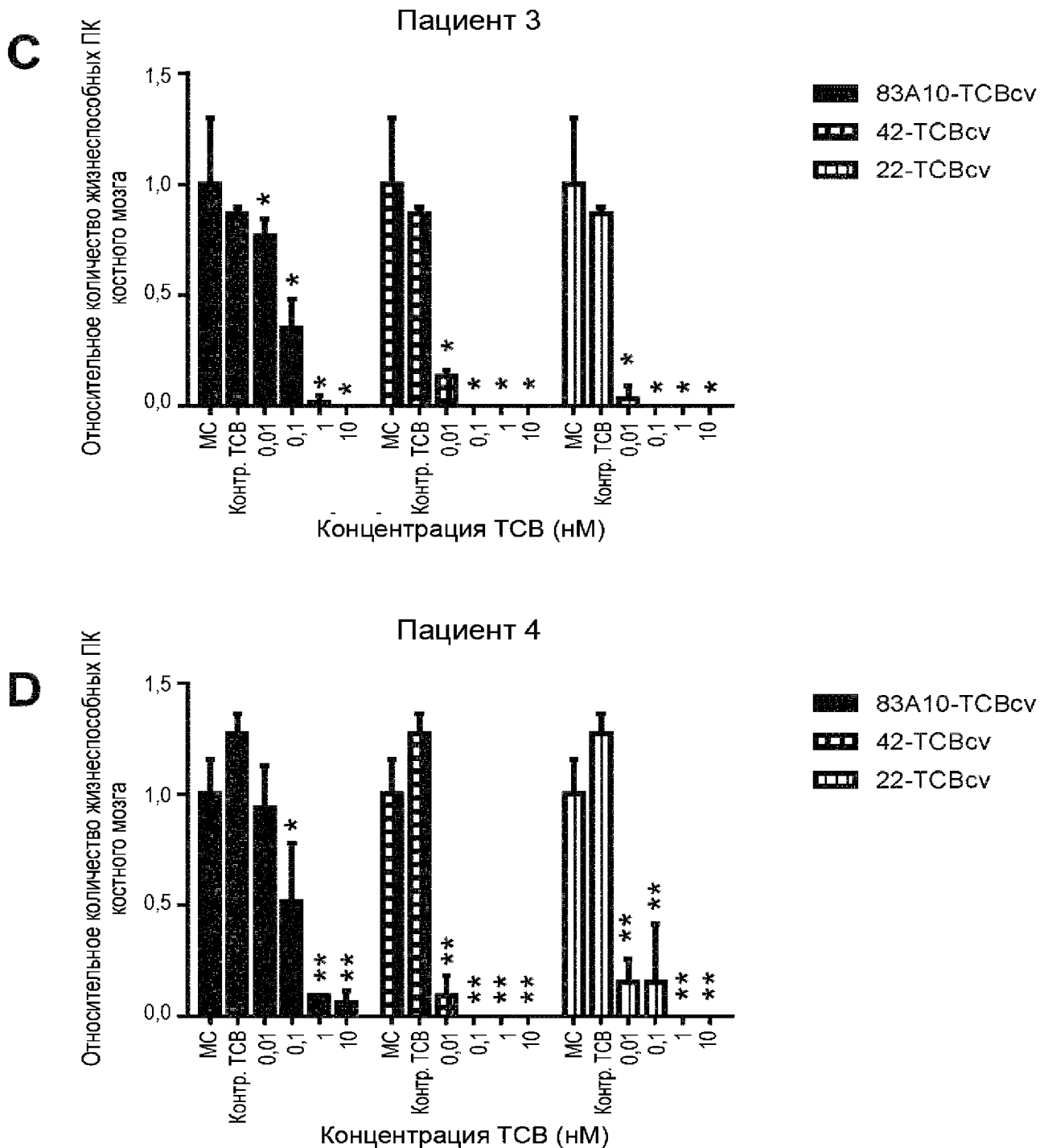
Фиг. 9



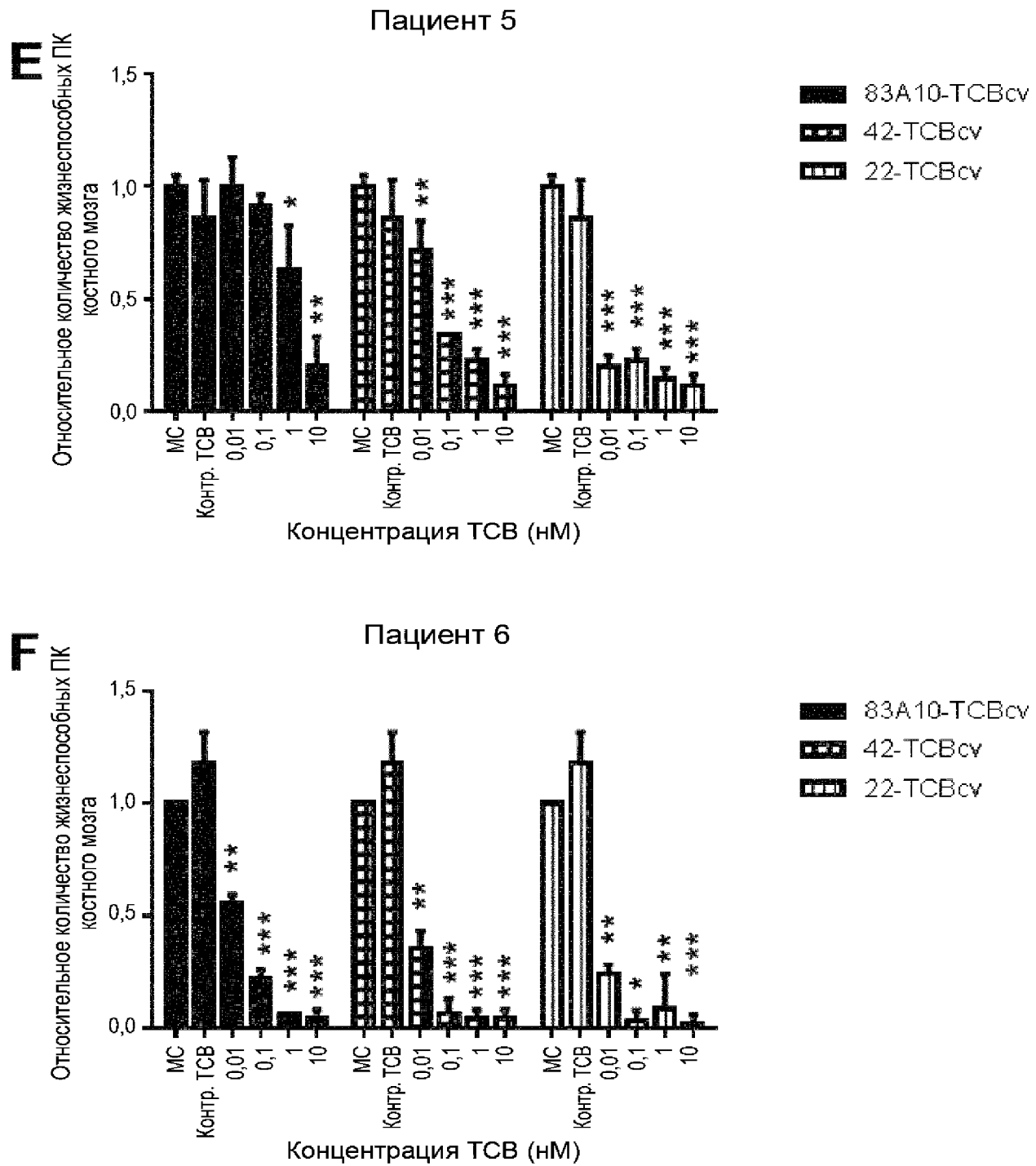
Фиг. 10



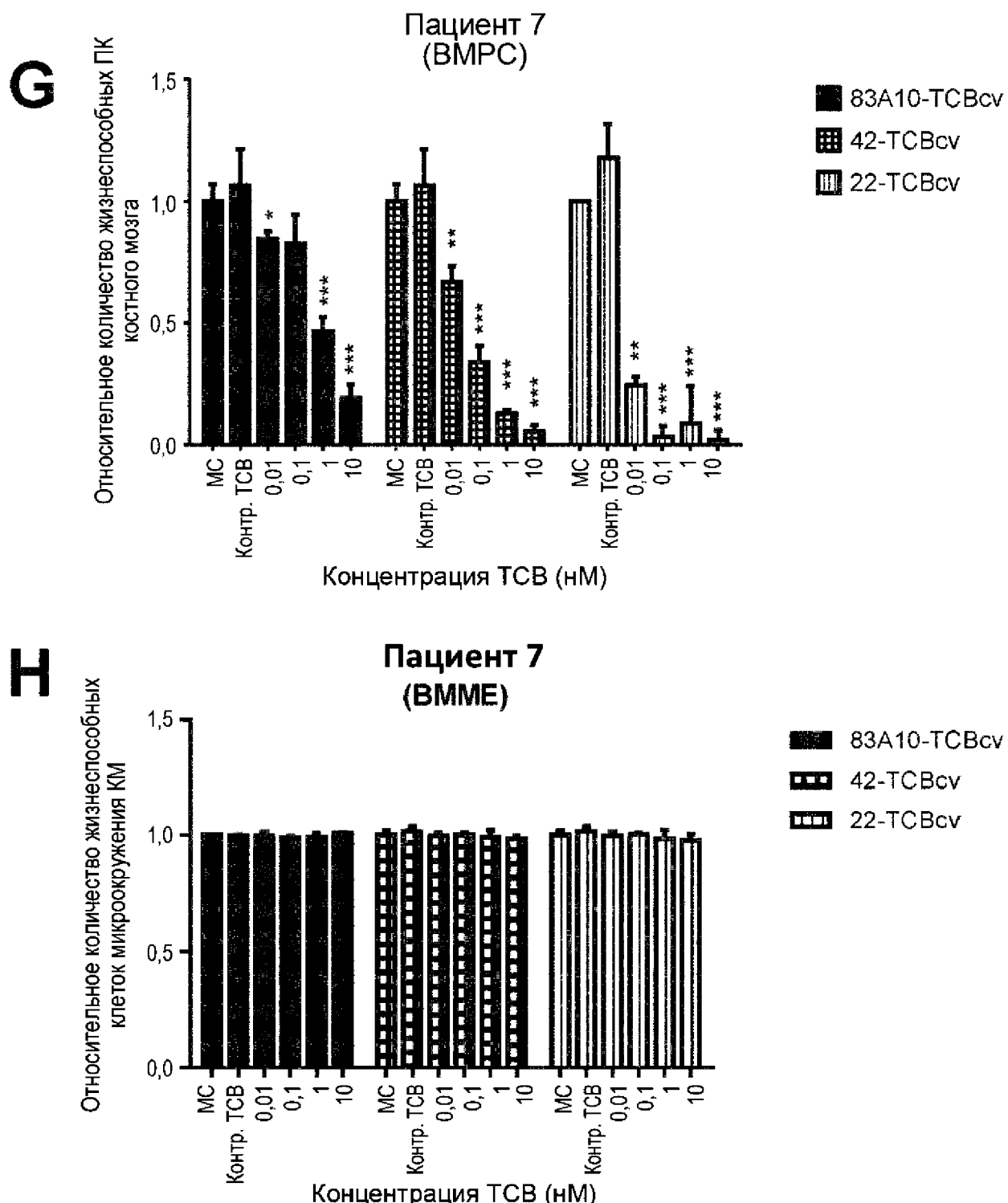
Фиг. 10 (продолжение)



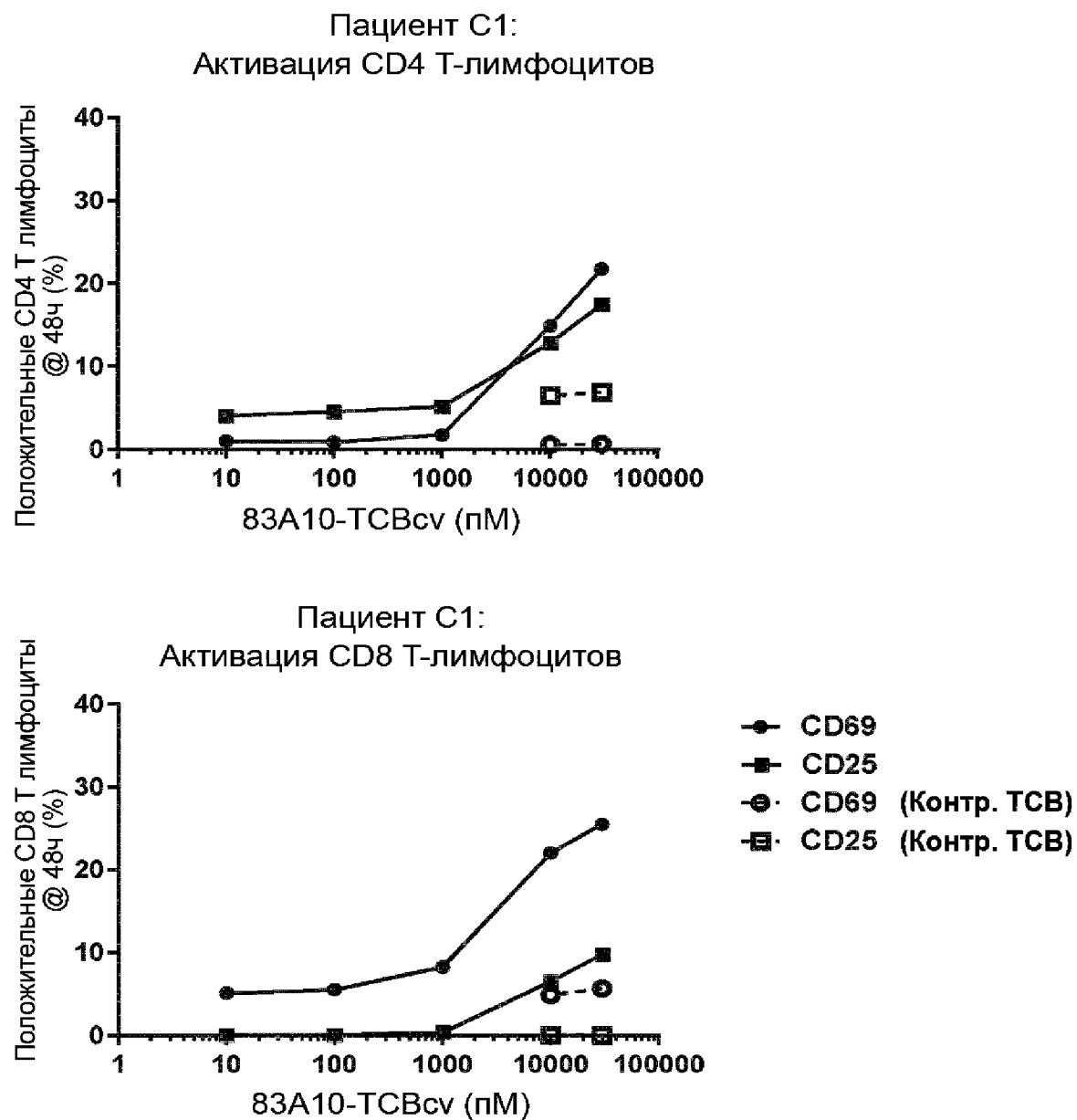
Фиг. 10 (продолжение)



Фиг. 10 (продолжение)

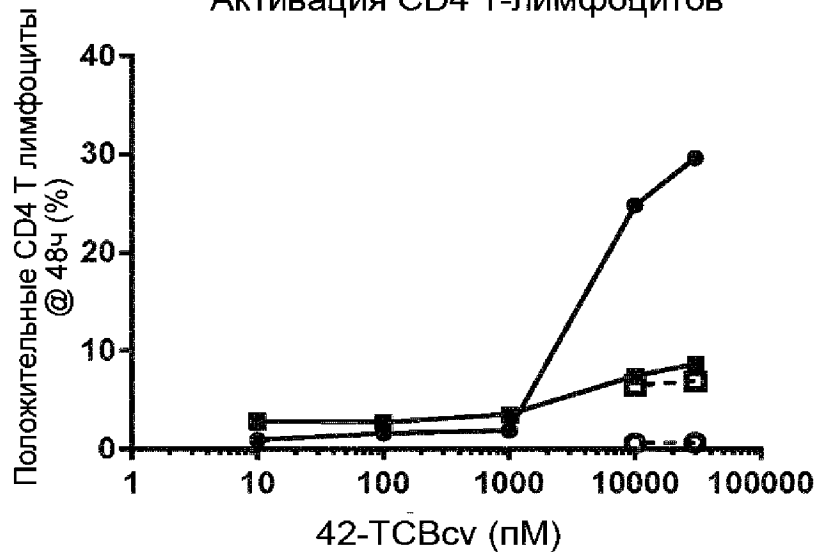


Фиг. 11А

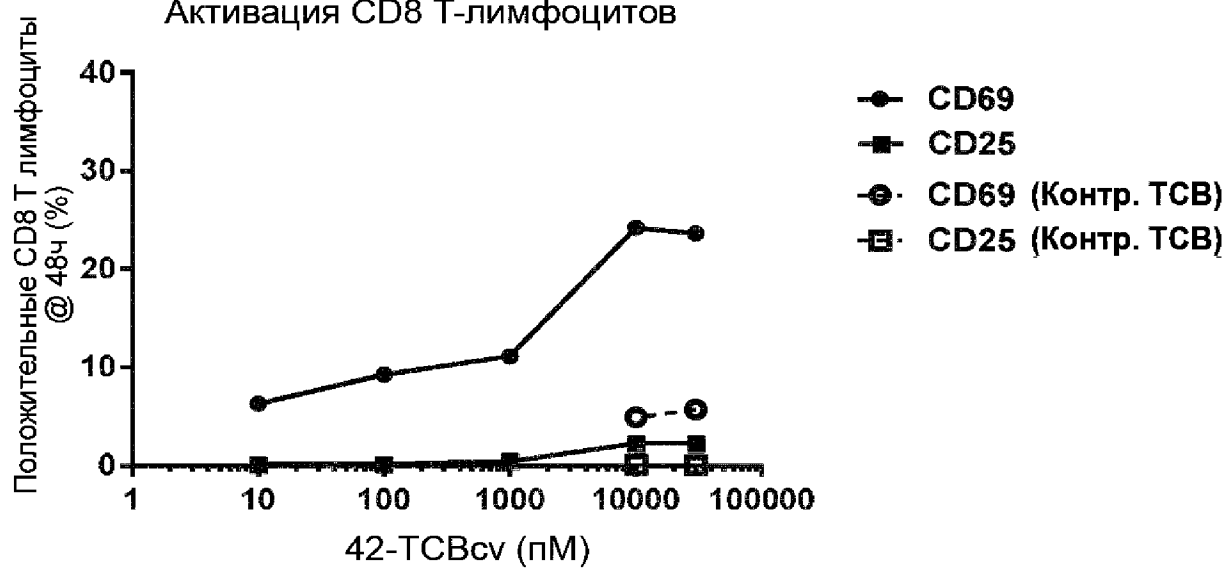


Фиг. 11В

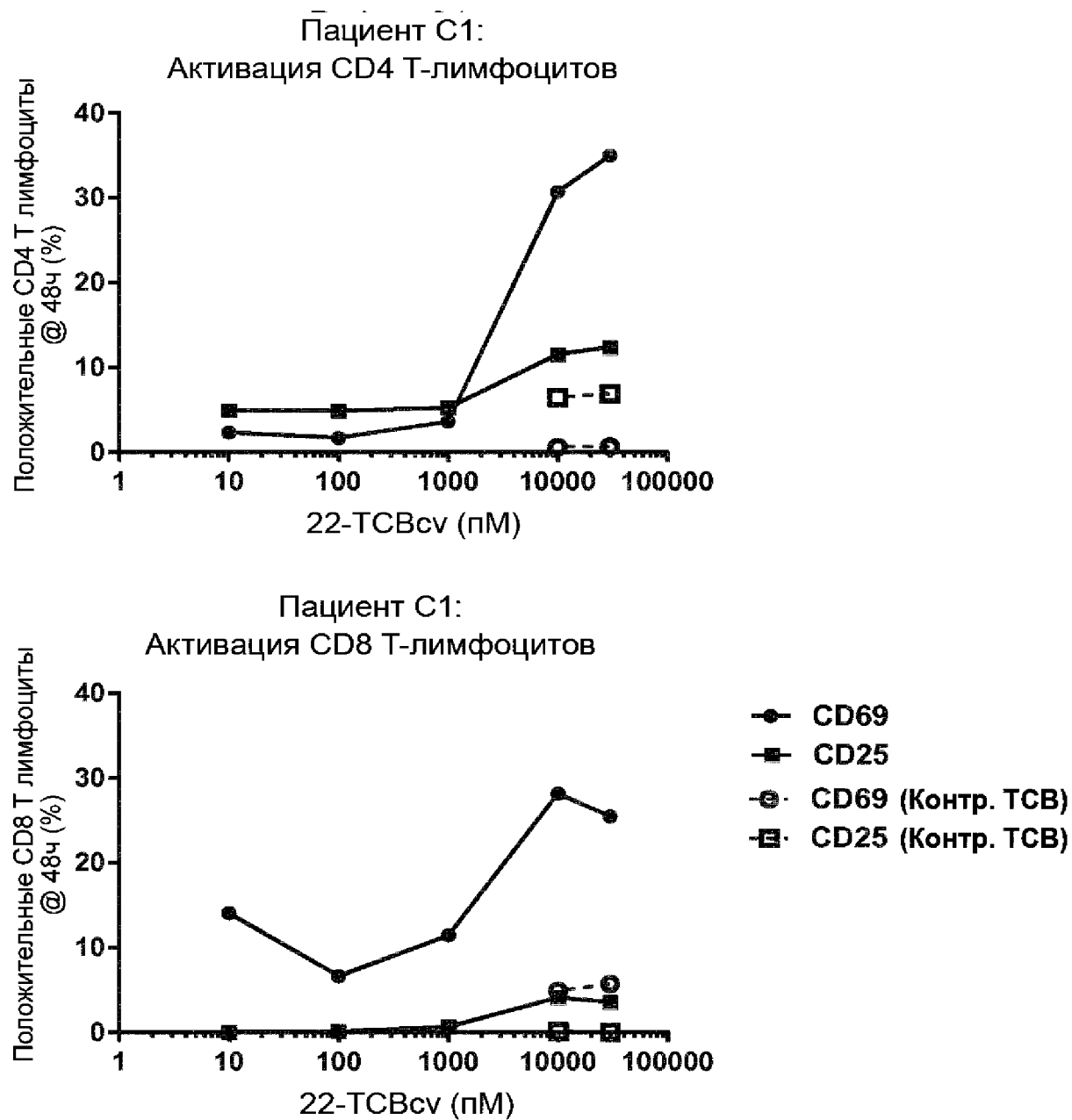
Пациент С1:  
Активация CD4 Т-лимфоцитов



Пациент С1:  
Активация CD8 Т-лимфоцитов

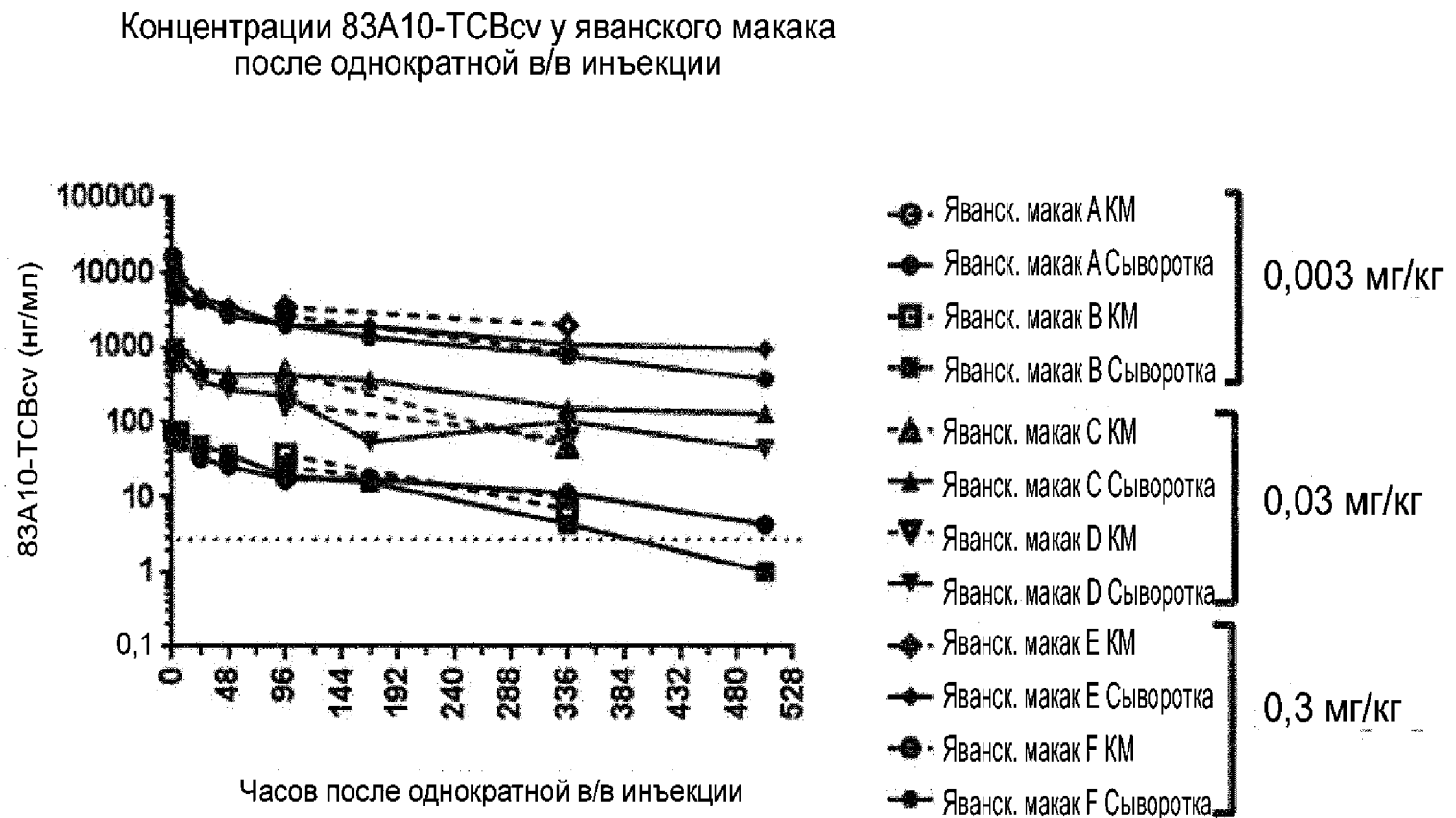


Фиг. 11С

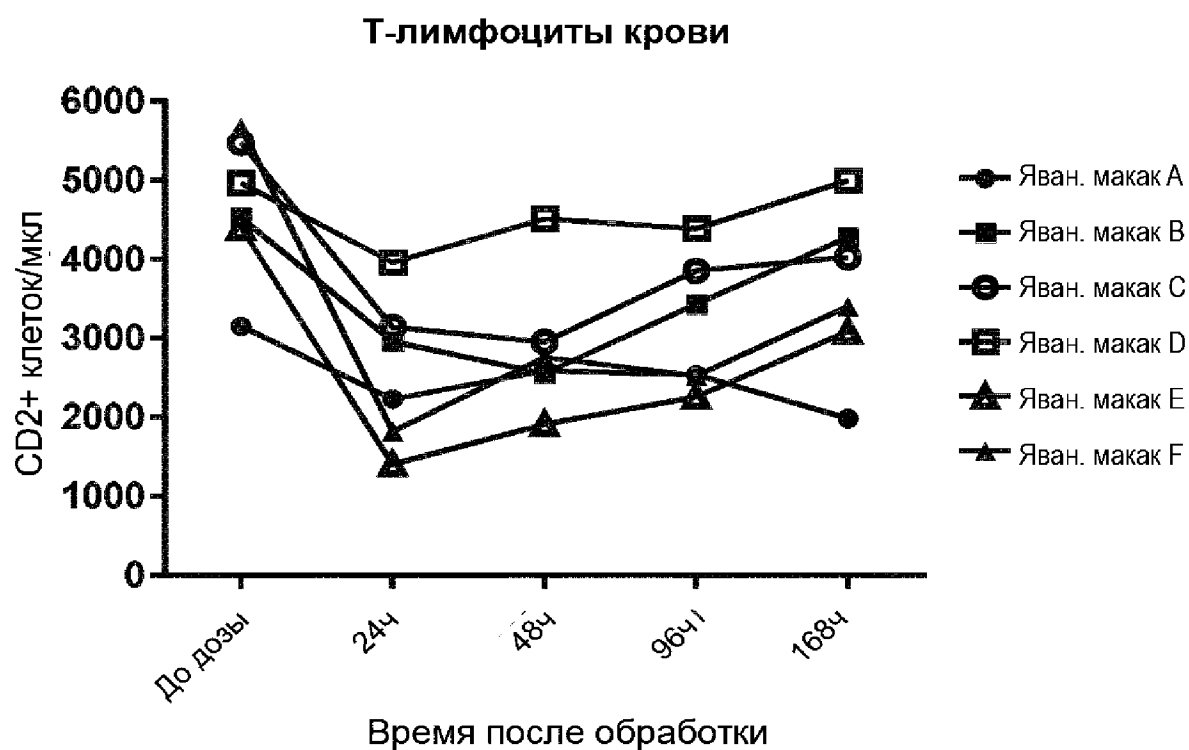


Фиг. 12

22/33

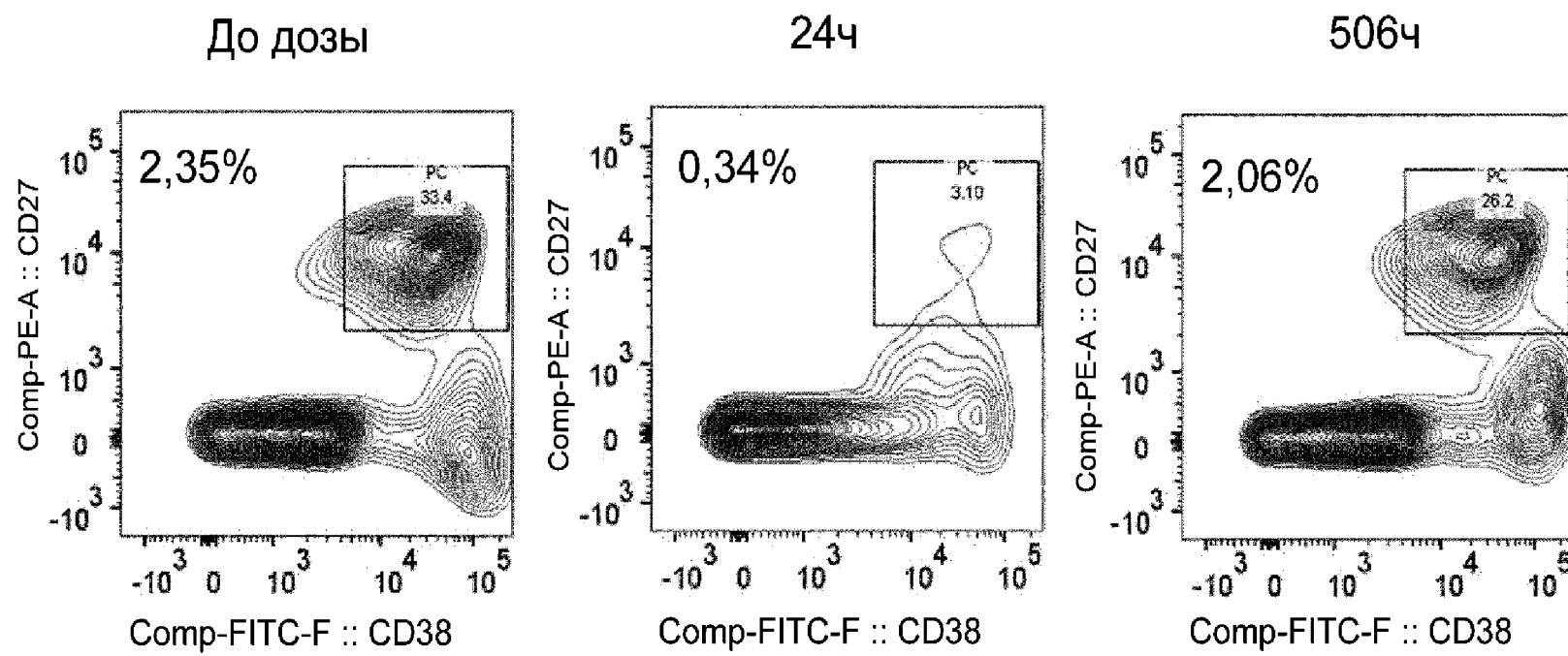


Фиг. 13

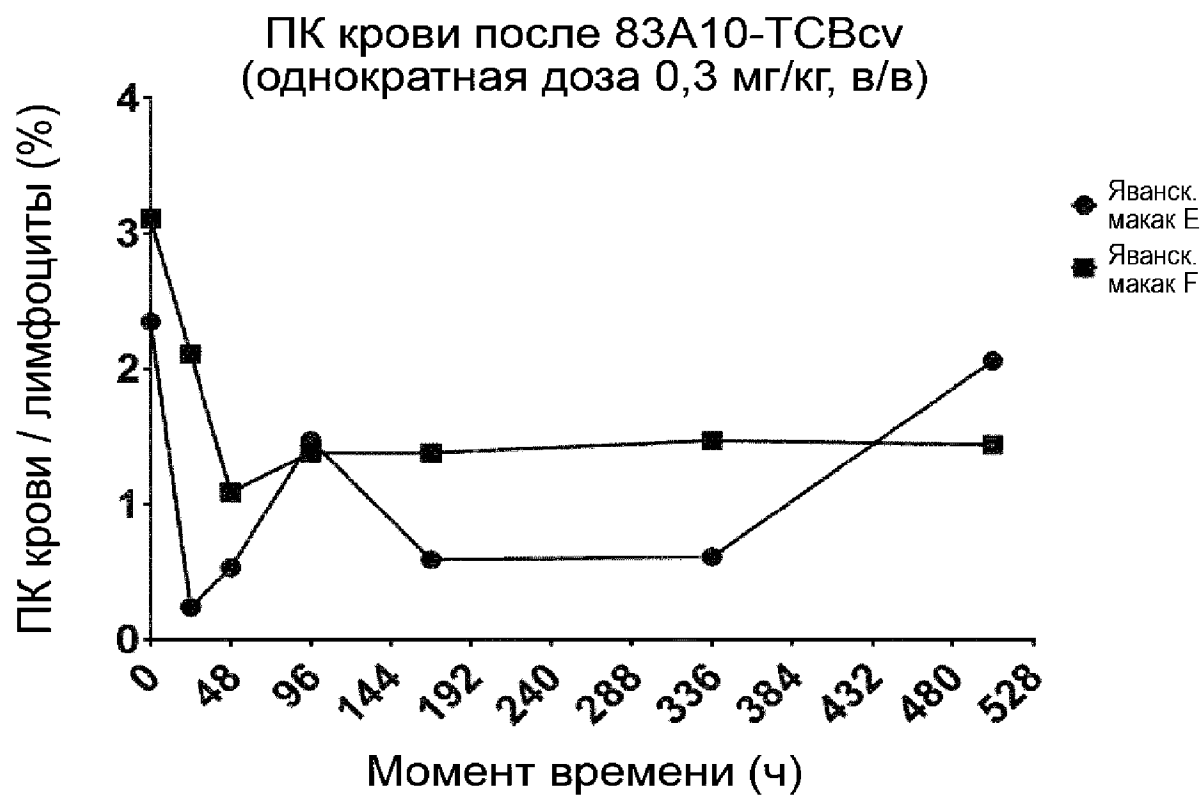


Фиг. 14А

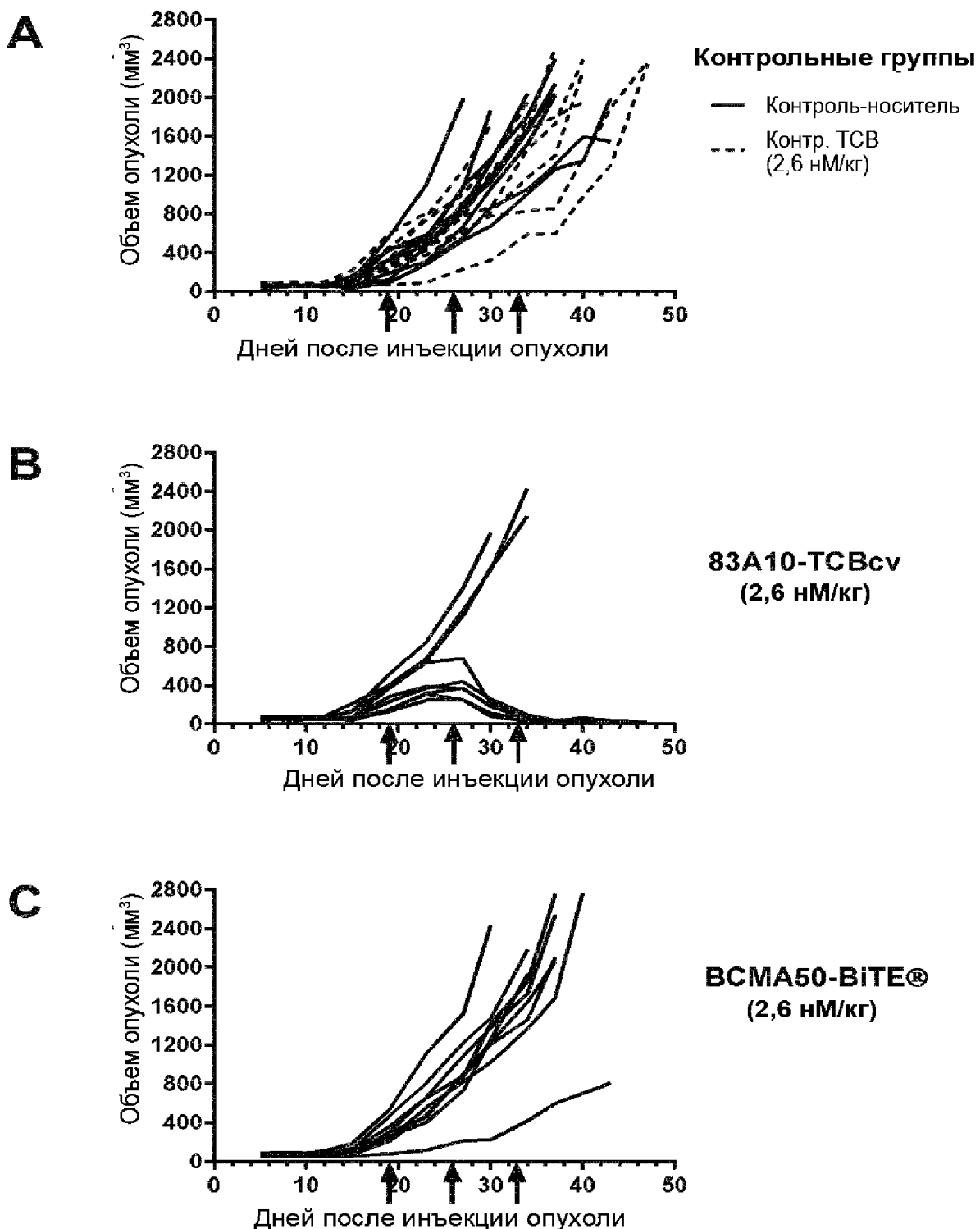
24/33



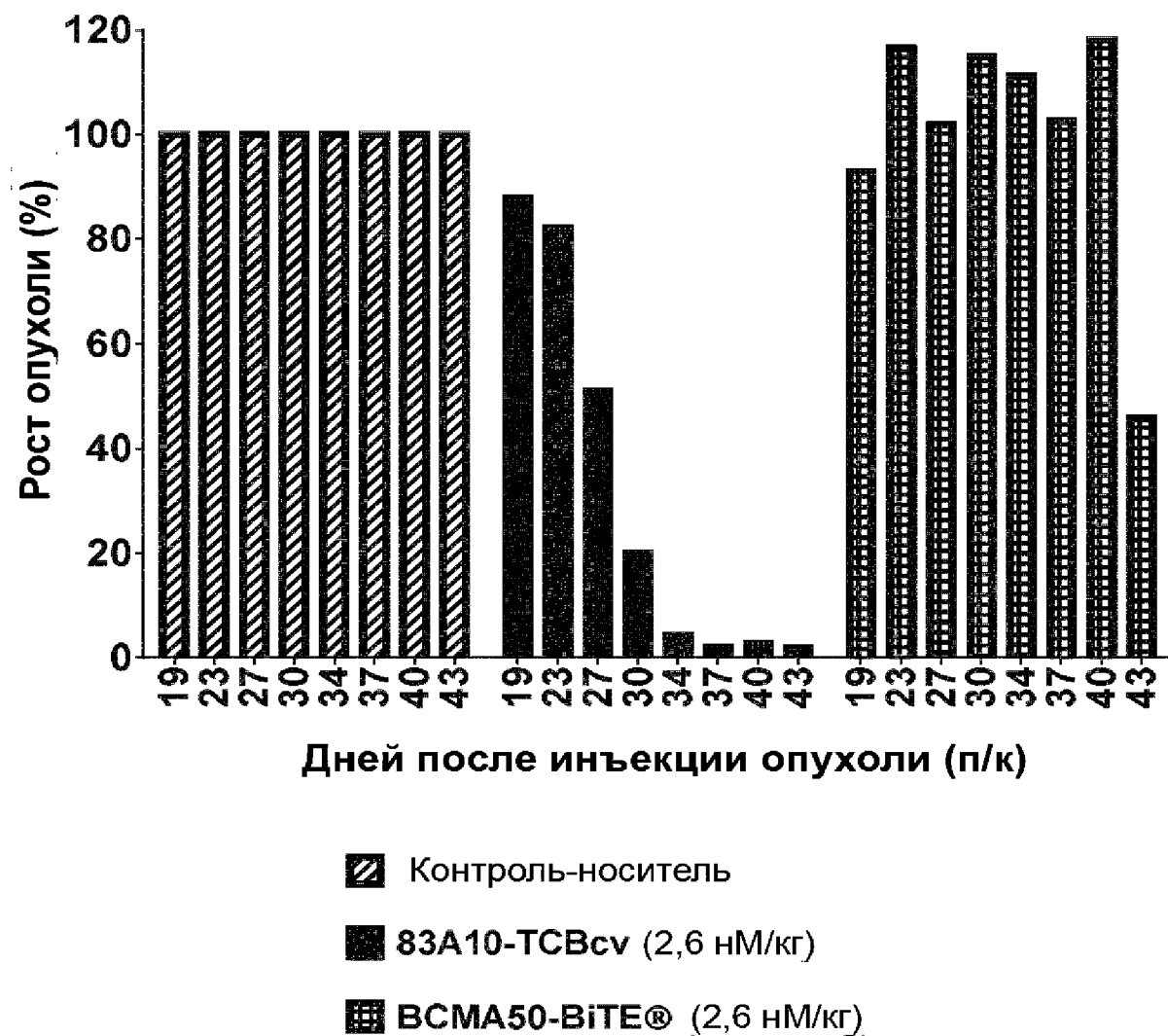
Фиг. 14В



Фиг. 15

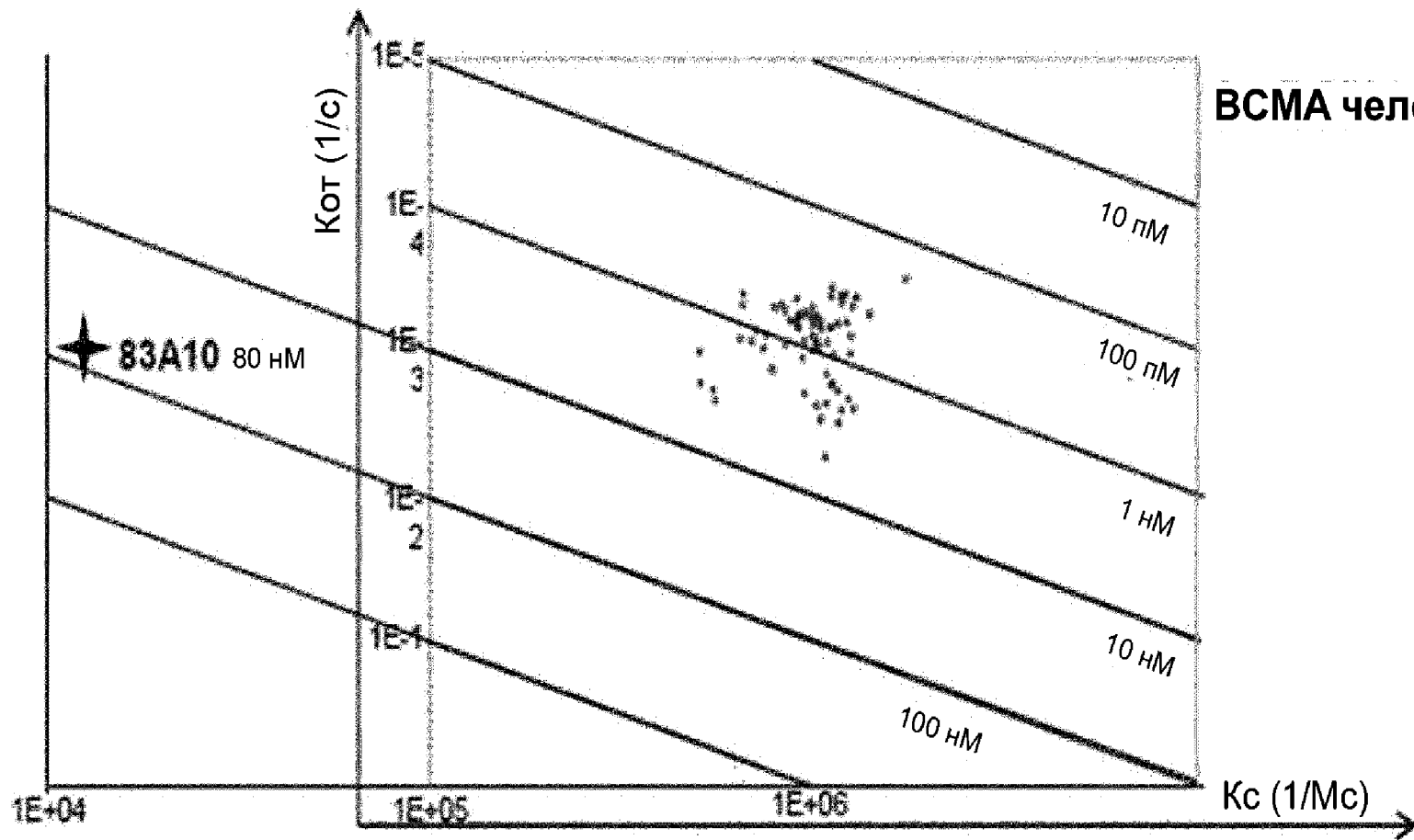


Фиг. 16



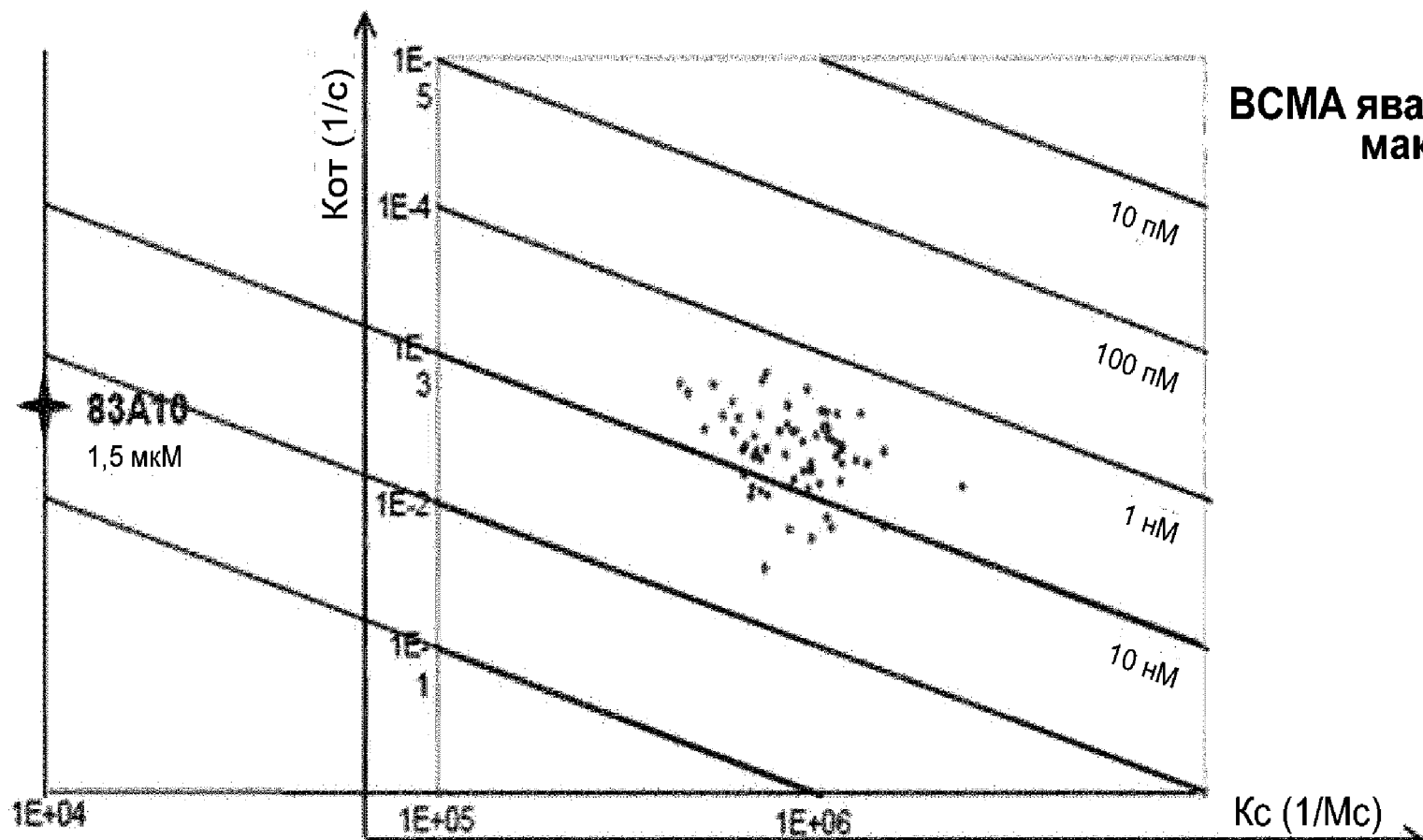
Фиг. 17  
A

ВСМА человека



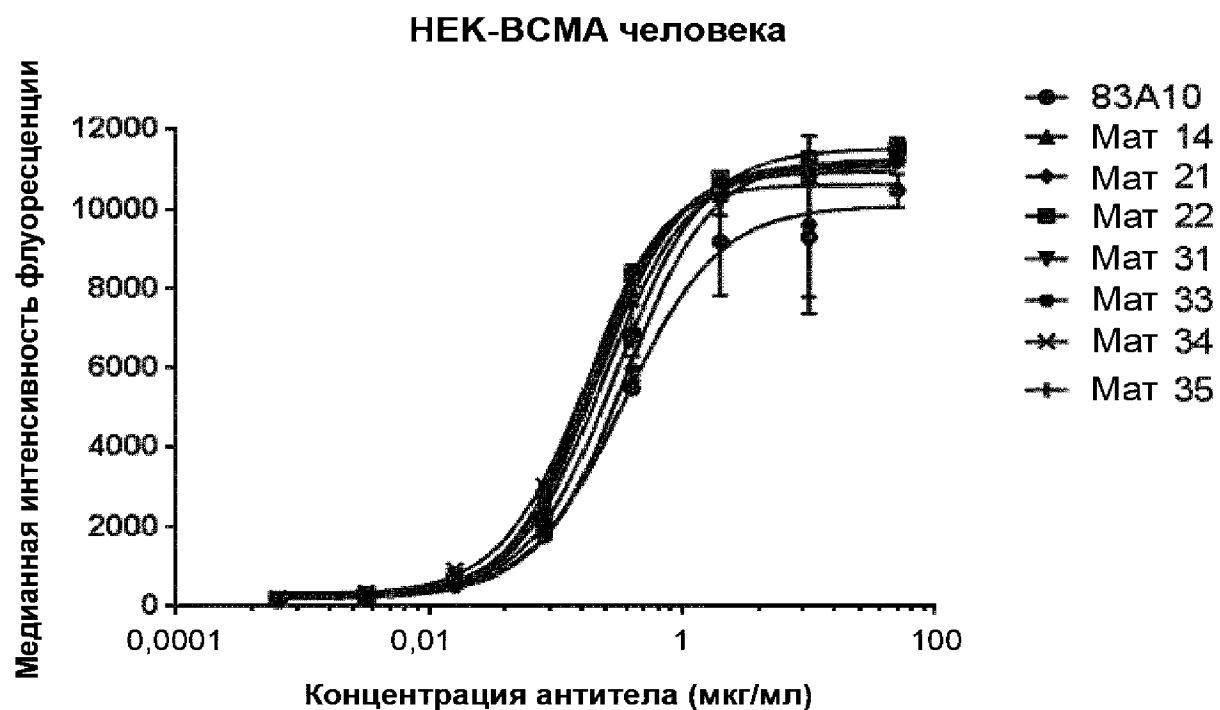
Фиг. 17  
B

**ВСМА яванс.  
макака**

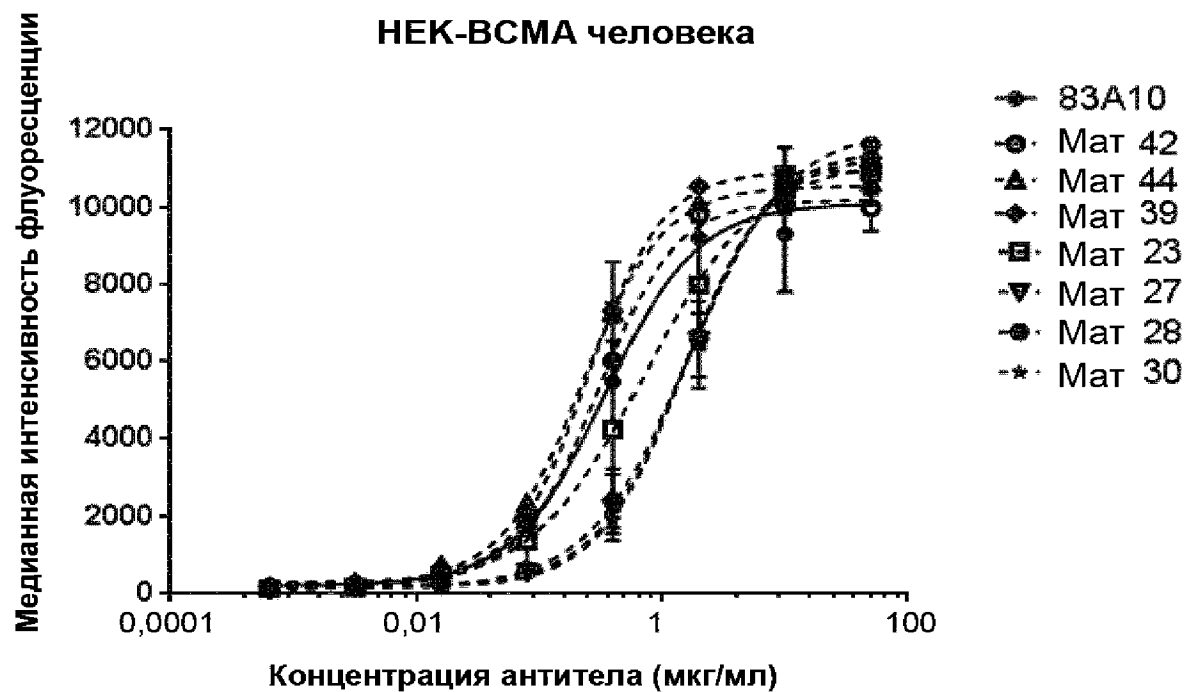


Фиг. 18

A



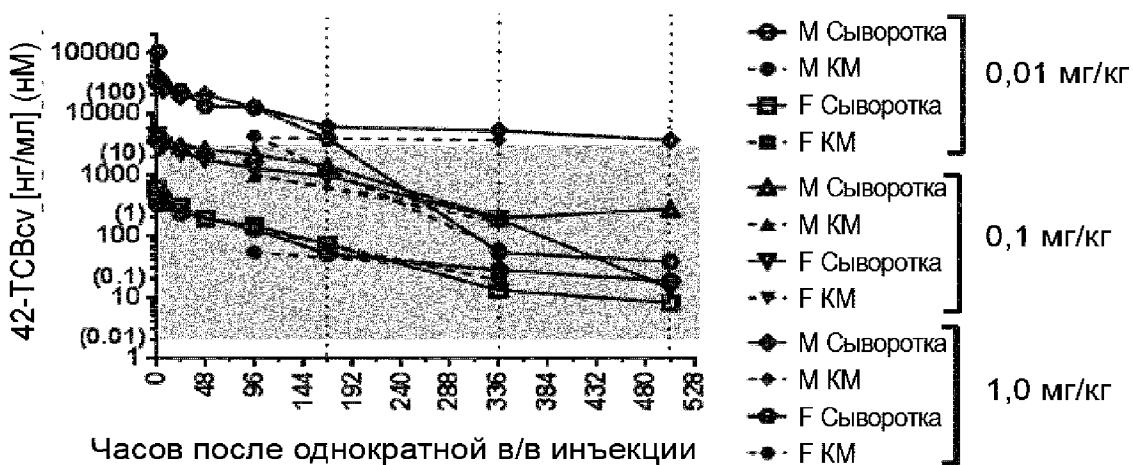
B



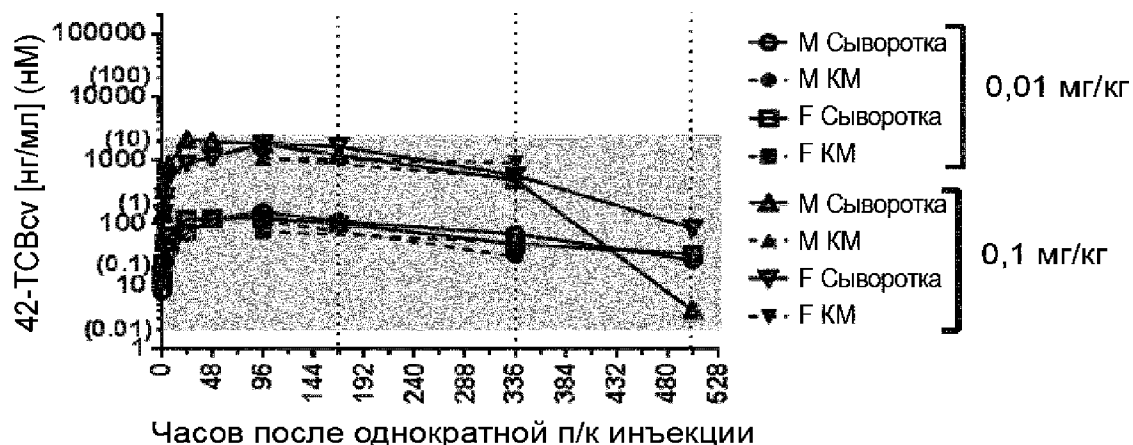
Фиг. 19

**A.**

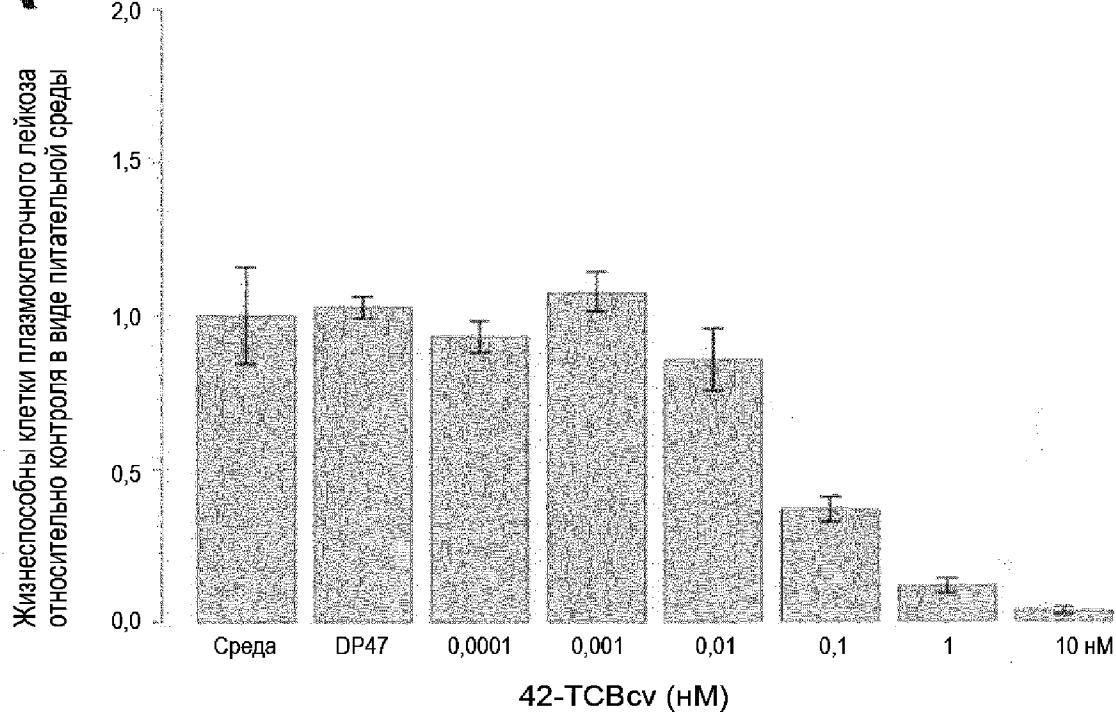
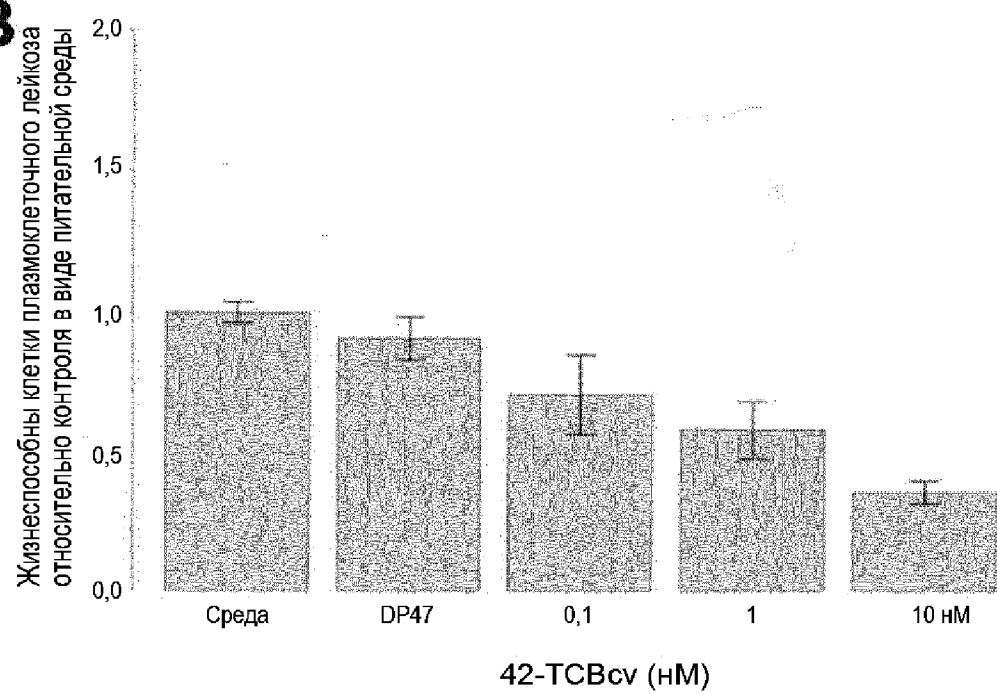
Концентрации 42-TCBcv у яванского макака после однократной в/в инъекции

**B.**

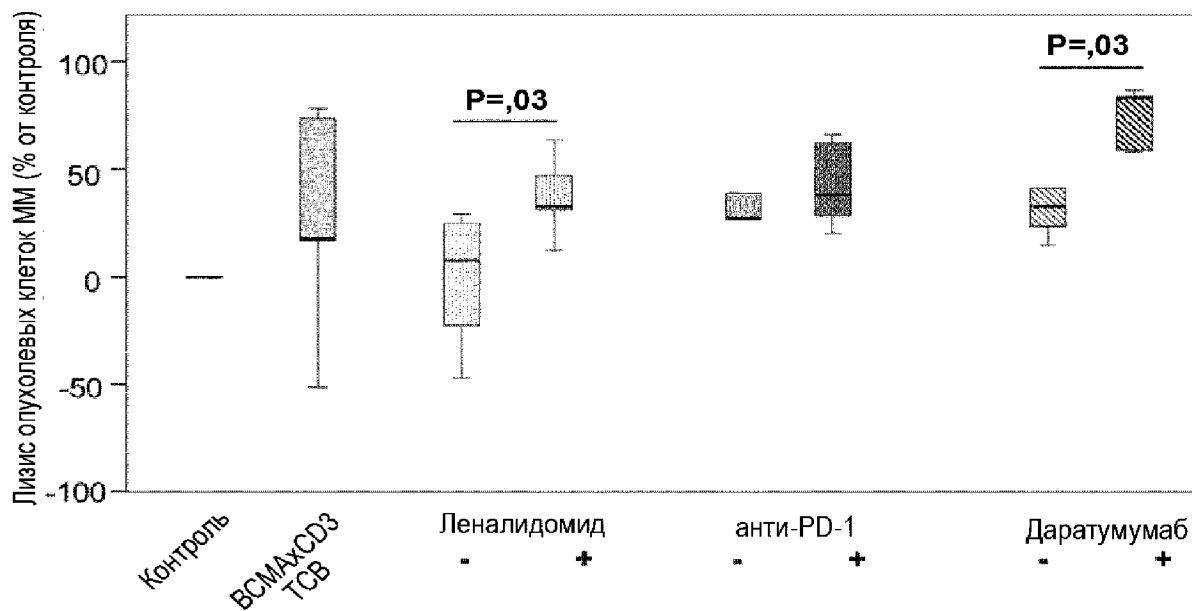
Концентрации 42-TCBcv у яванского макака после однократной п/к инъекции



Фиг. 20

**A****B**

Фиг. 21

**A.****B.**